

Trabajo Fin de Máster

RECONOCIMIENTO NO INTRUSIVO DE CARGAS
ELÉCTRICAS DOMÉSTICAS MEDIANTE REDES
NEURONALES PARA IMPLEMENTACIÓN EN
DISPOSITIVOS DE BAJO CONSUMO

NON INTRUSIVE APPLIANCE RECOGNITION BY
MEANS OF NEURAL NETWORKS FOR THE
IMPLEMENTATION INTO LOW POWER DEVICES

Autor

Álvaro Valerio RAMÍREZ LADISLAO

Director

Roberto José CASAS NEBRA

RECONOCIMIENTO NO INTRUSIVO DE CARGAS ELÉCTRICAS DOMÉSTICAS MEDIANTE REDES NEURONALES PARA IMPLEMENTACIÓN EN DISPOSITIVOS DE BAJO CONSUMO

RESUMEN:

El presente trabajo aborda un enfoque novedoso a la hora de la identificación de cargas eléctricas de forma no invasiva, centrándose en cuantificar las prestaciones que una red neuronal artificial puede alcanzar para el caso de usar dispositivos computacionales de bajo consumo y medias prestaciones.

Basándose en la impronta que cualquier carga eléctrica fija en la corriente que consume se idea un sistema electrónico capaz de, mediante una red neuronal, clasificar dicha carga únicamente capturando la onda de corriente en la acometida de cualquier usuario.

Empezando con una adquisición detallada de los datos, se eligen aquellas características que se extraerán de la corriente así medida y se analizan las posibles técnicas de ahorro operacional y de adquisición de datos

Posteriormente se realizan comparativas entre diversos tipos de redes neuronales artificiales en función de sus requerimientos de memoria frente a sus resultados clasificatorios.



Escuela de
Ingeniería y Arquitectura
Universidad Zaragoza

DECLARACIÓN DE AUTORÍA Y ORIGINALIDAD

(Este documento debe acompañar al Trabajo Fin de Grado (TFG)/Trabajo Fin de Máster (TFM) cuando sea depositado para su evaluación).

D./D^a. Álvaro Valerio RAMÍREZ LADISLAO,

con nº de DNI 17744396B en aplicación de lo dispuesto en el art.

14 (Derechos de autor) del Acuerdo de 11 de septiembre de 2014, del Consejo de Gobierno, por el que se aprueba el Reglamento de los TFG y TFM de la Universidad de Zaragoza,

Declaro que el presente Trabajo de Fin de (Grado/Máster)
MÁSTER EN INGENIERÍA ELECTRÓNICA, (Título del Trabajo)

RECONOCIMIENTO NO INTRUSIVO DE CARGAS ELÉCTRICAS DOMÉSTICAS
MEDIANTE REDES NEURONALES PARA IMPLEMENTACIÓN EN DISPOSITIVOS
DE BAJO CONSUMO

_____, es
de mi autoría y es original, no habiéndose utilizado fuente sin ser citada
debidamente.

Zaragoza, a 25 de Octubre de 2016

TABLA DE CONTENIDOS

1.	INTRODUCCIÓN	6
1.1.	MOTIVACIONES	6
1.2.	OBJETO.....	6
2.	ESTADO DE LA IDENTIFICACION DE CARGAS.....	8
2.1.	MÉTODOS DE IDENTIFICACIÓN.....	8
2.1.1.	MÉTODOS HEURÍSTICOS.....	8
2.1.2.	MÉTODOS ESTADÍSTICOS	11
2.1.3.	REDES NEURONALES	12
2.2.	ELECCION DE LA LÍNEA DE INVESTIGACION	14
3.	SISTEMA ADQUISICIÓN.....	15
3.1.	ADQUISICIÓN.....	15
3.1.1.	ENSAYO TRANSFORMADOR DE CORRIENTE	15
3.1.2.	ENSAYO TRANSFORMADOR DE TENSIÓN	18
3.2.	ACONDICIONAMIENTO, DIGITALIZACIÓN Y ENVÍO	18
3.3.	ALMACENAMIENTO	20
4.	ANÁLISIS DE LOS DATOS.....	21
4.1.	BASE DE DATOS.....	21
4.1.1.	PROCEDIMIENTO DE CAPTURA	22
4.2.	PROCESADO.....	23
4.2.1.	EXTRACCIÓN DEL PERIODO DE FUNCIONAMIENTO	23
4.2.2.	EXTRACCIÓN DE LOS PASOS POR CERO DE LA TENSIÓN.....	24
4.2.3.	EXTRACCIÓN DE LOS PASOS POR CERO DE LA CORRIENTE.....	24
4.3.	EXTRACCIÓN DE CARACTERÍSTICAS	26
4.3.1.	CALCULO DEL VALOR EFICAZ.....	26
4.3.2.	CENTROIDE DE CONCORDIA.....	26
4.3.3.	TRANSFORMADA DE FOURIER.....	28
4.3.4.	VALOR DE PICO	30
4.3.5.	VALOR DE INTER SEMIPERODO.....	30
4.3.6.	DESFASE TENSION CORRIENTE	31
4.4.	EVALUACIÓN DE LAS CARACTERÍSTICAS ELEGIDAS	32
4.5.	REDUCCIÓN DEL COSTE COMPUTACIONAL.....	33
4.5.1.	REDUCCION DE LA FRECUENCIA DE MUESTREO.....	33
4.5.2.	REDUCCION DEL NUMERO DE CARÁCTERÍSTICAS.....	33
4.5.3.	DETECCION DE EVENTOS	34
4.6.	SOLUCION ADOPTADA.....	36
5.	REDES NEURONALES	37
5.1.	RED MAPA AUTO ORGANIZADO(SOM).....	37
5.2.	RED LINEAL PERCEPTRON	40
5.3.	RED PERCEPTRON MULTICAPA (MLP)	43
5.4.	RED LEARNING VECTOR QUANTIZATION (LVQ)	47

5.5. GASTO COMPUTACIONAL	50
6. CONCLUSIONES	51
6.1. RESUMEN	51
6.2. TRABAJOS FUTUROS.....	51
7. RESEÑAS.....	52
ANEXO I.....	54
ANEXO II.....	55
ANEXO III	86
ANEXO IV.....	91
ANEXO V.....	94
ANEXO VI.....	118

1. INTRODUCCIÓN

1.1. MOTIVACIONES

Desde siempre me ha interesado la producción, conversión y generación de energía eléctrica. Mi proyecto final de carrera versaba sobre cálculos de centrales hidroeléctricas, obteniendo el caudal óptimo instalado según el perfil del caudal disponible. Cuando tuve que elegir el trabajo fin de máster intenté profundizar sobre estos temas: energía, optimización y cálculos, aplicando los nuevos conocimientos y técnicas adquiridas.

Fruto de estas inquietudes surge este estudio que pretende avanzar un modesto paso más en el control de la energía.

1.2. OBJETO

El presente trabajo fin de máster parte de estudios y técnicas para el reconocimiento de cargas eléctricas mediante el análisis de la impronta que éstas generan sobre determinados parámetros eléctricos, medibles de forma no invasiva (por sus siglas en inglés N.I.L.M, *non intrusive load monitoring*). De esta manera es posible conocer las cargas conectadas a un nodo eléctrico, sin necesidad de intervenir aguas abajo de dicho nodo.

Esta información puede resultar útil tanto para el usuario final, que en cualquier momento puede saber el consumo no sólo de su hogar, sino también de cada dispositivo tanto en tiempo real como histórico, como para las compañías distribuidoras de energía eléctrica que podrían guiarse por la información así obtenida para mejorar el servicio (obviando distintos matices éticos referidos a la intimidad de las personas).

Como se verá más adelante, estos sistemas han sido ya desarrollados por muchos investigadores, con diversas implementaciones de los algoritmos de reconocimiento (sistemas estadísticos, redes neuronales, lógica difusa, etc.).

Todos tienen en común un esquema muy similar al de la figura 1

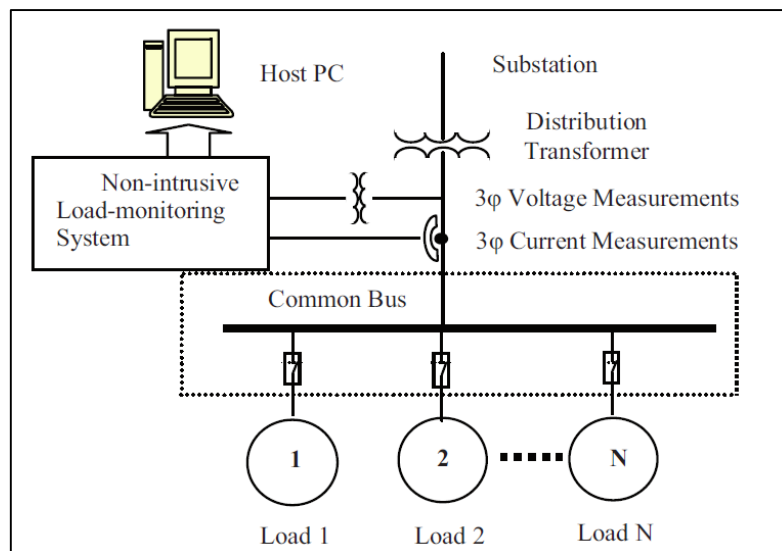


Fig. 1 Esquema genérico de un sistema N.I.L.M.

Estos sistemas aprovechan la gran capacidad y rapidez de los ordenadores personales para ejecutar los algoritmos de reconocimiento en cualquiera de sus versiones y obtener y almacenar los resultados.

1. INTRODUCCIÓN

Sin embargo, estos sistemas son voluminosos, caros y ellos mismos consumen una energía considerable; por ello resulta ventajoso que el sistema de reconocimiento sea pequeño, consuma poca energía y sea capaz de obtener resultados similares. Es en este matiz del bajo consumo en el que se centrará este estudio, por lo que los algoritmos y funcionamiento se orientarán hacia este objetivo: conseguir un sistema de adquisición, procesado y un algoritmo eficiente energéticamente hablando.

El acondicionamiento, ensayos y obtención de algoritmos se han realizado mediante scripts en MatLab, anexados a este documento.

[TDC](#) 

2. ESTADO DE LA IDENTIFICACION DE CARGAS

Los sistemas NILM desde su concepción [HART 92] han tratado de obtener el consumo, y por tanto la potencia, desde la acometida o desde puntos de distribución, y no midiendo directamente en el electrodoméstico. Esto plantea el inconveniente de que la corriente que se puede medir en estos lugares centralizados es una suma de corrientes de todas las cargas allí conectadas. Discernir qué cargas están conectadas y qué porción de la corriente medida corresponde a cada cuál es el centro de las investigaciones en este campo.

En este punto se realizará un estudio de las diversas técnicas empleadas desde sus comienzos hasta nuestros días, haciendo especial hincapié en las técnicas relacionadas con las redes neuronales, y su contraposición a técnicas estadísticas o más clásicas y a algoritmos heurísticos.

El sistema de identificación de cargas (dado que no se mide cada carga individualmente, sino el conjunto de ellas) se sustenta en la teoría de que cada carga imprime en la corriente consumida o tensión soportada una “huella” que permite distinguirla del resto (disgregación). Es la búsqueda de esta huella única que permita la identificación, la que ha generado tan abundantes y variados sistemas.

2.1. MÉTODOS DE IDENTIFICACIÓN

El sistema de identificación propiamente dicho es el mecanismo por el cual al observar unas determinadas medidas, se obtiene cierta información de lo que está conectado aguas abajo del sistema de captación.

Esta información es extraída mediante diferentes métodos, que podemos clasificar en tres grupos estudiados en los siguientes puntos:

- Métodos heurísticos.
- Sistemas estadísticos.
- Redes Neuronales y lógica difusa.

2.1.1. MÉTODOS HEURÍSTICOS

Se basan principalmente en la investigación del funcionamiento de ciertas cargas, cómo se comportan, y cómo son usadas normalmente. Suelen usar reglas lógicas de uso y funcionamiento. Debido al estudio del modo de funcionamiento, el resultado de los algoritmos no es en tiempo real, sino que necesita de cierto tiempo de observación del funcionamiento. La frecuencia de muestreo suele ser baja. Usan pocos parámetros para la identificación.

[HART 92] propone el uso de un plano P-Q (potencia activa-potencia reactiva respectivamente; figura 2).

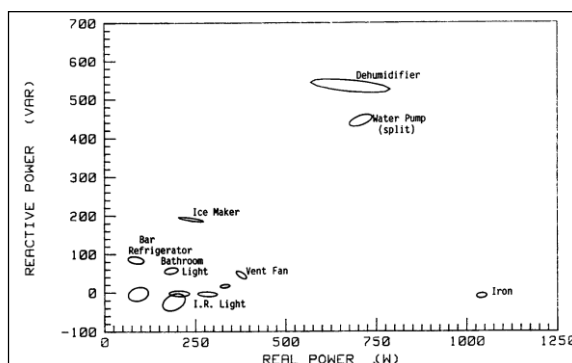


Fig. 2 Plano de clasificación P-Q

2. ESTADO DE LA IDENTIFICACION DE CARGAS

Y asemeja las cargas a MEF (Maquinas de Estados Finitos, figura 3) que siguen unas reglas

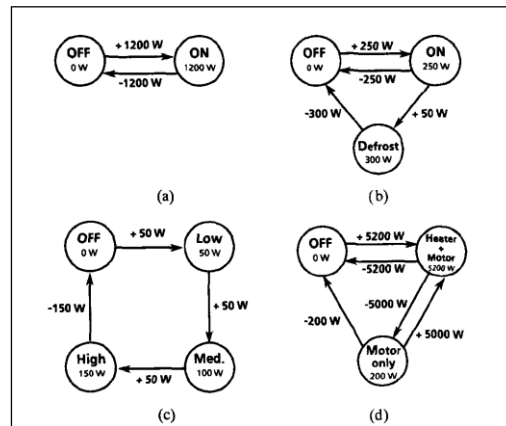


Fig. 3 MEF de algunas cargas.

De esta forma se hacen corresponder los cambios producidos en la potencia con los estados de la máquina. (50W+50W+50W-150W corresponde a la carga "c")

[NORFORD 96] incluye el transitorio a ON como signatura a tener en cuenta en la clasificación, y propone usar las órdenes de los buses de comunicación de la automatización, si la hubiere, para conocer qué aparato se va a conectar.

Así mismo, el sistema tolera cierto solapamiento (simultaneidad) de transitorios (figura 4)

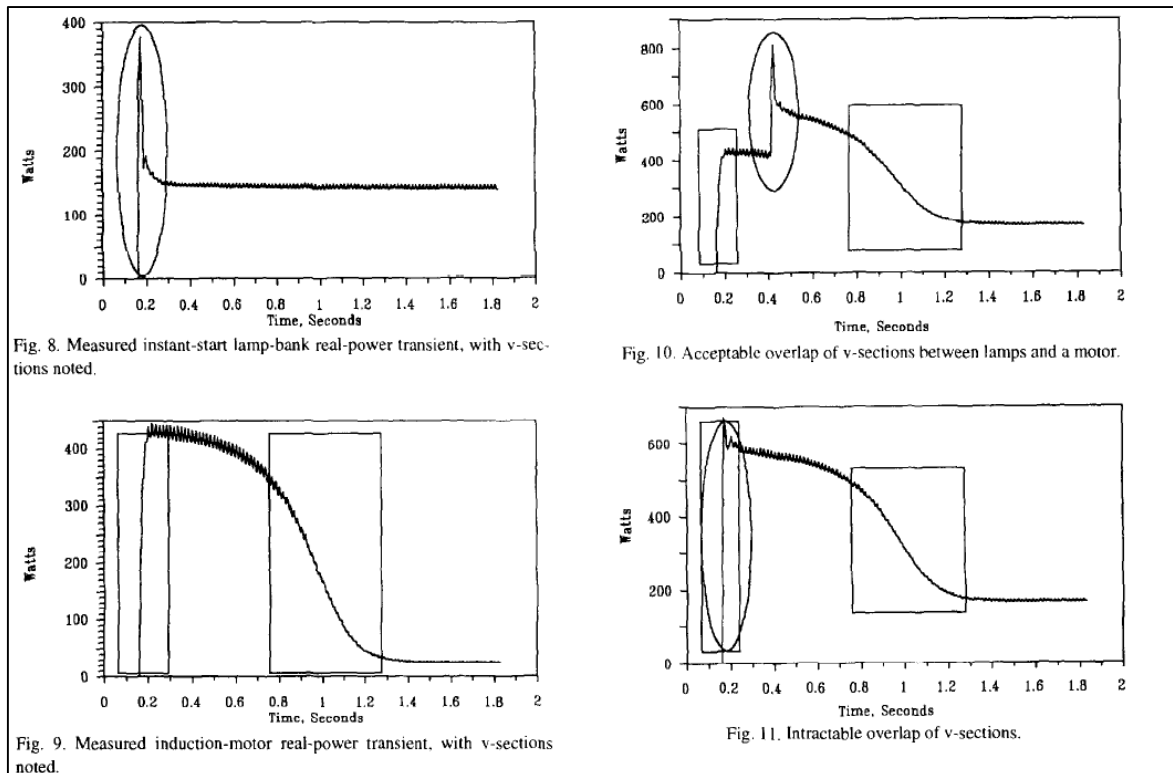


Fig. 4 Solapamiento en los transitorios

Este sistema no es capaz de solucionar el problema de cargas lentamente variables. Para solucionarlo propone medir los fenómenos responsables de ésta variación en la carga (temperatura, presión, caudal...).

2. ESTADO DE LA IDENTIFICACION DE CARGAS

Mejorando el sistema de reconocimiento basado en el régimen permanente y para separar más las clases que se identifiquen, [LAUGHMAN 03] amplía el plano P-Q a un espacio tridimensional, figura 5 con la inclusión de una dimensión relacionada con el contenido armónico.

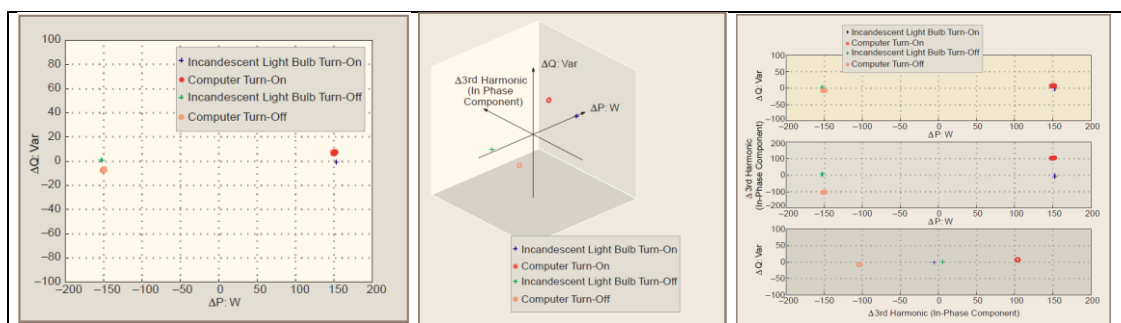


Fig. 5 Ampliación del plano P-Q a espacio P-Q-D

[GILREATH 06] resuelve una técnica para cuantificar los armónicos que producen cargas no lineales, evitando la transformada de Fourier, aliviando los cálculos y memoria necesarios. Para ello usa una modificación de la transformada de Concordia, en la que el centroide (figura 6) se desplaza del origen.

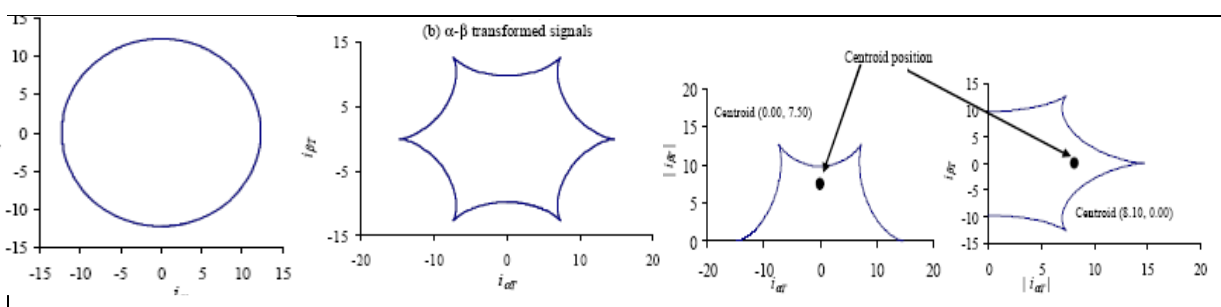


Fig. 6 Resultado de la modificación de la transformada de Concordia.

Este sistema no es un clasificador propiamente dicho, pero se incluye en este estudio debido a que podría ser un complemento de los sistemas no intrusivos.

En esta tabla 1 se consigna un resumen de los métodos expuestos:

	Signaturas	Régimen de análisis	Distinción cargas múltiples	Distinción cargas conexión simultánea	Distinción cargas lentamente variables	Modo Identificación
[HART 92]:	Admitancia, Armónicos	Permanente	Sí	No	No	Reglas heurísticas
[NORFORD 96]:	P,Q	Permanente/Transitorio	Sí	Sí	No	Cambio de media / distancias vectoriales
[LAUGHMAN 03]:	P,Q,D	Permanente/Transitorio	Sí	Sí	Sí	Mínimos cuadrados
[GILREATH 06]:	I neutro	Permanente	---	---	---	Transformada Concordia

Tab. 1 Resumen métodos heurísticos.

2.1.2. MÉTODOS ESTADÍSTICOS

Los métodos estadísticos difieren respecto de los vistos; mientras que en los ejemplos anteriores el reconocimiento de las cargas se realiza basándose en algoritmos guiados por la experimentación, usan reglas más o menos empíricas y analizan las curvas temporales de las signaturas, los métodos estadísticos emplean una fuerte carga de cómputo matemático, y funciones más o menos actuales. Hacen uso del desarrollo que han experimentado las ramas de la estadística y la probabilidad en el campo de la minería de datos.

En [LIN 10] el reconocimiento se produce usando un filtro bayesiano (figura 7) que calcula la posibilidad de que se dé el estado A_t dadas las observaciones desde O_1 hasta O_t . Así mismo compara los resultados con diferentes versiones del mismo y con otras técnicas como KNN (K nearest neighbors), .Naïve Bayes, SVM (Supported Vector Machine).

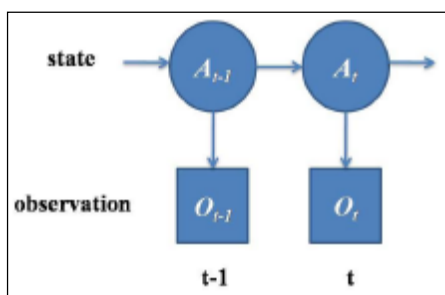


Fig. 7 Esquema filtro bayesiano

El resultado arrojado por el método del filtro bayesiano discretizado es superior en una comparación general (OA) al resto presentado con un 86.4%.

[RAHIMI 11] Experimenta con la distancia de Mahalanobis para el reconocimiento de una única carga, en régimen permanente y sin que ésta pueda variar lentamente. La precisión es del 100%.

[WANG 12] toma la corriente eficaz y la asemeja a figuras geométricas simples como se aprecia en la figura 8, de forma que almacenar y tratar esa información resulta más liviano, desde el punto de vista de la computación. La frecuencia de muestreo es muy baja, 10Hz.

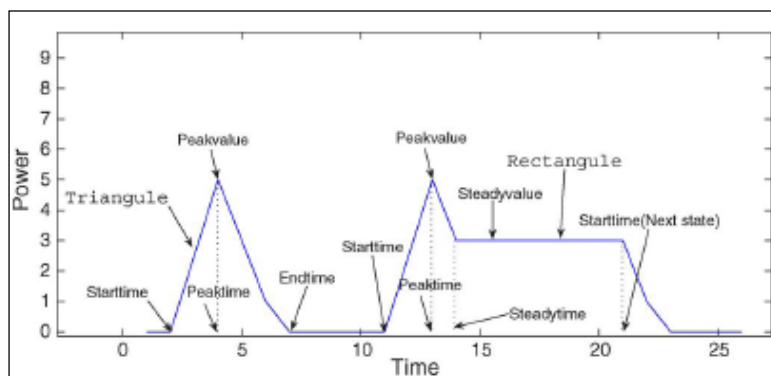


Fig. 8 Segmentación de la corriente en triángulos y rectángulos

También plantea una primera clasificación en cargas muy variables, variables y poco variables.

2. ESTADO DE LA IDENTIFICACION DE CARGAS

El siguiente cuadro (Tab 2) resume las técnicas estadísticas

	Signaturas	Régimen de análisis	Distinción cargas múltiples	Distinción cargas conexión simultánea	Distinción cargas lentamente variables	Modo Identificación
[LIN 10]	Potencia-7 P_{med} P_{max} P_{rms} $P_{Desviación\ estandar}$ $P_{Factor\ Cresta}$ P_{max}/P_{med} Lugar de P_{max}	Permanente	Sí	No	No	Filtro bayesiano
[RAHIMI 11]	P, Q	Permanente	No	No	No	Distancia Mahalanobis
[WANG 12]	I_{rms} , V_{rms} , P	Permanente/Transitorio	No	No	No	Mean-shift
[YUN 12]	P	Permanente	No	No	No	Fuzzy Logic

Tab. 2 Resumen técnicas estadísticas.

2.1.3. REDES NEURONALES

Por último, veremos los sistemas de reconocimiento de cargas que usan redes neuronales. El sistema es parecido a lo ya visto, salvo que el procedimiento de clasificación es realizado por una red neuronal.

Contrariamente a lo que pueda parecer, los sistemas basados en redes neuronales no son sistemas recientes, sino que ya desde los primeros momentos en los que aparecen los estudios para la identificación de cargas, año 1992 en el que aparece la génesis de estos sistemas con la publicación de [HART 92], se empiezan a usar estas redes para la identificación, como demuestra la publicación del trabajo en 1994, tan solo dos años después, de [ROOS 94]

[ROOS 94] utiliza un sistema tal y como hemos comentado de recolección de datos en la acometida y son tratados siguiendo estos procesos.

- Captura de datos en formato vector.
- Preprocesado y filtrado; en caso necesario se separa en trozos más significativos.
- Extracción de información, eliminando redundancias y disminuyendo así la dimensión.
- Clasificación por la red neuronal previamente entrenada.

La red neuronal usada para la clasificación es una red de perceptrones multicapa, entrenados mediante la técnica de back propagation, de forma tal, que se realiza una clasificación en cascada según el esquema de la figura 9:

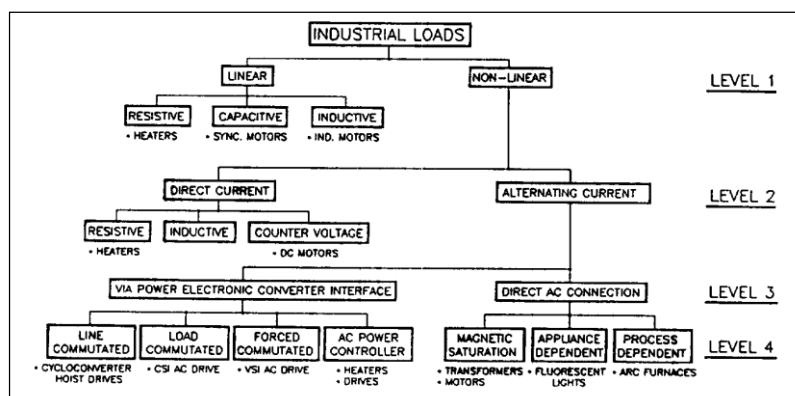


Fig. 9 Red en cascada de perceptrones clasificadores en niveles

2. ESTADO DE LA IDENTIFICACION DE CARGAS

A cada nivel le correspondería un perceptrón.

En el año 2007 se publica [PATEL 07]. La adquisición se realiza en cualquier punto de circuito eléctrico sensando únicamente la tensión. La signatura utilizada para la detección es el ruido eléctrico que se produce en el encendido y en el apagado de los dispositivos. Este ruido se propaga por todo el circuito y es capturado en cualquier toma de corriente perteneciente al mismo capturando un vector de frecuencias y amplitudes asociadas.

Este vector se preprocesa mediante FFT (Fast Fourier Transform) y se aplica a una red neuronal del tipo SVM (Support Vector Machine) entrenada. El número de ejemplares para el aprendizaje ronda los 3000.

[YANG 07] comparan dos métodos de aprendizaje neuronales para obtener cuál es el óptimo para la clasificación de cargas:

- Learning Vector Quantization.
- Back Propagation

ambos aplicados a un Perceptrón Multicapa. El resultado es una supremacía del aprendizaje Back Propagation sobre el primero; otra conclusión obtenida es que la energía del transitorio a ON se mantiene prácticamente constante en cada conexión de la carga y para la conexión con cualquier ángulo de la tensión de red.

[TSAI 11] optimiza una faceta de la identificación. Hasta ahora, las medidas que se presentaban al sistema de identificación eran elegidas por el diseñador en base a pruebas realizadas y la propia intuición. En este artículo, esta tarea se realiza usando GA (algoritmos genéticos). Así de una población de posibles medidas (corriente, potencia, pico de corriente, armónicos...) se extraen aquellos individuos que proporcionaran mayor información para el reconocimiento. La función fitness de este GA es el criterio de Fisher.

También realiza una comparación entre los sistemas de identificación KNNR (K Nearest Neighbor Rule) MLP con BP y MLP con LVQ. El elegido es el KNNR, debido a su sencillez y eficacia (98%).

[LIN 12] es el último artículo relacionado con la identificación de cargas. En este artículo, el sistema de identificación es un reconocedor de patrones neuro fuzzy con Linguistic Hedges.

Se expone a continuación la tabla 3 como resumen de las redes neuronales.

	Signaturas	Régimen de análisis	Distinción cargas múltiples	Distinción cargas conexión simultánea	Distinción cargas lentamente variables	Modo Identificación
[ROOS 94]	I,P,Contorno Impedancia, armónicos de I, THD de P	Permanente	Sí	No	No	Red Perceptrones
[PATEL 07]	V	Transitorio	Sí	Depende tiempo entre evento	Sí	SVM
[YANG 07]	P,Q,V,I,V _{HD} ,I _{HD} , V _{THD} , I _{THD} ,U _S ,U _D	Permanente/Transitorio	Sí	Sí	Sí	Perceptrón +BP
[CHANG 10]	P,Q,U _s	Permanente/Transitorio	Sí	Sí	Sí	Perceptrón +BP
[TSAI 11]	I _{RMS} , I _{PP} , P _{trans}	Transitorio	Sí	No	No	K-NNR
[LIN 12]	I _{Factor Cresta} , Periodo Transitorio	Transitorio	Sí	No	No	NeuroFuzzy+LH

Tab. 3 Resumen redes neuronales.

2.2. ELECCION DE LA LÍNEA DE INVESTIGACION

Se han visto las principales líneas de investigación concernientes a los sistemas de monitorización de cargas de forma no intrusiva y los logros obtenidos por cada uno de ellas. A la vista de los resultados, no se puede decir que ninguno de los tres principales métodos (heurístico, estadístico, redes neuronales) posea una supremacía sobre los otros. Sin embargo, ajustándonos a los requerimientos de bajo consumo expuestos podemos declinarnos por uno de ellos.

Los sistemas heurísticos a priori requieren de menos carga computacional, menor frecuencia en el muestreo de las características que adquieren; por el contrario, precisan de una mayor intervención externa para fijar reglas lógicas o introducción de normas de funcionamiento, siendo menos versátiles. Los sistemas estadísticos requieren de una fuerte carga computacional para la obtención de resultados, siendo semejantes en cuanto al número de signatures a las redes neuronales. Las redes neuronales, por su parte, requieren de una carga computacional media (dependiente de la red y la configuración) permitiendo ser fácilmente implementadas en computadores de rango medio, de propósito general. Se elegirán las redes neuronales como modelo de reconocimiento.

Otros parámetros importantes que definen el sistema son las signatures elegidas y la frecuencia de muestreo que se tratará más adelante sobre ellas.

Un pilar fundamental sobre el que se basa este trabajo es el realizado por [TSAI 11], debido a que usa gran cantidad de parámetros extraídos de la forma de onda de la corriente, el uso de algoritmos genéticos en la elección de signatures y su comparativa entre redes neuronales.

3. SISTEMA ADQUISICIÓN

El sistema físico de adquisición sigue un diagrama de bloques como el descrito en la figura 10: adquisición, acondicionamiento, digitalización y envío para el almacenamiento. Según los sistemas vistos, estos bloques varían poco en cuanto a su funcionalidad, diferenciándose en las prestaciones conforme el paso de tiempo.

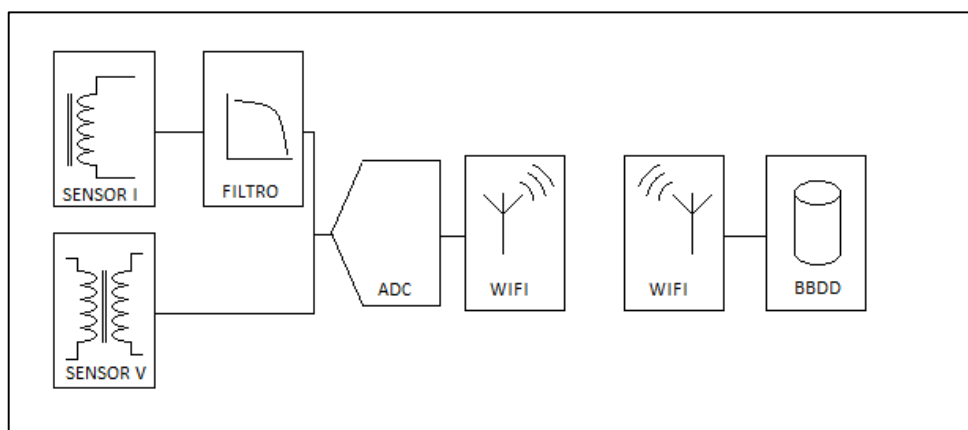


Fig. 10 Diagrama de bloques del sistema.

Es necesario obtener ciertos parámetros que constituirán las entradas a la red neuronal. Debido al compromiso de realizar un sistema de medias prestaciones, se usará como base el mismo sistema de adquisición que se usará para implementar el procesamiento, acercándose al sistema real y evitando la incertidumbre que podría provocar el paso del entorno de laboratorio al entorno real.

A continuación describiremos el sistema físico completo utilizado.

3.1. ADQUISICIÓN

La onda de corriente será obtenida mediante transformador de corriente tipo “pinza amperimétrica” modelo SCT0400-025 de MAGNELAB; proporciona una tensión de 0.333V a 25 Amperios de fondo de escala y fue sometida a una prueba de atenuación de señal, ya que el fabricante especifica la frecuencia máxima de operación en 400Hz por debajo de la de adquisición como se verá.

De la tensión, sólo se capturarán los pasos por cero de la misma mediante un transformador 230V/3.7V 4.8VA modelo ACP-7E de NOKIA para determinar el desfase corriente-tensión de la carga.

3.1.1. ENSAYO TRANSFORMADOR DE CORRIENTE

MATERIAL:

- Fuente de potencia
- Transformador de corriente SCT0400-25 (MAGNELAB)
- Resistencia de potencia
- Osciloscopio

3. SISTEMA ADQUISICIÓN

DESCRIPCION:

Debido a que la frecuencia máxima de trabajo de la fuente es de 500Hz, por debajo de 2500Hz, la frecuencia de muestreo (como se verá más adelante), resulta imposible establecer una relación de ganancia directamente. Por ello, se excitará el esquema de la figura 11 en dos fases tal como se explica:

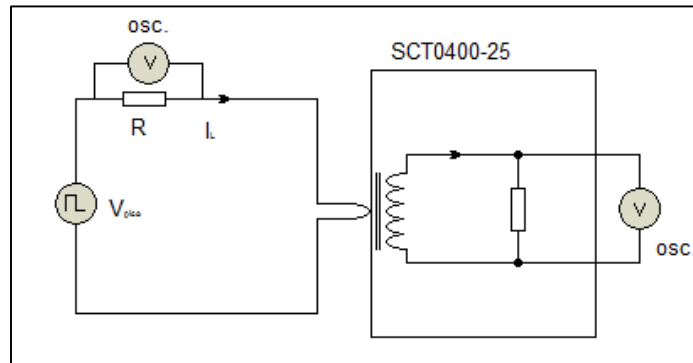


Fig 11 Ensayo del transformador de corriente.

Primera fase: excitación mediante senoides de frecuencias 50, 100, 500Hz

- V_{fuente} : 110Vpico senoidal.
- F_{fuente} : 50, 100Hz y 500Hz
- R : Resistencia cerámica de 10Ω 5%
- I_L : 11Apico.

Se obtiene los siguientes valores de pico de la tabla 4:

Frec.(Hz)	Vsensor (mV)
50	146
100	146
500	146

Tab. 4 Resultado del ensayo del transformador de corriente primera fase.

No se aprecia atenuación.

Segunda fase: Excitación mediante una onda cuadrada de tensión comprobando que la respuesta frecuencial de la onda obtenida en el sensor no contiene atenuaciones en la banda de interés (despreciando la inductancia real de la resistencia).

Con los siguientes datos:

- V_{fuente} : 110Vpico
- F_{fuente} : 500Hz
- R : Resistencia cerámica de 10Ω 5%
- I_L : 11Apico.

Se obtienen los siguientes valores, mostrados en Tabla 5, para las frecuencias armónicas de la fundamental en valores normalizados:

3. SISTEMA ADQUISICIÓN

Frec.(Hz)	Vfuente	Vsensor	Vfuente/Vsensor
500	1.0000	1.0000	1.0000
1500	0.3133	0.3043	0.9713
2500	0.1500	0.1408	0.9387
3500	0.1129	0.1033	0.9149
4500	0.0931	0.0821	0.8819
5500	0.0689	0.0549	0.7968
6500	0.0619	0.0419	0.6770
7500	0.0537	0.0277	0.5155
8500	0.0438	0.0138	0.3154

Tab. 5 Resultado del ensayo del transformador de corriente.

La figura 12 muestra el resultado del ensayo

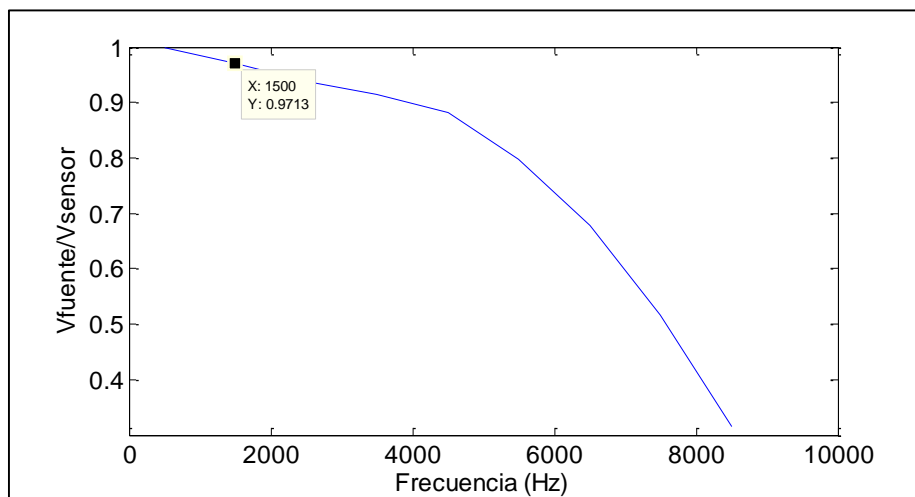


Fig. 12 Resultado del ensayo del transformador de corriente.

Como se puede apreciar existe una ligera atenuación hasta la frecuencia de 4500Hz pronunciándose a partir de la misma. Para la frecuencia de Niquist la ganancia resulta ser superior al 0.9

Tercera fase: excitación mediante senoide de frecuencia 50Hz, para determinar el desfase entre la onda de excitación y la onda resultante; el resultado es un desfase de 6.3°.

3. SISTEMA ADQUISICIÓN

3.1.2. ENSAYO TRANSFORMADOR DE TENSIÓN

MATERIAL:

- Transformador de tensión ACP-7E (NOKIA)
- Osciloscopio

DESCRIPCION:

Se somete al transformador a un ensayo de desfase entre bobinados según el esquema de la figura 13.

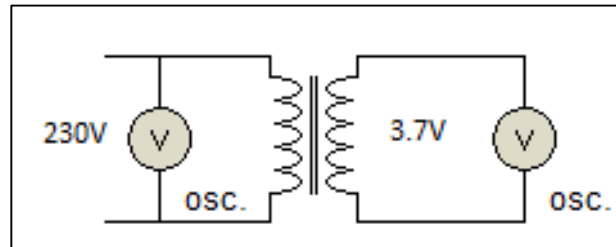


Fig. 13 Ensayo del transformador de tensión.

El resultado es un desfase de 4.95 grados

3.2. ACONDICIONAMIENTO, DIGITALIZACIÓN Y ENVÍO

El sistema se basa en la placa comercial *Flyport WIFI* de *OpenPICUS*, que consta de un microcontrolador, un regulador de tensión, y un módulo wifi; a esta base hardware se le dota de una placa aneja (figura 14) que es la encargada del acondicionamiento de señal. El Flyport realiza la conversión digital, y la comunicación a PC para el almacenamiento de los datos. Mediante el transformador de campo magnético a tensión conectado a J2 se realiza el muestreo de la forma de onda de la corriente; un transformador de tensión conectado a J1 registra la onda de tensión:

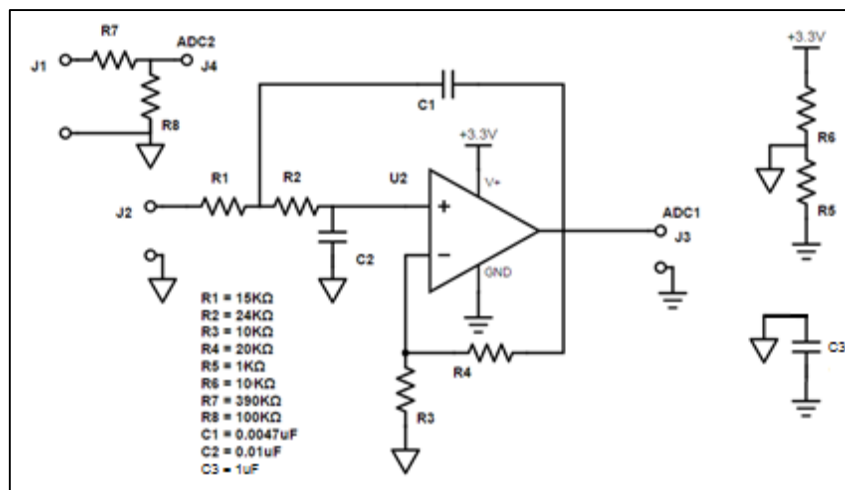


Fig. 14 Esquema de la placa acondicionadora de señal.

3. SISTEMA ADQUISICIÓN

El amplificador operacional está configurado como filtro Sallen Key de segundo orden con $f_c=1223.5$ Hz y amplificación de 3 (figura 15). La masa virtual necesaria para elevar las señales provenientes del sensor ($\pm 0.333V_{pico}$) y que sean positivas a fin de usar el amplificador con alimentación simple resulta del punto medio del divisor resistivo formado por R6 y R5, con un valor de 0.3V sobre la masa de alimentación. Esto permite usar el sistema para cargas de hasta 5.18Kw.

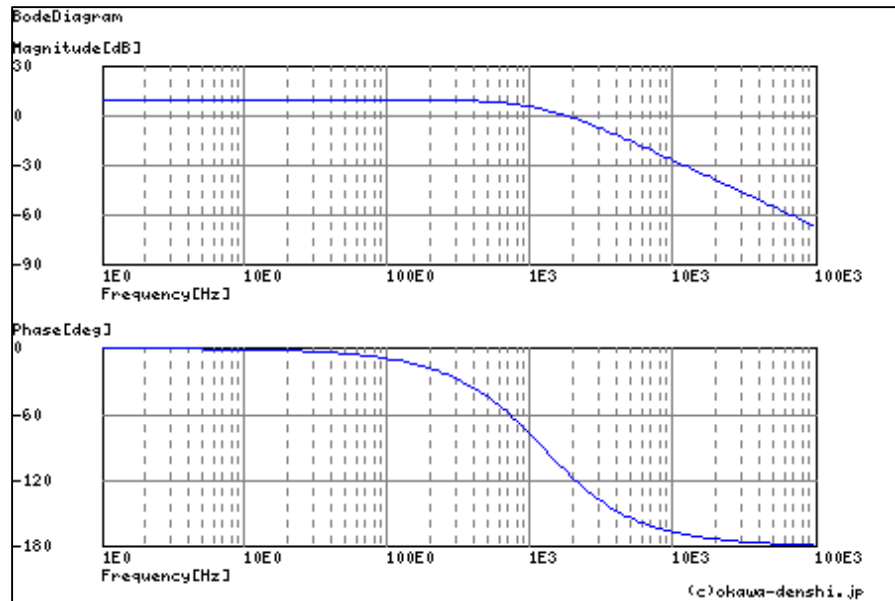


Fig. 15 Diagrama de Bode del filtro.

La digitalización la realiza el conversor de aproximaciones sucesivas de 10 bits incorporado en el microcontrolador de la placa FlyPort; la referencia es externa al microcontrolador y de 2.048V. La frecuencia de muestreo se fija en 2500Hz, máxima frecuencia de muestreo que ha soportado el sistema sin pérdida de datos en la conexión WiFi entre el sistema de adquisición y el almacenamiento.

3. SISTEMA ADQUISICIÓN

3.3. ALMACENAMIENTO

Para la recepción de los datos enviados mediante conexión WiFi, se dispone de un ordenador PC con el programa MatLab encargado de la recepción y almacenamiento de todas las ondas capturadas. Posteriormente se procederá al análisis de estas señales (ANEXO II y siguientes). La tabla 6 resume los parámetros característicos del sistema físico.

Sensor de corriente	Fondo escala del sensor de corriente	0.333V a 25 A
	Ganancia 50Hz-1250Hz	>0.9
	Desfase	6.3°
Transformador de tensión	V primario	230V
	V secundario	3.7 Vrms
	Desfase	4.95°
Acondicionamiento	Frecuencia corte del filtro	1223.5Hz
	Margen de fase	68.2° a 1780Hz
	Ganancia filtro	3
	Masa virtual	0.3V
	Potencia máxima medible	5.18Kw
Digitalización	Nº Bits ADC	10
	Referencia	2.048V
	Frecuencia muestreo	2500Hz

Tab. 6 Parámetros del sistema.

4. ANÁLISIS DE LOS DATOS

Una vez descrito el sistema de adquisición, se realiza una base de datos con las señales capturadas para su posterior análisis.

4.1. BASE DE DATOS

La base de datos consta de diversos ficheros en los que se han capturado la forma de onda de corriente y pasos por cero de la tensión de los electrodomésticos testados (tabla 7):

Designación de carga	Nº Cargas simultáneas	Potencia Nominal(W)	Observaciones
Bat1	1	750	Batidora
Bat2	1	750	Batidora
Bat3	1	750	Batidora
Expr	1	20	Exprimidor
Micr	1	800	Microondas
Sand	1	750	Sandwichera
Ven1	1	60	Ventilador
MicrOnYSandOn	2	1550	Agregada de anteriores
SandOnYBat3On	2	1500	Agregada de anteriores
Ven1OnYBat3On	2	810	Agregada de anteriores
Ven1OnYMicrOnYSandOn	3	1610	Agregada de anteriores

Tab. 7 Población de cargas.

Notas:

- Las cargas denominadas Bat1, Bat2 y Bat3 se refieren a la misma batidora regulada mediante mando deslizante y triac, en las posiciones más baja, a la mitad de recorrido del mando y en la posición más alta, respectivamente en vacío.
- El exprimidor es usado normalmente (no en vacío) por lo que el par resistente es dependiente de la fuerza ejercida en cada instante.
- El microondas, a la vista del perfil de la corriente, sigue una secuencia de dos fases al aplicar toda su potencia. Es usado en modo Quick (toda la potencia durante el máximo tiempo posible).
- Sandwichera usada normalmente.
- Ventilador usado normalmente a la velocidad 3 (máxima velocidad).
- Las cargas agregadas son una sucesión de conexiones y desconexiones en el orden indicado por el nombre.

4. ANÁLISIS DE LOS DATOS

4.1.1. PROCEDIMIENTO DE CAPTURA

Se realizan 10 trials por cada carga siguiendo el siguiente protocolo:

Protocolo:

- Comienzo de grabación de datos.
- Espera de 3 segundos
- Conexión de la carga a la red.
- Espera de 3 segundos.
- Conexión de segunda o sucesivas cargas cada 3 segundos.
- Desconexión de la última carga conectada (orden inverso).
- Espera de 3 segundos.
- Desconexión de penúltima o predecesoras cargas cada 3 segundos (orden inverso).
- Finalización de grabación de datos.

Como resultado se obtienen 110 ficheros de datos, con al menos una conexión y desconexión por carga. Ejemplo de un fichero es el de la figura 16 y detalle de la conexión de una carga agregada la figura 17.

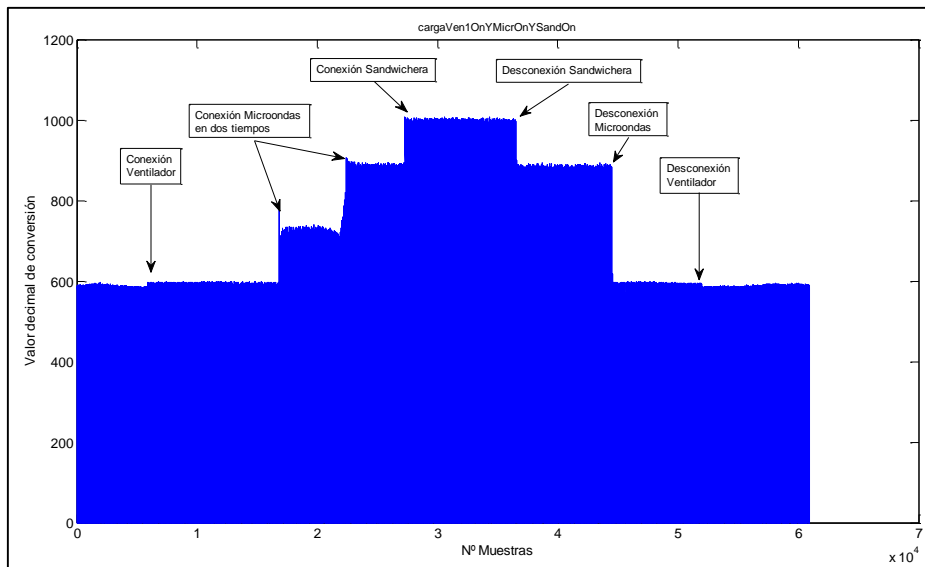


Fig. 16 Corriente obtenida de un trial de la carga Ven1OnYMicrOnYSandOn.

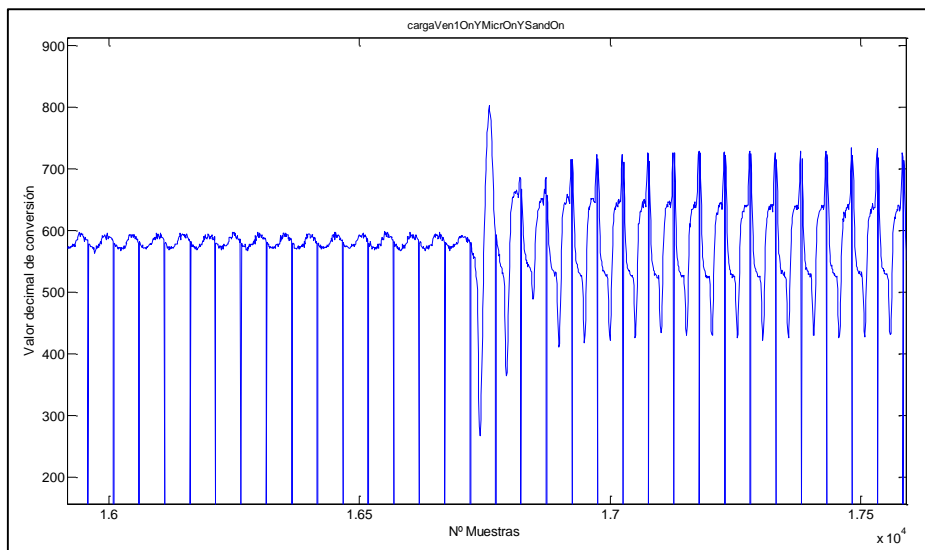


Fig. 17 Detalle de la conexión del microondas agregada a la señal del ventilador.

4. ANÁLISIS DE LOS DATOS

Las muestras con valor cero son ficticias y se han intercalado durante el muestreo para indicar el momento del paso por cero de la tensión. Posteriormente serán separadas, marcando así el desfase corriente-tensión.

Como se observa del protocolo, no se han tenido en cuenta **conexiones** simultáneas de cargas.

Otro aspecto a destacar es la diferencia del transitorio al régimen permanente, lo que proporciona información valiosa del electrodoméstico conectado como constatan [NORFORD 96], [LAUGHMAN 03] [WANG 12] [YANG 07] [TSAI 11] [LIN 12].

4.2. PROCESADO

Las ondas así capturadas, se someterán a un acondicionamiento de la señal para posteriormente obtener las características para las entradas de la red neuronal. El código de esta simulación de procesado puede consultarse a partir de la línea 150 del ANEXO II.

4.2.1. EXTRACCIÓN DEL PERIODO DE FUNCIONAMIENTO

Como se ha visto en la descripción del protocolo, existe un periodo entre el comienzo de captura y la conexión de 3 segundos (al igual que en la desconexión) y de funcionamiento en régimen estacionario antes de la conexión de otro dispositivo. Hay que identificar el momento de éstos eventos a fin de extraer los intervalos en los que únicamente están la o las cargas de interés. En el caso de cargas únicas, el intervalo de interés es el correspondiente al estado de conexión (incluyendo el transitorio); en el caso de cargas agregadas, el intervalo es el correspondiente a estar todas las cargas conectadas a la vez. Se siguió inspección visual para determinar el momento de la conexión y desconexión. En el ejemplo de la carga batidora en la velocidad media (Bat2) se puede señalar como momento de la conexión el señalado en la figura 18. Aplicando el mismo criterio a las cargas no agregadas y agregadas, se obtienen el periodo de ON (ANEXO II líneas 150-164).

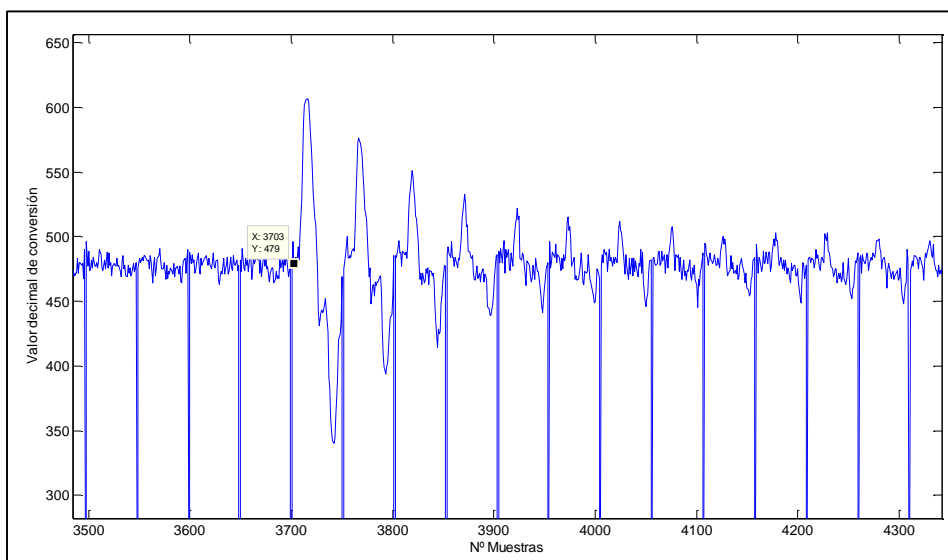
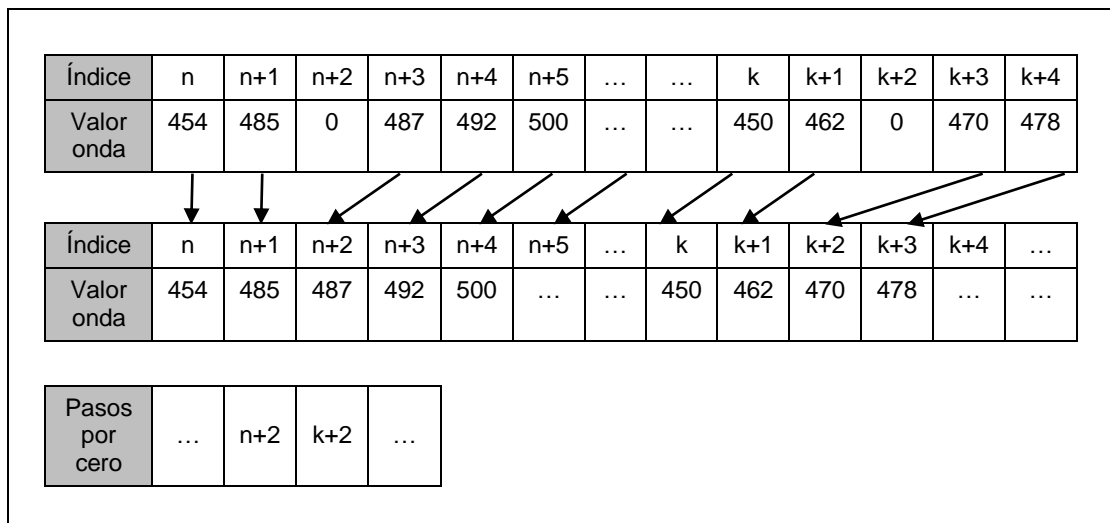


Fig. 18 Detalle de la conexión de la carga Bat2.

4. ANÁLISIS DE LOS DATOS

4.2.2. EXTRACCIÓN DE LOS PASOS POR CERO DE LA TENSIÓN.

Como se ha mencionado, para no sobrecargar el canal WiFi, no se envía la señal completa de tensión, sino que mediante un algoritmo de comparación y filtrado en el microcontrolador se determina el momento del cruce por cero con tendencia decreciente de la misma, momento en el que se incluye un valor cero en los datos de la onda de corriente. De esta manera queda registrado y sincronizado el cruce por cero de la tensión. Por lo cual, ahora es necesario eliminar ese registro, guardando el valor que ocupaba en la secuencia para posteriormente obtener el corriente-tensión tal y como se ilustra en el siguiente esquema de vectores (tabla 8) (ANEXO II líneas 373-413):



Tab. 8 Esquema de la extracción de pasoso por cero.

4.2.3. EXTRACCIÓN DE LOS PASOS POR CERO DE LA CORRIENTE.

Para la determinar cuándo se producen los pasos por cero de la corriente se comienza eliminando la componente continua de la señal, mediante un filtro de mediana, el cual resta a cada punto, la mediana de la totalidad de ella misma. A la vista de los resultados obtenidos en la figura 19 para la carga Bat1, determinar el momento del paso por cero resulta imposible debido a que la señal puede cambiar de signo varias veces en un periodo. Se opta por someter a la señal a un filtrado digital, que permita determinar el momento del cruce por cero con pendiente negativa (ANEXO II líneas 417-496).

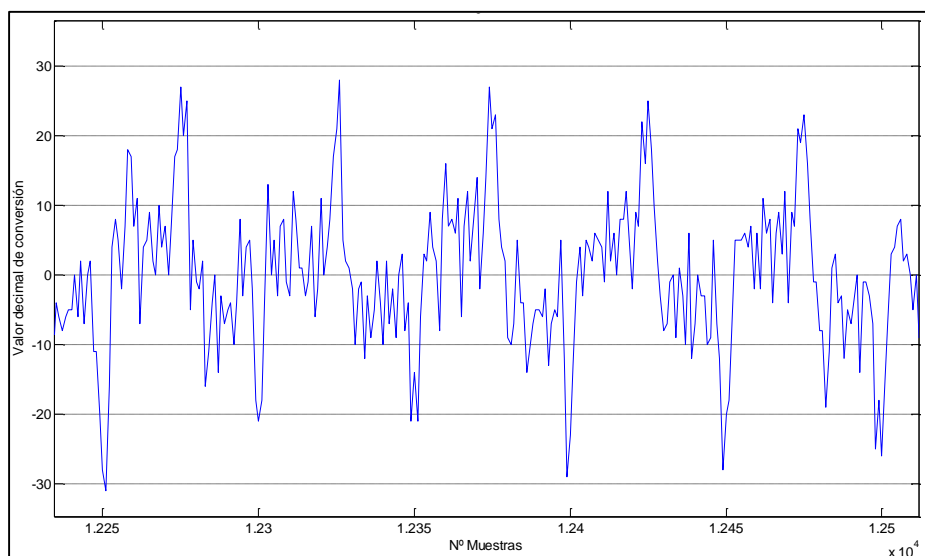


Fig. 19 Detalle de los pasos por cero de la corriente.

4. ANÁLISIS DE LOS DATOS

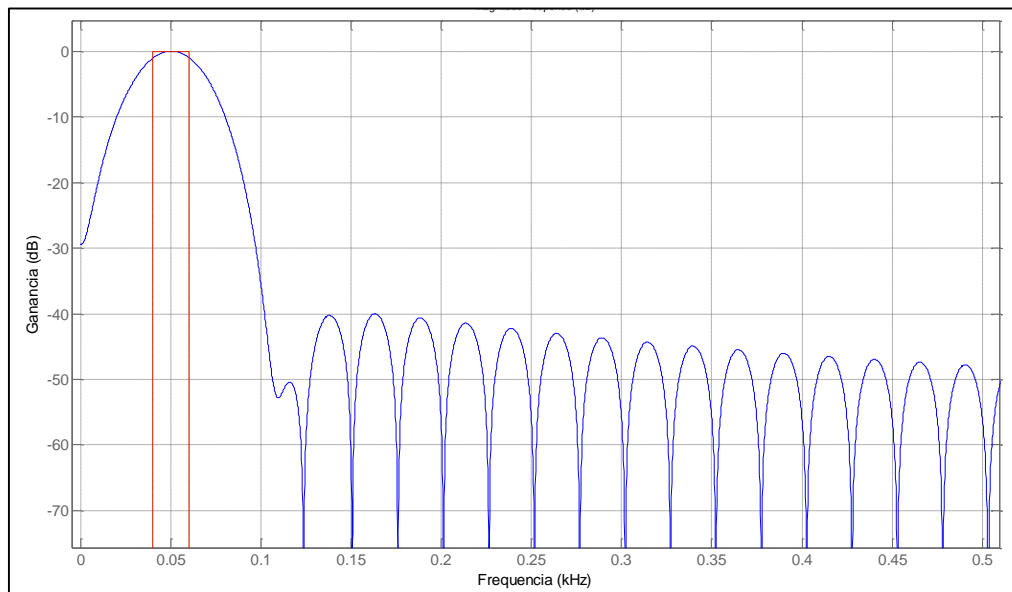


Fig. 20 Ganancia del filtro digital.

En la figura 20 se observa el diagrama de Bode de la ganancia del filtro; se ha optado por un filtro paso banda con frecuencias de corte 40 y 60 Hz tal y como se aprecia para obtener la componente correspondiente a los 50 Hz. El resto de parámetros del filtro se pueden consultar en el Anexo I.

El resultado de aplicar tal filtro a la carga BAT1 puede observarse en la figura 21 donde se ha corregido el retardo de grupo correspondiente a 50 muestras. De esta señal filtrada puede extraerse el cruce por cero.

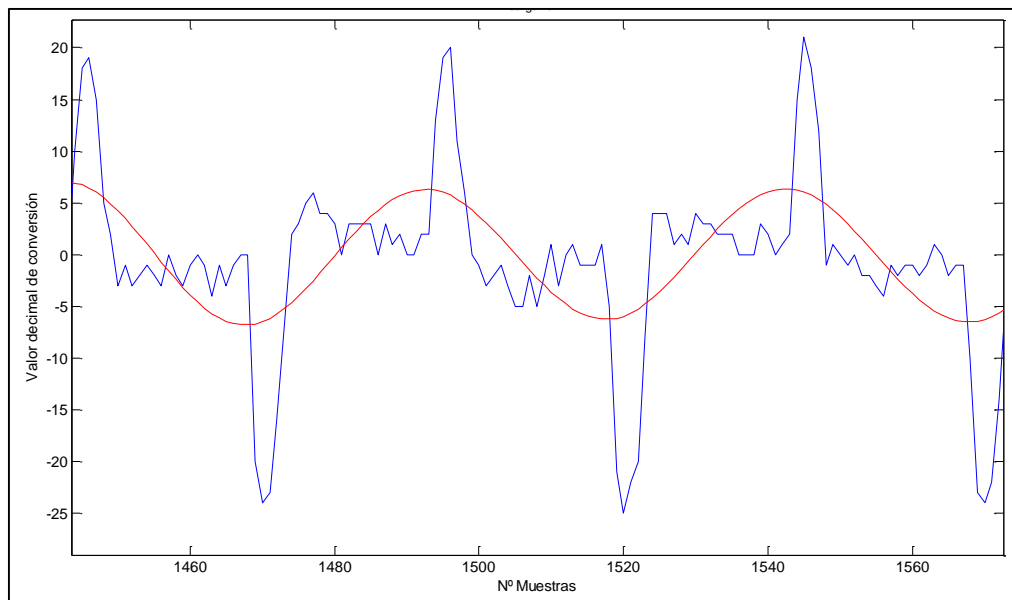


Fig. 21 Corriente en crudo y corriente filtrada.

Para este tipo de cargas activadas mediante interruptores controlados, hay que notar que el resultado no corresponde con el factor de potencia ni el ángulo de la impedancia debido a que las formas de onda de la corriente alimentadas mediante estos interruptores (tipo triac, etc) rompen con la excitación permanente sinusoidal, condición necesaria para que el factor de potencia coincida con el desfase entre tensión y corriente. Por tanto, este parámetro es otra impronta de la corriente de la carga, sin ser estrictamente un parámetro convencional.

4. ANÁLISIS DE LOS DATOS

A partir de estos datos, se obtiene el desfase entre las ondas de tensión y corriente restando ambos pares de ordenadas (posiciones del paso por cero de la corriente y de la tensión).

4.3. EXTRACCIÓN DE CARACTERÍSTICAS

A partir de este momento, la onda se encuentra preparada para extraer las características que servirán como entrada a la red neuronal; han sido seleccionadas en su mayoría siguiendo el criterio de [TSAI 11], otras debido a que han sido elegidas por la mayoría de las fuentes consultadas, mientras que algunas han sido escogidas a criterio del autor del presente.

- Valor eficaz.
- Centroide del patrón de Concordia modificado.
- Amplitudes de espectro del primer, tercer y quinto armónico.
- Valor de pico.
- Valor a cuarto de onda.
- Desfase corriente-tensión.

El archivo resultante del acondicionamiento de la señal tras haber obtenido el periodo de funcionamiento, extraídos los pasos por cero de la tensión y eliminada la componente continua se divide en ventanas de ciclos completos con el fin de obtener por una parte, una cantidad de señal significativa sobre la que operar al ser mayor de un único ciclo, y por otra parte, obtener una gran cantidad de muestras o individuos.

Se ha fijado un ancho de ventana de 10 ciclos completos de señal.

4.3.1. CALCULO DEL VALOR EFICAZ

El valor RMS de la onda se calcula mediante la siguiente fórmula:

$$I_{RMS} = \sqrt{\frac{1}{N} \sum_{i=1}^N x_i^2}$$

Siendo N el número de muestras por ventana e igual a 500. (Frecuencia de muestreo dividido por 50 ciclos por segundo de la red y multiplicado por el ancho de ventana: 10) (ANEXO II líneas 893-1164).

4.3.2. CENTROIDE DE CONCORDIA

Haciendo uso de las características del centroide de los patrones de la Conversión de Concordia modificada, [GILREATH 06], se puede obtener información del contenido armónico de la onda.

Para ello es necesario tener un sistema trifásico equilibrado; puesto que no es el caso de estudio, se genera un sistema trifásico ficticio, triplicando la onda de corriente, posteriormente desfasándolas y eliminando las muestras sobrantes del desfase (Figura 22) (ANEXO II líneas 893-1164).

4. ANÁLISIS DE LOS DATOS

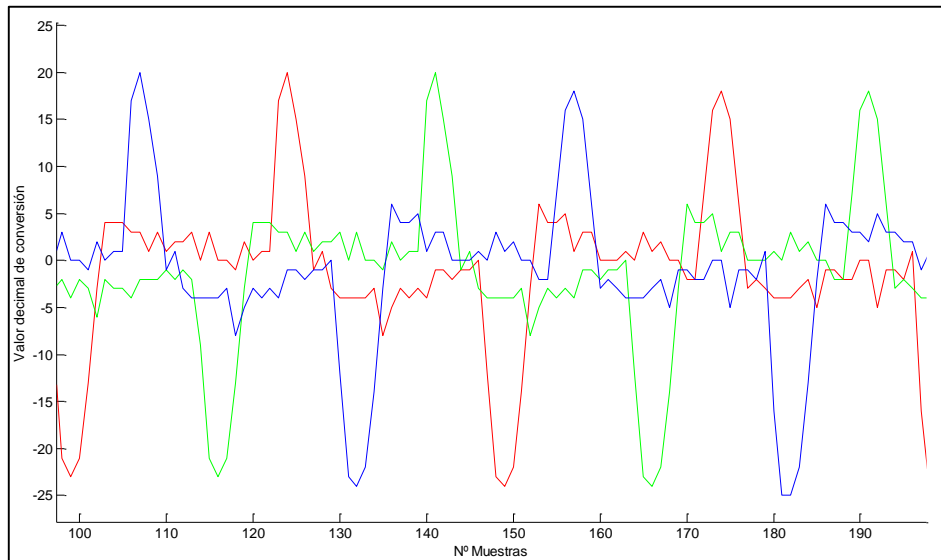


Fig. 22 Sistema trifásico ficticio.

Posteriormente se calcula la transformada de Concordia según estas fórmulas:

$$i_{\alpha} = \sqrt{\frac{2}{3}} i_a - \frac{1}{\sqrt{6}} i_b - \frac{1}{\sqrt{6}} i_c$$

$$i_{\beta} = \frac{1}{\sqrt{2}} i_b - \frac{1}{\sqrt{2}} i_c$$

Siendo i_a , i_b e i_c la onda de corriente original y las desfasadas.

Se realiza la modificación de la transformada propuesta en el artículo, tomando valor absoluto alguna de las coordenadas i_{α} o i_{β} , obteniendo así los pares $[i_{\alpha}, |i_{\beta}|]$ o bien $[|i_{\alpha}|, i_{\beta}]$.

En la figura 23 se puede ver una comparativa entre los contornos obtenidos mediante este método para la carga agregada de ventilador, microondas y sandwichera (a) y la teórica mostrada en el artículo mencionado.

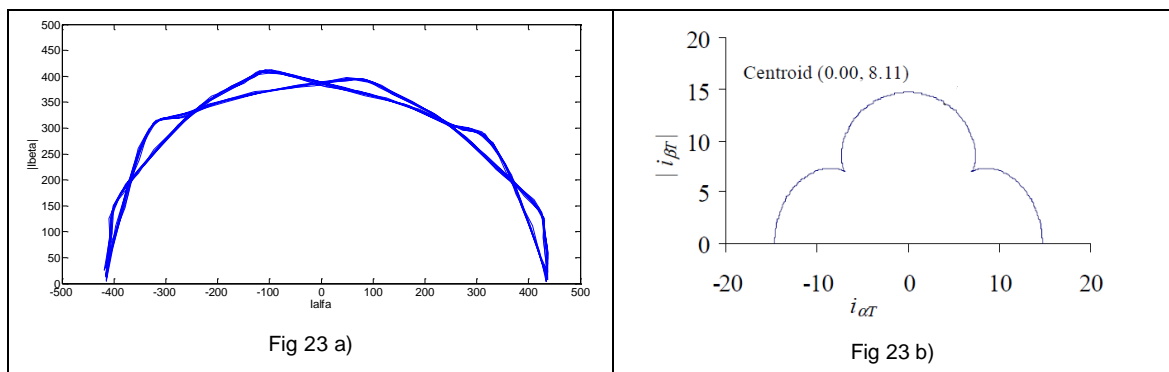


Fig. 23 Comparativa entre contornos

4. ANÁLISIS DE LOS DATOS

A continuación se obtiene el centroide de estos contornos mediante las formulas:

$$C\alpha = \frac{\sum_{i=1}^N i_{\alpha i}}{N}$$

$$C\beta = \frac{\sum_{i=1}^N |i_{\beta i}|}{N}$$

Donde $C\alpha$ y $C\beta$ (Cbeta) son las coordenadas del centroide para los ejes α y β respectivamente, i_{α} e i_{β} los valores instantáneos de la onda capturada y N el total de muestras para una captura.

Estos pares de coordenadas del centroide serán las correspondientes entradas de la red neuronal. El espacio creado por todos los individuos centorides para las diferentes cargas puede observarse en la figura 24

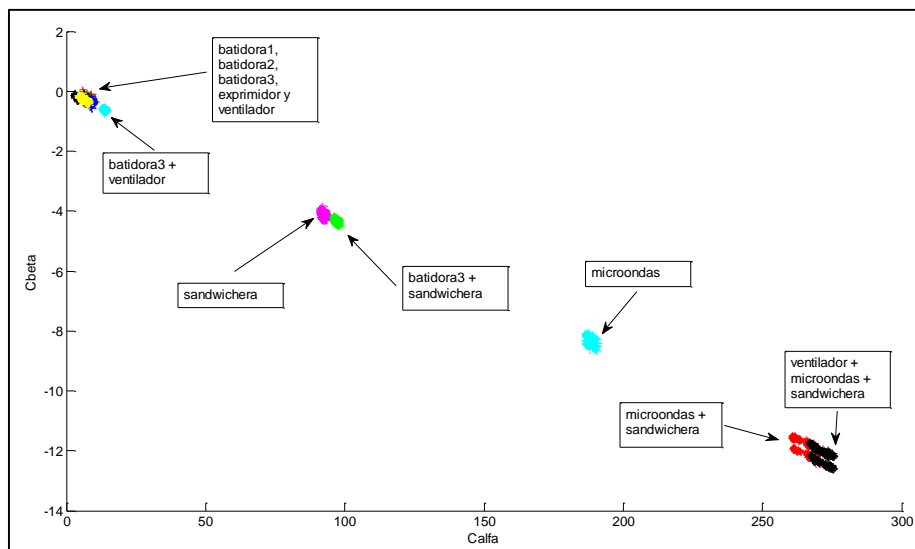


Fig. 24 Espacio de centroides

4.3.3. TRANSFORMADA DE FOURIER

Otras características que se obtienen de la señal es la potencia de los armónicos. Para ello se calcula la transformada de Fourier para el armónico fundamental o primero, tercer y quinto. En la figura 25 se puede ver como la carga microondas (a) presenta cierto contenido armónico de tercer y quinto armónico, mientras que en la carga batidora2 (b) el contenido es mucho mayor, con escasa diferencia entre quinto y tercero (ANEXO II líneas 893-1164).

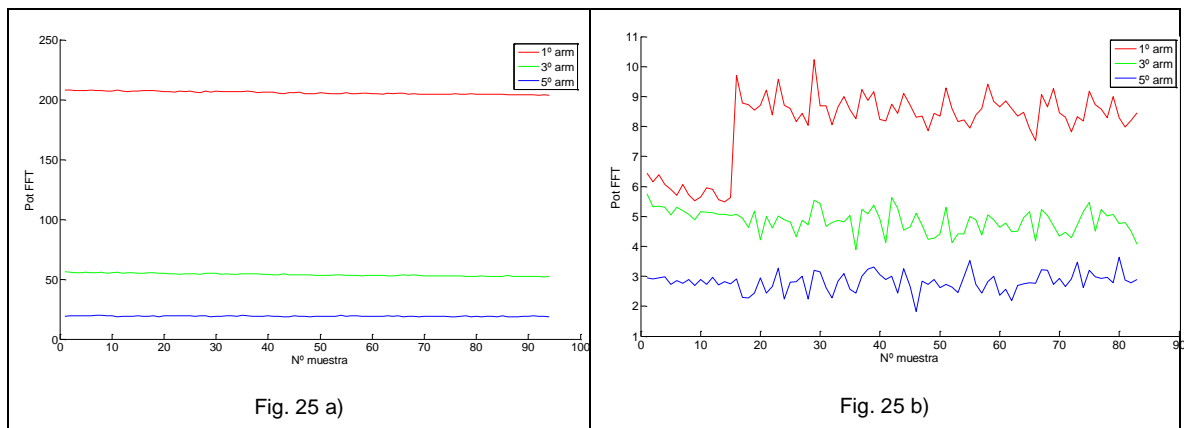


Fig. 25 Potencia de la transformada de Fourier. Rojo: 1º armónico. Verde: 3º armónico. Azul: 5º armónico.

4. ANÁLISIS DE LOS DATOS

Por cargas, podemos apreciar las potencias del primer, tercer y quinto armónico en las figuras 26, 27 y 28 respectivamente.

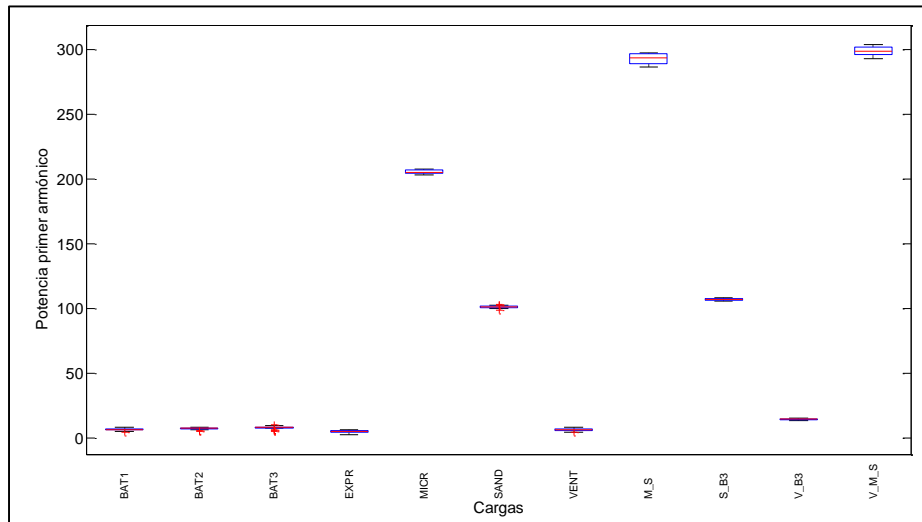


Fig. 26 Boxplot potencia del primer armónico por cargas.

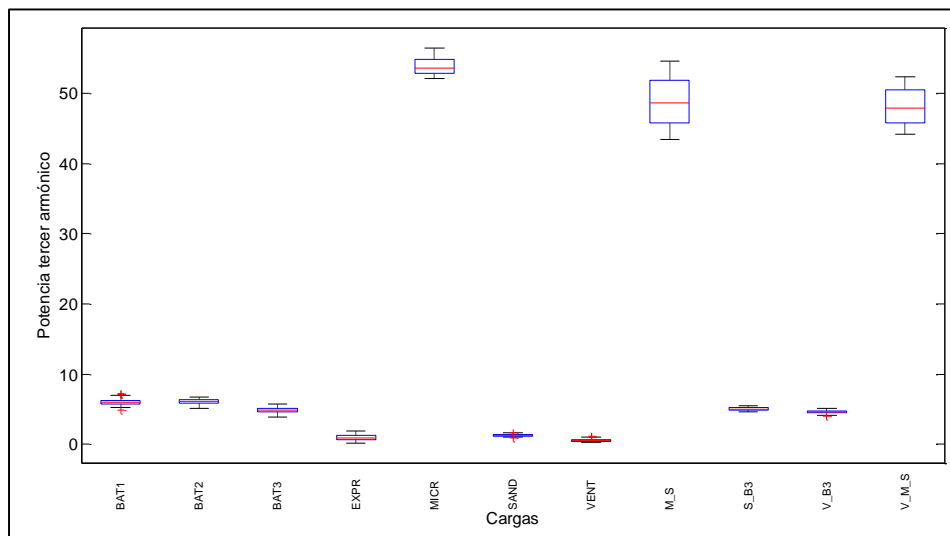


Fig. 27 Boxplot potencia del tercer armónico por cargas.

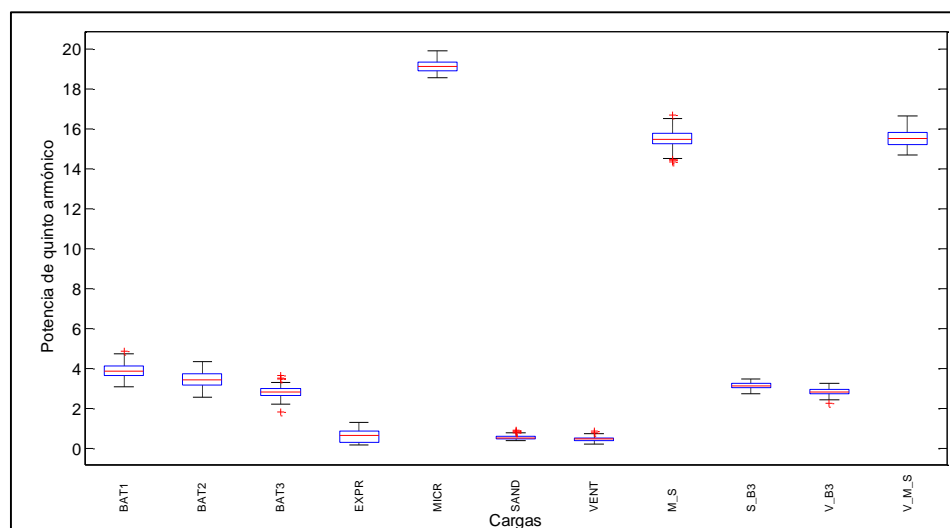


Fig. 28 Bloxplot potencia del quinto armónico por cargas.

4. ANÁLISIS DE LOS DATOS

4.3.4. VALOR DE PICO

El valor de pico se elige como el máximo valor de cada ventana o individuo. En la figura 29 se puede observar la variabilidad de los resultados (ANEXO II líneas 1165-1364).

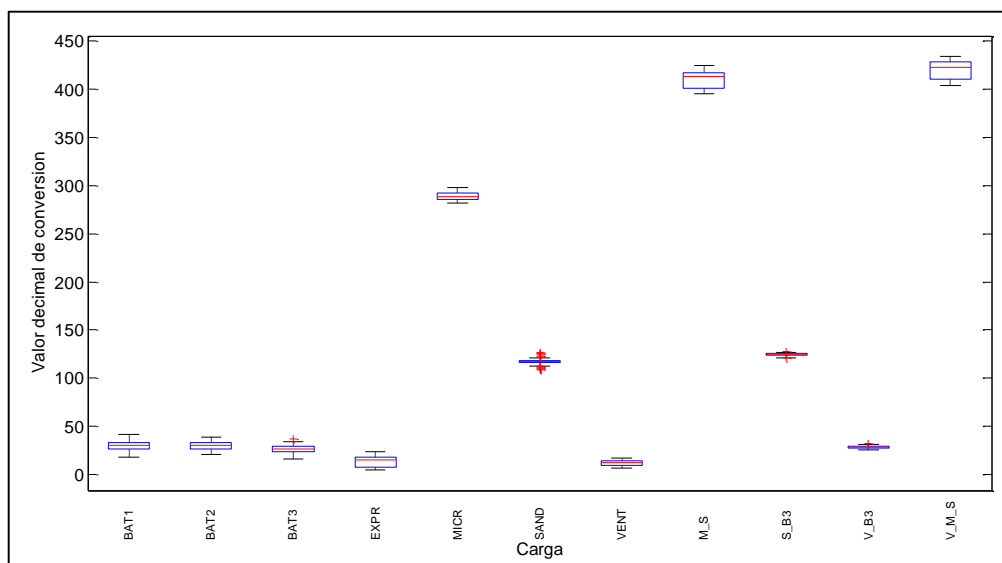


Fig 29 Boxplot del valor de pico referido a cada carga.

4.3.5. VALOR DE INTER SEMIPERODO

Este parámetro es el valor de la onda de corriente en la posición correspondiente a la máxima diferencia que existe entre una onda sinusoidal pura, y otra sinusoidal afectada por una distorsión de tercer armónico igual a una onda cuadrada. Para calcular esta posición, se resta punto a punto (figura 30(b)) una senoide de amplitud unidad, menos la composición de esa misma senoide más el tercer armónico de una onda cuadrada de amplitud unidad (figura 30(a)). Es decir, a un décimo aproximadamente del período completo; intenta ser una medida de la distorsión producida por el tercer armónico, de forma que ese valor diferirá del valor de una senoide pura en tanto en cuanto aumente el contenido de ese tercer armónico (ANEXO II líneas 1165-1364).

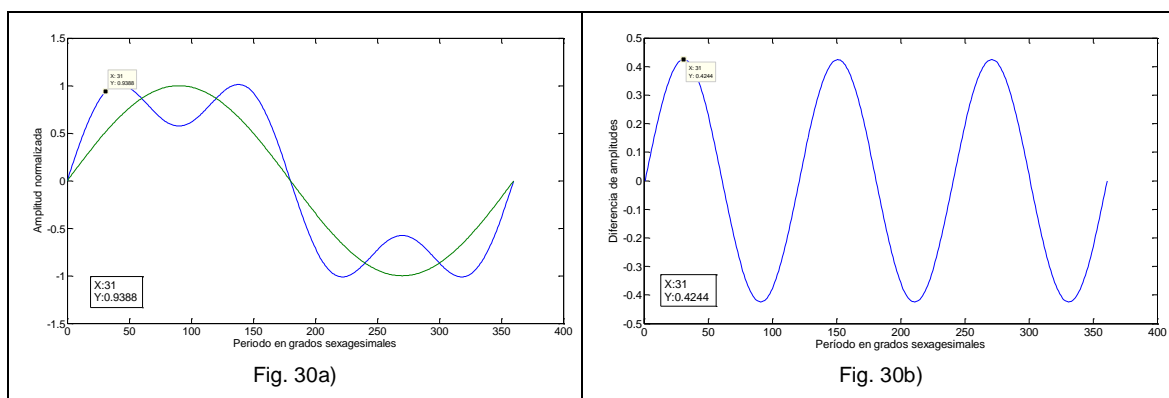


Fig. 30 Elección del valor inter semiperodo.

Para el caso de las señales de corriente, este valor en posición obtenida es dividido por el valor de pico obteniendo estos resultados de la figura 31. El valor negativo proviene de haber elegido el paso por cero en el momento decreciente, y por consiguiente el semiperiodo negativo.

4. ANÁLISIS DE LOS DATOS

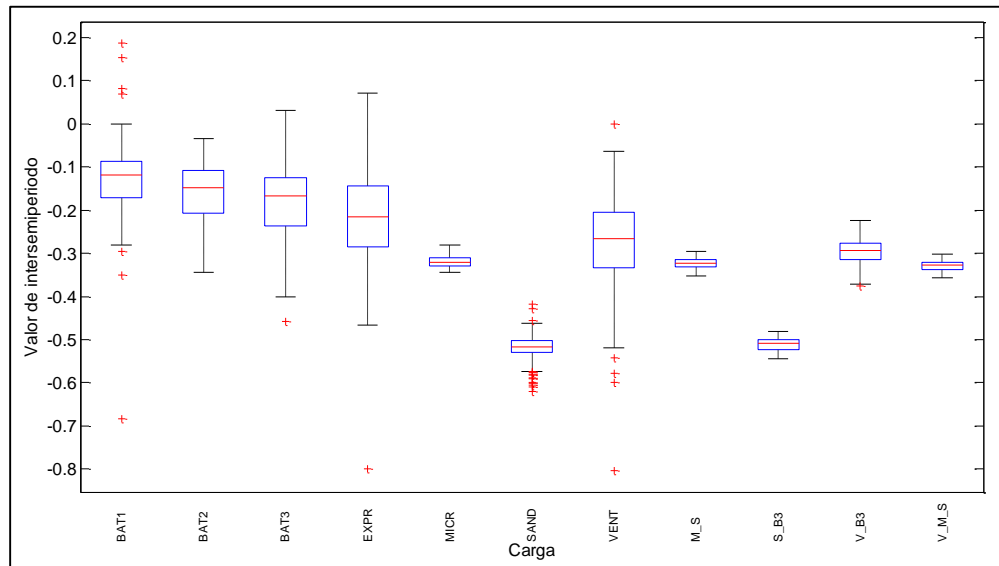


Fig. 31 Boxplot del valor de intersemiperiodo referido a cada carga.

4.3.6. DESFASE TENSION CORRIENTE

Como se ha mencionado con anterioridad, se capturaron los pasos por cero de la tensión, y se sometió a la señal de corriente a un filtrado para obtener un único punto de cruce por cero. El desfase de tensión y corriente se obtiene restando uno a uno cada punto así obtenido. La figura 32 recoge los resultados (ANEXO II líneas 500-891).

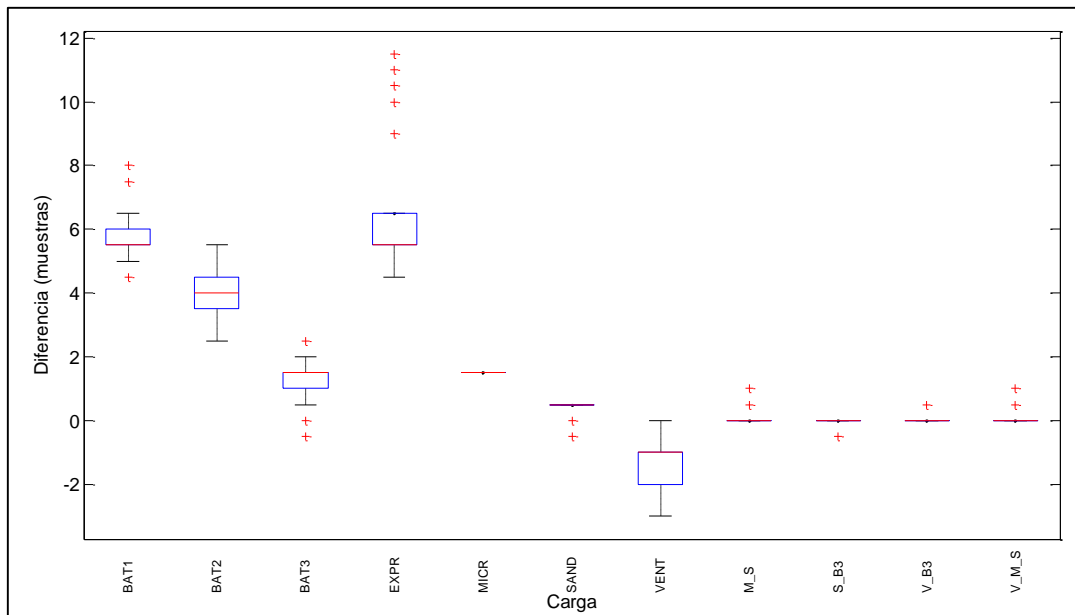


Fig. 32 Boxplot de la diferencia en muestras entre tensión y corriente.

4. ANÁLISIS DE LOS DATOS

4.4. EVALUACIÓN DE LAS CARACTERÍSTICAS ELEGIDAS

Hasta este momento, se ha descrito el método utilizado para acondicionar y extraer características de las señales capturadas dentro de conjunto de electrodomésticos elegidos. Y tal como se ha comentado, la clasificación se realizará mediante una red neuronal. Sin embargo, antes de realizar la selección de la red neuronal para elegir aquella que más se ajuste a los requerimientos, se evalúa el conjunto de características, a fin de tener una línea base sobre la que comparar las modificaciones y tratamientos que se realizara al sistema.

Para ello, el conjunto de datos obtenido como se ha mencionado hasta ahora se presenta a una red neuronal que sirva de primera medida de la posible calidad del sistema; esta red es un mapa auto organizado. Todo el conjunto de características se divide en dos grupos: uno de entrenamiento y otro de verificación. El conjunto de entrenamiento es el que se usa para generar las regiones o clusters de neuronas y calcular los pesos de los enlaces entre neuronas vecinas. El grupo de verificación servirá para calcular cómo de buena ha sido la clasificación, mediante el parámetro kappa, que varía de 0 a 1 (con 1 como clasificación perfecta) (ANEXO II líneas 1634-1747).

El conjunto de datos se dividió al 80% como grupo de entrenamiento y 20% como grupo de verificación. Esta división tuvo en cuenta la proporción de las clases dentro del conjunto, puesto que no hay igual cantidad de individuos en cada clase; así se extrajo el mencionado porcentaje de cada clase.

El tamaño de la red neuronal se eligió de 26x13 neuronas.

El resultado de la clasificación del grupo de validación se expone en la tabla 9 con formato de matriz de confusión

	Bat1	Bat2	Bat3	Expr	Micr	Sand	Ven1	MicrOnYSandOn	SandOnYBat3On	Ven1OnYBat3On	Ven1OnYMicrOnYSandOn
Bat1	20	8	0	0	0	0	0	0	0	0	0
Bat2	1	8	6	0	0	0	0	0	0	0	0
Bat3	0	0	11	0	0	0	0	0	0	16	0
Expr	2	0	0	39	0	0	0	0	0	0	0
Micr	0	0	0	0	19	0	0	0	0	0	0
Sand	0	0	0	0	0	99	0	0	0	0	0
Ven1	0	0	0	0	0	0	42	0	0	0	0
MicrOnYSandOn	0	0	0	0	0	0	0	30	0	0	0
SandOnYBat3On	0	0	0	0	0	0	0	0	22	0	0
Ven1OnYBat3On	0	0	0	0	0	0	0	0	0	6	0
Ven1OnYMicrOnYSandOn	0	0	0	0	0	0	0	0	0	0	33
TOTAL INDIVIDUOS	23	16	17	39	19	99	42	30	22	22	33

Tab. 9. Primera evaluación del sistema clasificador.

El resultado de aplicar el mencionado coeficiente kappa, que nos indica la bondad del clasificador es:

$$Kappa = 0.9081$$

Lo que resulta en un clasificador muy bueno.

4. ANÁLISIS DE LOS DATOS

4.5. REDUCCIÓN DEL COSTE COMPUTACIONAL

Sin embargo, como se mencionó en el objeto de este trabajo, se intentará reducir el coste computacional (y por tanto energético) del sistema usando diferentes técnicas. En base a esta primera aproximación del clasificador, se puede tener una idea de cómo pueden influir estas técnicas en el resultado final del posible clasificador por comparación con el primero.

4.5.1. REDUCCION DE LA FRECUENCIA DE MUESTREO.

Una medida para reducir el consumo consiste en reducir la tasa de muestreo, e intentar mantener el sistema en estado de muy bajo consumo (dormido o sleep) el tiempo inter muestras. Cabe esperar que esta medida empeore la clasificación debido a un empeoramiento de las características elegidas.

Se simula una disminución de la tasa de muestreo mediante la técnica de subsampling, en la que de la señal original se conservan muestras en proporción una de cada dos, una de cada tres, una de cada cuatro,... de forma correlativa, con lo que el efecto es como dividir la frecuencia de muestreo por dos, tres, cuatro,... respectivamente (ANEXO II líneas 1634-1747).

El resultado se puede apreciar en la figura 33

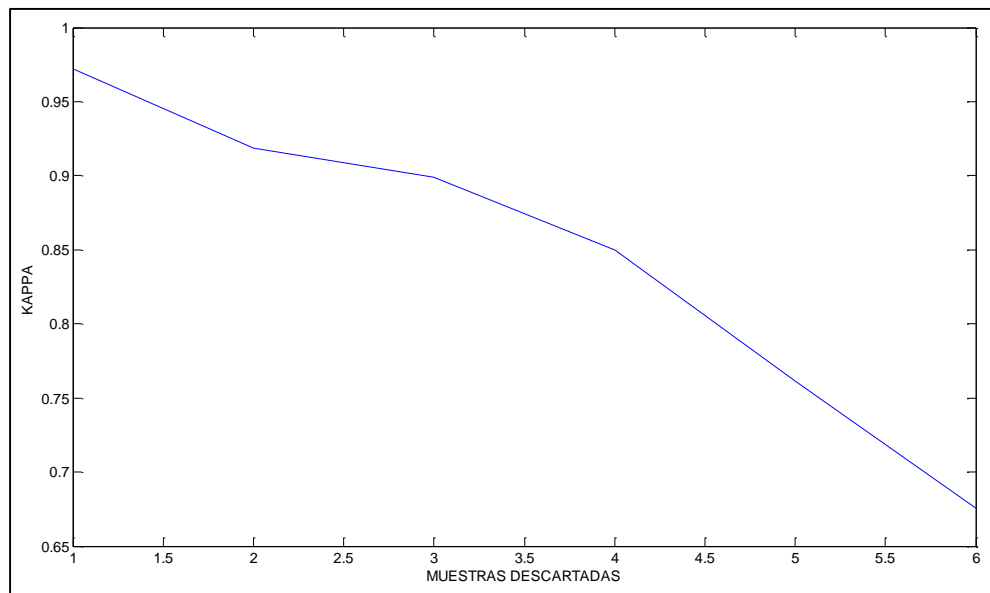


Fig. 33 Degradación del valor Kappa al disminuir la frecuencia de muestreo.

4.5.2. REDUCCION DEL NUMERO DE CARÁCTERÍSTICAS.

Igualmente se han elegido unas características de la onda de corriente que son las encargadas de definir cada una de las cargas. Reducir el número de características también empeoraría el clasificador, sin embargo, reduciría el coste energético de calcularlas y acondicionarlas. Sin embargo, esta reducción o eliminación de entradas de la red neuronal no puede hacerse de forma sistemática; la forma de ver si una característica contiene mucha información útil para la red, es probando. Por ello se ha utilizado un algoritmo iterativo de comprobación, por el cual a una red tipo mapa auto organizado se presentan subconjuntos del total de las características calculadas, obteniendo las combinaciones que cuentan con un kappa mayor. Para esta reducción, no se ha reducido la frecuencia de muestreo, puesto que el resultado buscado es el subconjunto de entradas que menos degrada el valor kappa cualitativamente y no cuantitativamente (ANEXO II líneas 1750-1825).

4. ANÁLISIS DE LOS DATOS

El resultado puede verse en la tabla 10:

KAPPA	RMS	CCDA	CCDB	FFT1	FFT2	FFT3	FP	PICO	CUARTO
0.9638	0	1	1	1	1	1	1	1	1
0.9666	1	1	1	1	1	1	1	0	1
0.9749	1	1	1	1	1	1	1	1	0
0.9777	0	1	1	1	1	1	1	1	0
0.9833	1	1	1	1	1	0	1	1	0
0.9833	1	0	1	1	1	0	1	1	0
0.9861	1	1	1	0	1	0	1	1	0

Tab. 10 Índice Kappa en función de las características presentadas

De esta tabla se puede deducir que hay características que posiblemente introduzcan ruido al sistema como puede ser la entrada “cuarto” ya que el algoritmo la ha descartado en varias ocasiones.

Para reducir el coste computacional y a la vista que hay características que podrían introducir ruido se eliminarán:

- Valor de Inter Semiperiodo (CUARTO).
- Valores de la transformada de Fourier (FFT1, FFT2, FFT3).

4.5.3. DETECCION DE EVENTOS

Siguiendo con el propósito de reducir el coste computacional, reduciendo la frecuencia de muestreo, También se ha estudiado el efecto de la modulación de muestreo. Esta modulación consiste en una vez elegida la frecuencia de muestreo, en lugar de realizar un muestreo continuo se modula el tiempo de durante el que se muestrea y el tiempo durante el que no se realiza acción alguna, permitiendo al sistema cambiar a un modo de muy bajo consumo; esta modulación tiene su base en la técnica PWM en el que se fija un tiempo de trabajo (adquisición a la frecuencia seleccionada) y un tiempo de espera (bajo consumo), pero en este caso los tiempos son mucho mayores que el periodo de la señal.

Se han desechado características propias de los transitorios, las cuales podrían suceder inter muestreo. A pesar de ello, es necesario evaluar un algoritmo de detección de eventos, que inicie el proceso de captura, cálculo y clasificación.

El algoritmo resta a cada valor de la ventana de muestras del tamaño elegido (teniendo en cuenta también el número de muestras variable en función del subsampleo aplicado) el valor de la mediana de la propia ventana, eliminado la componente continua. Posteriormente se suman los valores absolutos de la totalidad de las muestras de la ventana, comparándolas con el resultado de la ventana anterior y según que el resultado de esta comparación esté por encima del valor positivo de un umbral o por debajo del valor negativo de ese umbral se habrá producido una conexión o una desconexión de alguna carga, respectivamente.

Podría darse el caso de que el periodo de captura coincidiera con el transitorio, por lo que al extraerse características únicamente del periodo permanente, habrá que elegir otra ventana temporal como muestra. Esto se realiza mediante una comparación con gradiente, comparando una ventana con la siguiente de forma que se supone que la señal ha alcanzado el régimen estable si entre dos ventanas consecutivas la diferencia de su suma es menor que un valor denominado gradiente (ANEXO V).

4. ANÁLISIS DE LOS DATOS

En la figura 34 se muestra un ejemplo de la captura discontinua enventanada, en la que cada rectángulo amarillo corresponde a un periodo de muestreo. Para el caso de una detección de evento conexión, la ventana quedaría en color verde y de color rojo para la desconexión.

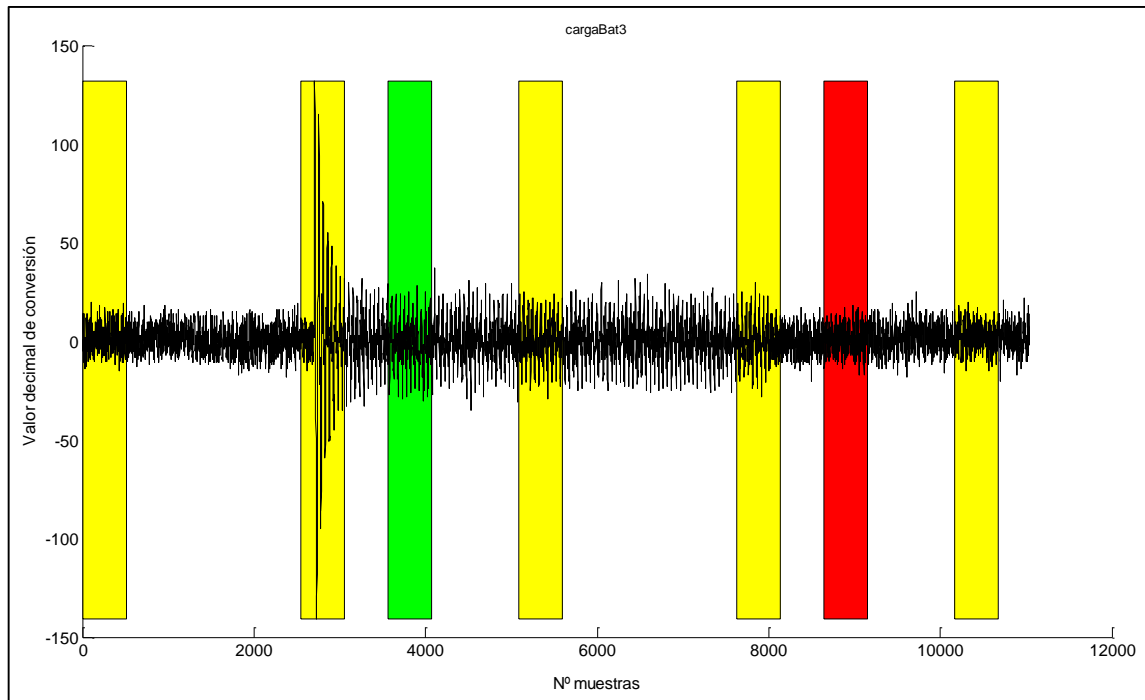


Fig. 34 Ejemplo de muestreo discontinuo, carga simple.

Puede observarse que la ventana elegida como muestra en la conexión, no es la correspondiente por modulación, sino que se encuentra en la zona de onda ya estabilizada para los dos casos de evento conexión (verde) y desconexión (roja).

Igualmente sucede con otros eventos en cargas agregadas. La figura 35 recoge estos eventos.

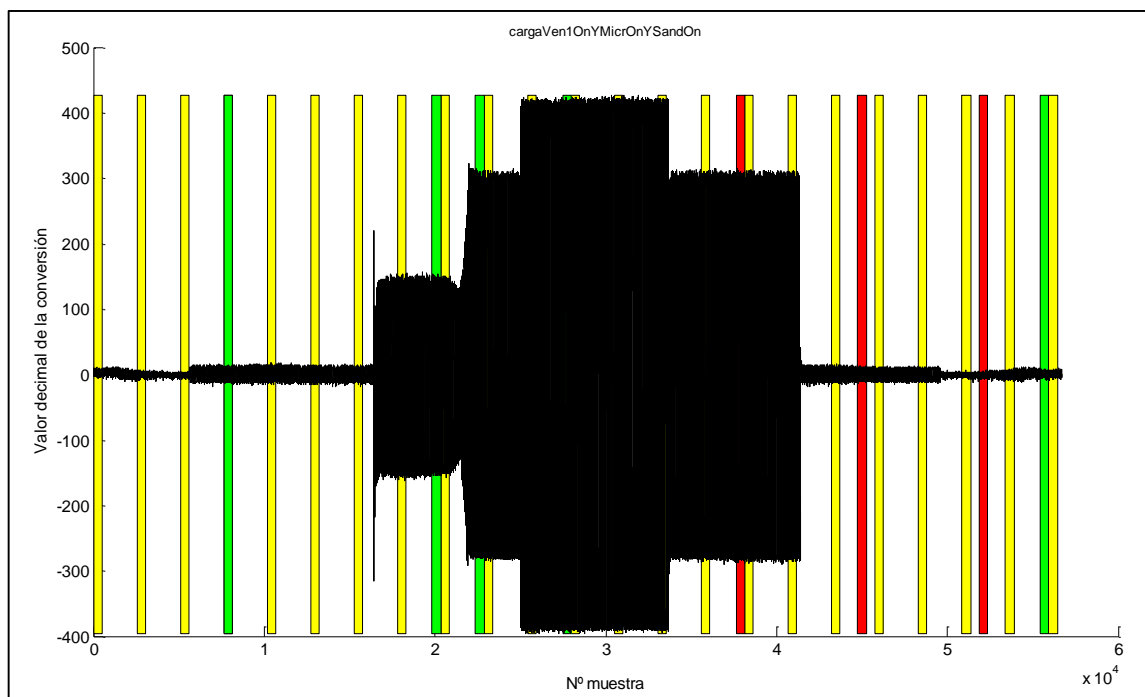


Fig. 35 Ejemplo de muestreo discontinuo, carga compuesta.

4. ANÁLISIS DE LOS DATOS

En este caso la tercera ventana de conexión corresponde al segundo estado de funcionamiento del microondas (el segundo evento detectado correspondería al primer estado de conexión del microondas).

También se pueden observar una falsa conexión al final del primer tercio de la onda correspondiente a la conexión de la sandwichera y otra falsa conexión al finalizar la captura del trial.

4.6. SOLUCION ADOPTADA

Tras presentar las medidas adoptadas encaminadas al uso de un sistema de bajo consumo y baja complejidad computacional, se eligen las soluciones y parámetros para evaluar las posibles redes neuronales (tabla 11).

FRECUENCIA MUESTREO	625 Hz
SUBSAMPLEO	1/4
TAMAÑO DE INDIVIDUO	10 CICLOS
FRECUENCIA INTERMUESTREO	1 Hz
VENTANA DETECTOR EVENTOS	10 CICLOS=130MUESTRAS
THRESHOLD EVENTO	270 UDS. CONVERSION
GRADIENTE INTER VENTANAS	70 UDS. CONVERSION
DATA SET ENTRENAMIENTO/VERIFICACION	80% / 20%
VALOR RMS	INCLUIDA
CENTROIDE CONCORDIA COMPONENTE α	INCLUIDA
CENTROIDE CONCORDIA COMPONENTE β	INCLUIDA
PRIMER ARMONICO	DESECHADA
TERCER ARMONICO	DESECHADA
QUINTO ARMONICO	DESECHADA
DESFASE TENSION CORRIENTE	INCLUIDA
VALOR PICO	INCLUIDA
VALOR INTER SEMIPERODO	DESECHADA

Tab. 11 Configuración de los parámetros de extracción de datos.

5. REDES NEURONALES

Los datos han sido procesados, elegidas las características que serán la entrada de la red neuronal y configurado el entorno de adquisición así como definido el parámetro que nos evaluará las redes neuronales puestas a prueba.

Las redes evaluadas son:

- SOM (Self Organizing Maps).
- PERCEPTRON LINEAL.
- PERCEPTRON MULTICAPA (MLP).
- APRENDIZAJE DE CUANTIFICACIÓN VECTORIAL(LVQ).

5.1. RED MAPA AUTO ORGANIZADO(SOM)

Un mapa auto-organizado (SOM por sus siglas en inglés) es un tipo de red neuronal artificial, que es entrenada usando aprendizaje no supervisado para producir una representación discreta del espacio de las muestras de entrada, llamado mapa (figura 36) (ANEXO II líneas 1831-1836).

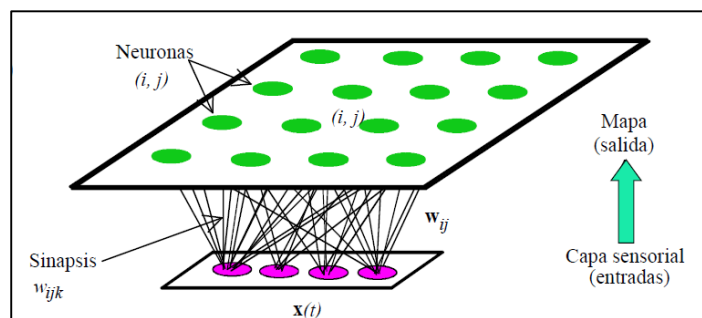


Fig. 36 Esquema de una red SOM.

Este mapa una vez entrenado dispondrá de diferentes grupos de neuronas capaz de activarse en función de las entradas mostradas, generando zonas definidas para entradas similares. De esta forma, ante una entrada concreta se activarán las neuronas más afines que identificarán qué tipo de entrada es.

Las características de la red neuronal usada son:

- Inicialización de los pesos aleatoria.
- Modo de entrenamiento batch.
- Tamaño del mapa 26x20 neuronas.
- Disposición hexagonal.

Una vez entrenado el SOM con el grupo de individuos de entrenamiento, elegidos aleatoriamente con la proporción ya indicada se etiquetan los grupos de neuronas de forma que una vez generados los dominios se pueda saber a qué clase pertenecen las neuronas activadas y se presentan los individuos de verificación. Los resultados se exponen a continuación.

En la figura 37 se aprecia la topología del mapa, con cada celda representando una neurona. Las líneas más oscuras tanto de la U-matrix como de la D-matrix, definen regiones, grupos de neuronas que se activan ante cierto tipo de clases. Los marcadores de tamaño y la similitud por coloración representan el mismo fenómeno, pero con otra representación.

5. REDES NEURONALES

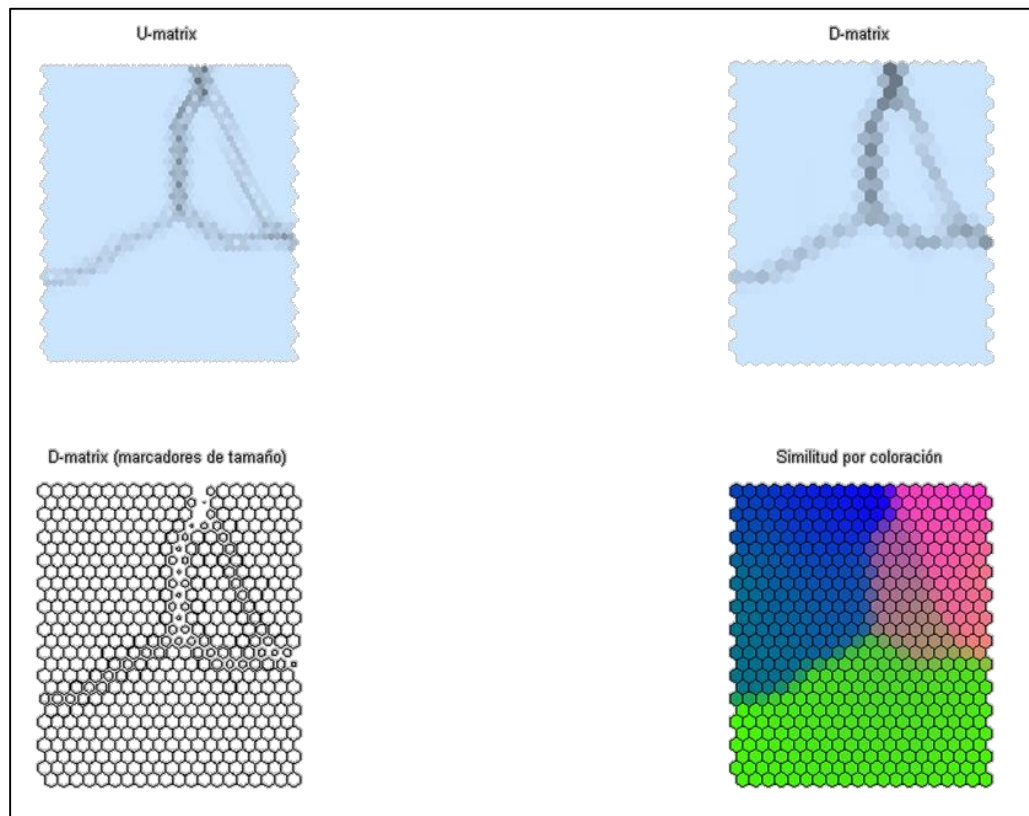


Fig. 37 Dominios del mapa auto organizado en diferentes vistas

En la figura 38 Se observa la activación por las clases de individuos. Las clases más similares (BAT1,BAT2 y BAT3 por ejemplo) se encuentran en la misma zona, sin separación bien definida.

Sin embargo, las clases compuestas MicroOnySandOn no activan la unión de las neuronas de las clases primitivas (Micr y Sand).

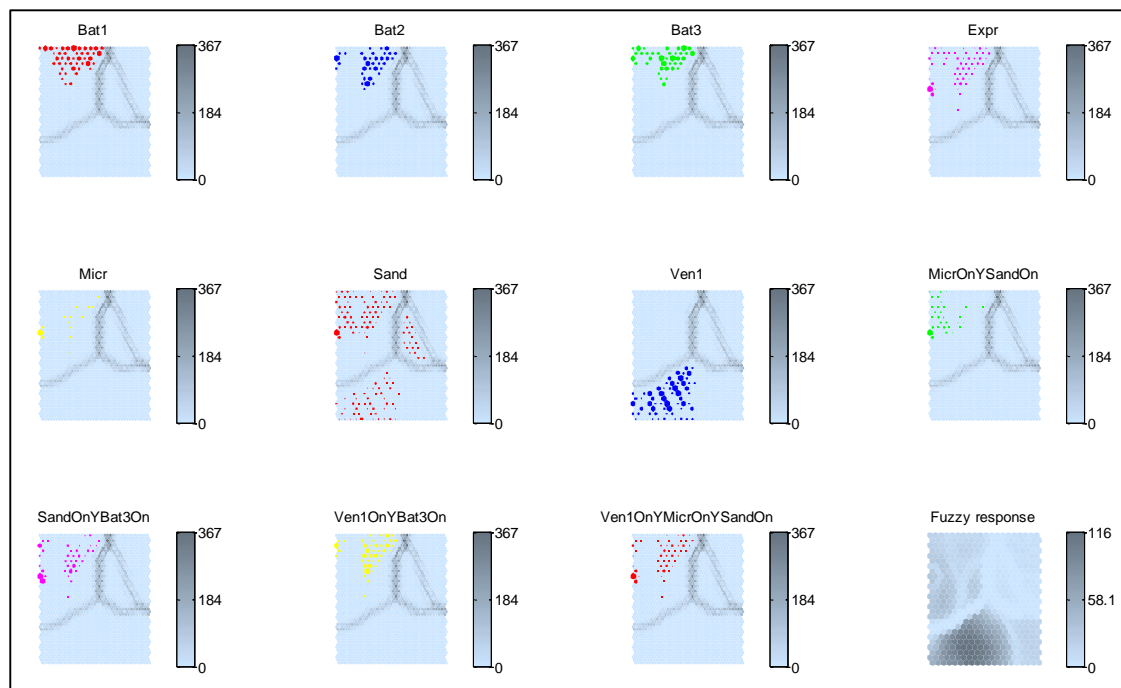


Fig. 38 Activación por clases de individuos.

5. REDES NEURONALES

En cuanto a la activación por características, se puede observar el resultado en la figura 39. Las zonas de activación por características son muy similares.

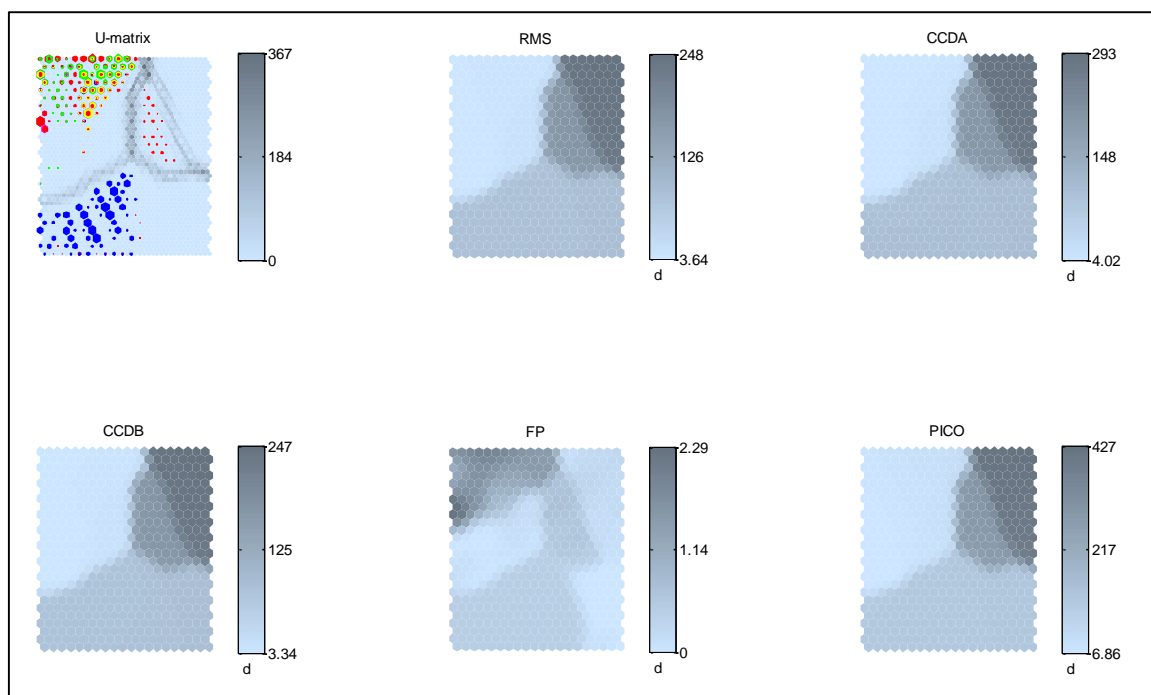


Fig. 39 Activación por características.

Para esta red neuronal se ha extraído la matriz de confusión en la tabla 12:

	Bat1	Bat2	Bat3	Expr	Micr	Sand	Ven1	MicrOnYSandOn	SandOnYBat3On	Ven1OnYBat3On	Ven1OnYMicrOnYSandOn
Bat1	15	4	0	1	0	0	0	0	0	0	0
Bat2	4	11	0	0	0	0	0	0	0	0	0
Bat3	1	0	15	1	0	0	1	0	0	0	0
Expr	2	0	0	36	0	0	0	0	0	0	0
Micr	0	0	0	0	19	0	0	0	0	0	0
Sand	0	0	0	0	0	91	0	0	7	0	0
Ven1	0	0	1	0	0	0	33	0	0	4	0
MicrOnYSandOn	0	0	0	0	0	0	0	20	0	0	22
SandOnYBat3On	0	0	0	0	0	8	0	0	14	0	0
Ven1OnYBat3On	0	0	0	0	0	0	8	0	0	17	0
Ven1OnYMicrOnYSandOn	0	0	0	0	0	0	0	9	0	0	11
TOTAL INDIVIDUOS	68%	73%	94%	95%	100%	92%	79%	69%	67%	81%	33%

Tab. 12 Configuración de los parámetros de extracción de datos.

Se puede observar la similitud de clases en los errores cometidos en la clasificación, al observar la simetría respecto de la diagonal, marcados con flechas dobles, en las que aunque las cantidades no coinciden dan una idea de que individuos que debían estar marcados como una clase son marcados como la otra y viceversa.

Para este caso, el índice Kappa obtenido es: 0.7937

5. REDES NEURONALES

5.2. RED LINEAL PERCEPTRON

La red lineal de perceptrones se caracteriza por disponer de dos capas (figura 40), que procesan secuencialmente. La primera de ellas correspondería a las entradas con los pesos correspondientes y la segunda capa la capa de salida que en este caso clasificarían a cada individuo, realizada con neuronas logarítmicas sigmoideas (ANEXO II líneas 1865-1898).

Es claro que al estar fijadas el número de entradas y salidas, la red es invariante respecto al número de neuronas.

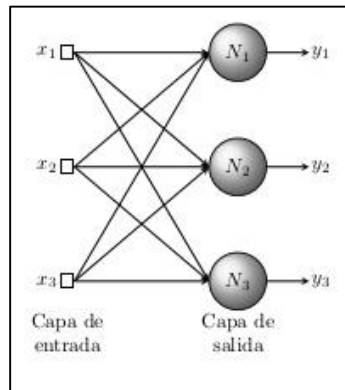


Fig. 40 Esquema red neuronal lineal.

Una peculiaridad de estas redes es que existe el peligro del sobre entrenamiento. Esto ocurre por un exceso de presentaciones de los mismos patrones a la red, lo que produce un sobre ajuste y memorización de los patrones presentados a la red, empeorando la capacidad generalizadora de la misma. Para evitar esto se usa la técnica de la “parada anticipada” que previene este hecho. Más adelante se usará esta técnica.

En primera instancia, para seleccionar el tipo de entrenamiento, se elige una red que se someterá a diversos tipos de entrenamientos.

Las características de la red neuronal usada son:

- Inicialización de los pesos aleatoria.
- Esquema 5-11 (n° NeuronasEntrada - n° NeuronasCapaSalida)
- Modo de entrenamiento: variable
- Tipos de neuronas: Capa salida: logarítmica sigmoidea.
- Numero de ciclos:500.
- Error objetivo: $5e-4$.

Mediante un algoritmo de repetición se entrena y valida la red neuronal variando el algoritmo de entrenamiento. A pesar de ser pocas iteraciones, el resultado será suficiente para poder elegir el entrenamiento. Para conseguir un valor fiable, con cada tipo de entrenamiento se repite el proceso 5 veces obteniendo el resultado en la figura 41.

5. REDES NEURONALES

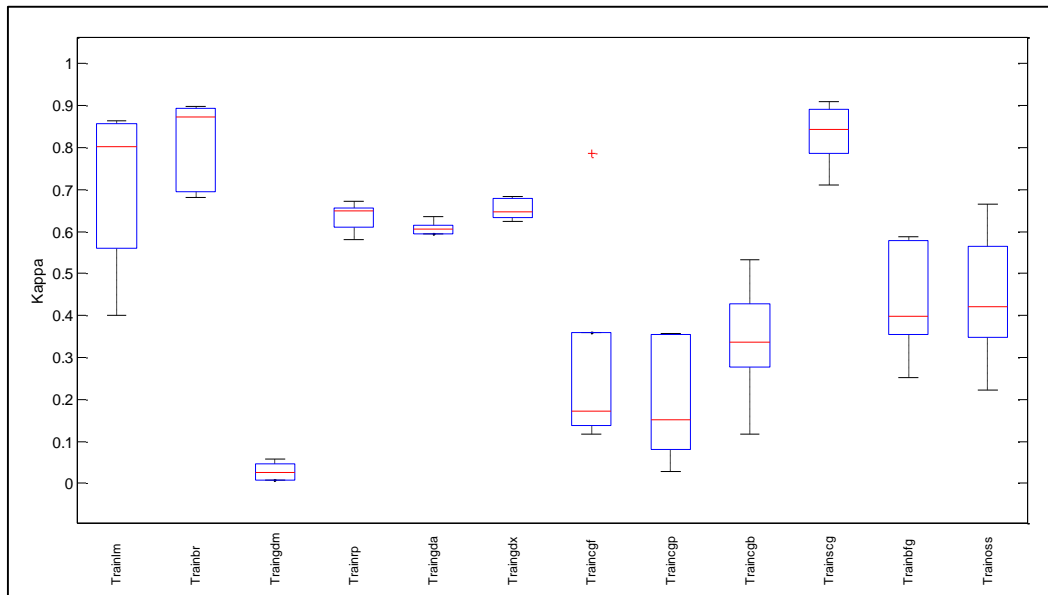


Fig. 41 Boxplot del índice Kappa en función del tipo de entrenamiento.

La equivalencia de entrenamientos es la siguiente.

Trainlm:	Levenberg-Marquardt
Trainbr:	Regularización Bayesiana
Traingdm:	Descenso del gradiente con momento
Trainrp:	Descenso del gradiente con derivadas signo (DG flexible)
Traingda:	Descenso del gradiente con factor de aprendizaje adaptable
Traingdx:	Descenso del gradiente con factor de aprendizaje adaptable y momento
Traingcf:	Descenso del gradiente conjugado, método de Fletcher-Reeves
Traingcg:	Descenso del gradiente conjugado, método de Polack-Riviere
Traingcb:	Descenso del gradiente conjugado, método de Powell-Beale
Trainscg:	Descenso del gradiente conjugado, método de escalado
Trainbfg:	Método cuasi-Newton BFGS
Trainoss:	Método cuasi-Newton de secante a un paso

Obtenido el resultado se escoge como método de entrenamiento Levenberg-Marquardt. A la vista de la varianza de los resultados obtenidos, se opta por obtener un pool de redes entrenadas y escoger la mejor de ellas (figura 42). En este caso sí que se ha tenido en cuenta el sobre entrenamiento y se ha aplicado la parada anticipada, con un valor máximo 10 ciclos de entrenamiento seguidos donde el conjunto de validación genere errores crecientes o constantes.

Para poder realizar esta técnica el dataset se ha dividido en tres grupos como sigue:

- Grupo entrenamiento:60%.
- Grupo validación: 20%.
- Grupo test:20%

5. REDES NEURONALES

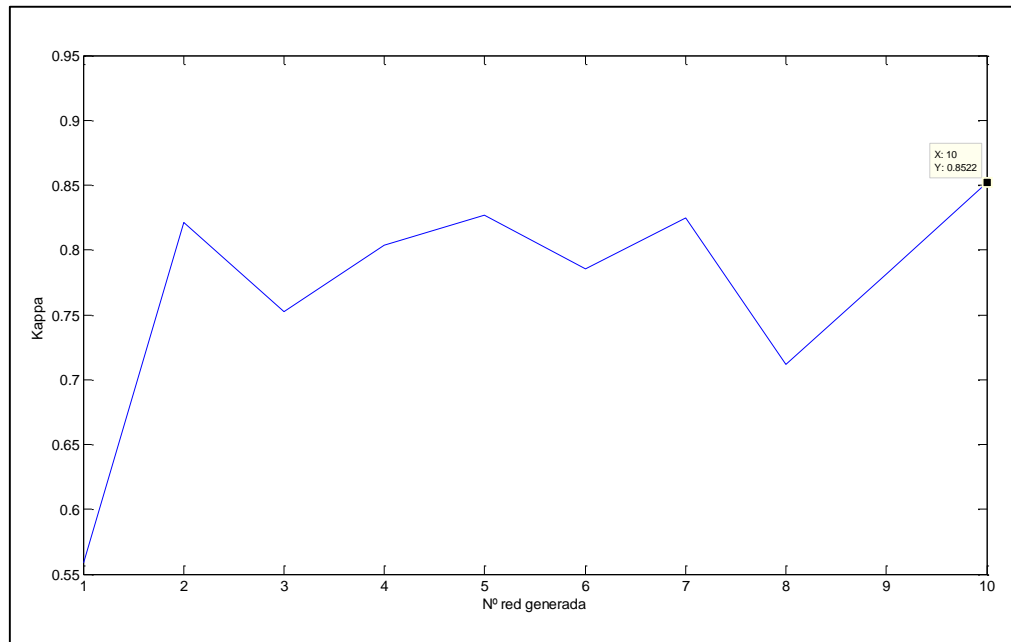


Fig. 42 Pool de redes generadas.

La red con mejores resultados es la número 10 con un Kappa de 0.8522 de la que se expone la matriz de confusión en la figura 43.

RED NILM CON MLP 5:11 ENTRENADA CON trainlm en 500 ciclos												
Output Class	1	2	3	4	5	6	7	8	9	10	11	
1	19 5.4%	11 3.1%	0 0.0%	0 0.0%	0 0.0%	0 0.0%	0 0.0%	0 0.0%	0 0.0%	0 0.0%	0 0.0%	63.3% 36.7%
2	2 0.6%	3 0.8%	5 1.4%	2 0.6%	0 0.0%	0 0.0%	0 0.0%	0 0.0%	0 0.0%	1 0.3%	0 0.0%	23.1% 76.9%
3	1 0.3%	1 0.3%	10 2.8%	0 0.0%	0 0.0%	0 0.0%	0 0.0%	0 0.0%	0 0.0%	0 0.0%	0 0.0%	83.3% 16.7%
4	0 0.0%	0 0.0%	0 0.0%	36 10.1%	0 0.0%	0 0.0%	10 2.8%	0 0.0%	0 0.0%	0 0.0%	0 0.0%	78.3% 21.7%
5	0 0.0%	0 0.0%	0 0.0%	0 0.0%	18 5.1%	0 0.0%	0 0.0%	2 0.6%	0 0.0%	0 0.0%	0 0.0%	90.0% 10.0%
6	0 0.0%	0 0.0%	0 0.0%	0 0.0%	0 0.0%	92 25.9%	0 0.0%	0 0.0%	0 0.0%	0 0.0%	0 0.0%	100% 0.0%
7	0 0.0%	0 0.0%	0 0.0%	0 0.0%	0 0.0%	0 0.0%	32 9.0%	0 0.0%	0 0.0%	1 0.3%	0 0.0%	97.0% 3.0%
8	0 0.0%	0 0.0%	0 0.0%	0 0.0%	0 0.0%	2 0.6%	0 0.0%	26 7.3%	0 0.0%	0 0.0%	4 1.1%	81.3% 18.8%
9	0 0.0%	0 0.0%	0 0.0%	0 0.0%	1 0.3%	5 1.4%	0 0.0%	0 0.0%	21 5.9%	0 0.0%	2 0.6%	72.4% 27.6%
10	0 0.0%	0 0.0%	1 0.3%	0 0.0%	0 0.0%	0 0.0%	0 0.0%	0 0.0%	0 0.0%	19 5.4%	0 0.0%	95.0% 5.0%
11	0 0.0%	0 0.0%	0 0.0%	0 0.0%	0 0.0%	0 0.0%	0 0.0%	1 0.3%	0 0.0%	0 0.0%	27 7.6%	96.4% 3.6%
	86.4% 13.6%	20.0% 80.0%	62.5% 37.5%	94.7% 5.3%	94.7% 5.3%	92.9% 7.1%	76.2% 23.8%	89.7% 10.3%	100% 0.0%	90.5% 9.5%	81.8% 18.2%	85.4% 14.6%
	1	2	3	4	5	6	7	8	9	10	11	
	Target Class											

Fig. 43 Matriz de confusión de la red escogida.

En este caso concreto se ha detenido el entrenamiento debido a que la red ha alcanzado el valor de ciclos previsto por la parada anticipada. En la figura 44 se observa el error de la red para los conjuntos de entrenamiento, validación y test; en el ciclo 12 se observa el menor error del grupo de validación. A partir de ese ciclo, el error se mantiene constante o aumenta, indicado sobre entrenamiento

5. REDES NEURONALES

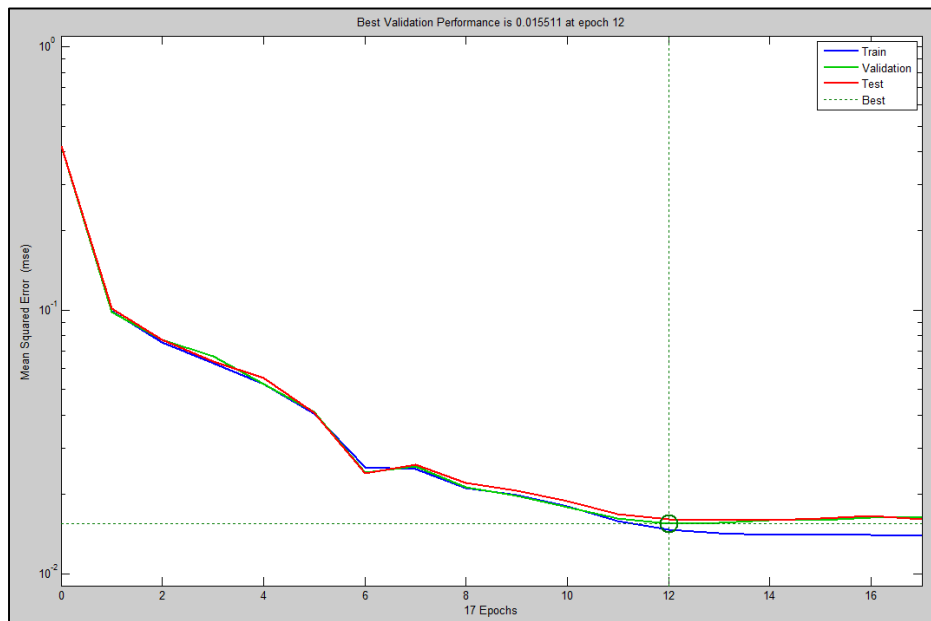


Fig. 44 Error generado por los tres grupos de datos.

5.3. RED PERCEPTRON MULTICAPA (MLP)

Otra red neuronal que se prueba es el perceptrón multicapa, red neuronal de aprendizaje supervisado, en la que las neuronas se disponen tal y como indica la figura 45, pudiendo existir varias capas intermedias. La capa de entrada tiene por dimensión (número de neuronas) igual a las características electas, las capas intermedias tiene un número no definido de neuronas y la de salida igual a las clases que esperamos clasificar. En este caso el número es conocido, puesto que es supervisado. (ANEXO II líneas 1901-1940)

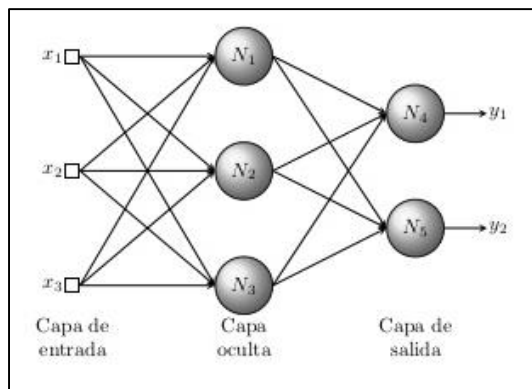


Fig. 45 Esquema de perceptron multicapa.

Las características de la red neuronal usada son:

- Inicialización de los pesos aleatoria.
- Esquema 5-XX-11 (nºNeuronasEntrada-nºNeuronasCapaOculta-nºNeuronasCapaSalida)
- Modo de entrenamiento: backpropagation con función de entrenamiento: Levenberg-Marquardt.
- Tipos de neuronas: Capa intermedia: tangente sigmoidea; capa salida: lineal.
- Numero de ciclos:1000.
- Error objetivo: 5e-4.
- Parada anticipada:5

5. REDES NEURONALES

Según [XX] un número de neuronas para la única capa intermedia estaría alrededor del doble de la de neuronas en la capa de salida. Se realizan pruebas para determinarlo mediante iteraciones de entrenamiento de la siguiente manera.

Mediante un algoritmo de repetición se entrena y valida la red neuronal variando el número de neuronas ocultas, con un máximo de 1000 iteraciones de entrenamiento Levenberg-Marquardt. Se incluye nuevamente la parada anticipada para el resultado será suficiente para poder elegir configuración. Para conseguir un valor fiable, con cada valor de neuronas en la capa oculta se repite el entrenamiento y validación 10 veces obteniendo una mediana de los distintos valores. El resultado puede observarse en la figura 46

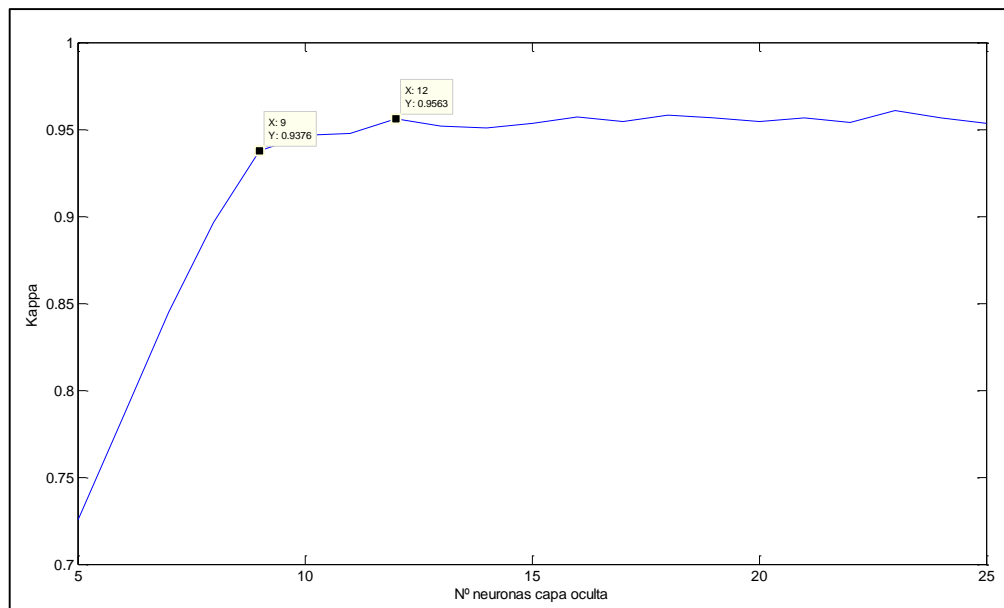


Fig. 46 Índice Kappa en función del número de neuronas de la capa oculta.

Se aprecia una tendencia clara conforme el aumento de neuronas ocultas hasta un valor cercano a los 10, tal y como avanzaba [XX], lo que indica que tras alcanzar un valor de unas 10 neuronas, sobrecargar la red neuronal con una capa oculta más compleja, no mejora mucho la clasificación.

Definido el mínimo de neuronas ocultas para una clasificación aceptable, se determina si con algunas neuronas más el sistema estaría sobre dimensionado. El entrenamiento por regularización bayesiana nos indicará cuantos pesos realmente aportan información a la clasificación; de esta manera se puede ver si el sistema está sobredimensionado ya que informaría de un bajo número de pesos usados. El proceso se repite 5 veces y se obtiene la mediana; el resultado obtenido informa que de 181 pesos en la red, se usan 172, lo que indica que no hay sobredimensionamiento. Si el número de pesos efectivos fuera mucho menor que el de pesos totales se podría hablar de red sobredimensionada.

A la vista de los resultados se elige la configuración 5-10-11 (5 entradas, 10 neuronas en la capa oculta y 11 neuronas de salida). Con la configuración elegida, se entrena nuevamente un pool de redes MLP con las características antes descritas, y con 1000 iteraciones. Extrapolando los resultados de entrenamientos del punto anterior, se elige el mismo tipo de entrenamiento, Levenberg-Marquardt. El resultado de este pool es el de la figura 47.

5. REDES NEURONALES

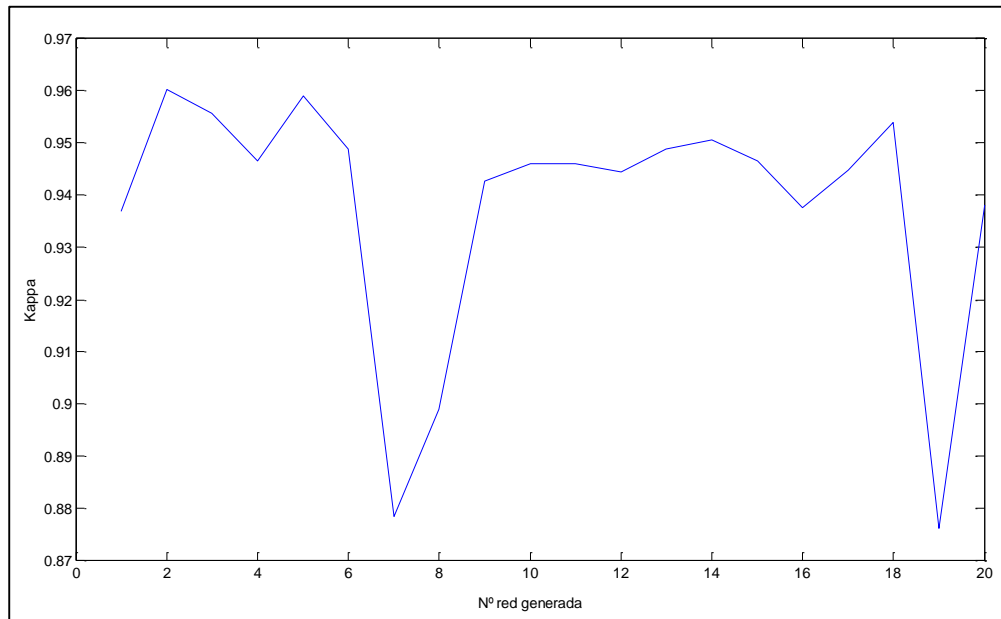


Fig. 47 Resultados del pool de redes generadas

Para obtener un valor aproximado y comparable de la capacidad de clasificación de este pool, es necesario promediar el resultado, lo que da un kappa de 0.9461.

Se muestra a continuación en la figura 48 la matriz de confusión de la red de perceptrones elegida y el diagrama de barras en la figura 49 para cada clase e individuo.

Confusion Matrix											
Output Class	1	2	3	4	5	6	7	8	9	10	11
	76 4.3%	15 0.8%	0 0.0%	0 0.0%	0 0.0%	0 0.0%	0 0.0%	0 0.0%	0 0.0%	0 0.0%	83.5% 16.5%
	34 1.9%	61 3.4%	0 0.0%	0 0.0%	0 0.0%	0 0.0%	0 0.0%	0 0.0%	0 0.0%	0 0.0%	64.2% 35.8%
	0 0.0%	0 0.0%	80 4.5%	0 0.0%	0 0.0%	0 0.0%	2 0.1%	0 0.0%	0 0.0%	0 0.0%	97.6% 2.4%
	1 0.1%	1 0.1%	2 0.1%	189 10.6%	0 0.0%	0 0.0%	0 0.0%	0 0.0%	0 0.0%	0 0.0%	97.9% 2.1%
	0 0.0%	0 0.0%	0 0.0%	0 0.0%	93 5.2%	0 0.0%	0 0.0%	0 0.0%	0 0.0%	0 0.0%	100% 0.0%
	0 0.0%	0 0.0%	0 0.0%	0 0.0%	0 0.0%	493 27.7%	0 0.0%	0 0.0%	0 0.0%	0 0.0%	100% 0.0%
	0 0.0%	0 0.0%	0 0.0%	0 0.0%	0 0.0%	0 0.0%	207 11.6%	0 0.0%	0 0.0%	0 0.0%	100% 0.0%
	0 0.0%	0 0.0%	0 0.0%	0 0.0%	0 0.0%	0 0.0%	0 0.0%	136 7.7%	0 0.0%	0 0.0%	95.1% 4.9%
	0 0.0%	0 0.0%	0 0.0%	0 0.0%	0 0.0%	0 0.0%	0 0.0%	0 0.0%	106 6.0%	0 0.0%	100% 0.0%
	0 0.0%	0 0.0%	0 0.0%	0 0.0%	0 0.0%	0 0.0%	0 0.0%	0 0.0%	0 0.0%	107 6.0%	100% 0.0%
	0 0.0%	0 0.0%	0 0.0%	0 0.0%	0 0.0%	0 0.0%	0 0.0%	10 0.6%	0 0.0%	0 0.0%	94.0% 6.0%
	68.5% 31.5%	79.2% 20.8%	97.6% 2.4%	100% 0.0%	100% 0.0%	100% 0.0%	99.0% 1.0%	93.2% 6.8%	100% 0.0%	100% 0.0%	95.9% 4.1%
Target Class											

Fig. 48 Matriz de confusión de la red MLP 5-10-11.

5. REDES NEURONALES

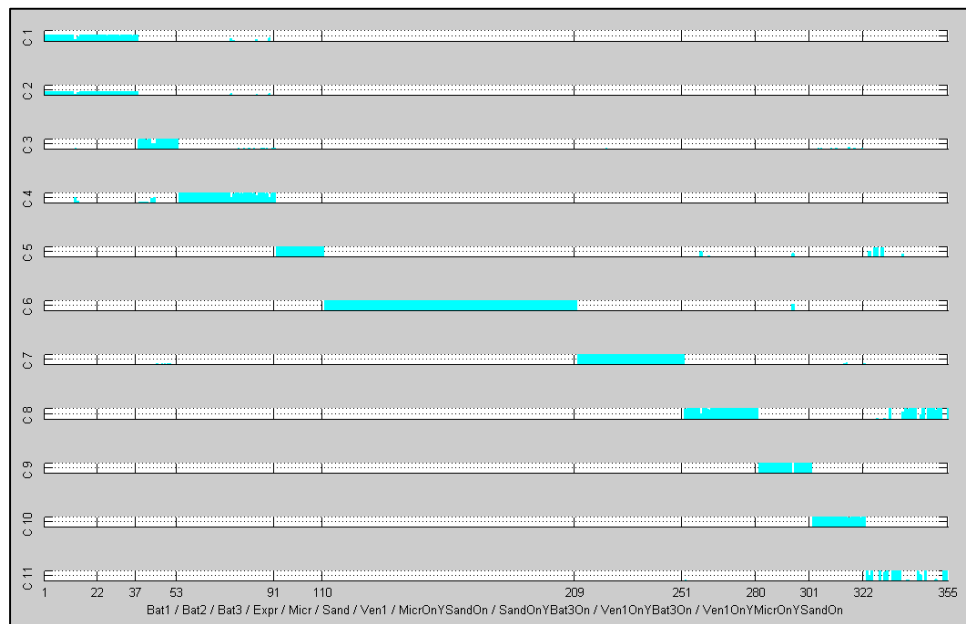


Fig. 49 Grafico de barras de la red MLP 5-10-11.

La figura del error conforme se ha ido entrenando la red puede verse en la figura 50

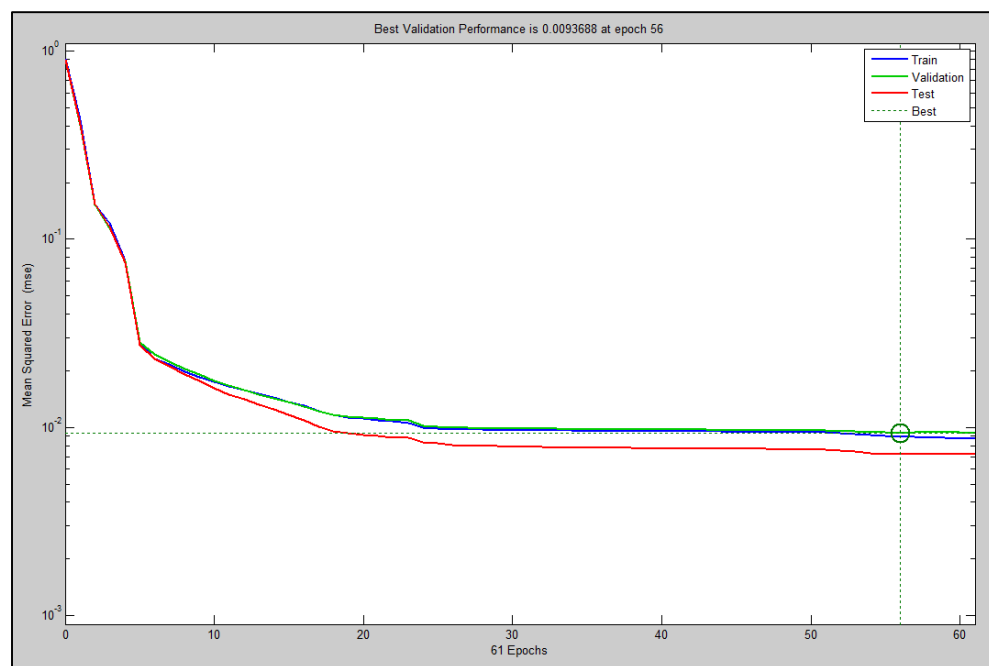


Fig. 50 Error de la red conforme avanza el entrenamiento.

La parada anticipada puede observarse en la siguiente figura (figura 51)

5. REDES NEURONALES

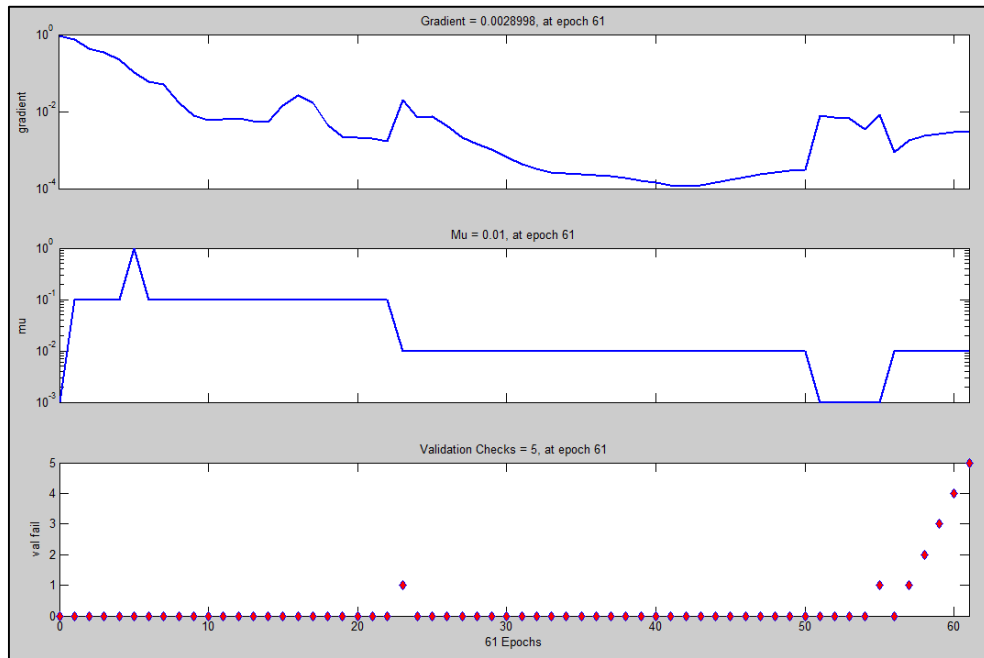


Fig. 51 Evolución de parámetros de la red.

Puede observarse cómo el gradiente va disminuyendo hasta que a partir de la iteración 56 (aumento del número de iteraciones con gradiente no descendiente) no continua el descenso, por lo que se decide parar el entrenamiento.

5.4. RED LEARNING VECTOR QUANTIZATION (LVQ)

Una red LVQ es parecida a una red SOM en cuanto a su funcionamiento y aprendizaje, pero está más orientada a la clasificación y entrenamiento supervisado, necesitando menos neuronas, siendo por ello un modelo más sencillo y eficaz (ANEXO II líneas 1942-1961).

El esquema de la red es similar al perceptrón simple (red lineal) de la figura 52:

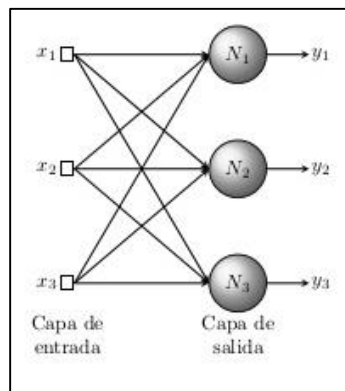


Fig. 52 Esquema red LVQ.

Esta red presenta también el inconveniente de la elección del número de neuronas de salida, puesto que aunque podría funcionar con una neurona de salida por clase, aumentar el número de neuronas por clase, mejora la clasificación.

5. REDES NEURONALES

Por ello se realiza una repetición sistemática de resultados de la red variando el número de neuronas de salida con el objetivo de seleccionar dicho número. Para esta aproximación se realizan 3 repeticiones medianadas en la red con los siguientes parámetros:

- Inicialización de los pesos aleatoria.
- Esquema 5-XX (nºNeuronasEntrada-nºNeuronasCapaSalida)
- Modo de entrenamiento: Entrenamiento aleatorio de orden incremental.
- Función de aprendizaje:LVQ1
- Numero de ciclos:20.
- Factor aprendizaje: 0.2
- Error objetivo: 5e-4.

El resultado puede observarse en la siguiente gráfica (figura 53)

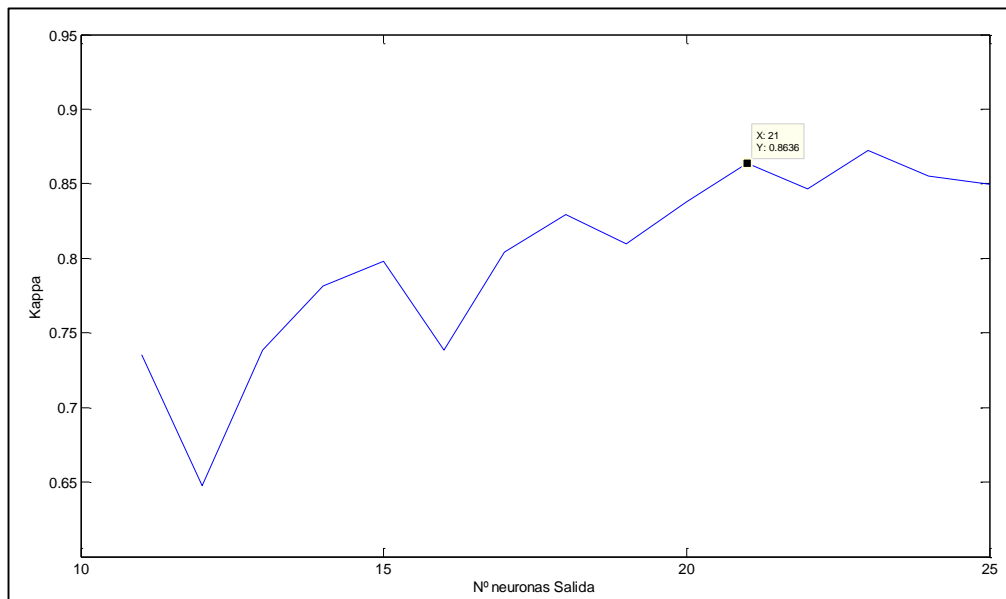


Fig. 53 Kappa en función de neuronas de salida.

Puede observarse el incremento del índice Kappa al aumentar el número de neuronas. Indicar que por debajo de 20 neuronas hay clases que la red no habría podido clasificar ningún individuo, por lo que se elige un valor superior, 21.

A la vista de los resultados, se entrena una red LVQ con los parámetros descritos y esquema 5-21. Según expone [KOHONEN 95] el entrenamiento mediante el algoritmo LVQ1 no debe superar de 30 a 50 veces el muestrario de entrenamiento (el 80% del total de las muestras, o sea 1422 muestras). En este caso se opta por una posición conservadora eligiendo 300 ciclos de entrenamiento.

5. REDES NEURONALES

Se expone la matriz de confusión (figura 54) y el historial del error a lo largo del entrenamiento (figura 55).

Confusion Matrix											
Output Class	1	2	3	4	5	6	7	8	9	10	11
	5 1.4%	0 0.0%	0 0.0%	2 0.6%	0 0.0%	0 0.0%	0 0.0%	0 0.0%	0 0.0%	0 0.0%	71.4% 28.6%
	13 3.7%	11 3.1%	0 0.0%	0 0.0%	0 0.0%	0 0.0%	0 0.0%	0 0.0%	0 0.0%	0 0.0%	45.8% 54.2%
	0 0.0%	0 0.0%	16 4.5%	0 0.0%	0 0.0%	0 0.0%	0 0.0%	0 0.0%	6 1.7%	0 0.0%	72.7% 27.3%
	4 1.1%	4 1.1%	0 0.0%	36 10.1%	0 0.0%	0 0.0%	0 0.0%	0 0.0%	0 0.0%	0 0.0%	81.8% 18.2%
	0 0.0%	0 0.0%	0 0.0%	0 0.0%	19 5.4%	0 0.0%	0 0.0%	0 0.0%	0 0.0%	0 0.0%	100% 0.0%
	0 0.0%	0 0.0%	0 0.0%	0 0.0%	0 0.0%	99 27.9%	0 0.0%	0 0.0%	0 0.0%	0 0.0%	100% 0.0%
	0 0.0%	0 0.0%	0 0.0%	0 0.0%	0 0.0%	0 0.0%	42 11.8%	0 0.0%	0 0.0%	0 0.0%	100% 0.0%
	0 0.0%	0 0.0%	0 0.0%	0 0.0%	0 0.0%	0 0.0%	0 0.0%	19 5.4%	0 0.0%	0 0.0%	86.4% 13.6%
	0 0.0%	0 0.0%	0 0.0%	0 0.0%	0 0.0%	0 0.0%	0 0.0%	0 0.0%	21 5.9%	0 0.0%	100% 0.0%
	0 0.0%	0 0.0%	0 0.0%	0 0.0%	0 0.0%	0 0.0%	0 0.0%	0 0.0%	0 0.0%	15 4.2%	100% 0.0%
	0 0.0%	0 0.0%	0 0.0%	0 0.0%	0 0.0%	0 0.0%	0 0.0%	10 2.8%	0 0.0%	0 0.0%	75.0% 25.0%
	22.7% 77.3%	73.3% 26.7%	100% 0.0%	94.7% 5.3%	100% 0.0%	100% 0.0%	65.5% 34.5%	100% 0.0%	71.4% 28.6%	90.9% 9.1%	88.2% 11.8%
Target Class											
	1	2	3	4	5	6	7	8	9	10	11

Fig. 54 Matriz de confusión de la red LVQ.

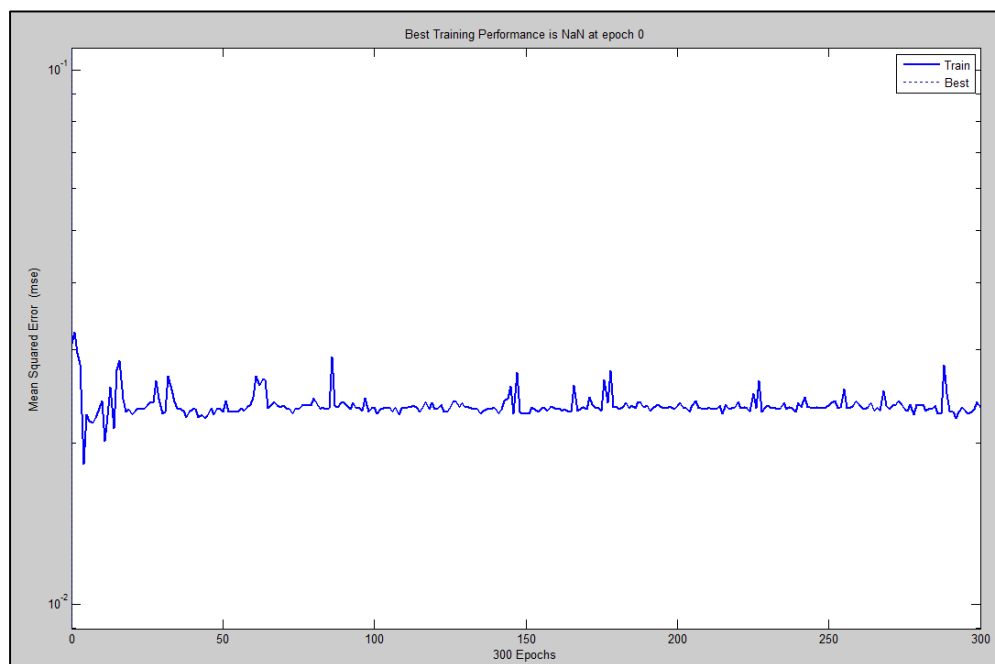


Fig. 55 Evolución del error durante el entrenamiento.

Con un Kappa de 0.8807

5. REDES NEURONALES

5.5. GASTO COMPUTACIONAL

Cada neurona responde a un esquema como el de la figura 56.

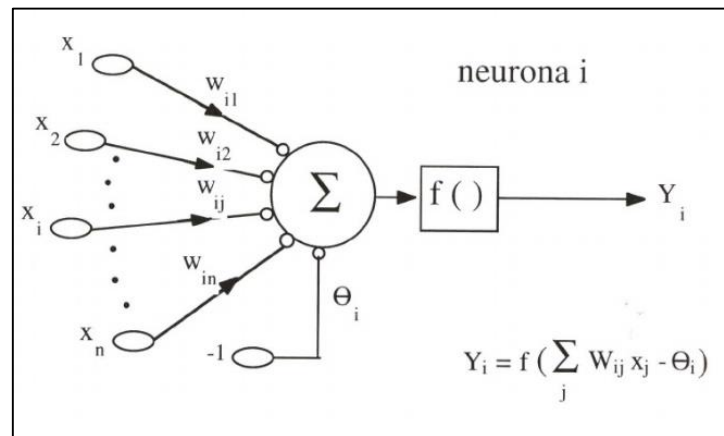


Fig 56 Esquema de computación de una neurona genérica.

Al resultado de multiplicar las entradas por sus pesos más el bias o valor de activación, se le aplica la función de activación, tal y como indica la ecuación:

$$y(t) = f_i\left(\sum_j w_{ij} x_j - \theta_i\right)$$

Donde

- i: es la neurona
- j: es la entrada correspondiente
- w: es el valor del peso
- x: es el valor de la entrada
- θ : es el valor de activación
- f: función de activación (lineal, sigmoidea, etc.)

Por simplificación en la representación, muchas veces el bias es considerado una entrada más, con el signo negativo correspondiente.

Dentro del funcionamiento de la red, hay una relación directa entre el número de pesos y el número de operaciones que debe realizar el sistema. En esta tabla 13 se resumen las redes neuronales desde el punto de vista computacional y la relación Kappa-número de pesos, que nos indica el rendimiento de cada red

RED	ESQUEMA	NEURONAS	PESOS	KAPPA	KAPPA/PESOS
SOM	26x20	520	3120	0.7937	2.54 e ⁻⁴
PERCEPTRON LINEAL	5-11	16	60	0.8522	142 e ⁻⁴
MLP	5-10-11	26	181	0.9461	52.27 e ⁻⁴
LVQ	5-21	26	126	0.8807	69.89 e ⁻⁴

Tab. 13 Redes neuronales y rendimiento computacional.

Dado que por cada peso se ha de realizar una multiplicación, desde el punto de vista de rendimiento energético la red que mejor resuelve el problema con menor coste es el perceptrón lineal.

Por el contrario, el algoritmo de entrenamiento puede requerir incluso mayores recursos que la propia red. En el caso del perceptrón multicapa, este entrenamiento superaría los requisitos de cualquier microprocesador de rango medio, quedando excluido el entrenamiento de la integración en el dispositivo, debiéndose entrenar en un PC para luego clonar la red entrenada en el dispositivo.

6. CONCLUSIONES

6.1. RESUMEN

En este trabajo fin de máster se ha partido de los sistemas no intrusivos para el reconocimiento de cargas eléctricas, que hasta ahora han sido sistemas de grandes prestaciones, voluminosos, caros y de grandes requerimientos energéticos, usados y afinados para obtener los mejores resultados clasificatorios, para avanzar en la dirección de las tendencias actuales de los sistemas de monitorización sensado y procesado: nodos cada vez más independientes, muy eficientes energéticamente hablando y distribuidos.

Con la premisa de usar sistemas de bajo consumo, pequeño volumen y bajo costo, se han elegido características de la onda de corriente que necesiten de poco cómputo, y se han ajustado parámetros del funcionamiento del sistema como la frecuencia de muestreo y el algoritmo de detección de eventos, obteniendo un compromiso entre energía consumida y exactitud en la clasificación.

Se han evaluado nuevas características capaces de suplantar la potente información proporcionada por la Transformada de Fourier, más compleja de obtener, y se han evitado conversiones a unidades físicas, usando siempre las unidades directas de conversión del propio conversor analógico digital. También se han detectado características que, bien no aportan nueva información, bien introducen ruido al sistema.

Se han elegido ciertas redes neuronales que por su simplicidad de implementación o por su potencia de clasificación resultan muy convenientes para estos sistemas descritos, y se han obtenido rendimientos de clasificación frente a computación

6.2. TRABAJOS FUTUROS

Existe un colectivo de personas centradas en esta faceta del reconocimiento de cargas de forma no intrusiva [NILM 16], que celebra congresos y disponen de data sets de libre acceso para investigadores. Es por tanto un área de estudio en vigencia.

Esta posible línea de trabajo queda abierta a muchos más proyectos, siguiendo la idea de un sistema clasificador no intrusivo de bajo consumo: desde la propia implementación de la red en el microcontrolador hasta optimizaciones funcionales de las redes.

Un siguiente paso muy concreto, siguiendo con el trabajo aquí expuesto, se centraría en que el sistema fuera capaz de detectar las cargas compuestas como sumas de dos o tres cargas, en lugar de como una única carga, disminuyendo la memoria necesaria, al reducir el número de clases (una carga compuesta no sería una nueva clase, sino combinación de las ya conocidas).

Existen muchos datos sobre el uso y consumo de electrodomésticos en media, por habitante, por país, etc. Sin embargo, es en la proximidad del individuo donde más útil resultará este tipo de información.

7. RESEÑAS.

- [HART 92]: GEORGE W. HART, NONINTRUSIVE APPLIANCE LOAD MONITORING (1992). Proceedings of the IEEE
- [NORFORD 96]: LESLIE K. NORFORD, NON-INTRUSIVE ELECTRICAL LOAD MONITORING IN COMMERCIAL BUILDINGS BASED ON STEADY-STATE AND TRANSIENT LOAD-DETECTION ALGORITHMS (17 Septiembre 1995). Energy and Buildings, Volume 24, Issue 1, 1996, Pages 51–64
- [LAUGHMAN 03]: CHRISTOPHER LAUGHMAN, POWER SIGNATURE ANALYSIS (Abril 2003). IEEE power & energy magazine
- [GILREATH 06]: PHIL GILREATH, A NOVEL TECHNIQUE FOR IDENTIFICATION AND CONDITION MONITORING OF NONLINEAR LOADS IN POWER SYSTEMS (2006). Power Electronics, Drives and Energy Systems, 2006. PEDES '06. International Conference on.
- [LIN 10]: GU-YUAN LIN, APPLYING POWER METERS FOR APPLIANCE RECOGNITION ON THE ELECTRIC PANEL (Junio 2010). Industrial Electronics and Applications (ICIEA), 2010 the 5th IEEE Conference on.
- [RAHIMI 11]: SABA RAHIMI, USAGE MONITORING OF ELECTRICAL DEVICES IN A SMART HOME (Agosto 2011). 33rd Annual International Conference of the IEEE EMBS Boston, Massachusetts USA.
- [WANG 12]: ZHENYU WANG, RESIDENTIAL APPLIANCES IDENTIFICATION AND MONITORING BY A NONINTRUSIVE METHOD. IEEE transactions on smart grid, vol. 3, no. 1, March 2012
- [YUN 12]: GAO YUN, NON-INTRUSIVE LOAD IDENTIFICATION BY FUZZY CLUSTER ANALYSIS BASED ON ACTIVE POWER (MARZO 2012). Power and Energy Engineering Conference (APPEEC), 2012 Asia-Pacific
- [ROOS 94]: JG ROOS, USING NEURAL NETWORKS FOR NON-INTRUSIVE MONITORING OF INDUSTRIAL ELECTRICAL LOADS (Mayo 1994) Instrumentation and Measurement Technology Conference, 1994. IMTC/94. Conference Proceedings. 10th Anniversary. Advanced Technologies in I & M., 1994 IEEE
- [PATEL 07]: SHWETAK N. PATEL, AT THE FLICK OF A SWITCH: DETECTING AND CLASSIFYING UNIQUE ELECTRICAL EVENTS ON THE RESIDENTIAL POWER LINE. 9th International Conference, UbiComp 2007, Innsbruck, Austria, September 16-19, 2007.
- [YANG 07]: HONG-TZER YANG, DESIGN A NEURAL NETWORK FOR FEATURES SELECTION IN NON-INTRUSIVE MONITORING OF INDUSTRIAL ELECTRICAL LOADS (2007). Proceedings of the 2007 11th International Conference on Computer Supported Cooperative Work in Design.
- [CHANG 10]: HSUEH-HSIEN CHANG, LOAD IDENTIFICATION IN NONINTRUSIVE LOAD MONITORING USING STEADY-STATE AND TURN-ON TRANSIENT ENERGY ALGORITHMS (Abril 2010). Proceedings of the 2010 14th International Conference on Computer Supported Cooperative Work in Design.
- [TSAI 11] DEVELOPMENT OF A NON-INTRUSIVE MONITORING TECHNIQUE FOR APPLIANCE IDENTIFICATION IN ELECTRICITY ENERGY MANAGEMENT. The International Conference on Advanced Power System Automation and Protection (2011)
- [ALAHMAD 11]: MAHMOUD ALAHMAD, NON-INTRUSIVE ELECTRICAL LOAD MONITORING AND PROFILING METHODS FOR APPLICATIONS IN ENERGY MANAGEMENT SYSTEMS (2011). Architectural Engineering -- Faculty Publications University of Nebraska.

7. RESEÑAS.

- [LIN 12]: YU-HSIU LIN, APPLICATION OF NEURO-FUZZY PATTERN RECOGNITION FOR NON-INTRUSIVE APPLIANCE LOAD MONITORING IN ELECTRICITY ENERGY CONSERVATION. WCCI 2012 IEEE World Congress on Computational Intelligence June, 10-15, 2012 - Brisbane, Australia.
- [KOHONEN 95]: THE LEARNING VECTOR QUANTIZATION PROGRAM PACKAGE VERSION 3.1 (APRIL 7, 1995) Archivo de ayuda del programa LVQ_PAK de la Universidad de Helsinki
- [NILM 16]: 3rd International Workshop on Non-Intrusive Load Monitoring (May 14 2016) Vancouver, Canada (<http://nilmworkshop.org/2016/>)

[TDC](#) 

ANEXO I

PARÁMETROS DEL FILTRO DIGITAL

Se exponen a continuación los parámetros del filtro digital aplicado a la señal de corriente.

Discrete-Time FIR Filter (real)

 Filter Structure : Direct-Form FIR
 Filter Length : 101
 Stable : Yes
 Linear Phase : Yes (Type I)

Design Method Information

Design Algorithm : window

Design Options

ScalePassband : true
 Window : hamming

Design Specifications

Sampling Frequency : 2.542 kHz
 Response : Bandpass
 Specification : N,Fc1,Fc2
 FilterOrder : 100
 Fcutoff1 : 40 Hz
 Fcutoff2 : 60 Hz

Measurements

Sampling Frequency : 2.542 kHz
 First Stopband Edge : Unknown
 First 6-dB Point : 26.2517 Hz
 First 3-dB Point : 33.0918 Hz
 First Passband Edge : Unknown
 Second Passband Edge : Unknown
 Second 3-dB Point : 67.2323 Hz
 Second 6-dB Point : 73.8605 Hz
 Second Stopband Edge : Unknown
 First Stopband Atten. : Unknown
 Passband Ripple : Unknown
 Second Stopband Atten. : Unknown
 First Transition Width : Unknown
 Second Transition Width : Unknown
 Group delay response : 50 samples

Implementation Cost

Number of Multipliers : 101
 Number of Adders : 100
 Number of States : 100
 Multiplications per Input Sample : 101
 Additions per Input Sample : 100

ANEXO II

SCRIPT CAPTURA, ACONDICIONAMIENTO Y SIMULACION

```

1  clc;
2  clear all;
3  close all;
4
5
6
7  %% CONSTANTES
8  %%%
9  %%MASCARA ELECCION DE 11 ELECTRODOMESTICOS
10 %%%      BAT1 BAT2 BAT3 EXPR MICR SAND VENT M_S S_B3 V_B3 V_M_S
11 MASCARA_ELECTR=[1 1 1 1 1 1 1 1 1 1 1];
12
13 CARACTERISTICAS = {'RMS','CCDA','CCDB','FFT1','FFT2','FFT3','FP','PICO','CUARTO'};
14
15
16 Kappatemp=[];
17 subsampleVsKappa=[];
18 for subsamples=4:4
19     %repeticiones con cambio de sampleo
20     %(!=sin subsampleo)(4=> subsampleo = FS/4)
21     for veces=1:l
22         %adquisicion
23         TRIALS=10;
24         CLASES=11;
25         %names = {'RMS','CCDA','CCDB','FFT1','FFT2','FFT3','FP','PICO','CUARTO'};
26         VENTANA_EST=10; %número de ciclos que componen un muestra
27         %COMP_CONTINUA=600;
28         % FS=2542; %Frecuencia de sampleo original
29         SUBSAMPLE=subsamples; %se guarda una de cada SUBSAMPLE muestras
30         FS=round(2542/SUBSAMPLE); %Frecuencia de sampleo
31         MUESTRAS_CICLO=round(FS*0.02); %número de adquisiciones en cada ciclo
32         INC_VENT=VENTANA_EST*MUESTRAS_CICLO; %desplazamiento
33
34         %FFT
35         T=1/FS; %periodo
36         NFFT = 2^nextpow2(INC_VENT); % Next power of 2 from length of y
37         FRC_BUSQ_FFT=[40 60 120 180 200 300]; %rango frecuencias para buscar las CARACTERISTICAS FFT
38         VECTOR_FRECUENCIA = FS/2*linspace(0,1,NFFT/2+1);
39
40         %filtro paso banda
41         N=100; %orden del filtro
42         FC1=40; %Frecuencia de corte inferior
43         FC2=60; %Frecuencia de corte superior
44         INICIO_FILTR=50;
45         DESF_FILTR=50; %muestras de desfase entre señal original y filtrada.
46
47         %Medida tension
48         DESFASE_TRAFO_TENSION=0; %desfase que introduce el trafo de medida de tension
49         SEP_PASOS_0=round(MUESTRAS_CICLO/3.33); %umbral para aceptar pasos por cero
50         MAY_MEN_0=0;
51
52         %evento conexion-desconexion
53         ANCHO_VENTANA=3*MUESTRAS_CICLO; %ancho ventana de evento a on
54         THRESHOLD=120; %umbral para considerar un evento a ON
55         CUARTO_SEMIPERIDO= round (MUESTRAS_CICLO/11.6129); %donde más se nota el 3º armonico, con 5º y 7º 10% del 3º
56         VALOR_CUARTO_SEMIPERIDO_NORMALIZADO=0.4226; %Tanto por uno del valor de pico que se obtendría en un

```

ANEXO II

% seno puro en el cuarto del segundo semiperiodo
 PORC_ENTRENAMIENTO=80/100; %porcentaje del data set destinado al entrenamiento

%indices para recortar el fichero visualmente

inicioCargaBat1=[7449,5690,7410,4324,5272,4552,4192,3348,3962,7233,5232,3802,2829,3704,2859];
 finCargaBat1=[13827,12302,12227,10597,12226,9589,11776,10693,9398,12556,11560,11375,7912,8637,7144];

inicioCargaBat2=[6228,4135,4921,4036,4153,3532,2820,1932,3812,3547,3325,3388,2844,2858,3862];
 finCargaBat2=[14459,8466,9500,6876,8633,7632,6830,5611,7456,7548,7258,8170,8422,9084,8843];

inicioCargaBat3=[6142,4009,2984,4210,3188,3048,3694,4386,3372,3710,3297,2941,3570,2730,4218];
 finCargaBat3=[14274,7892,6445,8744,7288,7207,7690,9216,7829,8591,8577,8470,8650,7460,9496];

inicioCargaExpr=[535,6210,1961,1157,2462,1529,1907,2151,1761,3037,102928,3228,5863,8080,3394];
 finCargaExpr=[34486,15672,9335,10589,9787,7808,7831,9058,8935,10392,122613,9052,13974,16991,16840];

inicioCargaMicr=[7227,7261,7487,7120,6242,6041,7640,6068,6510,7082,10599,9468,8420,7638,7805,];
 finCargaMicr=[12861,11299,13171,12554,9207,11353,14619,11035,12415,12217,16421,15290,14790,14655,13180,];

inicioCargaSand=[121872,11550,9588,11444,5729,9019,7459,7310,6713,6837,5822,5234,3808,4801,10800];
 finCargaSand=[256228,18393,21697,26456,19607,22046,21506,23103,21360,22576,13787,14142,11177,12417,19251];

inicioCargaVenl=[12585,7160,5809,7362,7904,7394,6886,6759,6280,7526,7800,7369,6905,6840,6182];
 finCargaVenl=[22158,18468,18074,19423,20356,20353,16606,18519,15745,17491,19092,17787,20162,18256,17478];

inicioCargaMicrOnYSandOffTramol=[14925,14380,9807,11733,12483,8217,12366,11434,10657,8858];
 finCargaMicrOnYSandOffTramol=[18075,18245,14536,17937,16142,12895,17349,16505,15130,13281];

inicioCargaMicrOnYSandOn=[18683,18548,14942,18188,16447,13097,17604,16808,15589,13635];
 finCargaMicrOnYSandOn=[26103,26128,22314,28455,24886,21590,25279,24839,21433,21920];

inicioCargaMicrOnYSandOffTramo2=[26358,26128,22569,28864,25089,21794,25584,25248,25295,22277];
 finCargaMicrOnYSandOffTramo2=[34334,33140,23992,35576,32511,28253,32854,31450,32414,25528];

inicioCargaSandOnYBat3OffTramol=[7754,6033,6137,4960,6465,5395,5478,5142,6127,7047];
 finCargaSandOnYBat3OffTramol=[19491,14120,14573,14621,14908,13583,13660,11191,13346,13859];

inicioCargaSandOnYBat3On=[20491,15052,15234,15586,15618,14344,14320,12868,14160,14672];
 finCargaSandOnYBat3On=[27062,20577,21640,20978,21873,20039,20728,18460,19447,20470];

inicioCargaSandOnYBat3OffTramo2=[28638,21544,21790,21384,22381,20497,21234,19375,20007,20977];
 finCargaSandOnYBat3OffTramo2=[38953,27902,29620,29114,29551,26039,27945,27865,26313,27993];

inicioCargaVenlOnYBat3OffTramol=[6857,6307,6431,6218,5535,5270,5332,5608,5487,5756];
 finCargaVenlOnYBat3OffTramol=[17072,17792,16442,17096,15748,14982,15501,15982,16218,16386];

inicioCargaVenlOnYBat3On=[17936,19116,18019,18326,16815,16250,16579,16899,17135,17352];
 finCargaVenlOnYBat3On=[23679,24647,23813,23917,22863,21392,23137,23318,23647,23251];

inicioCargaVenlOnYBat3OffTramo2=[23882,25314,24174,24259,23115,22657,23385,23663,25729,23605];
 finCargaVenlOnYBat3OffTramo2=[32117,33647,34329,33612,23115,30843,32788,33425,33460,33824];

inicioCargaVenlOnYMicrOffYSandOffTramol=[5921,5994,5459,4824,5618,8271,5485,6004,6734,5549];
 finCargaVenlOnYMicrOffYSandOffTramol=[16497,16720,15269,16312,16343,16909,15954,17541,15175,16173];

inicioCargaVenlOnYMicrOnYSandOffTramol=[22456,22470,20865,21602,21685,22298,21497,23135,21073,21510];
 finCargaVenlOnYMicrOnYSandOffTramol=[25450,27199,25134,23993,27632,28145,27292,28216,28089,26541];

inicioCargaVenlOnYMicrOnYSandOn=[25548,27349,25233,24143,27782,28296,27492,28370,29089,26695];
 finCargaVenlOnYMicrOnYSandOn=[34295,36451,33571,33239,33189,37285,37647,37210,39070,36251];

ANEXO II

```

122 inicioCargaVenlOnYMicrOnYSandOffTramo2=[34549,27349,33727,33392,37542,37849,38323,37413,39274,36455];
123 finCargaVenlOnYMicrOnYSandOffTramo2=[42125,44433,42213,42948,46126,46642,45034,45242,46948,44033];
124
125 inicioCargaVenlOnYMicrOffYSandOffTramo2=[42677,44882,42413,43202,46432,46945,45388,45598,47354,44386];
126 finCargaVenlOnYMicrOffYSandOffTramo2=[50509,51903,50552,51028,55121,55789,54439,53834,49591,53592];
127
128
129 %% CARGA FICHEROS Y ACONDICIONAMIENTO
130
131
132 %Carga ficheros
133 for i=1:TRIALS
134     cargaBat1{i}=load(strcat('PICUS_BAT1_TRIAL',num2str(i),'.txt'));
135     cargaBat2{i}=load(strcat('PICUS_BAT2_TRIAL',num2str(i),'.txt'));
136     cargaBat3{i}=load(strcat('PICUS_BAT3_TRIAL',num2str(i),'.txt'));
137     cargaExpr{i}=load(strcat('PICUS_EXPR_TRIAL',num2str(i),'.txt'));
138     cargaMicr{i}=load(strcat('PICUS_MICR_TRIAL',num2str(i),'.txt'));
139     cargaSand{i}=load(strcat('PICUS_SAND_TRIAL',num2str(i),'.txt'));
140     cargaVenl{i}=load(strcat('PICUS_VEN1_TRIAL',num2str(i),'.txt'));
141     % cargaVen2{i}=load(strcat('PICUS_VEN2_TRIAL',num2str(i),'.txt'));
142     cargaVenl{i}=load(strcat('PICUS_VEN1_TRIAL',num2str(i),'.txt'));
143     cargaMicrOnYSandOn{i}=load(strcat('PICUS_MICR_SAND_SAND_MICRO_TRIAL',num2str(i),'.txt'));
144     cargaSandOnYBat3On{i}=load(strcat('PICUS_SAND_BAT3_BAT3_SAND_TRIAL',num2str(i),'.txt'));
145     cargaVenlOnYBat3On{i}=load(strcat('PICUS_VEN1_BAT3_BAT3_VEN1_TRIAL',num2str(i),'.txt'));
146     cargaVenlOnYMicrOnYSandOn{i}=load(strcat('PICUS_VEN1_MICR_SAND_SAND_MICR_VEN1_TRIAL',num2str(i),'.txt'));
147 end
148
149
150 %recorte de la señal para tener solo la onda de ON.
151 for i=1:TRIALS
152     cargaBat1{1,i}=cargaBat1{i}(inicioCargaBat1(i):finCargaBat1(i));
153     cargaBat2{1,i}=cargaBat2{i}(inicioCargaBat2(i):finCargaBat2(i));
154     cargaBat3{1,i}=cargaBat3{i}(inicioCargaBat3(i):finCargaBat3(i));
155     cargaExpr{1,i}=cargaExpr{i}(inicioCargaExpr(i):finCargaExpr(i));
156     cargaMicr{1,i}=cargaMicr{i}(inicioCargaMicr(i):finCargaMicr(i));
157     cargaSand{1,i}=cargaSand{i}(inicioCargaSand(i):finCargaSand(i));
158     cargaVenl{1,i}=cargaVenl{i}(inicioCargaVenl(i):finCargaVenl(i));
159     % cargaVen2{1,i}=cargaVenl{1,i}(inicioCargaVen2(i):finCargaVen2(i));
160     cargaMicrOnYSandOn{1,i}=cargaMicrOnYSandOn{i}(inicioCargaMicrOnYSandOn(i):finCargaMicrOnYSandOn(i));
161     cargaSandOnYBat3On{1,i}=cargaSandOnYBat3On{i}(inicioCargaSandOnYBat3On(i):finCargaSandOnYBat3On(i));
162     cargaVenlOnYBat3On{1,i}=cargaVenlOnYBat3On{i}(inicioCargaVenlOnYBat3On(i):finCargaVenlOnYBat3On(i));
163     cargaVenlOnYMicrOnYSandOn{1,i}=cargaVenlOnYMicrOnYSandOn{i}(inicioCargaVenlOnYMicrOnYSandOn(i):finCargaVenlOnYMicrOnYSandOn(i));
164 end
165
166
167 %Subsampleo
168 %recorremos el vector de uno en uno y si encontramos un cero se guarda
169 %como el cero no es parte de la onda, incremento el indice de subsampleo a
170 %la siguiente muestra. Si coincide muestra leida con el indice subsampleo
171 %guardo esa muestra y e incremento el indiceSub en SUBSAMPLE
172 for i=1:TRIALS
173     cargaBat1Temp{i}=[];
174     cargaBat2Temp{i}=[];
175     cargaBat3Temp{i}=[];
176     cargaExprTemp{i}=[];
177     cargaMicrTemp{i}=[];
178     cargaSandTemp{i}=[];
179     cargaVenlTemp{i}=[];
180     % cargaVen2Temp{i}=[];
181     cargaMicrOnYSandOnTemp{i}=[];
182     cargaSandOnYBat3OnTemp{i}=[];
183     cargaVenlOnYBat3OnTemp{i}=[];
184     cargaVenlOnYMicrOnYSandOnTemp{i}=[];
185
186

```

```

187 indiceSub=l;
188 j=l;
189 while (j<size(cargaBat1{l,i},2))
190     if(cargaBat1{l,i}(j)==0)
191         cargaBat1Temp{l,i}(end+1)=0;
192         indiceSub=indiceSub+1;
193     end
194     if (j==indiceSub)
195         cargaBat1Temp{l,i}(end+1)=cargaBat1{l,i}(j);
196         indiceSub=indiceSub+SUBSAMPLE;
197     end
198     j=j+1;
199 end
200
201 indiceSub=l;
202 j=l;
203 while (j<size(cargaBat2{l,i},2))
204     if(cargaBat2{l,i}(j)==0)
205         cargaBat2Temp{l,i}(end+1)=0;
206         indiceSub=indiceSub+1;
207     end
208     if (j==indiceSub)
209         cargaBat2Temp{l,i}(end+1)=cargaBat2{l,i}(j);
210         indiceSub=indiceSub+SUBSAMPLE;
211     end
212     j=j+1;
213 end
214
215 indiceSub=l;
216 j=l;
217 while (j<size(cargaBat3{l,i},2))
218     if(cargaBat3{l,i}(j)==0)
219         cargaBat3Temp{l,i}(end+1)=0;
220         indiceSub=indiceSub+1;
221     end
222     if (j==indiceSub)
223         cargaBat3Temp{l,i}(end+1)=cargaBat3{l,i}(j);
224         indiceSub=indiceSub+SUBSAMPLE;
225     end
226     j=j+1;
227 end
228
229 indiceSub=l;
230 j=l;
231 while (j<size(cargaExpr{l,i},2))
232     if(cargaExpr{l,i}(j)==0)
233         cargaExprTemp{l,i}(end+1)=0;
234         indiceSub=indiceSub+1;
235     end
236     if (j==indiceSub)
237         cargaExprTemp{l,i}(end+1)=cargaExpr{l,i}(j);
238         indiceSub=indiceSub+SUBSAMPLE;
239     end
240     j=j+1;
241 end
242
243 indiceSub=l;
244 j=l;
245 while (j<size(cargaMicr{l,i},2))
246     if(cargaMicr{l,i}(j)==0)
247         cargaMicrTemp{l,i}(end+1)=0;
248         indiceSub=indiceSub+1;
249     end
250     if (j==indiceSub)
251         cargaMicrTemp{l,i}(end+1)=cargaMicr{l,i}(j);

```

```

252         indiceSub=indiceSub+SUBSAMPLE;
253     end
254     j=j+1;
255 end
256
257 indiceSub=1;
258 j=1;
259 while (j<size(cargaSand{1,i},2))
260     if(cargaSand{1,i}(j)==0)
261         cargaSandTemp{1,i}(end+1)=0;
262         indiceSub=indiceSub+1;
263     end
264     if (j==indiceSub)
265         cargaSandTemp{1,i}(end+1)=cargaSand{1,i}(j);
266         indiceSub=indiceSub+SUBSAMPLE;
267     end
268     j=j+1;
269 end
270
271 indiceSub=1;
272 j=1;
273 while (j<size(cargaVent{1,i},2))
274     if(cargaVent{1,i}(j)==0)
275         cargaVentTemp{1,i}(end+1)=0;
276         indiceSub=indiceSub+1;
277     end
278     if (j==indiceSub)
279         cargaVentTemp{1,i}(end+1)=cargaVent{1,i}(j);
280         indiceSub=indiceSub+SUBSAMPLE;
281     end
282     j=j+1;
283 end
284
285 indiceSub=1;
286 j=1;
287 while (j<size(cargaMicrOnYSandOn{1,i},2))
288     if(cargaMicrOnYSandOn{1,i}(j)==0)
289         cargaMicrOnYSandOnTemp{1,i}(end+1)=0;
290         indiceSub=indiceSub+1;
291     end
292     if (j==indiceSub)
293         cargaMicrOnYSandOnTemp{1,i}(end+1)=cargaMicrOnYSandOn{1,i}(j);
294         indiceSub=indiceSub+SUBSAMPLE;
295     end
296     j=j+1;
297 end
298
299 indiceSub=1;
300 j=1;
301 while (j<size(cargaSandOnYBat3On{1,i},2))
302     if(cargaSandOnYBat3On{1,i}(j)==0)
303         cargaSandOnYBat3OnTemp{1,i}(end+1)=0;
304         indiceSub=indiceSub+1;
305     end
306     if (j==indiceSub)
307         cargaSandOnYBat3OnTemp{1,i}(end+1)=cargaSandOnYBat3On{1,i}(j);
308         indiceSub=indiceSub+SUBSAMPLE;
309     end
310     j=j+1;
311 end
312
313 indiceSub=1;
314 j=1;
315 while (j<size(cargaVentOnYBat3On{1,i},2))
316     if(cargaVentOnYBat3On{1,i}(j)==0)

```

```

317     cargaVenlOnYBat3OnTemp{1,i}(end+1)=0;
318     indiceSub=indiceSub+1;
319 end
320 if (j==indiceSub)
321     cargaVenlOnYBat3OnTemp{1,i}(end+1)=cargaVenlOnYBat3On{1,i}(j);
322     indiceSub=indiceSub+SUBSAMPLE;
323 end
324 j=j+1;
325 end
326
327 indiceSub=1;
328 j=1;
329 while (j<size(cargaVenlOnYMicrOnYSandOn{1,i},2))
330     if(cargaVenlOnYMicrOnYSandOn{1,i}(j)==0)
331         cargaVenlOnYMicrOnYSandOnTemp{1,i}(end+1)=0;
332         indiceSub=indiceSub+1;
333     end
334     if (j==indiceSub)
335         cargaVenlOnYMicrOnYSandOnTemp{1,i}(end+1)=cargaVenlOnYMicrOnYSandOn{1,i}(j);
336         indiceSub=indiceSub+SUBSAMPLE;
337     end
338     j=j+1;
339 end
340
341 cargaBat1{1,i}=cargaBat1Temp{1,i};
342 cargaBat2{1,i}=cargaBat2Temp{1,i};
343 cargaBat3{1,i}=cargaBat3Temp{1,i};
344 cargaExpr{1,i}=cargaExprTemp{1,i};
345 cargaMicr{1,i}=cargaMicrTemp{1,i};
346 cargaSand{1,i}=cargaSandTemp{1,i};
347 cargaVenl{1,i}=cargaVenlTemp{1,i};
348 % cargaVen2{1,i}=cargaVenlTemp{1,i};
349 cargaMicrOnYSandOn{1,i}=cargaMicrOnYSandOnTemp{1,i};
350 cargaSandOnYBat3On{1,i}=cargaSandOnYBat3OnTemp{1,i};
351 cargaVenlOnYBat3On{1,i}=cargaVenlOnYBat3OnTemp{1,i};
352 cargaVenlOnYMicrOnYSandOn{1,i}=cargaVenlOnYMicrOnYSandOnTemp{1,i};
353
354 end
355
356 clear cargaBat1Temp{1,i};
357 clear cargaBat2Temp{1,i};
358 clear cargaBat3Temp{1,i};
359 clear cargaExprTemp{1,i};
360 clear cargaMicrTemp{1,i};
361 clear cargaSandTemp{1,i};
362 clear cargaVenlTemp{1,i};
363 % clear cargaVen2Temp{1,i};
364 clear cargaMicrOnYSandOnTemp{1,i};
365 clear cargaSandOnYBat3OnTemp{1,i};
366 clear cargaVenlOnYBat3OnTemp{1,i};
367 clear cargaVenlOnYMicrOnYSandOnTemp{1,i};
368 clear indiceSub;
369
370
371
372
373 %extraccion de los pasos por cero.
374 %el paso por cero es en la muestra actual menos el número de
375 %pasos por cero anteriores.
376 for i=1:TRIALS
377     pasosCeroVBat1=find(cargaBat1{1,i}==0)+DESFASE_TRAFO_TENSION;
378     pasosCeroVBat1=pasosCeroVBat1{1,i}-[0:size(pasosCeroVBat1{1,i},2)-1];
379
380     pasosCeroVBat2=find(cargaBat2{1,i}==0)+DESFASE_TRAFO_TENSION;
381     pasosCeroVBat2{1,i}=pasosCeroVBat2{1,i}-[0:size(pasosCeroVBat2{1,i},2)-1];

```

```

382
383 pasosCeroVBat3{i}=find(cargaBat3{1,i}==0)+DESFASE_TRAFO_TENSION;
384 pasosCeroVBat3{1,i}=pasosCeroVBat3{1,i}-[0:size(pasosCeroVBat3{1,i},2)-1];
385
386 pasosCeroVExpr{i}=find(cargaExpr{1,i}==0)+DESFASE_TRAFO_TENSION;
387 pasosCeroVExpr{1,i}=pasosCeroVExpr{1,i}-[0:size(pasosCeroVExpr{1,i},2)-1];
388
389 pasosCeroVMicr{i}=find(cargaMicr{1,i}==0)+DESFASE_TRAFO_TENSION;
390 pasosCeroVMicr{1,i}=pasosCeroVMicr{1,i}-[0:size(pasosCeroVMicr{1,i},2)-1];
391
392 pasosCeroVSand{i}=find(cargaSand{1,i}==0)+DESFASE_TRAFO_TENSION;
393 pasosCeroVSand{1,i}=pasosCeroVSand{1,i}-[0:size(pasosCeroVSand{1,i},2)-1];
394
395 pasosCeroVVenl{i}=find(cargaVenl{1,i}==0)+DESFASE_TRAFO_TENSION;
396 pasosCeroVVenl{1,i}=pasosCeroVVenl{1,i}-[0:size(pasosCeroVVenl{1,i},2)-1];
397
398 % pasosCeroVVen2{i}=find(cargaVen2{1,i}==0)+DESFASE_TRAFO_TENSION;
399 % pasosCeroVVen2{1,i}=pasosCeroVVen2{1,i}-[0:size(pasosCeroVVen2{1,i},2)-1];
400
401 pasosCeroVMicrOnYSandOn{i}=find(cargaMicrOnYSandOn{1,i}==0)+DESFASE_TRAFO_TENSION;
402 pasosCeroVMicrOnYSandOn{1,i}=pasosCeroVMicrOnYSandOn{1,i}-[0:size(pasosCeroVMicrOnYSandOn{1,i},2)-1];
403
404 pasosCeroVSandOnYBat3On{i}=find(cargaSandOnYBat3On{1,i}==0)+DESFASE_TRAFO_TENSION;
405 pasosCeroVSandOnYBat3On{1,i}=pasosCeroVSandOnYBat3On{1,i}-[0:size(pasosCeroVSandOnYBat3On{1,i},2)-1];
406
407 pasosCeroVVenlOnYBat3On{i}=find(cargaVenlOnYBat3On{1,i}==0)+DESFASE_TRAFO_TENSION;
408 pasosCeroVVenlOnYBat3On{1,i}=pasosCeroVVenlOnYBat3On{1,i}-[0:size(pasosCeroVVenlOnYBat3On{1,i},2)-1];
409
410 pasosCeroVVenlOnYMicrOnYSandOn{i}=find(cargaVenlOnYMicrOnYSandOn{1,i}==0)+DESFASE_TRAFO_TENSION;
411 pasosCeroVVenlOnYMicrOnYSandOn{1,i}=pasosCeroVVenlOnYMicrOnYSandOn{1,i}-[0:size(pasosCeroVVenlOnYMicrOnYSandOn{1,i},2)-1];
412
413 end
414
415
416
417 %eliminacion de los pasos por cero y de la comp. continua y filtrado
418
419 f2=fdesign.bandpass('n,fc1,fc2','N,FC1,FC2,FS);
420 filtro=design(f2);
421 %fvtool(filtro)
422
423 for i=1:TRIALS
424     cargaBat1{i}=nonzeros(cargaBat1{i});
425     cargaBat1{i}=(cargaBat1{i})'-median(cargaBat1{i});
426     cargaBat1Filtr{i}=filter(filtro,cargaBat1{i});
427     cargaBat1Filtr{i}=cargaBat1Filtr{i}(INICIO_FILTR:end); %quitamos las INICIO_FILTR muestras
428     cargaBat1{i}=cargaBat1{i}(INICIO_FILTR:end); %de la filtrada y del la original
429
430     cargaBat2{i}=nonzeros(cargaBat2{i});
431     cargaBat2{i}=(cargaBat2{i})'-median(cargaBat2{i});
432     cargaBat2Filtr{i}=filter(filtro,cargaBat2{i});
433     cargaBat2Filtr{i}=cargaBat2Filtr{i}(INICIO_FILTR:end);
434     cargaBat2{i}=cargaBat2{i}(INICIO_FILTR:end);
435
436     cargaBat3{i}=nonzeros(cargaBat3{i});
437     cargaBat3{i}=(cargaBat3{i})'-median(cargaBat3{i});
438     cargaBat3Filtr{i}=filter(filtro,cargaBat3{i});
439     cargaBat3Filtr{i}=cargaBat3Filtr{i}(INICIO_FILTR:end);
440     cargaBat3{i}=cargaBat3{i}(INICIO_FILTR:end);
441
442     cargaExpr{i}=nonzeros(cargaExpr{i});
443     cargaExpr{i}=(cargaExpr{i})'-median(cargaExpr{i});
444     cargaExprFiltr{i}=filter(filtro,cargaExpr{i});
445     cargaExprFiltr{i}=cargaExprFiltr{i}(INICIO_FILTR:end);
446     cargaExpr{i}=cargaExpr{i}(INICIO_FILTR:end);

```

```

447
448 cargaMicr{1,i}=nonzeros(cargaMicr{1,i});
449 cargaMicr{1,i}=(cargaMicr{1,i})'-median(cargaMicr{1,i});
450 cargaMicrFiltr{1,i}=filter(filtro,cargaMicr{1,i});
451 cargaMicrFiltr{1,i}=cargaMicrFiltr{1,i}(INICIO_FILTR:end);
452 cargaMicr{1,i}= cargaMicr{1,i}(INICIO_FILTR:end);
453
454 cargaSand{1,i}=nonzeros(cargaSand{1,i});
455 cargaSand{1,i}=(cargaSand{1,i})'-median(cargaSand{1,i});
456 cargaSandFiltr{1,i}=filter(filtro,cargaSand{1,i});
457 cargaSandFiltr{1,i}=cargaSandFiltr{1,i}(INICIO_FILTR:end);
458 cargaSand{1,i}= cargaSand{1,i}(INICIO_FILTR:end);
459
460 cargaVenl{1,i}=nonzeros(cargaVenl{1,i});
461 cargaVenl{1,i}=(cargaVenl{1,i})'-median(cargaVenl{1,i});
462 cargaVenlFiltr{1,i}=filter(filtro,cargaVenl{1,i});
463 cargaVenlFiltr{1,i}=cargaVenlFiltr{1,i}(INICIO_FILTR:end);
464 cargaVenl{1,i}= cargaVenl{1,i}(INICIO_FILTR:end);
465
466 % cargaVen2{1,i}=nonzeros(cargaVen2{1,i});
467 % cargaVen2{1,i}=(cargaVen2{1,i})'-median(cargaVen2{1,i});
468 % cargaVen2Filtr{1,i}=filter(filtro,cargaVen2{1,i});
469 % cargaVen2Filtr{1,i}=cargaVen2Filtr{1,i}(INICIO_FILTR:end);
470 % cargaBat{1,i}= cargaBat{1,i}(INICIO_FILTR:end);
471
472 cargaMicrOnYSandOn{1,i}=nonzeros(cargaMicrOnYSandOn{1,i});
473 cargaMicrOnYSandOn{1,i}=(cargaMicrOnYSandOn{1,i})'-median(cargaMicrOnYSandOn{1,i});
474 cargaMicrOnYSandOnFiltr{1,i}=filter(filtro,cargaMicrOnYSandOn{1,i});
475 cargaMicrOnYSandOnFiltr{1,i}=cargaMicrOnYSandOnFiltr{1,i}(INICIO_FILTR:end);
476 cargaMicrOnYSandOn{1,i}= cargaMicrOnYSandOn{1,i}(INICIO_FILTR:end);
477
478 cargaSandOnYBat3On{1,i}=nonzeros(cargaSandOnYBat3On{1,i});
479 cargaSandOnYBat3On{1,i}=(cargaSandOnYBat3On{1,i})'-median(cargaSandOnYBat3On{1,i});
480 cargaSandOnYBat3OnFiltr{1,i}=filter(filtro,cargaSandOnYBat3On{1,i});
481 cargaSandOnYBat3OnFiltr{1,i}=cargaSandOnYBat3OnFiltr{1,i}(INICIO_FILTR:end);
482 cargaSandOnYBat3On{1,i}= cargaSandOnYBat3On{1,i}(INICIO_FILTR:end);
483
484 cargaVenlOnYBat3On{1,i}=nonzeros(cargaVenlOnYBat3On{1,i});
485 cargaVenlOnYBat3On{1,i}=(cargaVenlOnYBat3On{1,i})'-median(cargaVenlOnYBat3On{1,i});
486 cargaVenlOnYBat3OnFiltr{1,i}=filter(filtro,cargaVenlOnYBat3On{1,i});
487 cargaVenlOnYBat3OnFiltr{1,i}=cargaVenlOnYBat3OnFiltr{1,i}(INICIO_FILTR:end);
488 cargaVenlOnYBat3On{1,i}= cargaVenlOnYBat3On{1,i}(INICIO_FILTR:end);
489
490 cargaVenlOnYMicrOnYSandOn{1,i}=nonzeros(cargaVenlOnYMicrOnYSandOn{1,i});
491 cargaVenlOnYMicrOnYSandOn{1,i}=(cargaVenlOnYMicrOnYSandOn{1,i})'-median(cargaVenlOnYMicrOnYSandOn{1,i});
492 cargaVenlOnYMicrOnYSandOnFiltr{1,i}=filter(filtro,cargaVenlOnYMicrOnYSandOn{1,i});
493 cargaVenlOnYMicrOnYSandOnFiltr{1,i}=cargaVenlOnYMicrOnYSandOnFiltr{1,i}(INICIO_FILTR:end);
494 cargaVenlOnYMicrOnYSandOn{1,i}= cargaVenlOnYMicrOnYSandOn{1,i}(INICIO_FILTR:end);
495
496 end
497
498
499
500 %% FACTOR POTENCIA, PASO POR CERO
501
502 %valor desfase V-I
503 %calculamos el desfase entre tension e intensidad, flanco bajada de
504 %corriente
505 %con el vector pasosCeroVxxx y calculando el paso por cero
506 %de la onda de corriente filtrada(primer paso por cero, obviando los rebotes)
507
508 pasosCeroIBat=cell(1,TRIALS);
509
510 for i=1:TRIALS
511     k=i;% indice de fila de los ceros de corriente

```

ANEXO II

```

512 pasosCeroBat{1,i}(k)=-SEP_PASOS_0;
513 for j=1:size(cargaBatFiltr{1,i},2)-1%j recorre toda la onda de corriente
514 if (cargaBatFiltr{1,i}(j)>MAY_MEN_0)&&(cargaBatFiltr{1,i}(j+1)<=0)%si los pasos por cero
515 if j-pasosCeroBat{1,i}(k)>=SEP_PASOS_0; %están separados, se añade
516 if abs(cargaBatFiltr{1,i}(j))<abs(cargaBatFiltr{1,i}(j+1))%el que está mas cerca de cero
517 pasosCeroBat{1,i}(k+1)=j;
518 else
519 pasosCeroBat{1,i}(k+1)=j+1;
520 end
521 k=k+1;
522 end
523 end
524 end
525 pasosCeroBat{1,i}=pasosCeroBat{1,i}(2:end);%eliminamos el primer valor
526 %que es cero
527
528
529
530 pasosCeroBat2=cell(1,TRIALS);
531
532 for i=1:TRIALS
533 k=1;% índice de fila
534 pasosCeroBat2{1,i}(k)=-SEP_PASOS_0;
535 for j=1:size(cargaBat2Filtr{1,i},2)-1
536 if (cargaBat2Filtr{1,i}(j)>MAY_MEN_0)&&(cargaBat2Filtr{1,i}(j+1)<=0)
537 if j-pasosCeroBat2{1,i}(k)>=SEP_PASOS_0; %si los pasos por cero
538 if abs(cargaBat2Filtr{1,i}(j))<abs(cargaBat2Filtr{1,i}(j+1))
539 pasosCeroBat2{1,i}(k+1)=j;%están separados, se añade
540 else
541 pasosCeroBat2{1,i}(k+1)=j+1;%el que está mas cerca de cero
542 end
543 k=k+1;
544 end
545 end
546 end
547 pasosCeroBat2{1,i}=pasosCeroBat2{1,i}(2:end);%eliminamos el primer valor
548 %que es cero
549
550
551 pasosCeroBat3=cell(1,TRIALS);
552
553 for i=1:TRIALS
554 k=1;% índice de fila
555 pasosCeroBat3{1,i}(k)=-SEP_PASOS_0;
556 for j=1:size(cargaBat3Filtr{1,i},2)-1
557 if (cargaBat3Filtr{1,i}(j)>MAY_MEN_0)&&(cargaBat3Filtr{1,i}(j+1)<=0)
558 if j-pasosCeroBat3{1,i}(k)>=SEP_PASOS_0; %si los pasos por cero
559 if abs(cargaBat3Filtr{1,i}(j))<abs(cargaBat3Filtr{1,i}(j+1))
560 pasosCeroBat3{1,i}(k+1)=j;%están separados, se añade
561 else
562 pasosCeroBat3{1,i}(k+1)=j+1;%el que está mas cerca de cero
563 end
564 k=k+1;
565 end
566 end
567 end
568 pasosCeroBat3{1,i}=pasosCeroBat3{1,i}(2:end);%eliminamos el primer valor
569 %que es cero
570
571
572 pasosCeroExpr=cell(1,TRIALS);
573
574 for i=1:TRIALS
575 k=1;% índice de fila
576 pasosCeroExpr{1,i}(k)=-SEP_PASOS_0;

```

```

577 for j=1:size(cargaExprFiltr{1,i},2)-1
578     if (cargaExprFiltr{1,i}(j)>MAY_MEN_0)&&(cargaExprFiltr{1,i}(j+1)<=0)
579         if j-pasosCeroLExpr{1,i}(k)>=SEP_PASOS_0; %si los pasos por cero
580             if abs(cargaExprFiltr{1,i}(j))<abs(cargaExprFiltr{1,i}(j+1))
581                 pasosCeroLExpr{1,i}(k+1)=j;%estan separados, se añade
582             else
583                 pasosCeroLExpr{1,i}(k+1)=j+1;%el que está mas cerca de cero
584             end
585             k=k+1;
586         end
587     end
588 end
589 pasosCeroLExpr{1,i}=pasosCeroLExpr{1,i}(2:end);%eliminamos el primer valor
590 end %que es cero
591
592
593 pasosCeroLMicr=cell(1,TRIALS);
594
595 for i=1:TRIALS
596     k=1;% indice de fila
597     pasosCeroLMicr{1,i}(k)=-SEP_PASOS_0;
598     for j=1:size(cargaMicrFiltr{1,i},2)-1
599         if (cargaMicrFiltr{1,i}(j)>MAY_MEN_0)&&(cargaMicrFiltr{1,i}(j+1)<=0)
600             if j-pasosCeroLMicr{1,i}(k)>=SEP_PASOS_0; %si los pasos por cero
601                 if abs(cargaMicrFiltr{1,i}(j))<abs(cargaMicrFiltr{1,i}(j+1))
602                     pasosCeroLMicr{1,i}(k+1)=j;%estan separados, se añade
603                 else
604                     pasosCeroLMicr{1,i}(k+1)=j+1;%el que está mas cerca de cero
605                 end
606                 k=k+1;
607             end
608         end
609     end
610     pasosCeroLMicr{1,i}=pasosCeroLMicr{1,i}(2:end);%eliminamos el primer valor
611 end %que es cero
612
613
614 pasosCeroLSand=cell(1,TRIALS);
615
616 for i=1:TRIALS
617     k=1;% indice de fila
618     pasosCeroLSand{1,i}(k)=-SEP_PASOS_0;
619     for j=1:size(cargaSandFiltr{1,i},2)-1
620         if (cargaSandFiltr{1,i}(j)>MAY_MEN_0)&&(cargaSandFiltr{1,i}(j+1)<=0)
621             if j-pasosCeroLSand{1,i}(k)>=SEP_PASOS_0; %si los pasos por cero
622                 if abs(cargaSandFiltr{1,i}(j))<abs(cargaSandFiltr{1,i}(j+1))
623                     pasosCeroLSand{1,i}(k+1)=j;%estan separados, se añade
624                 else
625                     pasosCeroLSand{1,i}(k+1)=j+1;%el que está mas cerca de cero
626                 end
627                 k=k+1;
628             end
629         end
630     end
631     pasosCeroLSand{1,i}=pasosCeroLSand{1,i}(2:end);%eliminamos el primer valor
632 end %que es cero
633
634
635 pasosCeroLVenl=cell(1,TRIALS);
636
637 for i=1:TRIALS
638     k=1;% indice de fila
639     pasosCeroLVenl{1,i}(k)=-SEP_PASOS_0;
640     for j=1:size(cargaVenlFiltr{1,i},2)-1
641         if (cargaVenlFiltr{1,i}(j)>MAY_MEN_0)&&(cargaVenlFiltr{1,i}(j+1)<=0)

```


ANEXO II

```

642         if j-pasosCeroVen{1,i}(k)>=SEP_PASOS_0; %si los pasos por cero
643         if abs(cargaVenFiltr{1,i}(j))<abs(cargaVenFiltr{1,i}(j+1))
644             pasosCeroVen{1,i}(k+1)=j;%estan separados, se añade
645         else
646             pasosCeroVen{1,i}(k+1)=j+1;%el que está mas cerca de cero
647         end
648         k=k+1;
649     end
650 end
651 end
652 pasosCeroVen{1,i}=pasosCeroVen{1,i}(2:end);%eliminamos el primer valor
653 end %que es cero
654
655 %
656 % pasosCeroVen2=cell(1,TRIALS);
657 %
658 % for i=1:TRIALS
659 %     k=1;% indice de fila
660 %     pasosCeroVen2{1,i}(k)=-SEP_PASOS_0;
661 %     for j=1:size(cargaVen2Filtr{1,i},2)-1
662 %         if (cargaVen2Filtr{1,i}(j)>MAY_MEN_0)&&(cargaVen2Filtr{1,i}(j+1)<=0)
663 %             if j-pasosCeroVen2{1,i}(k)>=SEP_PASOS_0; %si los pasos por cero
664 %                 if abs(cargaVen2Filtr{1,i}(j))<abs(cargaVen2Filtr{1,i}(j+1))
665 %                     pasosCeroVen2{1,i}(k+1)=j;%estan separados, se añade
666 %                 else
667 %                     pasosCeroVen2{1,i}(k+1)=j+1;%el que está mas cerca de cero
668 %                 end
669 %                 k=k+1;
670 %             end
671 %         end
672 %     end
673 %     pasosCeroVen2{1,i}=pasosCeroVen2{1,i}(2:end);%eliminamos el primer valor
674 % end %que es cero
675 %
676
677 pasosCeroMicrOnYSandOn=cell(1,TRIALS);
678
679 for i=1:TRIALS
680     k=1;% indice de fila
681     pasosCeroMicrOnYSandOn{1,i}(k)=-SEP_PASOS_0;
682     for j=1:size(cargaMicrOnYSandOnFiltr{1,i},2)-1
683         if (cargaMicrOnYSandOnFiltr{1,i}(j)>MAY_MEN_0)&&(cargaMicrOnYSandOnFiltr{1,i}(j+1)<=0)
684             if j-pasosCeroMicrOnYSandOn{1,i}(k)>=SEP_PASOS_0; %si los pasos por cero
685                 if abs(cargaMicrOnYSandOnFiltr{1,i}(j))<abs(cargaMicrOnYSandOnFiltr{1,i}(j+1))
686                     pasosCeroMicrOnYSandOn{1,i}(k+1)=j;%estan separados, se añade
687                 else
688                     pasosCeroMicrOnYSandOn{1,i}(k+1)=j+1;%el que está mas cerca de cero
689                 end
690                 k=k+1;
691             end
692         end
693     end
694     pasosCeroMicrOnYSandOn{1,i}=pasosCeroMicrOnYSandOn{1,i}(2:end);%eliminamos el primer valor
695 end %que es cero
696
697 pasosCeroSandOnYBat3On=cell(1,TRIALS);
698
699 for i=1:TRIALS
700     k=1;% indice de fila
701     pasosCeroSandOnYBat3On{1,i}(k)=-SEP_PASOS_0;
702     for j=1:size(cargaSandOnYBat3OnFiltr{1,i},2)-1
703         if (cargaSandOnYBat3OnFiltr{1,i}(j)>MAY_MEN_0)&&(cargaSandOnYBat3OnFiltr{1,i}(j+1)<=0)
704             if j-pasosCeroSandOnYBat3On{1,i}(k)>=SEP_PASOS_0; %si los pasos por cero
705                 if abs(cargaSandOnYBat3OnFiltr{1,i}(j))<abs(cargaSandOnYBat3OnFiltr{1,i}(j+1))
706                     pasosCeroSandOnYBat3On{1,i}(k+1)=j;%estan separados, se añade

```

ANEXO II

```

707         else
708             pasosCeroISandOnYBat3On{1,i}(k+1)=j+1;%el que está mas cerca de cero
709         end
710         k=k+1;
711     end
712 end
713 end
714 pasosCeroISandOnYBat3On{1,i}=pasosCeroISandOnYBat3On{1,i}(2:end);%eliminamos el primer valor
715 end %que es cero
716
717 pasosCeroIVentOnYBat3On=cell(1,TRIALS);
718
719 for i=1:TRIALS
720     k=1;% indice de fila
721     pasosCeroIVentOnYBat3On{1,i}(k)=-SEP_PASOS_0;
722     for j=1:size(cargaVentOnYBat3OnFiltr{1,i},2)-1
723         if (cargaVentOnYBat3OnFiltr{1,i}(j)>MAY_MEN_0)&&(cargaVentOnYBat3OnFiltr{1,i}(j+1)<=0)
724             if j-pasosCeroIVentOnYBat3On{1,i}(k)>=SEP_PASOS_0;%si los pasos por cero
725                 if abs(cargaVentOnYBat3OnFiltr{1,i}(j))<abs(cargaVentOnYBat3OnFiltr{1,i}(j+1))
726                     pasosCeroIVentOnYBat3On{1,i}(k+1)=j;%estan separados, se añade
727                 else
728                     pasosCeroIVentOnYBat3On{1,i}(k+1)=j+1;%el que está mas cerca de cero
729                 end
730                 k=k+1;
731             end
732         end
733     end
734     pasosCeroIVentOnYBat3On{1,i}=pasosCeroIVentOnYBat3On{1,i}(2:end);%eliminamos el primer valor
735 end %que es cero
736
737 pasosCeroIVentOnYMicrOnYSandOn=cell(1,TRIALS);
738
739 for i=1:TRIALS
740     k=1;% indice de fila
741     pasosCeroIVentOnYMicrOnYSandOn{1,i}(k)=-SEP_PASOS_0;
742     for j=1:size(cargaVentOnYMicrOnYSandOnFiltr{1,i},2)-1
743         if (cargaVentOnYMicrOnYSandOnFiltr{1,i}(j)>MAY_MEN_0)&&(cargaVentOnYMicrOnYSandOnFiltr{1,i}(j+1)<=0)
744             if j-pasosCeroIVentOnYMicrOnYSandOn{1,i}(k)>=SEP_PASOS_0;%si los pasos por cero
745                 if abs(cargaVentOnYMicrOnYSandOnFiltr{1,i}(j))<abs(cargaVentOnYMicrOnYSandOnFiltr{1,i}(j+1))
746                     pasosCeroIVentOnYMicrOnYSandOn{1,i}(k+1)=j;%estan separados, se añade
747                 else
748                     pasosCeroIVentOnYMicrOnYSandOn{1,i}(k+1)=j+1;%el que está mas cerca de cero
749                 end
750                 k=k+1;
751             end
752         end
753     end
754     pasosCeroIVentOnYMicrOnYSandOn{1,i}=pasosCeroIVentOnYMicrOnYSandOn{1,i}(2:end);%eliminamos el primer valor
755 end %que es cero
756
757
758
759
760 %diferencias
761 medFacPotBat1=0;
762 medFacPotBat2=0;
763 medFacPotBat3=0;
764 medFacPotExpr=0;
765 medFacPotMicr=0;
766 medFacPotSand=0;
767 medFacPotVent=0;
768 medFacPotMicrOnYSandOn=0;
769 medFacPotSandOnYBat3On=0;
770 medFacPotVentOnYBat3On=0;
771 medFacPotVentOnYMicrOnYSandOn=0;

```

ANEXO II

```

772
773 for i=1:TRIALS
774     sizeFacPotBat(i)=min(size(pasosCeroBat{1,i},2),size(pasosCeroVBat{1,i},2));
775     FacPotBat{1,i}=pasosCeroBat{1,i}(1:sizeFacPotBat(i))-pasosCeroVBat{1,i}(1:sizeFacPotBat(i));
776     FacPotBat{1,i}(find(FacPotBat{1,i}<0))=FacPotBat{1,i}(find(FacPotBat{1,i}<0))+MUESTRAS_CICLO/2;
777     FacPotBat{1,i}(find(FacPotBat{1,i}>(MUESTRAS_CICLO/4)))=FacPotBat{1,i}(find(FacPotBat{1,i}>(MUESTRAS_CICLO/4)))-MUESTRAS_CICLO/2;
778     for j=1:VENTANA_EST:divide(int32(sizeFacPotBat(i)),int32(VENTANA_EST))*VENTANA_EST
779         medFacPotBat=[medFacPotBat median(FacPotBat{1,i}(j+VENTANA_EST-1))];
780     end
781
782     sizeFacPotBat2(i)=min(size(pasosCeroBat2{1,i},2),size(pasosCeroVBat2{1,i},2));
783     FacPotBat2{1,i}=pasosCeroBat2{1,i}(1:sizeFacPotBat2(i))-pasosCeroVBat2{1,i}(1:sizeFacPotBat2(i));
784     FacPotBat2{1,i}(find(FacPotBat2{1,i}<0))=FacPotBat2{1,i}(find(FacPotBat2{1,i}<0))+MUESTRAS_CICLO/2;
785     FacPotBat2{1,i}(find(FacPotBat2{1,i}>(MUESTRAS_CICLO/4)))=FacPotBat2{1,i}(find(FacPotBat2{1,i}>(MUESTRAS_CICLO/4)))-MUESTRAS_CICLO/2;
786     for j=1:VENTANA_EST:divide(int32(sizeFacPotBat2(i)),int32(VENTANA_EST))*VENTANA_EST
787         medFacPotBat2=[medFacPotBat2 median(FacPotBat2{1,i}(j+VENTANA_EST-1))];
788     end
789
790     sizeFacPotBat3(i)=min(size(pasosCeroBat3{1,i},2),size(pasosCeroVBat3{1,i},2));
791     FacPotBat3{1,i}=pasosCeroBat3{1,i}(1:sizeFacPotBat3(i))-pasosCeroVBat3{1,i}(1:sizeFacPotBat3(i));
792     FacPotBat3{1,i}(find(FacPotBat3{1,i}<0))=FacPotBat3{1,i}(find(FacPotBat3{1,i}<0))+MUESTRAS_CICLO/2;
793     FacPotBat3{1,i}(find(FacPotBat3{1,i}>(MUESTRAS_CICLO/4)))=FacPotBat3{1,i}(find(FacPotBat3{1,i}>(MUESTRAS_CICLO/4)))-MUESTRAS_CICLO/2;
794     for j=1:VENTANA_EST:divide(int32(sizeFacPotBat3(i)),int32(VENTANA_EST))*VENTANA_EST
795         medFacPotBat3=[medFacPotBat3 median(FacPotBat3{1,i}(j+VENTANA_EST-1))];
796     end
797
798     sizeFacPotExpr(i)=min(size(pasosCeroExpr{1,i},2),size(pasosCeroVExpr{1,i},2));
799     FacPotExpr{1,i}=pasosCeroExpr{1,i}(1:sizeFacPotExpr(i))-pasosCeroVExpr{1,i}(1:sizeFacPotExpr(i));
800     FacPotExpr{1,i}(find(FacPotExpr{1,i}<0))=FacPotExpr{1,i}(find(FacPotExpr{1,i}<0))+MUESTRAS_CICLO/2;
801     FacPotExpr{1,i}(find(FacPotExpr{1,i}>(MUESTRAS_CICLO/4)))=FacPotExpr{1,i}(find(FacPotExpr{1,i}>(MUESTRAS_CICLO/4)))-MUESTRAS_CICLO/2;
802     for j=1:VENTANA_EST:divide(int32(sizeFacPotExpr(i)),int32(VENTANA_EST))*VENTANA_EST
803         medFacPotExpr=[medFacPotExpr median(FacPotExpr{1,i}(j+VENTANA_EST-1))];
804     end
805
806     sizeFacPotMicr(i)=min(size(pasosCeroMicr{1,i},2),size(pasosCeroVMicr{1,i},2));
807     FacPotMicr{1,i}=pasosCeroMicr{1,i}(1:sizeFacPotMicr(i))-pasosCeroVMicr{1,i}(1:sizeFacPotMicr(i));
808     FacPotMicr{1,i}(find(FacPotMicr{1,i}<0))=FacPotMicr{1,i}(find(FacPotMicr{1,i}<0))+MUESTRAS_CICLO/2;
809     FacPotMicr{1,i}(find(FacPotMicr{1,i}>(MUESTRAS_CICLO/4)))=FacPotMicr{1,i}(find(FacPotMicr{1,i}>(MUESTRAS_CICLO/4)))-MUESTRAS_CICLO/2;
810     for j=1:VENTANA_EST:divide(int32(sizeFacPotMicr(i)),int32(VENTANA_EST))*VENTANA_EST
811         medFacPotMicr=[medFacPotMicr median(FacPotMicr{1,i}(j+VENTANA_EST-1))];
812     end
813
814     sizeFacPotSand(i)=min(size(pasosCeroSand{1,i},2),size(pasosCeroVSand{1,i},2));
815     FacPotSand{1,i}=pasosCeroSand{1,i}(1:sizeFacPotSand(i))-pasosCeroVSand{1,i}(1:sizeFacPotSand(i));
816     FacPotSand{1,i}(find(FacPotSand{1,i}<0))=FacPotSand{1,i}(find(FacPotSand{1,i}<0))+MUESTRAS_CICLO/2;
817     FacPotSand{1,i}(find(FacPotSand{1,i}>(MUESTRAS_CICLO/4)))=FacPotSand{1,i}(find(FacPotSand{1,i}>(MUESTRAS_CICLO/4)))-
818     MUESTRAS_CICLO/2;
819     for j=1:VENTANA_EST:divide(int32(sizeFacPotSand(i)),int32(VENTANA_EST))*VENTANA_EST
820         medFacPotSand=[medFacPotSand median(FacPotSand{1,i}(j+VENTANA_EST-1))];
821     end
822
823     sizeFacPotVen(i)=min(size(pasosCeroVen{1,i},2),size(pasosCeroVVen{1,i},2));
824     FacPotVen{1,i}=pasosCeroVen{1,i}(1:sizeFacPotVen(i))-pasosCeroVVen{1,i}(1:sizeFacPotVen(i));
825     FacPotVen{1,i}(find(FacPotVen{1,i}<0))=FacPotVen{1,i}(find(FacPotVen{1,i}<0))+MUESTRAS_CICLO/2;
826     FacPotVen{1,i}(find(FacPotVen{1,i}>(MUESTRAS_CICLO/4)))=FacPotVen{1,i}(find(FacPotVen{1,i}>(MUESTRAS_CICLO/4)))-MUESTRAS_CICLO/2;
827     for j=1:VENTANA_EST:divide(int32(sizeFacPotVen(i)),int32(VENTANA_EST))*VENTANA_EST
828         medFacPotVen=[medFacPotVen median(FacPotVen{1,i}(j+VENTANA_EST-1))];
829     end
830
831     sizeFacPotMicrOnYSandOn(i)=min(size(pasosCeroMicrOnYSandOn{1,i},2),size(pasosCeroVMicrOnYSandOn{1,i},2));
832     FacPotMicrOnYSandOn{1,i}=pasosCeroMicrOnYSandOn{1,i}(1:sizeFacPotMicrOnYSandOn(i))-
833     pasosCeroVMicrOnYSandOn{1,i}(1:sizeFacPotMicrOnYSandOn(i));
834
835     FacPotMicrOnYSandOn{1,i}(find(FacPotMicrOnYSandOn{1,i}<0))=FacPotMicrOnYSandOn{1,i}(find(FacPotMicrOnYSandOn{1,i}<0))+MUESTRAS_CICLO/2;

```

ANEXO II

```

836
837 FacPotMcrOnYSandOn{1,i}{find(FacPotMcrOnYSandOn{1,i}>(MUESTRAS_CICLO/4)))=FacPotMcrOnYSandOn{1,i}{find(FacPotMcrOnYSandOn{1,i}>(MUESTRAS
838 _CICLO/4))) - MUESTRAS_CICLO/2;
839     for j=1:VENTANA_EST:divide(int32(sizeFacPotMcrOnYSandOn(i)),int32(VENTANA_EST))*VENTANA_EST
840         medFacPotMcrOnYSandOn=[medFacPotMcrOnYSandOn median(FacPotMcrOnYSandOn{1,i}(j+VENTANA_EST-1))];
841     end
842
843     sizeFacPotSandOnYBat3On(i)=min(size(pasosCeroISandOnYBat3On{1,i},2),size(pasosCeroVSandOnYBat3On{1,i},2));
844     FacPotSandOnYBat3On{1,i}=pasosCeroISandOnYBat3On{1,i}(1:sizeFacPotSandOnYBat3On(i))-
845     pasosCeroVSandOnYBat3On{1,i}(1:sizeFacPotSandOnYBat3On(i));
846
847     FacPotSandOnYBat3On{1,i}{find(FacPotSandOnYBat3On{1,i}<0)}=FacPotSandOnYBat3On{1,i}{find(FacPotSandOnYBat3On{1,i}<0)}+MUESTRAS_CICLO/2;
848
849     FacPotSandOnYBat3On{1,i}{find(FacPotSandOnYBat3On{1,i}>(MUESTRAS_CICLO/4)))=FacPotSandOnYBat3On{1,i}{find(FacPotSandOnYBat3On{1,i}>(MUESTRAS
850 _CICLO/4))) - MUESTRAS_CICLO/2;
851     for j=1:VENTANA_EST:divide(int32(sizeFacPotSandOnYBat3On(i)),int32(VENTANA_EST))*VENTANA_EST
852         medFacPotSandOnYBat3On=[medFacPotSandOnYBat3On median(FacPotSandOnYBat3On{1,i}(j+VENTANA_EST-1))];
853     end
854
855     sizeFacPotVenlOnYBat3On(i)=min(size(pasosCeroVenlOnYBat3On{1,i},2),size(pasosCeroVVenlOnYBat3On{1,i},2));
856     FacPotVenlOnYBat3On{1,i}=pasosCeroVenlOnYBat3On{1,i}(1:sizeFacPotVenlOnYBat3On(i))-
857     pasosCeroVVenlOnYBat3On{1,i}(1:sizeFacPotVenlOnYBat3On(i));
858
859     FacPotVenlOnYBat3On{1,i}{find(FacPotVenlOnYBat3On{1,i}<0)}=FacPotVenlOnYBat3On{1,i}{find(FacPotVenlOnYBat3On{1,i}<0)}+MUESTRAS_CICLO/2;
860
861     FacPotVenlOnYBat3On{1,i}{find(FacPotVenlOnYBat3On{1,i}>(MUESTRAS_CICLO/4)))=FacPotVenlOnYBat3On{1,i}{find(FacPotVenlOnYBat3On{1,i}>(MUESTRAS_
862 CICLO/4))) - MUESTRAS_CICLO/2;
863     for j=1:VENTANA_EST:divide(int32(sizeFacPotVenlOnYBat3On(i)),int32(VENTANA_EST))*VENTANA_EST
864         medFacPotVenlOnYBat3On=[medFacPotVenlOnYBat3On median(FacPotVenlOnYBat3On{1,i}(j+VENTANA_EST-1))];
865     end
866
867     sizeFacPotVenlOnYMicrOnYSandOn(i)=min(size(pasosCeroVenlOnYMicrOnYSandOn{1,i},2),size(pasosCeroVVenlOnYMicrOnYSandOn{1,i},2));
868     FacPotVenlOnYMicrOnYSandOn{1,i}=pasosCeroVenlOnYMicrOnYSandOn{1,i}(1:sizeFacPotVenlOnYMicrOnYSandOn(i))-
869     pasosCeroVVenlOnYMicrOnYSandOn{1,i}(1:sizeFacPotVenlOnYMicrOnYSandOn(i));
870
871     FacPotVenlOnYMicrOnYSandOn{1,i}{find(FacPotVenlOnYMicrOnYSandOn{1,i}<0)}=FacPotVenlOnYMicrOnYSandOn{1,i}{find(FacPotVenlOnYMicrOnYSandOn{1,i}
872 <0)}+MUESTRAS_CICLO/2;
873
874     FacPotVenlOnYMicrOnYSandOn{1,i}{find(FacPotVenlOnYMicrOnYSandOn{1,i}>(MUESTRAS_CICLO/4)))=FacPotVenlOnYMicrOnYSandOn{1,i}{find(FacPotVenlOn
875 YMicrOnYSandOn{1,i}>(MUESTRAS_CICLO/4))) - MUESTRAS_CICLO/2;
876     for j=1:VENTANA_EST:divide(int32(sizeFacPotVenlOnYMicrOnYSandOn(i)),int32(VENTANA_EST))*VENTANA_EST
877         medFacPotVenlOnYMicrOnYSandOn=[medFacPotVenlOnYMicrOnYSandOn median(FacPotVenlOnYMicrOnYSandOn{1,i}(j+VENTANA_EST-1))];
878     end
879 end
880
881 medFacPotBat1=medFacPotBat1(2:end);
882 medFacPotBat2=medFacPotBat2(2:end);
883 medFacPotBat3=medFacPotBat3(2:end);
884 medFacPotExpr=medFacPotExpr(2:end);
885 medFacPotMcr=medFacPotMcr(2:end);
886 medFacPotSand=medFacPotSand(2:end);
887 medFacPotVenl=medFacPotVenl(2:end);
888 medFacPotMcrOnYSandOn=medFacPotMcrOnYSandOn(2:end);
889 medFacPotSandOnYBat3On=medFacPotSandOnYBat3On(2:end);
890 medFacPotVenlOnYBat3On=medFacPotVenlOnYBat3On(2:end);
891 medFacPotVenlOnYMicrOnYSandOn=medFacPotVenlOnYMicrOnYSandOn(2:end);
892
893 %% RMS-FFT-CCDA-CUARTO
894
895 %valor RMS
896 %recortamos la señal en longitud para obtener un multiplo
897 %de un periodo asi el valor rms está promediado y tomamos
898 %ventanas de VENTANA_EST numero de ciclos.
899
900

```

ANEXO II

```

901     rmsBat1=[];
902     rmsBat2=[];
903     rmsBat3=[];
904     rmsExpr=[];
905     rmsMicr=[];
906     rmsSand=[];
907     rmsVenl=[];
908     rmsMicrOnYSandOn=[];
909     rmsSandOnYBat3On=[];
910     rmsVenlOnYBat3On=[];
911     rmsVenlOnYMicrOnYSandOn=[];
912
913     CalfBat1=[];
914     CbetBat1=[];
915     CalfBat2=[];
916     CbetBat2=[];
917     CalfBat3=[];
918     CbetBat3=[];
919     CalfExpr=[];
920     CbetExpr=[];
921     CalfMicr=[];
922     CbetMicr=[];
923     CalfSand=[];
924     CbetSand=[];
925     CalfVenl=[];
926     CbetVenl=[];
927     CalfMicrOnYSandOn=[];
928     CbetMicrOnYSandOn=[];
929     CalfSandOnYBat3On=[];
930     CbetSandOnYBat3On=[];
931     CalfVenlOnYBat3On=[];
932     CbetVenlOnYBat3On=[];
933     CalfVenlOnYMicrOnYSandOn=[];
934     CbetVenlOnYMicrOnYSandOn=[];
935
936     fftlBat1=[];
937     fft2Bat1=[];
938     fft3Bat1=[];
939     fftlBat2=[];
940     fft2Bat2=[];
941     fft3Bat2=[];
942     fftlBat3=[];
943     fft2Bat3=[];
944     fft3Bat3=[];
945     fftlExpr=[];
946     fft2Expr=[];
947     fft3Expr=[];
948     fftlMicr=[];
949     fft2Micr=[];
950     fft3Micr=[];
951     fftlSand=[];
952     fft2Sand=[];
953     fft3Sand=[];
954     fftlVenl=[];
955     fft2Venl=[];
956     fft3Venl=[];
957     fftlMicrOnYSandOn=[];
958     fft2MicrOnYSandOn=[];
959     fft3MicrOnYSandOn=[];
960     fftlSandOnYBat3On=[];
961     fft2SandOnYBat3On=[];
962     fft3SandOnYBat3On=[];
963     fftlVenlOnYBat3On=[];
964     fft2VenlOnYBat3On=[];
965     fft3VenlOnYBat3On=[];

```

ANEXO II

```

966 fftlVenlOnYMicrOnYSandOn=[];
967 fft2VenlOnYMicrOnYSandOn=[];
968 fft3VenlOnYMicrOnYSandOn=[];
969
970 picoCargaBat1=[];
971 picoCargaBat2=[];
972 picoCargaBat3=[];
973 picoCargaExpr=[];
974 picoCargaMicr=[];
975 picoCargaSand=[];
976 picoCargaVenl=[];
977 picoCargaMicrOnYSandOn=[];
978 picoCargaSandOnYBat3On=[];
979 picoCargaVenlOnYBat3On=[];
980 picoCargaVenlOnYMicrOnYSandOn=[];
981
982 medPicoBat1=[];
983 medPicoBat2=[];
984 medPicoBat3=[];
985 medPicoExpr=[];
986 medPicoMicr=[];
987 medPicoSand=[];
988 medPicoVenl=[];
989 medPicoMicrOnYSandOn=[];
990 medPicoSandOnYBat3On=[];
991 medPicoVenlOnYBat3On=[];
992 medPicoVenlOnYMicrOnYSandOn=[];
993
994 cuartoCargaBat1=[];
995 cuartoCargaBat2=[];
996 cuartoCargaBat3=[];
997 cuartoCargaExpr=[];
998 cuartoCargaMicr=[];
999 cuartoCargaSand=[];
1000 cuartoCargaVenl=[];
1001 cuartoCargaMicrOnYSandOn=[];
1002 cuartoCargaSandOnYBat3On=[];
1003 cuartoCargaVenlOnYBat3On=[];
1004 cuartoCargaVenlOnYMicrOnYSandOn=[];
1005
1006 medCuartoBat1=[];
1007 medCuartoBat2=[];
1008 medCuartoBat3=[];
1009 medCuartoExpr=[];
1010 medCuartoMicr=[];
1011 medCuartoSand=[];
1012 medCuartoVenl=[];
1013 medCuartoMicrOnYSandOn=[];
1014 medCuartoSandOnYBat3On=[];
1015 medCuartoVenlOnYBat3On=[];
1016 medCuartoVenlOnYMicrOnYSandOn=[];
1017
1018 fftIndicesFrec=[];
1019 for i=1:2:size(FRC_BUSQ_FFT,2)
1020     Indices=find((FRC_BUSQ_FFT(i)<VECTOR_FRECUENCIA)&(VECTOR_FRECUENCIA<FRC_BUSQ_FFT(i+1)));
1021     fftIndicesFrec=[fftIndicesFrec [Indices(i):Indices(end)]];
1022 end
1023
1024
1025 for i=1:TRIALS
1026
1027     sizecargaBat(i)=size(cargaBat{1,i},2);
1028     for j=1:VENTANA_EST:size(pasosCeroBat{1,i},2)-VENTANA_EST-1;%ventana desde paso por cero, hasta ancho ventana.
1029         cargaBatVentana=cargaBat{1,i}(pasosCeroBat{1,i}(j):pasosCeroBat{1,i}(j+VENTANA_EST));
1030         %rmsBat=[rmsBat ((trapz(cargaBatVentana.^2)/size(cargaBatVentana,2))^0.5)];

```

ANEXO II

```

1031     rmsBat1=[rmsBat1 ((sum(cargaBat1Ventana.^2)/size (cargaBat1Ventana,2))^0.5)];
1032     %concordia
1033     ia=cargaBat1Ventana(1,18:end-17);%desfasamos la corriente para crear stma. trif.
1034     ib=cargaBat1Ventana(1,1:end-34);
1035     ic=cargaBat1Ventana(1,35:end);
1036     ialf=abs(ia*(2/3)^0.5-ib*(1/6)^0.5-ic*(1/6)^0.5);
1037     ibet=abs(ib*(1/2)^0.5-ic*(1/2)^0.5);
1038     CalfBat1=[CalfBat1 sum(ialf)/size(ialf,2)];
1039     CbetBat1=[CbetBat1 sum(ibet)/size(ibet,2)];
1040     %FFT
1041     y = fft(cargaBat1Ventana,NFFT)/INC_VENT;
1042     fftlBat1=[fftlBat1 max(2*abs(y(fftIndicesFrec(1,1):fftIndicesFrec(2,1)))));
1043     fft2Bat1=[fft2Bat1 max(2*abs(y(fftIndicesFrec(1,2):fftIndicesFrec(2,2)))));
1044     fft3Bat1=[fft3Bat1 max(2*abs(y(fftIndicesFrec(1,3):fftIndicesFrec(2,3)))));
1045     %PICO Y CUARTO
1046     for k=1:VENTANA_EST
1047         pico=max(cargaBat1{1,i}((pasosCeroBat1{1,i}(j):(pasosCeroBat1{1,i}(j+k)))));
1048         cuartoCargaBat1=[cuartoCargaBat1 cargaBat1{1,i}(pasosCeroBat1{1,i}(j+k-1)+CUARTO_SEMIPERIODO)/pico];
1049         picoCargaBat1=[picoCargaBat1 pico];
1050     end
1051     medPicoBat1=[medPicoBat1 median(picoCargaBat1)];
1052     medCuartoBat1=[medCuartoBat1 median(cuartoCargaBat1)];
1053     cuartoCargaBat1=[];
1054     picoCargaBat1=[];
1055 end
1056
1057     sizecargaBat2(i)=size(cargaBat2{1,i},2);
1058     for j=1:VENTANA_EST:size(pasosCeroBat2{1,i},2)-VENTANA_EST-1;%ventana desde paso por cero. hasta ancho ventana.
1059         cargaBat2Ventana=cargaBat2{1,i}(pasosCeroBat2{1,i}(j):pasosCeroBat2{1,i}(j+VENTANA_EST));
1060         % rmsBat2=[rmsBat2 ((trapz(cargaBat2Ventana.^2)/size (cargaBat2Ventana,2))^0.5)];
1061         rmsBat2=[rmsBat2 ((sum(cargaBat2Ventana.^2)/size (cargaBat2Ventana,2))^0.5)];
1062         %concordia
1063         ia=cargaBat2Ventana(1,18:end-17);%desfasamos la corriente para crear stma. trif.
1064         ib=cargaBat2Ventana(1,1:end-34);
1065         ic=cargaBat2Ventana(1,35:end);
1066         ialf=abs(ia*(2/3)^0.5-ib*(1/6)^0.5-ic*(1/6)^0.5);
1067         ibet=abs(ib*(1/2)^0.5-ic*(1/2)^0.5);
1068         CalfBat2=[CalfBat2 sum(ialf)/size(ialf,2)];
1069         CbetBat2=[CbetBat2 sum(ibet)/size(ibet,2)];
1070         %FFT
1071         y = fft(cargaBat2Ventana,NFFT)/INC_VENT;
1072         fftlBat2=[fftlBat2 max(2*abs(y(fftIndicesFrec(1,1):fftIndicesFrec(2,1)))));
1073         fft2Bat2=[fft2Bat2 max(2*abs(y(fftIndicesFrec(1,2):fftIndicesFrec(2,2)))));
1074         fft3Bat2=[fft3Bat2 max(2*abs(y(fftIndicesFrec(1,3):fftIndicesFrec(2,3)))));
1075         %PICO Y CUARTO
1076         for k=1:VENTANA_EST
1077             pico=max(cargaBat2{1,i}((pasosCeroBat2{1,i}(j):(pasosCeroBat2{1,i}(j+k)))));
1078             cuartoCargaBat2=[cuartoCargaBat2 cargaBat2{1,i}(pasosCeroBat2{1,i}(j+k-1)+CUARTO_SEMIPERIODO)/pico];
1079             picoCargaBat2=[picoCargaBat2 pico];
1080         end
1081         medPicoBat2=[medPicoBat2 median(picoCargaBat2)];
1082         medCuartoBat2=[medCuartoBat2 median(cuartoCargaBat2)];
1083         cuartoCargaBat2=[];
1084         picoCargaBat2=[];
1085     end
1086
1087     sizecargaBat3(i)=size(cargaBat3{1,i},2);
1088     for j=1:VENTANA_EST:size(pasosCeroBat3{1,i},2)-VENTANA_EST-1;%ventana desde paso por cero. hasta ancho ventana.
1089         cargaBat3Ventana=cargaBat3{1,i}(pasosCeroBat3{1,i}(j):pasosCeroBat3{1,i}(j+VENTANA_EST));
1090         % rmsBat3=[rmsBat3 ((trapz(cargaBat3Ventana.^2)/size (cargaBat3Ventana,2))^0.5)];
1091         rmsBat3=[rmsBat3 ((sum(cargaBat3Ventana.^2)/size (cargaBat3Ventana,2))^0.5)];
1092         %concordia
1093         ia=cargaBat3Ventana(1,18:end-17);%desfasamos la corriente para crear stma. trif.
1094         ib=cargaBat3Ventana(1,1:end-34);
1095         ic=cargaBat3Ventana(1,35:end);

```

ANEXO II

```

1096     ialf=abs(ia*(2/3)^0.5-ib*(1/6)^0.5-ic*(1/6)^0.5);
1097     ibet=abs(ib*(1/2)^0.5-ic*(1/2)^0.5);
1098     CalfBat3=[CalfBat3 sum(ialf)/size(ialf,2)];
1099     CbetBat3=[CbetBat3 sum(ibet)/size(ibet,2)];
1100     %FFT
1101     y=fft(cargaBat3Ventana,NFFT)/INC_VENT;
1102     fftlBat3=[fftlBat3 max(2*abs(y(fftIndicesFrec(1,1):fftIndicesFrec(2,1))))];
1103     fft2Bat3=[fft2Bat3 max(2*abs(y(fftIndicesFrec(1,2):fftIndicesFrec(2,2))))];
1104     fft3Bat3=[fft3Bat3 max(2*abs(y(fftIndicesFrec(1,3):fftIndicesFrec(2,3))))];
1105     %PICO Y CUARTO
1106     for k=1:VENTANA_EST
1107         pico=max(cargaBat3{1,i}((pasosCeroBat3{1,i}(j):(pasosCeroBat3{1,i}(j+k)))));
1108         cuartoCargaBat3=[cuartoCargaBat3 cargaBat3{1,i}(pasosCeroBat3{1,i}(j+k-1)+CUARTO_SEMIPERIODO)/pico];
1109         picoCargaBat3=[picoCargaBat3 pico];
1110     end
1111     medPicoBat3=[medPicoBat3 median(picoCargaBat3)];
1112     medCuartoBat3=[medCuartoBat3 median(cuartoCargaBat3)];
1113     cuartoCargaBat3=[];
1114     picoCargaBat3=[];
1115 end
1116
1117 sizecargaExpr(i)=size(cargaExpr{1,i},2);
1118 for j=1:VENTANA_EST:size(pasosCeroExpr{1,i},2)-VENTANA_EST-1;%ventana desde paso por cero, hasta ancho ventana.
1119     cargaExprVentana=cargaExpr{1,i}(pasosCeroExpr{1,i}(j):pasosCeroExpr{1,i}(j+VENTANA_EST));
1120 %     rmsExpr=[rmsExpr ((trapz(cargaExprVentana.^2)/size(cargaExprVentana,2))^0.5)];
1121     rmsExpr=[rmsExpr ((sum(cargaExprVentana.^2)/size(cargaExprVentana,2))^0.5)];
1122     %concordia
1123     ia=cargaExprVentana(1,18:end-17);%desfasamos la corriente para crear stma. trif.
1124     ib=cargaExprVentana(1,1:end-34);
1125     ic=cargaExprVentana(1,35:end);
1126     ialf=abs(ia*(2/3)^0.5-ib*(1/6)^0.5-ic*(1/6)^0.5);
1127     ibet=abs(ib*(1/2)^0.5-ic*(1/2)^0.5);
1128     CalfExpr=[CalfExpr sum(ialf)/size(ialf,2)];
1129     CbetExpr=[CbetExpr sum(ibet)/size(ibet,2)];
1130     %FFT
1131     y=fft(cargaExprVentana,NFFT)/INC_VENT;
1132     fftlExpr=[fftlExpr max(2*abs(y(fftIndicesFrec(1,1):fftIndicesFrec(2,1))))];
1133     fft2Expr=[fft2Expr max(2*abs(y(fftIndicesFrec(1,2):fftIndicesFrec(2,2))))];
1134     fft3Expr=[fft3Expr max(2*abs(y(fftIndicesFrec(1,3):fftIndicesFrec(2,3))))];
1135     %PICO Y CUARTO
1136     for k=1:VENTANA_EST
1137         pico=max(cargaExpr{1,i}((pasosCeroExpr{1,i}(j):(pasosCeroExpr{1,i}(j+k)))));
1138         cuartoCargaExpr=[cuartoCargaExpr cargaExpr{1,i}(pasosCeroExpr{1,i}(j+k-1)+CUARTO_SEMIPERIODO)/pico];
1139         picoCargaExpr=[picoCargaExpr pico];
1140     end
1141     medPicoExpr=[medPicoExpr median(picoCargaExpr)];
1142     medCuartoExpr=[medCuartoExpr median(cuartoCargaExpr)];
1143     cuartoCargaExpr=[];
1144     picoCargaExpr=[];
1145 end
1146
1147 sizecargaMicc(i)=size(cargaMicc{1,i},2);
1148 for j=1:VENTANA_EST:size(pasosCeroMicc{1,i},2)-VENTANA_EST-1;%ventana desde paso por cero, hasta ancho ventana.
1149     cargaMiccVentana=cargaMicc{1,i}(pasosCeroMicc{1,i}(j):pasosCeroMicc{1,i}(j+VENTANA_EST));
1150 %     rmsMicc=[rmsMicc ((trapz(cargaMiccVentana.^2)/size(cargaMiccVentana,2))^0.5)];
1151     rmsMicc=[rmsMicc ((sum(cargaMiccVentana.^2)/size(cargaMiccVentana,2))^0.5)];
1152     %concordia
1153     ia=cargaMiccVentana(1,18:end-17);%desfasamos la corriente para crear stma. trif.
1154     ib=cargaMiccVentana(1,1:end-34);
1155     ic=cargaMiccVentana(1,35:end);
1156     ialf=abs(ia*(2/3)^0.5-ib*(1/6)^0.5-ic*(1/6)^0.5);
1157     ibet=abs(ib*(1/2)^0.5-ic*(1/2)^0.5);
1158     CalfMicc=[CalfMicc sum(ialf)/size(ialf,2)];
1159     CbetMicc=[CbetMicc sum(ibet)/size(ibet,2)];
1160     %FFT

```



```

1161 y = fft(cargaMicrVentana,NFFT)/INC_VENT;
1162 fftMicr=[fftMicr max(2*abs(y(fftIndicesFrec(1,1):fftIndicesFrec(2,1))));
1163 fft2Micr=[fft2Micr max(2*abs(y(fftIndicesFrec(1,2):fftIndicesFrec(2,2))));
1164 fft3Micr=[fft3Micr max(2*abs(y(fftIndicesFrec(1,3):fftIndicesFrec(2,3))));
1165 %PICO Y CUARTO
1166 for k=1:VENTANA_EST
1167     pico=max(cargaMicr{1,i}((pasosCeroMicr{1,i}(j):(pasosCeroMicr{1,i}(j+k)))));
1168     cuartoCargaMicr=[cuartoCargaMicr cargaMicr{1,i}(pasosCeroMicr{1,i}(j+k-1)+CUARTO_SEMIPERIODO)/pico];
1169     picoCargaMicr=[picoCargaMicr pico];
1170 end
1171 medPicoMicr=[medPicoMicr median(picoCargaMicr)];
1172 medCuartoMicr=[medCuartoMicr median(cuartoCargaMicr)];
1173 cuartoCargaMicr=[];
1174 picoCargaMicr=[];
1175 end
1176
1177 sizecargaSand(i)=size(cargaSand{1,i},2);
1178 for j=1:VENTANA_EST:size(pasosCeroSand{1,i},2)-VENTANA_EST-1;%ventana desde paso por cero, hasta ancho ventana.
1179     cargaSandVentana=cargaSand{1,i}(pasosCeroSand{1,i}(j):pasosCeroSand{1,i}(j+VENTANA_EST));
1180 %     rmsSand=[rmsSand ((trapz(cargaSandVentana.^2)/size(cargaSandVentana,2))^0.5)];
1181     rmsSand=[rmsSand ((sum(cargaSandVentana.^2)/size(cargaSandVentana,2))^0.5)];
1182     %concordia
1183     ia=cargaSandVentana(1,18:end-17);%desfasamos la corriente para crear stma. trif.
1184     ib=cargaSandVentana(1,1:end-34);
1185     ic=cargaSandVentana(1,35:end);
1186     ialf=abs(ia*(2/3)^0.5-ib*(1/6)^0.5-ic*(1/6)^0.5);
1187     ibet=abs(ib*(1/2)^0.5-ic*(1/2)^0.5);
1188     CalfSand=[CalfSand sum(ialf)/size(ialf,2)];
1189     CbetSand=[CbetSand sum(ibet)/size(ibet,2)];
1190     %FFT
1191     y = fft(cargaSandVentana,NFFT)/INC_VENT;
1192     fftSand=[fftSand max(2*abs(y(fftIndicesFrec(1,1):fftIndicesFrec(2,1))));
1193     fft2Sand=[fft2Sand max(2*abs(y(fftIndicesFrec(1,2):fftIndicesFrec(2,2))));
1194     fft3Sand=[fft3Sand max(2*abs(y(fftIndicesFrec(1,3):fftIndicesFrec(2,3))));
1195     %PICO Y CUARTO
1196     for k=1:VENTANA_EST
1197         pico=max(cargaSand{1,i}((pasosCeroSand{1,i}(j):(pasosCeroSand{1,i}(j+k)))));
1198         cuartoCargaSand=[cuartoCargaSand cargaSand{1,i}(pasosCeroSand{1,i}(j+k-1)+CUARTO_SEMIPERIODO)/pico];
1199         picoCargaSand=[picoCargaSand pico];
1200     end
1201     medPicoSand=[medPicoSand median(picoCargaSand)];
1202     medCuartoSand=[medCuartoSand median(cuartoCargaSand)];
1203     cuartoCargaSand=[];
1204     picoCargaSand=[];
1205 end
1206
1207 sizecargaVenl(i)=size(cargaVenl{1,i},2);
1208 for j=1:VENTANA_EST:size(pasosCeroVenl{1,i},2)-VENTANA_EST-1;%ventana desde paso por cero, hasta ancho ventana.
1209     cargaVenlVentana=cargaVenl{1,i}(pasosCeroVenl{1,i}(j):pasosCeroVenl{1,i}(j+VENTANA_EST));%
1210 %     rmsVenl=[rmsVenl ((trapz(cargaVenlVentana.^2)/size(cargaVenlVentana,2))^0.5)];
1211     rmsVenl=[rmsVenl ((sum(cargaVenlVentana.^2)/size(cargaVenlVentana,2))^0.5)];
1212     %concordia
1213     ia=cargaVenlVentana(1,18:end-17);%desfasamos la corriente para crear stma. trif.
1214     ib=cargaVenlVentana(1,1:end-34);
1215     ic=cargaVenlVentana(1,35:end);
1216     ialf=abs(ia*(2/3)^0.5-ib*(1/6)^0.5-ic*(1/6)^0.5);
1217     ibet=abs(ib*(1/2)^0.5-ic*(1/2)^0.5);
1218     CalfVenl=[CalfVenl sum(ialf)/size(ialf,2)];
1219     CbetVenl=[CbetVenl sum(ibet)/size(ibet,2)];
1220     %FFT
1221     y = fft(cargaVenlVentana,NFFT)/INC_VENT;
1222     fftVenl=[fftVenl max(2*abs(y(fftIndicesFrec(1,1):fftIndicesFrec(2,1))));
1223     fft2Venl=[fft2Venl max(2*abs(y(fftIndicesFrec(1,2):fftIndicesFrec(2,2))));
1224     fft3Venl=[fft3Venl max(2*abs(y(fftIndicesFrec(1,3):fftIndicesFrec(2,3))));
1225     %PICO Y CUARTO

```

ANEXO II

```

1226 for k=1:VENTANA_EST
1227     pico=max(cargaVen{1,i}:(pasosCeroVen{1,i}:(pasosCeroVen{1,i}+(j+k)))));
1228     cuartoCargaVen=[cuartoCargaVenl cargaVen{1,i}:(pasosCeroVen{1,i}+(j+k-1)+CUARTO_SEMIPERIODD)/pico];
1229     picoCargaVen=[picoCargaVenl pico];
1230 end
1231 medPicoVenl=[medPicoVenl median(picoCargaVen)];
1232 medCuartoVenl=[medCuartoVenl median(cuartoCargaVen)];
1233 cuartoCargaVen=[];
1234 picoCargaVen=[];
1235 end
1236
1237 sizecargaMicrOnYSandOn(i)=size(cargaMicrOnYSandOn{1,i},2);
1238 for j=1:VENTANA_EST:size(pasosCeroMicrOnYSandOn{1,i},2)-VENTANA_EST-1;%ventana desde paso por cero, hasta ancho ventana.
1239     cargaMicrOnYSandOnVentana=cargaMicrOnYSandOn{1,i}:(pasosCeroMicrOnYSandOn{1,i}:(pasosCeroMicrOnYSandOn{1,i}+(j+VENTANA_EST)));
1240 %     rmsMicrOnYSandOn=[rmsMicrOnYSandOn ((trapz(cargaMicrOnYSandOnVentana.^2)/size(cargaMicrOnYSandOnVentana,2))^0.5)];
1241     rmsMicrOnYSandOn=[rmsMicrOnYSandOn ((sum(cargaMicrOnYSandOnVentana.^2)/size(cargaMicrOnYSandOnVentana,2))^0.5)];
1242 %concordia
1243     ia=cargaMicrOnYSandOnVentana(1,18:end-17);%desfasamos la corriente para crear stma. trif.
1244     ib=cargaMicrOnYSandOnVentana(1,1:end-34);
1245     ic=cargaMicrOnYSandOnVentana(1,35:end);
1246     ialf=abs(ia*(2/3)^0.5-ib*(1/6)^0.5-ic*(1/6)^0.5);
1247     ibet=abs(ib*(1/2)^0.5-ic*(1/2)^0.5);
1248     CalfMicrOnYSandOn=[CalfMicrOnYSandOn sum(ialf)/size(ialf,2)];
1249     CbetMicrOnYSandOn=[CbetMicrOnYSandOn sum(ibet)/size(ibet,2)];
1250 %FFT
1251     y=fft(cargaMicrOnYSandOnVentana,NFFT)/INC_VENT;
1252     fftlMicrOnYSandOn=[fftlMicrOnYSandOn max(2*abs(y(fftIndicesFrec(1,1):fftIndicesFrec(2,1)))));
1253     fft2MicrOnYSandOn=[fft2MicrOnYSandOn max(2*abs(y(fftIndicesFrec(1,2):fftIndicesFrec(2,2)))));
1254     fft3MicrOnYSandOn=[fft3MicrOnYSandOn max(2*abs(y(fftIndicesFrec(1,3):fftIndicesFrec(2,3)))));
1255 %PICO Y CUARTO
1256 for k=1:VENTANA_EST
1257     pico=max(cargaMicrOnYSandOn{1,i}:(pasosCeroMicrOnYSandOn{1,i}:(pasosCeroMicrOnYSandOn{1,i}+(j+k)))));
1258     cuartoCargaMicrOnYSandOn=[cuartoCargaMicrOnYSandOnl cargaMicrOnYSandOn{1,i}:(pasosCeroMicrOnYSandOn{1,i}+(j+k-
1259 l)+CUARTO_SEMIPERIODD)/pico];
1260     picoCargaMicrOnYSandOn=[picoCargaMicrOnYSandOnl pico];
1261 end
1262 medPicoMicrOnYSandOn=[medPicoMicrOnYSandOn median(picoCargaMicrOnYSandOn)];
1263 medCuartoMicrOnYSandOn=[medCuartoMicrOnYSandOn median(cuartoCargaMicrOnYSandOn)];
1264 cuartoCargaMicrOnYSandOn=[];
1265 picoCargaMicrOnYSandOn=[];
1266 end
1267
1268 sizecargaSandOnYBat3On(i)=size(cargaSandOnYBat3On{1,i},2);
1269 for j=1:VENTANA_EST:size(pasosCeroSandOnYBat3On{1,i},2)-VENTANA_EST-1;%ventana desde paso por cero, hasta ancho ventana.
1270     cargaSandOnYBat3OnVentana=cargaSandOnYBat3On{1,i}:(pasosCeroSandOnYBat3On{1,i}:(pasosCeroSandOnYBat3On{1,i}+(j+VENTANA_EST)));
1271 %     rmsSandOnYBat3On=[rmsSandOnYBat3On ((trapz(cargaSandOnYBat3OnVentana.^2)/size(cargaSandOnYBat3OnVentana,2))^0.5)];
1272     rmsSandOnYBat3On=[rmsSandOnYBat3On ((sum(cargaSandOnYBat3OnVentana.^2)/size(cargaSandOnYBat3OnVentana,2))^0.5)];
1273 %concordia
1274     ia=cargaSandOnYBat3OnVentana(1,18:end-17);%desfasamos la corriente para crear stma. trif.
1275     ib=cargaSandOnYBat3OnVentana(1,1:end-34);
1276     ic=cargaSandOnYBat3OnVentana(1,35:end);
1277     ialf=abs(ia*(2/3)^0.5-ib*(1/6)^0.5-ic*(1/6)^0.5);
1278     ibet=abs(ib*(1/2)^0.5-ic*(1/2)^0.5);
1279     CalfSandOnYBat3On=[CalfSandOnYBat3On sum(ialf)/size(ialf,2)];
1280     CbetSandOnYBat3On=[CbetSandOnYBat3On sum(ibet)/size(ibet,2)];
1281 %FFT
1282     y=fft(cargaSandOnYBat3OnVentana,NFFT)/INC_VENT;
1283     fftlSandOnYBat3On=[fftlSandOnYBat3On max(2*abs(y(fftIndicesFrec(1,1):fftIndicesFrec(2,1)))));
1284     fft2SandOnYBat3On=[fft2SandOnYBat3On max(2*abs(y(fftIndicesFrec(1,2):fftIndicesFrec(2,2)))));
1285     fft3SandOnYBat3On=[fft3SandOnYBat3On max(2*abs(y(fftIndicesFrec(1,3):fftIndicesFrec(2,3)))));
1286 %PICO Y CUARTO
1287 for k=1:VENTANA_EST
1288     pico=max(cargaSandOnYBat3On{1,i}:(pasosCeroSandOnYBat3On{1,i}:(pasosCeroSandOnYBat3On{1,i}+(j+k)))));
1289     cuartoCargaSandOnYBat3On=[cuartoCargaSandOnYBat3Onl cargaSandOnYBat3On{1,i}:(pasosCeroSandOnYBat3On{1,i}+(j+k-
1290 l)+CUARTO_SEMIPERIODD)/pico];

```

ANEXO II

```

1291     picoCargaSandOnYBat3On=[picoCargaSandOnYBat3On pico];
1292 end
1293 medPicoSandOnYBat3On=[medPicoSandOnYBat3On median(picoCargaSandOnYBat3On)];
1294 medCuartoSandOnYBat3On=[medCuartoSandOnYBat3On median(cuartoCargaSandOnYBat3On)];
1295 cuartoCargaSandOnYBat3On=[];
1296 picoCargaSandOnYBat3On=[];
1297 end
1298
1299 sizeCargaVenlOnYBat3On(i)=size(cargaVenlOnYBat3On{1,i},2);
1300 for j=1:VENTANA_EST:size(pasosCeroVenlOnYBat3On{1,i},2)-VENTANA_EST-1;%ventana desde paso por cero, hasta ancho ventana.
1301     cargaVenlOnYBat3OnVentana=cargaVenlOnYBat3On{1,i}(pasosCeroVenlOnYBat3On{1,i}(j):pasosCeroVenlOnYBat3On{1,i}(j+VENTANA_EST));
1302 %     rmsVenlOnYBat3On=[rmsVenlOnYBat3On ((trapz(cargaVenlOnYBat3OnVentana.^2)/size(cargaVenlOnYBat3OnVentana,2))^0.5)];
1303     rmsVenlOnYBat3On=[rmsVenlOnYBat3On ((sum(cargaVenlOnYBat3OnVentana.^2)/size(cargaVenlOnYBat3OnVentana,2))^0.5)];
1304 %concordia
1305     ia=cargaVenlOnYBat3OnVentana(1,18:end-17);%desfasamos la corriente para crear stma. trif.
1306     ib=cargaVenlOnYBat3OnVentana(1,1:end-34);
1307     ic=cargaVenlOnYBat3OnVentana(1,35:end);
1308     ialf=abs(ia*(2/3)^0.5-ib*(1/6)^0.5-ic*(1/6)^0.5);
1309     ibet=abs(ib*(1/2)^0.5-ic*(1/2)^0.5);
1310     CalfVenlOnYBat3On=[CalfVenlOnYBat3On sum(ialf)/size(ialf,2)];
1311     CbetVenlOnYBat3On=[CbetVenlOnYBat3On sum(ibet)/size(ibet,2)];
1312 %FFT
1313     y = fft(cargaVenlOnYBat3OnVentana,NFFT)/INC_VENT;
1314     fftVenlOnYBat3On=[fftVenlOnYBat3On max(2*abs(y(fftIndicesFrec(1,1):fftIndicesFrec(2,1))))];
1315     fft2VenlOnYBat3On=[fft2VenlOnYBat3On max(2*abs(y(fftIndicesFrec(1,2):fftIndicesFrec(2,2))))];
1316     fft3VenlOnYBat3On=[fft3VenlOnYBat3On max(2*abs(y(fftIndicesFrec(1,3):fftIndicesFrec(2,3))))];
1317 %PICO Y CUARTO
1318 for k=1:VENTANA_EST
1319     pico=max(cargaVenlOnYBat3On{1,i}(pasosCeroVenlOnYBat3On{1,i}(j):(pasosCeroVenlOnYBat3On{1,i}(j+k))));
1320     cuartoCargaVenlOnYBat3On=[cuartoCargaVenlOnYBat3On
1321                                cargaVenlOnYBat3On{1,i}(pasosCeroVenlOnYBat3On{1,i}(j)+k-
1322 I)+CUARTO_SEMIPERIODD)/pico];
1323     picoCargaVenlOnYBat3On=[picoCargaVenlOnYBat3On pico];
1324 end
1325 medPicoVenlOnYBat3On=[medPicoVenlOnYBat3On median(picoCargaVenlOnYBat3On)];
1326 medCuartoVenlOnYBat3On=[medCuartoVenlOnYBat3On median(cuartoCargaVenlOnYBat3On)];
1327 cuartoCargaVenlOnYBat3On=[];
1328 picoCargaVenlOnYBat3On=[];
1329 end
1330
1331 sizeCargaVenlOnYMicrOnYSandOn(i)=size(cargaVenlOnYMicrOnYSandOn{1,i},2);
1332 for j=1:VENTANA_EST:size(pasosCeroVenlOnYMicrOnYSandOn{1,i},2)-VENTANA_EST-1;%ventana desde paso por cero, hasta ancho ventana.
1333     cargaVenlOnYMicrOnYSandOnVentana=cargaVenlOnYMicrOnYSandOn{1,i}(pasosCeroVenlOnYMicrOnYSandOn{1,i}(j):pasosCeroVenlOnYMicrOnYSandOn{1,i}(
1334 j+VENTANA_EST));
1335 %     rmsVenlOnYMicrOnYSandOn=[rmsVenlOnYMicrOnYSandOn ((trapz(cargaVenlOnYMicrOnYSandOnVentana.^2)/size
1336 (cargaVenlOnYMicrOnYSandOnVentana,2))^0.5)];
1337     rmsVenlOnYMicrOnYSandOn=[rmsVenlOnYMicrOnYSandOn
1338                                ((sum(cargaVenlOnYMicrOnYSandOnVentana.^2)/size
1339 (cargaVenlOnYMicrOnYSandOnVentana,2))^0.5)];
1340 %concordia
1341     ia=cargaVenlOnYMicrOnYSandOnVentana(1,18:end-17);%desfasamos la corriente para crear stma. trif.
1342     ib=cargaVenlOnYMicrOnYSandOnVentana(1,1:end-34);
1343     ic=cargaVenlOnYMicrOnYSandOnVentana(1,35:end);
1344     ialf=abs(ia*(2/3)^0.5-ib*(1/6)^0.5-ic*(1/6)^0.5);
1345     ibet=abs(ib*(1/2)^0.5-ic*(1/2)^0.5);
1346     CalfVenlOnYMicrOnYSandOn=[CalfVenlOnYMicrOnYSandOn sum(ialf)/size(ialf,2)];
1347     CbetVenlOnYMicrOnYSandOn=[CbetVenlOnYMicrOnYSandOn sum(ibet)/size(ibet,2)];
1348 %FFT
1349     y = fft(cargaVenlOnYMicrOnYSandOnVentana,NFFT)/INC_VENT;
1350     fftVenlOnYMicrOnYSandOn=[fftVenlOnYMicrOnYSandOn max(2*abs(y(fftIndicesFrec(1,1):fftIndicesFrec(2,1))))];
1351     fft2VenlOnYMicrOnYSandOn=[fft2VenlOnYMicrOnYSandOn max(2*abs(y(fftIndicesFrec(1,2):fftIndicesFrec(2,2))))];
1352     fft3VenlOnYMicrOnYSandOn=[fft3VenlOnYMicrOnYSandOn max(2*abs(y(fftIndicesFrec(1,3):fftIndicesFrec(2,3))))];
1353 %PICO Y CUARTO
1354 for k=1:VENTANA_EST
1355     pico=max(cargaVenlOnYMicrOnYSandOn{1,i}(pasosCeroVenlOnYMicrOnYSandOn{1,i}(j):(pasosCeroVenlOnYMicrOnYSandOn{1,i}(j+k))));

```

ANEXO II

```

1355         cuartoCargaVenlOnYMicrOnYSandOn=[cuartoCargaVenlOnYMicrOnYSandOn
1356 cargaVenlOnYMicrOnYSandOn{1,i}(pasosCeroVenlOnYMicrOnYSandOn{1,i}(j+k-l)+CUARTO_SEMIPERIDDO)/pico];
1357         picoCargaVenlOnYMicrOnYSandOn=[picoCargaVenlOnYMicrOnYSandOn pico];
1358     end
1359     medPicoVenlOnYMicrOnYSandOn=[medPicoVenlOnYMicrOnYSandOn median(picoCargaVenlOnYMicrOnYSandOn)];
1360     medCuartoVenlOnYMicrOnYSandOn=[medCuartoVenlOnYMicrOnYSandOn median(cuartoCargaVenlOnYMicrOnYSandOn)];
1361     cuartoCargaVenlOnYMicrOnYSandOn=[];
1362     picoCargaVenlOnYMicrOnYSandOn=[];
1363 end
1364 end
1365
1366
1367
1368
1369 %%% MATRICES ENTRADAS-TARGETS
1370
1371 %ordenacion de los datos en matrices entradas y targets
1372 sizeMatEntradasBatl=min([size(rmsBatl,2) size(CalfBatl,2) size(CbetBatl,2) size(fftlBatl,2) size(fft2Batl,2) size(fft3Batl,2) size(medFacPotBatl,2)
1373 size(medPicoBatl,2) size(medCuartoBatl,2)]);
1374 sizeMatEntradasBat2=min([size(rmsBat2,2) size(CalfBat2,2) size(CbetBat2,2) size(fftlBat2,2) size(fft2Bat2,2) size(fft3Bat2,2)
1375 size(medFacPotBat2,2) size(medPicoBat2,2) size(medCuartoBat2,2)]);
1376 sizeMatEntradasBat3=min([size(rmsBat3,2) size(CalfBat3,2) size(CbetBat3,2) size(fftlBat3,2) size(fft2Bat3,2) size(fft3Bat3,2)
1377 size(medFacPotBat3,2) size(medPicoBat3,2) size(medCuartoBat3,2)]);
1378 sizeMatEntradasExpr=min([size(rmsExpr,2) size(CalfExpr,2) size(CbetExpr,2) size(fftlExpr,2) size(fft2Expr,2) size(fft3Expr,2) size(medFacPotExpr,2)
1379 size(medPicoExpr,2) size(medCuartoExpr,2)]);
1380 sizeMatEntradasMicr=min([size(rmsMicr,2) size(CalfMicr,2) size(CbetMicr,2) size(fftlMicr,2) size(fft2Micr,2) size(fft3Micr,2) size(medFacPotMicr,2)
1381 size(medPicoMicr,2) size(medCuartoMicr,2)]);
1382 sizeMatEntradasSand=min([size(rmsSand,2) size(CalfSand,2) size(CbetSand,2) size(fftlSand,2) size(fft2Sand,2) size(fft3Sand,2)
1383 size(medFacPotSand,2) size(medPicoSand,2) size(medCuartoSand,2)]);
1384 sizeMatEntradasVenl=min([size(rmsVenl,2) size(CalfVenl,2) size(CbetVenl,2) size(fftlVenl,2) size(fft2Venl,2) size(fft3Venl,2) size(medFacPotVenl,2)
1385 size(medPicoVenl,2) size(medCuartoVenl,2)]);
1386 sizeMatEntradasMicrOnYSandOn=min([size(rmsMicrOnYSandOn,2) size(CalfMicrOnYSandOn,2) size(CbetMicrOnYSandOn,2)
1387 size(fftlMicrOnYSandOn,2) size(fft2MicrOnYSandOn,2) size(fft3MicrOnYSandOn,2) size(medFacPotMicrOnYSandOn,2) size(medPicoMicrOnYSandOn,2)
1388 size(medCuartoMicrOnYSandOn,2)]);
1389 sizeMatEntradasSandOnYBat3On=min([size(rmsSandOnYBat3On,2) size(CalfSandOnYBat3On,2) size(CbetSandOnYBat3On,2)
1390 size(fftlSandOnYBat3On,2) size(fft2SandOnYBat3On,2) size(fft3SandOnYBat3On,2) size(medFacPotSandOnYBat3On,2) size(medPicoSandOnYBat3On,2)
1391 size(medCuartoSandOnYBat3On,2)]);
1392 sizeMatEntradasVenlOnYBat3On=min([size(rmsVenlOnYBat3On,2) size(CalfVenlOnYBat3On,2) size(CbetVenlOnYBat3On,2) size(fftlVenlOnYBat3On,2)
1393 size(fft2VenlOnYBat3On,2) size(fft3VenlOnYBat3On,2) size(medFacPotVenlOnYBat3On,2) size(medPicoVenlOnYBat3On,2)
1394 size(medCuartoVenlOnYBat3On,2)]);
1395 sizeMatEntradasVenlOnYMicrOnYSandOn=min([size(rmsVenlOnYMicrOnYSandOn,2) size(CalfVenlOnYMicrOnYSandOn,2)
1396 size(CbetVenlOnYMicrOnYSandOn,2) size(fftlVenlOnYMicrOnYSandOn,2) size(fft2VenlOnYMicrOnYSandOn,2) size(fft3VenlOnYMicrOnYSandOn,2)
1397 size(medFacPotVenlOnYMicrOnYSandOn,2) size(medPicoVenlOnYMicrOnYSandOn,2) size(medCuartoVenlOnYMicrOnYSandOn,2)]);
1398
1399 %ecualizacion de entradas==todas con el mismo numero de muestras
1400
1401 % maxMuestras=max([sizeMatEntradasBatl sizeMatEntradasBat2 sizeMatEntradasBat3 sizeMatEntradasExpr...
1402 % sizeMatEntradasMicr sizeMatEntradasSand sizeMatEntradasVenl sizeMatEntradasMicrOnYSandOn...
1403 % sizeMatEntradasSandOnYBat3On sizeMatEntradasVenlOnYBat3On sizeMatEntradasVenlOnYMicrOnYSandOn]);
1404 %
1405 %
1406 % unosBatl=ones(1,divide(int32(maxMuestras),int32(sizeMatEntradasBatl)));
1407 % unosBat2=ones(1,divide(int32(maxMuestras),int32(sizeMatEntradasBat2)));
1408 % unosBat3=ones(1,divide(int32(maxMuestras),int32(sizeMatEntradasBat3)));
1409 % unosExpr=ones(1,divide(int32(maxMuestras),int32(sizeMatEntradasExpr)));
1410 % unosMicr=ones(1,divide(int32(maxMuestras),int32(sizeMatEntradasMicr)));
1411 % unosSand=ones(1,divide(int32(maxMuestras),int32(sizeMatEntradasSand)));
1412 % unosVenl=ones(1,divide(int32(maxMuestras),int32(sizeMatEntradasVenl)));
1413 % unosMicrOnYSandOn=ones(1,divide(int32(maxMuestras),int32(sizeMatEntradasMicrOnYSandOn)));
1414 % unosSandOnYBat3On=ones(1,divide(int32(maxMuestras),int32(sizeMatEntradasSandOnYBat3On)));
1415 % unosVenlOnYBat3On=ones(1,divide(int32(maxMuestras),int32(sizeMatEntradasVenlOnYBat3On)));
1416 % unosVenlOnYMicrOnYSandOn=ones(1,divide(int32(maxMuestras),int32(sizeMatEntradasVenlOnYMicrOnYSandOn)));
1417
1418
1419 % matriz entradas sin ecualizar

```

ANEXO II

```

1420      matEntradasDn=[rmsBat1(:sizeMatEntradasBat1)      rmsBat2(:sizeMatEntradasBat2)      rmsBat3(:sizeMatEntradasBat3)
1421      rmsExpr(:sizeMatEntradasExpr)      rmsMicr(:sizeMatEntradasMicr)      rmsSand(:sizeMatEntradasSand)      rmsVenl(:sizeMatEntradasVenl)
1422      rmsMicrDnYSandDn(:sizeMatEntradasMicrDnYSandDn)      rmsSandDnYBat3Dn(:sizeMatEntradasSandDnYBat3Dn)
1423      rmsVenlDnYBat3Dn(:sizeMatEntradasVenlDnYBat3Dn)      rmsVenlDnYMicrDnYSandDn(:sizeMatEntradasVenlDnYMicrDnYSandDn)...
1424      CalfBat1(:sizeMatEntradasBat1)      CalfBat2(:sizeMatEntradasBat2)      CalfBat3(:sizeMatEntradasBat3)
1425      CalfExpr(:sizeMatEntradasExpr)      CalfMicr(:sizeMatEntradasMicr)      CalfSand(:sizeMatEntradasSand)      CalfVenl(:sizeMatEntradasVenl)
1426      CalfMicrDnYSandDn(:sizeMatEntradasMicrDnYSandDn)      CalfSandDnYBat3Dn(:sizeMatEntradasSandDnYBat3Dn)
1427      CalfVenlDnYBat3Dn(:sizeMatEntradasVenlDnYBat3Dn)      CalfVenlDnYMicrDnYSandDn(:sizeMatEntradasVenlDnYMicrDnYSandDn)...
1428      CbetBat1(:sizeMatEntradasBat1)      CbetBat2(:sizeMatEntradasBat2)      CbetBat3(:sizeMatEntradasBat3)
1429      CbetExpr(:sizeMatEntradasExpr)      CbetMicr(:sizeMatEntradasMicr)      CbetSand(:sizeMatEntradasSand)      CbetVenl(:sizeMatEntradasVenl)
1430      CbetMicrDnYSandDn(:sizeMatEntradasMicrDnYSandDn)      CbetSandDnYBat3Dn(:sizeMatEntradasSandDnYBat3Dn)
1431      CbetVenlDnYBat3Dn(:sizeMatEntradasVenlDnYBat3Dn)      CbetVenlDnYMicrDnYSandDn(:sizeMatEntradasVenlDnYMicrDnYSandDn)...
1432      fftBat1(:sizeMatEntradasBat1)      fftBat2(:sizeMatEntradasBat2)      fftBat3(:sizeMatEntradasBat3)      fftExpr(:sizeMatEntradasExpr)
1433      fftMicr(:sizeMatEntradasMicr)      fftSand(:sizeMatEntradasSand)      fftVenl(:sizeMatEntradasVenl)
1434      fftMicrDnYSandDn(:sizeMatEntradasMicrDnYSandDn)      fftSandDnYBat3Dn(:sizeMatEntradasSandDnYBat3Dn)
1435      fftVenlDnYBat3Dn(:sizeMatEntradasVenlDnYBat3Dn)      fftVenlDnYMicrDnYSandDn(:sizeMatEntradasVenlDnYMicrDnYSandDn)...
1436      fft2Bat1(:sizeMatEntradasBat1)      fft2Bat2(:sizeMatEntradasBat2)      fft2Bat3(:sizeMatEntradasBat3)
1437      fft2Expr(:sizeMatEntradasExpr)      fft2Micr(:sizeMatEntradasMicr)      fft2Sand(:sizeMatEntradasSand)      fft2Venl(:sizeMatEntradasVenl)
1438      fft2MicrDnYSandDn(:sizeMatEntradasMicrDnYSandDn)      fft2SandDnYBat3Dn(:sizeMatEntradasSandDnYBat3Dn)
1439      fft2VenlDnYBat3Dn(:sizeMatEntradasVenlDnYBat3Dn)      fft2VenlDnYMicrDnYSandDn(:sizeMatEntradasVenlDnYMicrDnYSandDn)...
1440      fft3Bat1(:sizeMatEntradasBat1)      fft3Bat2(:sizeMatEntradasBat2)      fft3Bat3(:sizeMatEntradasBat3)
1441      fft3Expr(:sizeMatEntradasExpr)      fft3Micr(:sizeMatEntradasMicr)      fft3Sand(:sizeMatEntradasSand)      fft3Venl(:sizeMatEntradasVenl)
1442      fft3MicrDnYSandDn(:sizeMatEntradasMicrDnYSandDn)      fft3SandDnYBat3Dn(:sizeMatEntradasSandDnYBat3Dn)
1443      fft3VenlDnYBat3Dn(:sizeMatEntradasVenlDnYBat3Dn)      fft3VenlDnYMicrDnYSandDn(:sizeMatEntradasVenlDnYMicrDnYSandDn)...
1444      medFacPotBat1(:sizeMatEntradasBat1)      medFacPotBat2(:sizeMatEntradasBat2)      medFacPotBat3(:sizeMatEntradasBat3)
1445      medFacPotExpr(:sizeMatEntradasExpr)      medFacPotMicr(:sizeMatEntradasMicr)      medFacPotSand(:sizeMatEntradasSand)
1446      medFacPotVenl(:sizeMatEntradasVenl)      medFacPotMicrDnYSandDn(:sizeMatEntradasMicrDnYSandDn)
1447      medFacPotSandDnYBat3Dn(:sizeMatEntradasSandDnYBat3Dn)      medFacPotVenlDnYBat3Dn(:sizeMatEntradasVenlDnYBat3Dn)
1448      medFacPotVenlDnYMicrDnYSandDn(:sizeMatEntradasVenlDnYMicrDnYSandDn)...
1449      medPicoBat1(:sizeMatEntradasBat1)      medPicoBat2(:sizeMatEntradasBat2)      medPicoBat3(:sizeMatEntradasBat3)
1450      medPicoExpr(:sizeMatEntradasExpr)      medPicoMicr(:sizeMatEntradasMicr)      medPicoSand(:sizeMatEntradasSand)
1451      medPicoVenl(:sizeMatEntradasVenl)      medPicoMicrDnYSandDn(:sizeMatEntradasMicrDnYSandDn)
1452      medPicoSandDnYBat3Dn(:sizeMatEntradasSandDnYBat3Dn)      medPicoVenlDnYBat3Dn(:sizeMatEntradasVenlDnYBat3Dn)
1453      medPicoVenlDnYMicrDnYSandDn(:sizeMatEntradasVenlDnYMicrDnYSandDn)...
1454      medCuartoBat1(:sizeMatEntradasBat1)      medCuartoBat2(:sizeMatEntradasBat2)      medCuartoBat3(:sizeMatEntradasBat3)
1455      medCuartoExpr(:sizeMatEntradasExpr)      medCuartoMicr(:sizeMatEntradasMicr)      medCuartoSand(:sizeMatEntradasSand)
1456      medCuartoVenl(:sizeMatEntradasVenl)      medCuartoMicrDnYSandDn(:sizeMatEntradasMicrDnYSandDn)
1457      medCuartoSandDnYBat3Dn(:sizeMatEntradasSandDnYBat3Dn)      medCuartoVenlDnYBat3Dn(:sizeMatEntradasVenlDnYBat3Dn)
1458      medCuartoVenlDnYMicrDnYSandDn(:sizeMatEntradasVenlDnYMicrDnYSandDn)...
1459      ];
1460
1461
1462      % % matriz entradas ecualizada
1463      %      matEntradas=[rmsBat1(:sizeMatEntradasBat1)*unosBat1      rmsBat2(:sizeMatEntradasBat2)*unosBat2
1464      rmsBat3(:sizeMatEntradasBat3)*unosBat3      rmsExpr(:sizeMatEntradasExpr)*unosExpr      rmsMicr(:sizeMatEntradasMicr)*unosMicr
1465      rmsSand(:sizeMatEntradasSand)*unosSand      rmsVenl(:sizeMatEntradasVenl)*unosVenl
1466      rmsMicrDnYSandDn(:sizeMatEntradasMicrDnYSandDn)*unosMicrDnYSandDn
1467      rmsSandDnYBat3Dn(:sizeMatEntradasSandDnYBat3Dn)*unosSandDnYBat3Dn
1468      rmsVenlDnYBat3Dn(:sizeMatEntradasVenlDnYBat3Dn)*unosVenlDnYBat3Dn
1469      rmsVenlDnYMicrDnYSandDn(:sizeMatEntradasVenlDnYMicrDnYSandDn)*unosVenlDnYMicrDnYSandDn...
1470      %      CalfBat1(:sizeMatEntradasBat1)*unosBat1      CalfBat2(:sizeMatEntradasBat2)*unosBat2      CalfBat3(:sizeMatEntradasBat3)*unosBat3
1471      CalfExpr(:sizeMatEntradasExpr)*unosExpr      CalfMicr(:sizeMatEntradasMicr)*unosMicr      CalfSand(:sizeMatEntradasSand)*unosSand
1472      CalfVenl(:sizeMatEntradasVenl)*unosVenl      CalfMicrDnYSandDn(:sizeMatEntradasMicrDnYSandDn)*unosMicrDnYSandDn
1473      CalfSandDnYBat3Dn(:sizeMatEntradasSandDnYBat3Dn)*unosSandDnYBat3Dn
1474      CalfVenlDnYBat3Dn(:sizeMatEntradasVenlDnYBat3Dn)*unosVenlDnYBat3Dn
1475      CalfVenlDnYMicrDnYSandDn(:sizeMatEntradasVenlDnYMicrDnYSandDn)*unosVenlDnYMicrDnYSandDn...
1476      %      CbetBat1(:sizeMatEntradasBat1)*unosBat1      CbetBat2(:sizeMatEntradasBat2)*unosBat2      CbetBat3(:sizeMatEntradasBat3)*unosBat3
1477      CbetExpr(:sizeMatEntradasExpr)*unosExpr      CbetMicr(:sizeMatEntradasMicr)*unosMicr      CbetSand(:sizeMatEntradasSand)*unosSand
1478      CbetVenl(:sizeMatEntradasVenl)*unosVenl      CbetMicrDnYSandDn(:sizeMatEntradasMicrDnYSandDn)*unosMicrDnYSandDn
1479      CbetSandDnYBat3Dn(:sizeMatEntradasSandDnYBat3Dn)*unosSandDnYBat3Dn
1480      CbetVenlDnYBat3Dn(:sizeMatEntradasVenlDnYBat3Dn)*unosVenlDnYBat3Dn
1481      CbetVenlDnYMicrDnYSandDn(:sizeMatEntradasVenlDnYMicrDnYSandDn)*unosVenlDnYMicrDnYSandDn...
1482      %      fftBat1(:sizeMatEntradasBat1)*unosBat1      fftBat2(:sizeMatEntradasBat2)*unosBat2      fftBat3(:sizeMatEntradasBat3)*unosBat3
1483      fftExpr(:sizeMatEntradasExpr)*unosExpr      fftMicr(:sizeMatEntradasMicr)*unosMicr      fftSand(:sizeMatEntradasSand)*unosSand
1484      fftVenl(:sizeMatEntradasVenl)*unosVenl      fftMicrDnYSandDn(:sizeMatEntradasMicrDnYSandDn)*unosMicrDnYSandDn

```

ANEXO II

```

1485 fftSandOnYBat3On(I:sizeMatEntradasSandOnYBat3On)*unosSandOnYBat3On
1486 fftVenlOnYBat3On(I:sizeMatEntradasVenlOnYBat3On)*unosVenlOnYBat3On
1487 fftVenlOnYMicrOnYSandOn(I:sizeMatEntradasVenlOnYMicrOnYSandOn)*unosVenlOnYMicrOnYSandOn;...
1488 % fft2Bat(I:sizeMatEntradasBatI)*unosBatI fft2Bat2(I:sizeMatEntradasBat2)*unosBat2 fft2Bat3(I:sizeMatEntradasBat3)*unosBat3
1489 fft2Expr(I:sizeMatEntradasExpr)*unosExpr fft2Micr(I:sizeMatEntradasMicr)*unosMicr fft2Sand(I:sizeMatEntradasSand)*unosSand
1490 fft2Venl(I:sizeMatEntradasVenl)*unosVenl fft2MicrOnYSandOn(I:sizeMatEntradasMicrOnYSandOn)*unosMicrOnYSandOn
1491 fft2SandOnYBat3On(I:sizeMatEntradasSandOnYBat3On)*unosSandOnYBat3On
1492 fft2VenlOnYBat3On(I:sizeMatEntradasVenlOnYBat3On)*unosVenlOnYBat3On
1493 fft2VenlOnYMicrOnYSandOn(I:sizeMatEntradasVenlOnYMicrOnYSandOn)*unosVenlOnYMicrOnYSandOn;...
1494 % fft3Bat(I:sizeMatEntradasBatI)*unosBatI fft3Bat2(I:sizeMatEntradasBat2)*unosBat2 fft3Bat3(I:sizeMatEntradasBat3)*unosBat3
1495 fft3Expr(I:sizeMatEntradasExpr)*unosExpr fft3Micr(I:sizeMatEntradasMicr)*unosMicr fft3Sand(I:sizeMatEntradasSand)*unosSand
1496 fft3Venl(I:sizeMatEntradasVenl)*unosVenl fft3MicrOnYSandOn(I:sizeMatEntradasMicrOnYSandOn)*unosMicrOnYSandOn
1497 fft3SandOnYBat3On(I:sizeMatEntradasSandOnYBat3On)*unosSandOnYBat3On
1498 fft3VenlOnYBat3On(I:sizeMatEntradasVenlOnYBat3On)*unosVenlOnYBat3On
1499 fft3VenlOnYMicrOnYSandOn(I:sizeMatEntradasVenlOnYMicrOnYSandOn)*unosVenlOnYMicrOnYSandOn;...
1500 % medFacPotBatI(I:sizeMatEntradasBatI)*unosBatI medFacPotBat2(I:sizeMatEntradasBat2)*unosBat2
1501 medFacPotBat3(I:sizeMatEntradasBat3)*unosBat3 medFacPotExpr(I:sizeMatEntradasExpr)*unosExpr medFacPotMicr(I:sizeMatEntradasMicr)*unosMicr
1502 medFacPotSand(I:sizeMatEntradasSand)*unosSand medFacPotVenl(I:sizeMatEntradasVenl)*unosVenl
1503 medFacPotMicrOnYSandOn(I:sizeMatEntradasMicrOnYSandOn)*unosMicrOnYSandOn
1504 medFacPotSandOnYBat3On(I:sizeMatEntradasSandOnYBat3On)*unosSandOnYBat3On
1505 medFacPotVenlOnYBat3On(I:sizeMatEntradasVenlOnYBat3On)*unosVenlOnYBat3On
1506 medFacPotVenlOnYMicrOnYSandOn(I:sizeMatEntradasVenlOnYMicrOnYSandOn)*unosVenlOnYMicrOnYSandOn;...
1507 % medPicoBatI(I:sizeMatEntradasBatI)*unosBatI medPicoBat2(I:sizeMatEntradasBat2)*unosBat2
1508 medPicoBat3(I:sizeMatEntradasBat3)*unosBat3 medPicoExpr(I:sizeMatEntradasExpr)*unosExpr medPicoMicr(I:sizeMatEntradasMicr)*unosMicr
1509 medPicoSand(I:sizeMatEntradasSand)*unosSand medPicoVenl(I:sizeMatEntradasVenl)*unosVenl
1510 medPicoMicrOnYSandOn(I:sizeMatEntradasMicrOnYSandOn)*unosMicrOnYSandOn
1511 medPicoSandOnYBat3On(I:sizeMatEntradasSandOnYBat3On)*unosSandOnYBat3On
1512 medPicoVenlOnYBat3On(I:sizeMatEntradasVenlOnYBat3On)*unosVenlOnYBat3On
1513 medPicoVenlOnYMicrOnYSandOn(I:sizeMatEntradasVenlOnYMicrOnYSandOn)*unosVenlOnYMicrOnYSandOn;...
1514 % medCuartoBatI(I:sizeMatEntradasBatI)*unosBatI medCuartoBat2(I:sizeMatEntradasBat2)*unosBat2
1515 medCuartoBat3(I:sizeMatEntradasBat3)*unosBat3 medCuartoExpr(I:sizeMatEntradasExpr)*unosExpr medCuartoMicr(I:sizeMatEntradasMicr)*unosMicr
1516 medCuartoSand(I:sizeMatEntradasSand)*unosSand medCuartoVenl(I:sizeMatEntradasVenl)*unosVenl
1517 medCuartoMicrOnYSandOn(I:sizeMatEntradasMicrOnYSandOn)*unosMicrOnYSandOn
1518 medCuartoSandOnYBat3On(I:sizeMatEntradasSandOnYBat3On)*unosSandOnYBat3On
1519 medCuartoVenlOnYBat3On(I:sizeMatEntradasVenlOnYBat3On)*unosVenlOnYBat3On
1520 medCuartoVenlOnYMicrOnYSandOn(I:sizeMatEntradasVenlOnYMicrOnYSandOn)*unosVenlOnYMicrOnYSandOn;...
1521 % ];
1522
1523 %Target no ecualizado
1524 %
1525 matTargetDr=[ones(I,sizeMatEntradasBatI) zeros(I,sizeMatEntradasBat2) zeros(I,sizeMatEntradasBat3) zeros(I,sizeMatEntradasExpr)
1526 zeros(I,sizeMatEntradasMicr) zeros(I,sizeMatEntradasSand) zeros(I,sizeMatEntradasVenl) zeros(I,sizeMatEntradasMicrOnYSandOn)
1527 zeros(I,sizeMatEntradasSandOnYBat3On) zeros(I,sizeMatEntradasVenlOnYBat3On) zeros(I,sizeMatEntradasVenlOnYMicrOnYSandOn); ...
1528 zeros(I,sizeMatEntradasBatI) ones(I,sizeMatEntradasBat2) zeros(I,sizeMatEntradasBat3) zeros(I,sizeMatEntradasExpr)
1529 zeros(I,sizeMatEntradasMicr) zeros(I,sizeMatEntradasSand) zeros(I,sizeMatEntradasVenl) zeros(I,sizeMatEntradasMicrOnYSandOn)
1530 zeros(I,sizeMatEntradasSandOnYBat3On) zeros(I,sizeMatEntradasVenlOnYBat3On) zeros(I,sizeMatEntradasVenlOnYMicrOnYSandOn); ...
1531 zeros(I,sizeMatEntradasBatI) zeros(I,sizeMatEntradasBat2) ones(I,sizeMatEntradasBat3) zeros(I,sizeMatEntradasExpr)
1532 zeros(I,sizeMatEntradasMicr) zeros(I,sizeMatEntradasSand) zeros(I,sizeMatEntradasVenl) zeros(I,sizeMatEntradasMicrOnYSandOn)
1533 zeros(I,sizeMatEntradasSandOnYBat3On) zeros(I,sizeMatEntradasVenlOnYBat3On) zeros(I,sizeMatEntradasVenlOnYMicrOnYSandOn); ...
1534 zeros(I,sizeMatEntradasBatI) zeros(I,sizeMatEntradasBat2) zeros(I,sizeMatEntradasBat3) ones(I,sizeMatEntradasExpr)
1535 zeros(I,sizeMatEntradasMicr) zeros(I,sizeMatEntradasSand) zeros(I,sizeMatEntradasVenl) zeros(I,sizeMatEntradasMicrOnYSandOn)
1536 zeros(I,sizeMatEntradasSandOnYBat3On) zeros(I,sizeMatEntradasVenlOnYBat3On) zeros(I,sizeMatEntradasVenlOnYMicrOnYSandOn); ...
1537 zeros(I,sizeMatEntradasBatI) zeros(I,sizeMatEntradasBat2) zeros(I,sizeMatEntradasBat3) zeros(I,sizeMatEntradasExpr)
1538 ones(I,sizeMatEntradasMicr) zeros(I,sizeMatEntradasSand) zeros(I,sizeMatEntradasVenl) zeros(I,sizeMatEntradasMicrOnYSandOn)
1539 zeros(I,sizeMatEntradasSandOnYBat3On) zeros(I,sizeMatEntradasVenlOnYBat3On) zeros(I,sizeMatEntradasVenlOnYMicrOnYSandOn); ...
1540 zeros(I,sizeMatEntradasBatI) zeros(I,sizeMatEntradasBat2) zeros(I,sizeMatEntradasBat3) zeros(I,sizeMatEntradasExpr)
1541 zeros(I,sizeMatEntradasMicr) ones(I,sizeMatEntradasSand) zeros(I,sizeMatEntradasVenl) zeros(I,sizeMatEntradasMicrOnYSandOn)
1542 zeros(I,sizeMatEntradasSandOnYBat3On) zeros(I,sizeMatEntradasVenlOnYBat3On) zeros(I,sizeMatEntradasVenlOnYMicrOnYSandOn); ...
1543 zeros(I,sizeMatEntradasBatI) zeros(I,sizeMatEntradasBat2) zeros(I,sizeMatEntradasBat3) zeros(I,sizeMatEntradasExpr)
1544 zeros(I,sizeMatEntradasMicr) zeros(I,sizeMatEntradasSand) ones(I,sizeMatEntradasVenl) zeros(I,sizeMatEntradasMicrOnYSandOn)
1545 zeros(I,sizeMatEntradasSandOnYBat3On) zeros(I,sizeMatEntradasVenlOnYBat3On) zeros(I,sizeMatEntradasVenlOnYMicrOnYSandOn); ...
1546 zeros(I,sizeMatEntradasBatI) zeros(I,sizeMatEntradasBat2) zeros(I,sizeMatEntradasBat3) zeros(I,sizeMatEntradasExpr)
1547 zeros(I,sizeMatEntradasMicr) zeros(I,sizeMatEntradasSand) zeros(I,sizeMatEntradasVenl) ones(I,sizeMatEntradasMicrOnYSandOn)
1548 zeros(I,sizeMatEntradasSandOnYBat3On) zeros(I,sizeMatEntradasVenlOnYBat3On) zeros(I,sizeMatEntradasVenlOnYMicrOnYSandOn); ...

```

ANEXO II

```

1549         zeros(1,sizeMatEntradasBat1)      zeros(1,sizeMatEntradasBat2)      zeros(1,sizeMatEntradasBat3)      zeros(1,sizeMatEntradasExpr)
1550 zeros(1,sizeMatEntradasMicr)      zeros(1,sizeMatEntradasSand)      zeros(1,sizeMatEntradasVenl)      zeros(1,sizeMatEntradasMicrOnYSandOn)
1551 ones(1,sizeMatEntradasSandOnYBat3On) zeros(1,sizeMatEntradasVenlOnYBat3On) zeros(1,sizeMatEntradasVenlOnYMicrOnYSandOn); ...
1552         zeros(1,sizeMatEntradasBat1)      zeros(1,sizeMatEntradasBat2)      zeros(1,sizeMatEntradasBat3)      zeros(1,sizeMatEntradasExpr)
1553 zeros(1,sizeMatEntradasMicr)      zeros(1,sizeMatEntradasSand)      zeros(1,sizeMatEntradasVenl)      zeros(1,sizeMatEntradasMicrOnYSandOn)
1554 zeros(1,sizeMatEntradasSandOnYBat3On) ones(1,sizeMatEntradasVenlOnYBat3On) zeros(1,sizeMatEntradasVenlOnYMicrOnYSandOn); ...
1555         zeros(1,sizeMatEntradasBat1)      zeros(1,sizeMatEntradasBat2)      zeros(1,sizeMatEntradasBat3)      zeros(1,sizeMatEntradasExpr)
1556 zeros(1,sizeMatEntradasMicr)      zeros(1,sizeMatEntradasSand)      zeros(1,sizeMatEntradasVenl)      zeros(1,sizeMatEntradasMicrOnYSandOn)
1557 zeros(1,sizeMatEntradasSandOnYBat3On) zeros(1,sizeMatEntradasVenlOnYBat3On) ones(1,sizeMatEntradasVenlOnYMicrOnYSandOn); ...
1558     ];
1559
1560
1561     matTarget=(matTargetOr*diag(MASCARA_ELECTR));%aplica la mascara de electrodomesticos a Target
1562
1563     matEntradas=matEntradasOr*diag(sum(matTarget,1)); %aplica la mascara a entradas
1564     vecTemp=(sum(matEntradas,1)); %suma por columnas, se obtiene vector
1565     matEntradas=matEntradas(:,find(vecTemp));%los valores =0 del vecTemp no se escogen
1566
1567     vecTemp=(sum(matTarget,1)); %suma por columnas, se obtiene vector
1568     matTarget=matTarget(:,find(vecTemp));%los valores =0 del vecTemp no se escogen
1569     vecTemp=(sum(matTarget,2));
1570     matTarget=matTarget(find(vecTemp,:));
1571
1572     % %Target ecualizado
1573     % matTarget=[ones(1,sizeMatEntradasBat1)*unosBat1      zeros(1,sizeMatEntradasBat2)*unosBat2      zeros(1,sizeMatEntradasBat3)*unosBat3
1574 zeros(1,sizeMatEntradasExpr)*unosExpr      zeros(1,sizeMatEntradasMicr)*unosMicr      zeros(1,sizeMatEntradasSand)*unosSand
1575 zeros(1,sizeMatEntradasVenl)*unosVenl      zeros(1,sizeMatEntradasMicrOnYSandOn)*unosMicrOnYSandOn
1576 zeros(1,sizeMatEntradasSandOnYBat3On)*unosSandOnYBat3On      zeros(1,sizeMatEntradasVenlOnYBat3On)*unosVenlOnYBat3On
1577 zeros(1,sizeMatEntradasVenlOnYMicrOnYSandOn)*unosVenlOnYMicrOnYSandOn; ...
1578     %      zeros(1,sizeMatEntradasBat1)*unosBat1      ones(1,sizeMatEntradasBat2)*unosBat2      zeros(1,sizeMatEntradasBat3)*unosBat3
1579 zeros(1,sizeMatEntradasExpr)*unosExpr      zeros(1,sizeMatEntradasMicr)*unosMicr      zeros(1,sizeMatEntradasSand)*unosSand
1580 zeros(1,sizeMatEntradasVenl)*unosVenl      zeros(1,sizeMatEntradasMicrOnYSandOn)*unosMicrOnYSandOn      zeros(1,sizeMatEntradasVenlOnYBat3On)*unosVenlOnYBat3On
1581 zeros(1,sizeMatEntradasSandOnYBat3On)*unosSandOnYBat3On      zeros(1,sizeMatEntradasVenlOnYBat3On)*unosVenlOnYBat3On
1582 zeros(1,sizeMatEntradasVenlOnYMicrOnYSandOn)*unosVenlOnYMicrOnYSandOn; ...
1583     %      zeros(1,sizeMatEntradasBat1)*unosBat1      zeros(1,sizeMatEntradasBat2)*unosBat2      ones(1,sizeMatEntradasBat3)*unosBat3
1584 zeros(1,sizeMatEntradasExpr)*unosExpr      zeros(1,sizeMatEntradasMicr)*unosMicr      zeros(1,sizeMatEntradasSand)*unosSand
1585 zeros(1,sizeMatEntradasVenl)*unosVenl      zeros(1,sizeMatEntradasMicrOnYSandOn)*unosMicrOnYSandOn      zeros(1,sizeMatEntradasVenlOnYBat3On)*unosVenlOnYBat3On
1586 zeros(1,sizeMatEntradasSandOnYBat3On)*unosSandOnYBat3On      zeros(1,sizeMatEntradasVenlOnYBat3On)*unosVenlOnYBat3On
1587 zeros(1,sizeMatEntradasVenlOnYMicrOnYSandOn)*unosVenlOnYMicrOnYSandOn; ...
1588     %      zeros(1,sizeMatEntradasBat1)*unosBat1      zeros(1,sizeMatEntradasBat2)*unosBat2      zeros(1,sizeMatEntradasBat3)*unosBat3
1589 ones(1,sizeMatEntradasExpr)*unosExpr      zeros(1,sizeMatEntradasMicr)*unosMicr      zeros(1,sizeMatEntradasSand)*unosSand
1590 zeros(1,sizeMatEntradasVenl)*unosVenl      zeros(1,sizeMatEntradasMicrOnYSandOn)*unosMicrOnYSandOn      zeros(1,sizeMatEntradasVenlOnYBat3On)*unosVenlOnYBat3On
1591 zeros(1,sizeMatEntradasSandOnYBat3On)*unosSandOnYBat3On      zeros(1,sizeMatEntradasVenlOnYBat3On)*unosVenlOnYBat3On
1592 zeros(1,sizeMatEntradasVenlOnYMicrOnYSandOn)*unosVenlOnYMicrOnYSandOn; ...
1593     %      zeros(1,sizeMatEntradasBat1)*unosBat1      zeros(1,sizeMatEntradasBat2)*unosBat2      zeros(1,sizeMatEntradasBat3)*unosBat3
1594 zeros(1,sizeMatEntradasExpr)*unosExpr      ones(1,sizeMatEntradasMicr)*unosMicr      zeros(1,sizeMatEntradasSand)*unosSand
1595 zeros(1,sizeMatEntradasVenl)*unosVenl      zeros(1,sizeMatEntradasMicrOnYSandOn)*unosMicrOnYSandOn      zeros(1,sizeMatEntradasVenlOnYBat3On)*unosVenlOnYBat3On
1596 zeros(1,sizeMatEntradasSandOnYBat3On)*unosSandOnYBat3On      zeros(1,sizeMatEntradasVenlOnYBat3On)*unosVenlOnYBat3On
1597 zeros(1,sizeMatEntradasVenlOnYMicrOnYSandOn)*unosVenlOnYMicrOnYSandOn; ...
1598     %      zeros(1,sizeMatEntradasBat1)*unosBat1      zeros(1,sizeMatEntradasBat2)*unosBat2      zeros(1,sizeMatEntradasBat3)*unosBat3
1599 zeros(1,sizeMatEntradasExpr)*unosExpr      zeros(1,sizeMatEntradasMicr)*unosMicr      ones(1,sizeMatEntradasSand)*unosSand
1600 zeros(1,sizeMatEntradasVenl)*unosVenl      zeros(1,sizeMatEntradasMicrOnYSandOn)*unosMicrOnYSandOn      zeros(1,sizeMatEntradasVenlOnYBat3On)*unosVenlOnYBat3On
1601 zeros(1,sizeMatEntradasSandOnYBat3On)*unosSandOnYBat3On      zeros(1,sizeMatEntradasVenlOnYBat3On)*unosVenlOnYBat3On
1602 zeros(1,sizeMatEntradasVenlOnYMicrOnYSandOn)*unosVenlOnYMicrOnYSandOn; ...
1603     %      zeros(1,sizeMatEntradasBat1)*unosBat1      zeros(1,sizeMatEntradasBat2)*unosBat2      zeros(1,sizeMatEntradasBat3)*unosBat3
1604 zeros(1,sizeMatEntradasExpr)*unosExpr      zeros(1,sizeMatEntradasMicr)*unosMicr      zeros(1,sizeMatEntradasSand)*unosSand
1605 ones(1,sizeMatEntradasVenl)*unosVenl      zeros(1,sizeMatEntradasMicrOnYSandOn)*unosMicrOnYSandOn      zeros(1,sizeMatEntradasVenlOnYBat3On)*unosVenlOnYBat3On
1606 zeros(1,sizeMatEntradasSandOnYBat3On)*unosSandOnYBat3On      zeros(1,sizeMatEntradasVenlOnYBat3On)*unosVenlOnYBat3On
1607 zeros(1,sizeMatEntradasVenlOnYMicrOnYSandOn)*unosVenlOnYMicrOnYSandOn; ...
1608     %      zeros(1,sizeMatEntradasBat1)*unosBat1      zeros(1,sizeMatEntradasBat2)*unosBat2      zeros(1,sizeMatEntradasBat3)*unosBat3
1609 zeros(1,sizeMatEntradasExpr)*unosExpr      zeros(1,sizeMatEntradasMicr)*unosMicr      zeros(1,sizeMatEntradasSand)*unosSand
1610 zeros(1,sizeMatEntradasVenl)*unosVenl      ones(1,sizeMatEntradasMicrOnYSandOn)*unosMicrOnYSandOn      zeros(1,sizeMatEntradasVenlOnYBat3On)*unosVenlOnYBat3On
1611 zeros(1,sizeMatEntradasSandOnYBat3On)*unosSandOnYBat3On      zeros(1,sizeMatEntradasVenlOnYBat3On)*unosVenlOnYBat3On
1612 zeros(1,sizeMatEntradasVenlOnYMicrOnYSandOn)*unosVenlOnYMicrOnYSandOn; ...

```

ANEXO II

```

1613 % zeros(l,sizeMatEntradasBatl)*unosBatl zeros(l,sizeMatEntradasBat2)*unosBat2 zeros(l,sizeMatEntradasBat3)*unosBat3
1614 zeros(l,sizeMatEntradasExpr)*unosExpr zeros(l,sizeMatEntradasMicr)*unosMicr zeros(l,sizeMatEntradasSand)*unosSand
1615 zeros(l,sizeMatEntradasVenl)*unosVenl zeros(l,sizeMatEntradasMicrOnYSandOn)*unosMicrOnYSandOn
1616 ones(l,sizeMatEntradasSandOnYBat3On)*unosSandOnYBat3On zeros(l,sizeMatEntradasVenlOnYBat3On)*unosVenlOnYBat3On
1617 zeros(l,sizeMatEntradasVenlOnYMicrOnYSandOn)*unosVenlOnYMicrOnYSandOn; ...
1618 % zeros(l,sizeMatEntradasBatl)*unosBatl zeros(l,sizeMatEntradasBat2)*unosBat2 zeros(l,sizeMatEntradasBat3)*unosBat3
1619 zeros(l,sizeMatEntradasExpr)*unosExpr zeros(l,sizeMatEntradasMicr)*unosMicr zeros(l,sizeMatEntradasSand)*unosSand
1620 zeros(l,sizeMatEntradasVenl)*unosVenl zeros(l,sizeMatEntradasMicrOnYSandOn)*unosMicrOnYSandOn
1621 zeros(l,sizeMatEntradasSandOnYBat3On)*unosSandOnYBat3On ones(l,sizeMatEntradasVenlOnYBat3On)*unosVenlOnYBat3On
1622 zeros(l,sizeMatEntradasVenlOnYMicrOnYSandOn)*unosVenlOnYMicrOnYSandOn; ...
1623 % zeros(l,sizeMatEntradasBatl)*unosBatl zeros(l,sizeMatEntradasBat2)*unosBat2 zeros(l,sizeMatEntradasBat3)*unosBat3
1624 zeros(l,sizeMatEntradasExpr)*unosExpr zeros(l,sizeMatEntradasMicr)*unosMicr zeros(l,sizeMatEntradasSand)*unosSand
1625 zeros(l,sizeMatEntradasVenl)*unosVenl zeros(l,sizeMatEntradasMicrOnYSandOn)*unosMicrOnYSandOn
1626 zeros(l,sizeMatEntradasSandOnYBat3On)*unosSandOnYBat3On zeros(l,sizeMatEntradasVenlOnYBat3On)*unosVenlOnYBat3On
1627 ones(l,sizeMatEntradasVenlOnYMicrOnYSandOn)*unosVenlOnYMicrOnYSandOn; ...
1628 % ];
1629 %
1630
1631 numeroMuestras=sum(matTarget');
1632
1633
1634 %% SOM REDUCCION ENTRADAS
1635
1636
1637 %variando que entradas se tienen en cuenta, se usa un SOM para
1638 %detectar aquellas que producen kappas más altos
1639
1640
1641
1642 %%%%%%%%%%%%%%%%%%%%%%%%%%%%%%%%%%%%%%%%%%%%%%%%%%%%%%%%%%%%%%%%%%%%%%%%%
1643 %%%%%%%%%%%%%%%%%%%%%%%%%%%%%%%%%%%%%%%%%%%%%%%%%%%%%%%%%%%%%%%%%%%%%%%%%
1644 % Esta máscara decide qué CARACTERISTICAS de entrada se van a utilizar en el problema
1645
1646 %%%%%%%%%%%%%%%%%%%%%%%%%%%%%%%%%%%%%%%%%%%%%%%%%%%%%%%%%%%%%%%%%%%%%%%%%
1647 %%%%%%%%%%%%%%%%%%%%%%%%%%%%%%%%%%%%%%%%%%%%%%%%%%%%%%%%%%%%%%%%%%%%%%%%%
1648 % 'RMS', 'CCDA' 'CCDB' 'FFT1' 'FFT2' 'FFT3' 'FP' 'PICO' 'CUARTO'
1649 %mascara = [ 1 1 1 1 1 1 1 1 ];
1650
1651
1652 tamanoMatEntradas=size(matEntradas,2);
1653
1654 %Separacion test-entrenamiento
1655 incrementoColumna=0;
1656 columnaAleatoria=zeros(1,tamanoMatEntradas); %Mascara para separar individuos test de entrenamiento
1657 limiteRand=0;
1658 for i=1:size(matTarget,1)
1659 tamanoColumnaAleatoria(i)=round(numeroMuestras(i)*PORC_ENTRENAMIENTO);
1660 incrementoColumna=[incrementoColumna incrementoColumna(i)+numeroMuestras(i)];
1661 limiteRand=[limiteRand incrementoColumna(i)+numeroMuestras(i)];
1662 while sum(columnaAleatoria(:.incrementoColumna(i)+1:incrementoColumna(i)+numeroMuestras(i)))<tamanoColumnaAleatoria(i)
1663 aleatorio=round((limiteRand(i)+1)+(limiteRand(i+1)-(limiteRand(i)+1))*rand);
1664 if columnaAleatoria(aleatorio);%si el numero aleatorio ya esta en la lista
1665 else %no hacer nada
1666 columnaAleatoria(aleatorio)=i;% si no está añadir
1667 end
1668 end
1669 end
1670
1671 matEntradasEntrenaSom=matEntradas(:,find(columnaAleatoria));%Se extraen las columnas en "1"
1672 matEntradasTestSom=matEntradas(:,find(not(columnaAleatoria)));%el resto son de test
1673
1674 matTargetEntrenaSom=matTarget(:,find(columnaAleatoria));
1675 matTargetTestSom=matTarget(:,find(not(columnaAleatoria)));
1676
1677

```


ANEXO II

```

1678     clase = matTargetEntrenaSom';
1679     clase_t=matTargetTestSom';
1680
1681     numclases = size(matTargetEntrenaSom,1); % numero de clases
1682
1683     nombre_clases = char('Bat1', 'Bat2', 'Bat3', 'Expr', 'Micr', 'Sand', 'Venl', 'MicrOnYSandOn', 'SandOnBat3On', 'VenlOnBat3On',
1684 'VenlOnYMicrOnYSandOn');
1685     nombre_clases=nombre_clases(find(MASCARA_ELECTR,:));
1686     comp_names = CARACTERISTICAS; % Nombres de las CARACTERISTICAS de entrada
1687
1688
1689     names=CARACTERISTICAS;
1690
1691
1692     %Primer SOM con todas las caracteristicas para obtener funcion
1693     %de eficacia vs subsample
1694     'Primer SOM con todas las caracteristicas y todas las muestras'
1695     nombre_mapa = 'SOM NILM';
1696     data = matEntradasEntrenaSom; % guardamos la data original y separamos entrenamiento de test
1697     clase = matTargetEntrenaSom;
1698     clase=vec2ind(clase)';
1699     data_t=matEntradasTestSom;
1700     clase_t=matTargetTestSom;
1701     clase_t=vec2ind(clase_t)';
1702
1703     lattice = 'hexa';
1704     [ ndata npat ] = size(data); % npat = numero de patrones (pacientes), ndata = numero de variables
1705
1706     %      'RMS', 'CCDA', 'CCDB', 'FFT1', 'FFT2', 'FFT3', 'FP', 'PICO', 'CUARTO'
1707     %mascara_ini = [ 1   1   1   0   0   0   1   1   1 ];
1708
1709     %mascara_ini = ones(1, ndata); % Mascara incluyendo todas las variables (1 = incluir / 0 = suprimir)
1710     %%%%%%%%%% GENERA LA STRUCT DE DATOS ENTRENAMIENTO DEL SOM %%%%%%%%%%
1711     sD = som_data_struct( data', 'name', nombre_mapa, 'comp_names', comp_names, 'labels', num2str( clase ) );
1712     % Normalizamos cada variable de entrada independientemente en el rango [0 1]
1713     sD = som_normalize( sD, 'range' );
1714
1715     %%%%%%%%%% GENERA LA STRUCT DE DATOS TEST DEL SOM %%%%%%%%%%
1716     sD2 = som_data_struct( data_t', 'name', nombre_mapa, 'comp_names', comp_names, 'labels', num2str( clase_t ) );
1717     % Normalizamos cada variable de entrada independientemente en el rango [0 1]
1718     sD2 = som_normalize( sD2, 'range' );
1719
1720
1721     %%%%%%%%%% ENTRENAR EL SOM %%%%%%%%%%
1722     %sM = som_make(sD, 'lattice', lattice); % SOM entrenado con el tamaño del mapa introducido
1723     sM = som_make(sD, 'randinit', 'msize',[26 13], 'lattice', lattice); % SOM entrenado con el tamaño del mapa introducido
1724
1725     %%%%%%%%%% ETIQUETAMOS LAS NEURONAS DEL MAPA A PARTIR DE LOS DATOS %%%%%%%%%%
1726     [ unit_class_index, unit_class_label ] = som_unit_classification( sM, sD, clase);
1727     sM.labels = unit_class_label;
1728     %%%%%%%%%% ETIQUETAMOS LOS DATOS A PARTIR DE LA ACTIVACION DEL MAPA %%%%%%%%%%
1729     [ data_class_index, data_class_label ] = som_data_classification( sM, sD2, unit_class_index );
1730     %%%%%%%%%% CALCULANDO EL KAPPA INDEX %%%%%%%%%%
1731     [ conf_mat, Kappa ] = confusion_matrix( data_class_index, clase_t )
1732     disp('espera un poco...')
1733
1734     %plotconfusion(data_class_index,clase_t')
1735
1736     Kappatemp=[Kappatemp Kappa];
1737
1738     end
1739     Kappatemp=mean(Kappatemp);
1740     subsampleVsKappa=[subsampleVsKappa Kappatemp];
1741     Kappatemp=[];
1742     end

```

ANEXO II

```

1743 subsampleVsKappa
1744 figure;
1745 plot(subsampleVsKappa)
1746 disp('pulsar una tecla')
1747 %pause;
1748
1749
1750 %obtenido el subsample optimo, se reducen las entradas
1751 % Testea comp SOM automat
1752 clase = matTargetEntrenaSom;
1753 clase_t=matTargetTestSom;
1754 nombre_mapa = 'SOM NILM';
1755 % Determinando el tamaño del mapa
1756 mapsize = [26 13];
1757 lattice = 'hexa';
1758 data_ini = matEntradasEntrenaSom; % guardamos la data original
1759 data_test=matEntradasTestSom;
1760 [ ndata npat ] = size(data_ini); % npat = numero de patrones (pacientes), ndata = numero de variables
1761
1762 mascara_ini = ones( 1, ndata); % Mascara incluyendo todas las variables ( 1 = incluir / 0 = suprimir)
1763
1764 maximokappa = 0; % ultimo kappa maximo
1765 mascara_maximo_matrix = []; % cada fila sera una mascara que dio kappa maximo
1766 kappa_values_maximos = []; % vector conteniendo los sucesivos kappa maximos
1767 clase=vec2ind(clase);
1768 clase_t=vec2ind(clase_t);
1769 while (1)
1770     kappa_values = zeros( 1, ndata );
1771     for k = 1:ndata % bucle de enmascaramiento para cada componente por separado
1772         mascara = mascara_ini; % recargamos en mascara la anterior
1773         Kappa = 0;
1774         if mascara(k) % solo ejecutamos el mapa si la componente de mascara es 1
1775             mascara(k) = 0; % enmascaramos solo la componente k
1776             indices = find( (mascara == 1) ); % indices de variables NO enmascaradas
1777             data = data_ini( indices, : ); % Extraemos solamente las variables NO enmascaradas
1778             data_t=data_test( indices, : );
1779             comp_names = { names{[indices]} }; % nombres de variables NO enmascaradas
1780             %%%%%%%%%% GENERA LA STRUCT DE DATOS DEL SOM %%%%%%%%%%
1781             sD = som_data_struct( data, 'name', nombre_mapa, 'comp_names', comp_names, 'labels', num2str( clase ) );
1782             % Normalizamos cada variable de entrada independientemente en el rango [0 1]
1783             sD = som_normalize( sD, 'range' );
1784             %%%%%%%%%% ENTRENAR EL SOM %%%%%%%%%%
1785             sM = som_make(sD, 'msize', mapsize, 'lattice', lattice); % SOM entrenado con el tamaño del mapa introducido
1786
1787 %validar el som
1788 %%%%%%%%%% GENERA LA STRUCT DE DATOS DEL SOM %%%%%%%%%%
1789             sD2 = som_data_struct( data_t, 'name', nombre_mapa, 'comp_names', comp_names, 'labels', num2str( clase_t ) );
1790             % Normalizamos cada variable de entrada independientemente en el rango [0 1]
1791             sD2 = som_normalize( sD2, 'range' );
1792
1793             %%%%%%%%%% ETIQUETAMOS LAS NEURONAS DEL MAPA A PARTIR DE LOS DATOS %%%%%%%%%%
1794             [ unit_class_index, unit_class_label ] = som_unit_classification( sM, sD, clase);
1795             sM.labels = unit_class_label;
1796             %%%%%%%%%% ETIQUETAMOS LOS DATOS A PARTIR DE LA ACTIVACION DEL MAPA %%%%%%%%%%
1797             [ data_class_index, data_class_label ] = som_data_classification( sM, sD2, unit_class_index );
1798             %%%%%%%%%% CALCULANDO EL KAPPA INDEX %%%%%%%%%%
1799             [ conf_mat, Kappa ] = confusion_matrix( data_class_index, clase_t )
1800         end
1801         kappa_values(k) = Kappa;
1802         if ( Kappa >= maximokappa ) % si el nuevo kappa es maximo, guardamos kappa y la mascara
1803             mascara_maximo_matrix = [ mascara_maximo_matrix; mascara ];
1804             kappa_values_maximos = [ kappa_values_maximos Kappa ];
1805             maximokappa = Kappa;
1806         end
1807     end

```

ANEXO II

```

1808     indices_maximos = [ 1:length(data) ];
1809     % indices de CARACTERISTICAS cuya eliminacion generaba un kappa maximo
1810     maximokappa
1811     indices_maximos = indices_maximos( ( maximokappa == kappa_values ) )
1812     if ( isempty( indices_maximos ) )
1813         break;
1814     else
1815         mascara_ini( indices_maximos ) = 0; % anulamos todas las CARACTERISTICAS con kappa maximo
1816     end
1817     fprintf("\nPulsa cualquier tecla para continuar ...");
1818     %pause;
1819 end
1820
1821 resultados=[kappa_values_maximos', mascara_maximo_matrix];
1822 disp(' KAPPA RMS CCDA CCDB FFT1 FFT2 FFT3 FP PICO CUARTO')
1823 disp(resultados)
1824 k;
1825 %pause;
1826
1827 % 'RMS', 'CCDA', 'CCDB', 'FFT1', 'FFT2', 'FFT3', 'FP', 'PICO', 'CUARTO'
1828 mascara = [ 1 1 1 0 0 0 1 1 0 ];
1829
1830
1831 %% SOM FINAL
1832
1833 %prueba definitiva de un SOM con los parametros antes obtenidos
1834 SOM_Helsinki2.m
1835
1836 [ conf_mat , Kappa ] = confusion_matrix( data_class_index , clase_t )
1837
1838
1839 %% PERCEPTRONES FINAL
1840
1841 %prueba definitiva de perceptron lineal y perceptron multicapa
1842 %con los parametros antes obtenidos
1843
1844 indices = find( mascara == 1 ); % indices de entradas no enmascaradas
1845
1846 matEntradasMLP = matEntradas( indices,: ); % se incluyen sólo las componentes con mascara a 1
1847 matTargetMLP = matTarget%( : , indices ); % extraemos las columnas de componentes seleccionadas en la mascara
1848
1849
1850
1851 %MLP
1852 entrenos={ 'trainlm' 'trainbr' 'traingdm' 'trainrp' 'traingda' 'traingdx'...
1853            'traingcf' 'traingcp' 'traingcb' 'traingcg' 'traingbf' 'traingss' }
1854
1855 %%%%%%%%%%%%%%%%%%%%%%%%%%%%%%%%%%%%%%%%%%%%%%%%%%%%%%%%%%%%%%%%%%%%%%%%%
1856 %%%%%%%%%%%%%%%%%%%%%%%%%%%%%%%%%%%%%%%%%%%%%%%%%%%%%%%%%%%%%%%%%%%%%%%%%
1857 % Esta máscara decide qué CARACTERISTICAS de entrada se van a utilizar en el problema
1858 %%%%%%%%%%%%%%%%%%%%%%%%%%%%%%%%%%%%%%%%%%%%%%%%%%%%%%%%%%%%%%%%%%%%%%%%%
1859 %%%%%%%%%%%%%%%%%%%%%%%%%%%%%%%%%%%%%%%%%%%%%%%%%%%%%%%%%%%%%%%%%%%%%%%%%
1860
1861 mascaraMlp=mascara;
1862
1863
1864
1865 % MLP LINEAL
1866
1867 for i=1:l
1868     net = newpr( matEntradasMLP, matTargetMLP );
1869     net.trainFcn = 'trainlm';
1870     net.layers{1}.transferFcn = 'tansig';
1871     %net.layers{2}.transferFcn = 'purelin';
1872     %net = newff( minmax( data ) , [ numclases ] , { 'logsig' } , funtrain );

```

```

1873 net.divideParam.trainRatio = 60/100; % Adjust as desired
1874 net.divideParam.valRatio = 20/100; % Adjust as desired
1875 net.divideParam.testRatio = 20/100; % Adjust as desired
1876 net.trainParam.max_fail=5;
1877 % Train and Apply Network
1878 [net,tr] = train(net.matEntradasMLP,matTargetMLP);
1879 outputs = sim(net,matEntradasMLP);
1880
1881 % Plot
1882 plotperf(tr)
1883 plotconfusion(matTargetMLP,outputs)
1884
1885 vecTarget=vec2ind(matTargetMLP);
1886 [Dummy vecOut]=max(outputs);
1887 %vecOut=vec2ind(l);
1888 vecOut=vecOut';
1889
1890 [ conf_mat , Kappa ] = confusion_matrix( vecTarget' , vecOut );
1891
1892 string=strcat(num2str(sum(mascara)),',' ,num2str(nhunit2),',' ,num2str(numclases),',' ,num2str(funtrain),',' ,num2str(i));
1893 tablaMlp{1,end+1}= string;
1894 tablaMlp{2,end}=Kappa;
1895
1896 end
1897
1898 tablaMlp
1899
1900
1901 %MLP MULTILAYER
1902 % Create Network
1903
1904
1905 minNeurOcultas=10;
1906 maxNeuronasOcultas=10;
1907 tablaMlp={};
1908 for nhunit2=minNeurOcultas:maxNeuronasOcultas
1909     for i=1:l
1910         net = newpr(matEntradasMLP,matTargetMLP,nhunit2);
1911         net.trainFcn='trainlm';
1912         net.layers{1}.transferFcn = 'tansig';
1913         net.layers{2}.transferFcn = 'purelin';
1914         %net = newff( minmax( data ) , [ numclases ] , { 'logsig' } , funtrain );
1915         net.divideParam.trainRatio = 60/100; % Adjust as desired
1916         net.divideParam.valRatio = 20/100; % Adjust as desired
1917         net.divideParam.testRatio = 20/100; % Adjust as desired
1918         net.trainParam.max_fail=5;
1919         % Train and Apply Network
1920         [net,tr] = train(net.matEntradasMLP,matTargetMLP);
1921         outputs = sim(net,matEntradasMLP);
1922
1923         % Plot
1924         plotperf(tr)
1925         plotconfusion(matTargetMLP,outputs)
1926
1927         vecTarget=vec2ind(matTargetMLP);
1928         [Dummy vecOut]=max(outputs);
1929         %vecOut=vec2ind(l);
1930         vecOut=vecOut';
1931
1932         [ conf_mat , Kappa ] = confusion_matrix( vecTarget' , vecOut );
1933
1934         string=strcat(num2str(sum(mascara)),',' ,num2str(nhunit2),',' ,num2str(numclases),',' ,num2str(funtrain),',' ,num2str(i));
1935         tablaMlp{1,end+1}= string;
1936         tablaMlp{2,end}=Kappa;
1937

```

ANEXO II

```
1938     end
1939     end
1940     tablaMlp'
1941
1942     %% LVQ FINAL
1943
1944     %prueba definitiva de perceptron lineal y perceptron multicapa
1945     %con los parametros antes obtenidos
1946
1947
1948     tablaLVQ=[];
1949     numEpoch=300;
1950     fa=0.2;
1951     minNeurOcultas=21;
1952     maxNeuronasOcultas=21;
1953     for nhidden=minNeurOcultas:1:maxNeuronasOcultas
1954         for i=1:l
1955             levequ
1956                 save(sprintf('LVQ Concordia Ocultas %d.mat',Unidades))
1957                 tablaLVQ=[tablaLVQ Kappa];
1958             end
1959         end
1960
1961     tablaLVQ
1962
1963
1964
```

ANEXO III

SCRIPT FUNCION SOM_HELSINKI2

```

1 %clear
2 %clc
3 %echo on;
4 % Este archivo entrena un mapa autoorganizado con la clasificación del Zoo2 (ver Zoo2.m)
5 % cuya selección de datos de entrada (componentes) es más acertada que en Zoo
6 % Permite visualizar los mapas generados mediante U-matrix y componentes
7 % con hits de color diferente para cada clase de animales.
8 % Se puede incluir un análisis de PCA para averiguar el mínimo número de componentes principales
9 % que mantiene una adecuada discriminación entre clases.
10 %echo off;
11
12 %% LECTURA DATOS SOM HELSINKI
13
14 tamañoMatEntradas=size(matEntradas,2);
15
16 %normalizacion
17 % maxEntradas=max(matEntradas');
18 % minEntradas=min(matEntradas');
19 % semiRangoEntradas=((maxEntradas-minEntradas)/2)';
20 % mitadEntradas=((maxEntradas+minEntradas)/2)';
21 % a=(matEntradas-(mitadEntradas*(ones(1,tamañoMatEntradas)))));
22 % b=semiRangoEntradas*(ones(1,tamañoMatEntradas));
23 % matEntradasNorm=a./b;
24 % matEntradas=matEntradasNorm;
25
26
27 %division dataset
28
29 %rellenaremos un vector aleatorio con la columna de la matEntradas que
30 %formaran parte del entrenamiento y de Test.
31
32 %
33 % incrementoColumna=0;
34 % columnaAleatoria=zeros(1,tamañoMatEntradas); %Mascara para separar individuos test de entrenamieno
35 % limiteRand=0;
36 % for i=1:size(matTarget,1)
37 %     tamañoColumnaAleatoria(i)=round(numeroMuestras(i)*PORC_ENTRENAMIENTO);
38 %     incrementoColumna=[incrementoColumna incrementoColumna(i)+numeroMuestras(i)];
39 %     limiteRand=[limiteRand incrementoColumna(i)+numeroMuestras(i)];
40 %     while sum(columnaAleatoria(:,incrementoColumna(i)+1:incrementoColumna(i)+numeroMuestras(i)))<tamañoColumnaAleatoria(i)
41 %         aleatorio=round((limiteRand(i)+1)+(limiteRand(i+1)-(limiteRand(i)+1))*rand);
42 %         if columnaAleatoria(aleatorio);%si el numero aleatorio ya esta en la lista
43 %             else %no hacer nada
44 %                 columnaAleatoria(aleatorio)=1;% si no está añadir
45 %             end
46 %         end
47 %     end
48 %
49 % matEntradasEntrenaSom=matEntradas(:,find(columnaAleatoria));%Se extraen las columnas en "1"
50 % matEntradasTestSom=matEntradas(:,find(not(columnaAleatoria)));%el resto son de test
51 %
52 % matTargetEntrenaSom=matTarget(:,find(columnaAleatoria));
53 % matTargetTestSom=matTarget(:,find(not(columnaAleatoria)));
54 %
55 %%permuta entrenadores
56 % indicesAleatorios=randperm(size(matEntradasEntrenaSom,2));%se mezclan por igual

```

ANEXO III

```

57 % matEntradasEntrenaSom=matEntradasEntrenaSom(indicesAleatorios); %los entrenadores y target
58 % matTargetEntrenaSom=matTargetEntrenaSom(indicesAleatorios);
59 %
60 % clear indicesAleatorios
61 % %permuta test
62 % indicesAleatorios=randperm(size(matEntradasTestSom,2));
63 % matEntradasTestSom=matEntradasTestSom(indicesAleatorios);
64 % matTargetTestSom=matTargetTestSom(indicesAleatorios);
65 %
66 %
67 % clear tamanoColumnaAleatoria columnaAleatoria aleatorio tamanoMatEntradas incrementoColumna...
68 % indicesAleatorios;
69 %
70
71
72
73
74
75 incrementoColumna=0;
76 columnaAleatoria=zeros(1,tamanoMatEntradas); %Mascara para separar individuos test de entrenamieno
77 limiteRand=0;
78 for i=1:size(matTarget,1)
79     tamanoColumnaAleatoria(i)=round(numeroMuestras(i)*PORC_ENTRENAMIENTO);
80     incrementoColumna=[incrementoColumna incrementoColumna(i)+numeroMuestras(i)];
81     limiteRand=[limiteRand incrementoColumna(i)+numeroMuestras(i)];
82     while sum(columnaAleatoria(:,incrementoColumna(i)+1:incrementoColumna(i)+numeroMuestras(i)))<tamanoColumnaAleatoria(i)
83         aleatorio=round((limiteRand(i)+1)+(limiteRand(i+1)-(limiteRand(i)+1))*rand);
84         if columnaAleatoria(aleatorio);%si el numero aleatorio ya esta en la lista
85             else %no hacer nada
86                 columnaAleatoria(aleatorio)=1;% si no está añadir
87             end
88         end
89     end
90
91     matEntradasEntrenaSom=matEntradas(:,find(columnaAleatoria));%Se extraen las columnas en "1"
92     matEntradasTestSom=matEntradas(:,find(not(columnaAleatoria)));%el resto son de test
93
94     matTargetEntrenaSom=matTarget(:,find(columnaAleatoria));
95     matTargetTestSom=matTarget(:,find(not(columnaAleatoria)));
96
97
98
99
100
101
102 rasgos = matEntradasEntrenaSom';
103 rasgos_t=matEntradasTestSom';
104
105 clase = matTargetEntrenaSom';
106 clase_t=matTargetTestSom';
107
108 %[ rasgos , minp , maxp ] = premnmx( rasgos );
109 %[ rasgos_t , minp , maxp ] = premnmx( rasgos_t );
110
111 numclases = size(matTarget,1); % numero de clases
112 numpatchclases = [ sizeMatEntradasBat1 sizeMatEntradasBat2 sizeMatEntradasBat3 sizeMatEntradasExpr sizeMatEntradasMicr sizeMatEntradasSand
113 sizeMatEntradasVen1 sizeMatEntradasMicrOnYSandOn sizeMatEntradasSandOnYBat3On sizeMatEntradasVen1OnYBat3On
114 sizeMatEntradasVen1OnMicrOnYSandOn ]; % numero de muestras en cada clase
115
116 %clases = [ min( clase ) ; max( clase ) ]';
117
118
119 nombre_clases = char('Bat1','Bat2','Bat3','Expr','Micr','Sand','Ven1','MicrOnYSandOn','SandOnYBat3On','Ven1OnYBat3On','Ven1OnMicrOnYSandOn');
120
121 etiquetas = nombre_clases( clase * ( 1:numclases ) ) .: % etiquetas de clases

```

ANEXO III

```

122 etiquetas2 = nombre_clases( clase_t * ( [ 1:numclases ]' ) , : ); % etiquetas de clases
123
124 componentes = {'RMS','CCDA','CCDB','FFT1','FFT2','FFT3','FP','PICO','CUARTO'};
125 x_label = '1-RMS/2-CCDA/3-CCDB/4-FFT1/5-FFT2/6-FFT3/7-FP/8-PICO/9-CUARTO';
126
127 %%%%%%%%%%%%%%%%%%%%%%%%%%%%%%%%%%%%%%%%%%%%%%%%%%%%%%%%%%%%%%%%%%%%%%%%%
128 %%%%%%%%%%%%%%%%%%%%%%%%%%%%%%%%%%%%%%%%%%%%%%%%%%%%%%%%%%%%%%%%%%%%%%%%%
129 % Esta máscara decide qué componentes de entrada se van a utilizar en el problema
130 %%%%%%%%%%%%%%%%%%%%%%%%%%%%%%%%%%%%%%%%%%%%%%%%%%%%%%%%%%%%%%%%%%%%%%%%%
131 %%%%%%%%%%%%%%%%%%%%%%%%%%%%%%%%%%%%%%%%%%%%%%%%%%%%%%%%%%%%%%%%%%%%%%%%%
132 % 'RMS', 'CCDA', 'CCDB', 'FFT1', 'FFT2', 'FFT3', 'FP', 'PICO', 'CUARTO'
133 %mascara = [ 1 1 1 0 0 0 1 1 0 ];
134
135 indices = find( mascara == 1 ); % indices de entradas no enmascaradas
136
137 componentes = componentes( indices ); % se incluyen sólo las componentes con mascara a 1
138 rasgos = rasgos( : , indices ); % extraemos las columnas de componentes seleccionadas en la mascara
139 rasgos_t=rasgos_t( : , indices );
140 %rasgosm = [ min( rasgos ) ; max( rasgos ) ]; % valores minimos y maximos en las entradas
141 % [ npat ndat ] = size( rasgos ); % npat = numero de patrones; ndat = numero de entradas o componentes;
142
143
144 %% ENTRENAMIENTO Y VISUALIZACION
145
146
147 %%%%%%%%%%%%%%%%%%%%%%%%%%%%%%%%%%%%%%%%%%%%%%%%%%%%%%%%%%%%%%%%%%%%%%%%% GENERA LA STRUCT DE DATOS DEL SOM %%%%%%%%%%%%%%%%%%%%%%%%%%%%%%%%%%%%%%%%%%%%%%%%%%%%%%%%%%%%%%%%%%%%%%%%%
148 sD = som_data_struct( rasgos , 'name' , nombre_mapa , 'comp_names' , componentes , 'labels' , etiquetas );
149 sD2 = som_data_struct( rasgos_t , 'name' , nombre_mapa , 'comp_names' , componentes , 'labels' , etiquetas2 );
150
151 %mapsize = [];
152 %mapsize = input( '\nIntroduce el tamaño del mapa entre corchetes (por ejemplo, [6 5]): ');
153 %lattice = input( '\nIntroduce el tipo de mapa (0 = rectangular, 1 = hexagonal): ');
154 mapsize=[26 20];
155 lattice = 'hexa';
156
157 %%%%%%%%%%%%%%%%%%%%%%%%%%%%%%%%%%%%%%%%%%%%%%%%%%%%%%%%%%%%%%%%%%%%%%%%% ENTRENAR EL SOM %%%%%%%%%%%%%%%%%%%%%%%%%%%%%%%%%%%%%%%%%%%%%%%%%%%%%%%%%%%%%%%%%%%%%%%%%
158 sM = som_make( sD , 'randinit', 'msize' , mapsize , 'lattice' , lattice ); % SOM entrenado con el tamaño del mapa introducido
159
160 %%%%%%%%%%%%%%%%%%%%%%%%%%%%%%%%%%%%%%%%%%%%%%%%%%%%%%%%%%%%%%%%%%%%%%%%% ETIQUETAMOS LAS NEURONAS DEL MAPA A PARTIR DE LOS DATOS %%%%%%%%%%%%%%%%%%%%%%%%%%%%%%%%%%%%%%%%%%%%%%%%%%%%%%%%%%%%%%%%%%%%%%%%%
161 [ unit_class_index , unit_class_label ] = som_unit_classification( sM , sD , vec2ind(clase));
162 sM.labels = unit_class_label;
163
164 %%%%%%%%%%%%%%%%%%%%%%%%%%%%%%%%%%%%%%%%%%%%%%%%%%%%%%%%%%%%%%%%%%%%%%%%% ETIQUETAMOS LOS DATOS A PARTIR DE LA ACTIVACION DEL MAPA %%%%%%%%%%%%%%%%%%%%%%%%%%%%%%%%%%%%%%%%%%%%%%%%%%%%%%%%%%%%%%%%%%%%%%%%%
165 [ data_class_index , data_class_label ] = som_data_classification( sM , sD2 , unit_class_index );
166
167 [ conf_mat , Kappa ] = confussion_matrix( data_class_index , vec2ind(clase_t' ) )
168
169
170 colores = flipdim(repmat(linspace(0.5,1,64)',1,3).*repmat([0.8 0.9 1],64,1),1); % 'blueish'
171
172 warning off;
173
174 %%%%%%%%%%%%%%%%%%%%%%%%%%%%%%%%%%%%%%%%%%%%%%%%%%%%%%%%%%%%%%%%%%%%%%%%% Representamos el mapa en cuatro formas diferentes %%%%%%%%%%%%%%%%%%%%%%%%%%%%%%%%%%%%%%%%%%%%%%%%%%%%%%%%%%%%%%%%%%%%%%%%%
175
176 Hfigure = figure; % Handle de la figura
177 set( Hfigure , 'NumberTitle' , 'off' );
178 set( Hfigure , 'Name' , 'VISUALIZACIONES DE LA U-MATRIX Y D-MATRIX' ); % Ponemos nomnbre a la figura
179 U = som_umat( sM ); % calcula U-matrix
180 colormap( colores );
181
182 subplot( 2 , 2 , 1 ); % pinta la U-Matrix
183 h = som_cplane( [ sM.topol.lattice , 'U' ] , sM.topol.msize , U(:) );
184 set( h , 'Edgecolor' , 'none' );
185 title('U-matrix');
186

```



```

187 subplot( 2 , 2 , 2 ); % pinta la D-matrix
188 Um = U( 1:2:size( U , 1 ) , 1:2:size( U , 2 ) ); % extrae las componentes impares de la U-Matrix
189 h = som_cplane( sM , Um( : ) );
190 set( h , 'Edgecolor' , 'none' );
191 title('D-matrix');
192
193 subplot( 2 , 2 , 3 ); % pinta la D-matrix con hexágonos de tamaño variable
194 som_cplane( sM , 'none' , 1 - Um( : ) / max( Um( : ) ) );
195 title('D-matrix (marcadores de tamaño)');
196
197 [ Pd , V , me ] = pcaproj( sD.data , 2 ); % obtiene matriz de proyección PCA de los datos en dos dimensiones
198 Pm = pcaproj( sM.codebook , V , me ); % proyecta con esa matriz los pesos para la paleta de color
199 subplot( 2 , 2 , 4 ); % pinta la D-matrix con la paleta de colores las distancias
200 C = som_colorcode( Pm ); % Paleta de colores
201 som_cplane( sM , C );
202 title('Similitud por coloración');
203
204 % Pinta la U-matrix con las activaciones de las muestras de las clases en colores
205 % Se representan conjuntamente los mapas de la distribución de valores de cada componente de entrada
206 Hfigure = figure; % Handle de la figura
207 temp=0;
208 for i=1:CLASES
209     Dsample{i}=sD.data(temp+1:temp+numpatclases(i) , :);
210     temp=numpatclases(i);
211 end
212 % Dsample1 = sD.data( 1:numpatclases(1) , : ); % muestras de mamíferos
213 % Dsample2 = sD.data( numpatclases(1)+1:numpatclases(1)+numpatclases(2) , : ); % muestras de aves
214 % Dsample3 = sD.data( numpatclases(2)+1:numpatclases(3) , : ); % muestras de aves
215 % Dsample4 = sD.data( numpatclases(3)+1:numpatclases(4) , : ); % muestras de aves
216 % Dsample5 = sD.data( numpatclases(4)+1:numpatclases(5) , : ); % muestras de aves
217 % temp=numpatclases(1)+numpatclases(2);
218 % Dsample6 = sD.data( numpatclases(5)+1:numpatclases(6) , : ); % muestras de aves
219 % temp=numpatclases(1)+numpatclases(2);
220 % Dsample7 = sD.data( numpatclases(6)+1:numpatclases(7) , : ); % muestras de aves
221 % Dsample8 = sD.data( numpatclases(7)+1:numpatclases(8) , : ); % muestras de aves
222 % Dsample9 = sD.data( numpatclases(8)+1:numpatclases(9) , : ); % muestras de aves
223 % Dsample10 = sD.data( numpatclases(9)+1:numpatclases(10) , : ); % muestras de aves
224 % Dsample11 = sD.data( numpatclases(10)+1:numpatclases(11) , : ); % muestras de aves
225 %
226
227 h1 = som_hits( sM , Dsample{1} ); % obtenemos los histogramas de activación para las muestras de mamíferos
228 h2 = som_hits( sM , Dsample{2} ); % para las muestras de aves
229 h3 = som_hits( sM , Dsample{3} ); % para las muestras de reptiles
230 h4 = som_hits( sM , Dsample{4} ); % para las muestras de peces
231 h5 = som_hits( sM , Dsample{5} ); % para las muestras de artrópodos
232 h6 = som_hits( sM , Dsample{6} ); % para las muestras de artrópodos
233 h7 = som_hits( sM , Dsample{7} ); % para las muestras de artrópodos
234 h8 = som_hits( sM , Dsample{8} ); % para las muestras de artrópodos
235 h9 = som_hits( sM , Dsample{9} ); % para las muestras de artrópodos
236 h10 = som_hits( sM , Dsample{10} ); % para las muestras de artrópodos
237 h11 = som_hits( sM , Dsample{11} ); % para las muestras de artrópodos
238
239 % Respuesta difusa calculada sumando  $1/(1+(q/a)^2)$ 
240 % para cada muestra, donde 'q' es un vector que contiene
241 % la distancia de cada muestra hasta cada prototipo de las unidades del mapa
242 % y 'a' es el promedio del error de cuantización
243 hf = som_hits( sM , sD.data , 'fuzzy' );
244
245 % Representamos los histogramas en U-matrices separadas
246 colormap(colores);
247 som_show( sM , 'umat' , {'all','Bat1'} , 'umat' , {'all','Bat2'}...
248     , 'umat' , {'all','Bat3'} , 'umat' , {'all','Expr'}...
249     , 'umat' , {'all','Micr'} , 'umat' , {'all','Sand'}...
250     , 'umat' , {'all','Ven1'} , 'umat' , {'all','MicrOnYSandOn'}...
251     , 'umat' , {'all','SandOnYBat3On'} , 'umat' , {'all','Ven1OnYBat3On'}...

```

```

252     'umat', {'all','VenlOnYMicrOnYSandOn'}, 'color', {hf,'Fuzzy response'});
253 som_show_add('hit', h1, 'Subplot', 1, 'Markercolor', 'r'); % mamíferos en rojo
254 som_show_add('hit', h2, 'Subplot', 2, 'Markercolor', 'b'); % aves en azul
255 som_show_add('hit', h3, 'Subplot', 3, 'Markercolor', 'g'); % reptiles en verde
256 som_show_add('hit', h4, 'Subplot', 4, 'Markercolor', 'm'); % peces en magenta
257 som_show_add('hit', h5, 'Subplot', 5, 'Markercolor', 'y'); % artrópodos en amarillo
258 som_show_add('hit', h6, 'Subplot', 6, 'Markercolor', 'r'); % artrópodos en amarillo
259 som_show_add('hit', h7, 'Subplot', 7, 'Markercolor', 'b'); % artrópodos en amarillo
260 som_show_add('hit', h8, 'Subplot', 8, 'Markercolor', 'g'); % artrópodos en amarillo
261 som_show_add('hit', h9, 'Subplot', 9, 'Markercolor', 'm'); % artrópodos en amarillo
262 som_show_add('hit', h10, 'Subplot', 10, 'Markercolor', 'y'); % artrópodos en amarillo
263 som_show_add('hit', h11, 'Subplot', 11, 'Markercolor', 'r'); % artrópodos en amarillo
264
265
266
267
268 set( Hfigure, 'NumberTitle', 'off' );
269 set( Hfigure, 'Name', 'VISUALIZACION DE LA ACTIVACION DETALLADA' ); % Ponemos nomnbre a la figura
270
271 % Representamos la U-matrix y las matrices de distancias para cada componente de entrada
272 Hfigure = figure; % Handle de la figura
273 colormap(colores);
274 som_show( sM );
275 % Añadimos los histogramas de activación sobre la U-matrix
276 som_show_add('hit', h1, 'Subplot', 1, 'Markercolor', 'r'); % mamíferos en rojo
277 som_show_add('hit', h2, 'Subplot', 1, 'Markercolor', 'b'); % aves en azul
278 som_show_add('hit', h3, 'Subplot', 1, 'Markercolor', 'g'); % reptiles en verde
279 som_show_add('hit', h4, 'Subplot', 1, 'Markercolor', 'm'); % peces en magenta
280 som_show_add('hit', h5, 'Subplot', 1, 'Markercolor', 'y'); % artrópodos en amarillo
281 som_show_add('hit', h6, 'Subplot', 1, 'Markercolor', 'r'); % artrópodos en amarillo
282 som_show_add('hit', h7, 'Subplot', 1, 'Markercolor', 'b'); % artrópodos en amarillo
283 som_show_add('hit', h8, 'Subplot', 1, 'Markercolor', 'g'); % artrópodos en amarillo
284 som_show_add('hit', h9, 'Subplot', 1, 'Markercolor', 'm'); % artrópodos en amarillo
285 som_show_add('hit', h10, 'Subplot', 1, 'Markercolor', 'y'); % artrópodos en amarillo
286 som_show_add('hit', h11, 'Subplot', 1, 'Markercolor', 'r'); % artrópodos en amarillo
287 set( Hfigure, 'NumberTitle', 'off' );
288 set( Hfigure, 'Name', 'VISUALIZACION DE LAS COMPONENTES' ); % Ponemos nomnbre a la figura
289
290

```

ANEXO IV

SCRIPT FUNCIÓN LEVEQU

```

1
2 % Este fichero entrena una red LVQ
3 % y ejecuta la rutina newlvq para crear la red
4 clc
5
6
7 %% LECTURA DATOS LVQ
8
9
10 %%%%%%%%%%%%%%%%%%%%%%%%%%%%%%%%%%%%%%%%%%%%%%%%%%%%%%%%%%%%%%%%%%%%%%%%%
11 %%%%%%%%%%%%%%%%%%%%%%%%%%%%%%%%%%%%%%%%%%%%%%%%%%%%%%%%%%%%%%%%%%%%%%%%%
12 % Esta máscara decide qué componentes de entrada se van a utilizar en el problema
13 %%%%%%%%%%%%%%%%%%%%%%%%%%%%%%%%%%%%%%%%%%%%%%%%%%%%%%%%%%%%%%%%%%%%%%%%%
14 %%%%%%%%%%%%%%%%%%%%%%%%%%%%%%%%%%%%%%%%%%%%%%%%%%%%%%%%%%%%%%%%%%%%%%%%%
15
16 % 'RMS', 'CCDA', 'CCDB', 'FFT1', 'FFT2', 'FFT3', 'FP', 'PICO', 'CUARTO'
17 %mascara = [1 1 1 0 0 0 1 1 1];
18
19
20
21 tamañoMatEntradas=size(matEntradas,2);
22
23 incrementoColumna=0;
24 columnaAleatoria=zeros(1,tamañoMatEntradas); %Mascara para separar individuos test de entrenamiento
25 límiteRand=0;
26 for i=1:size(matTarget,1)
27     tamañoColumnaAleatoria(i)=round(numeroMuestras(i)*PORC_ENTRENAMIENTO);
28     incrementoColumna=[incrementoColumna incrementoColumna(i)+numeroMuestras(i)];
29     límiteRand=[límiteRand incrementoColumna(i)+numeroMuestras(i)];
30     while sum(columnaAleatoria(:,:incrementoColumna(i)+1:incrementoColumna(i)+numeroMuestras(i)))<tamañoColumnaAleatoria(i)
31         aleatorio=round((límiteRand(i)+1)+(límiteRand(i+1)-(límiteRand(i)+1))*rand);
32         if columnaAleatoria(aleatorio); %si el numero aleatorio ya esta en la lista
33             else %no hacer nada
34                 columnaAleatoria(aleatorio)=i; % si no está añadir
35             end
36         end
37     end
38
39     matEntradasEntrenaLvq=matEntradas(:,find(columnaAleatoria)); %Se extraen las columnas en "1"
40     matEntradasTestLvq=matEntradas(:,find(not(columnaAleatoria))); %el resto son de test
41
42     matTargetEntrenaLvq=matTarget(:,find(columnaAleatoria));
43     matTargetTestLvq=matTarget(:,find(not(columnaAleatoria)));
44
45     %%permuta entrenadores
46     % índicesAleatorios=randperm(size(matEntradasEntrenaLvq,2)); %se mezclan por igual
47     % matEntradasEntrenaLvq=matEntradasEntrenaLvq(:,índicesAleatorios); %los entrenadores y target
48     % matTargetEntrenaLvq=matTargetEntrenaLvq(:,índicesAleatorios);
49     %
50     % clear índicesAleatorios
51     %%permuta test
52     % índicesAleatorios=randperm(size(matEntradasTestLvq,2));
53     % matEntradasTestLvq=matEntradasTestLvq(:,índicesAleatorios);
54     % matTargetTestLvq=matTargetTestLvq(:,índicesAleatorios);
55
56

```

ANEXO IV

```

57 clear tamanoColumnaAleatoria columnaAleatoria aleatorio tamanoMatEntradas incrementoColumna...
58     indicesAleatorios;
59
60 indices = find((mascara == 1)); % indices de variables NO enmascaradas
61 vino = matEntradasEntrenalvq( indices , : ); % Extraemos solamente las variables NO enmascaradas
62 %clases=matTargetEntrenalvq;
63 clases=vec2ind(matTargetEntrenalvq);
64 clases=clases';
65 clases=ind2vec(clases);
66 %clases=clases;
67 matEntradasTestReducidoLvq=matEntradasTestLvq( indices , : );
68
69
70 numpatclases = full( sum( clases , 1 ) ); % numero de patrones de cada clase
71 numclases = length( numpatclases ); % numero de clases
72 [ numinp , npat ] = size( vino ); % numero de entradas y de patrones
73 prob_priori = numpatclases / npat; % probabilidad a priori de las clases
74 names_variables = {'Bat1', 'Bat2', 'Bat3', 'Expr', 'Micr', 'Sand', 'Venl', 'MicrOnYSandOn', 'SandOnYBat3On', 'VenlOnYBat3On', 'VenlOnYMicrOnYSandOn'};
75 %numpatclases = [ sizeMatEntradasBat1 sizeMatEntradasBat2 sizeMatEntradasBat3 sizeMatEntradasExpr sizeMatEntradasMicr sizeMatEntradasSand
76 sizeMatEntradasVenl sizeMatEntradasMicrOnYSandOn sizeMatEntradasSandOnYBat3On sizeMatEntradasVenlOnYBat3On
77 sizeMatEntradasVenlOnYMicrOnYSandOn ]; % numero de muestras en cada clase
78
79
80 %% LVQ
81 % flagesc = input('\nEscalado (0=no/1=si, por defecto 1): ');
82 % % Escalamos todas las entradas para que tengan variación entre -1 y 1
83 % if isempty( flagesc ); flagesc = 1; end
84 % if (flagesc == 0)
85 %     data = vino;
86 % else
87 %     [data , minp , maxp ] = premnmx( vino );
88 % end
89
90 [data , minp , maxp ] = premnmx( vino );
91
92 % odim = input('\nDimensión del espacio de proyección de PCA (1-4, por defecto NO PCA): ');
93 % if isempty( odim )
94 %     datapca = data;
95 % else
96 % [ P , V , me , L ] = pcaproj( data' , odim );
97 % datapca = P';
98 % end
99 datapca = data;
100
101 [ dim , npat ] = size( datapca );
102
103 % Generando una red LVQ
104 % nhidden = input('\nNúmero de unidades ocultas (por defecto 24): ');
105 % if isempty( nhidden ); nhidden = 24; end
106 % fa = input('\nFactor de aprendizaje (por defecto 0.2): ');
107 % if isempty( fa ); fa = 0.2; end
108 %out = full( clases );
109 out = full( clases );
110 claspat = sum( out' , 1 ); % sumamos los indices de clases
111 nclass = length( claspat );
112 PerC = claspat / npat; % porcentajes de clases en los patrones
113
114 net = newlvq( minmax( datapca ) , nhidden , PerC , fa );
115 % Escribe el tamaño de la capa de unidades con kernel
116 fprintf('\nLa red generada utiliza:');
117 [ Unidades , Datos ] = size( net.LW{ 1 , 1 } )
118
119 % Usamos como método de inicialización de pesos la selección aleatoria de muestras
120 w2 = net.LW{ 2 , 1 }; % pesos desde unidades de salida a capa competitiva UsalidaxUhidden
121 [ nclases , nhidden ] = size( w2 );

```

ANEXO IV

```

122 rep = 0; % los centroides se adjudican sin repetir muestras
123 if ( nhidden > npat ); rep = 1; end;
124 [ w , ind ] = initwpat( datapca' , nhidden , out' , rep );% obtiene una matriz w con patrones
125 net.IW{ 1 , 1 } = w;
126
127 % Dibujamos los datos en el subespacio proyectado
128 % if ( odim >= 3)
129 % ind = input('Tres índices de componentes para visualizar (por defecto [1 2 3]): ');
130 % if isempty( ind ); ind = [ 1 2 3 ]; end;
131 % H = drawkernel( ind , datapca , out , net );
132 % else if (odim == 2)
133 % H = drawkernel( [ 1 2 ] , datapca , out , net );
134 % end
135 % end
136 % title('VALORES INICIALES DE LOS CENTROIDES DE LA RED LVQ');
137 % fprintf('\nPulsar cualquier tecla para iniciar el entrenamiento. ');
138 % pause;
139
140
141 % Entreno
142 net.trainFcn='trainr'; % el entrenamiento se hace por iteraciones; esta sentencia pone epochs a 100 por defecto
143 net.trainParam.show = 100;
144 %net.trainParam.epochs = 3000;%3000
145 net.trainParam.epochs = numEpoch;
146 net.adaptParam.passes = 10000;
147 net.inputWeights{ 1 , 1 }.learnFcn = 'learnlv1';
148 % net.inputWeights{1,1}.learnFcn = 'learnlv2';
149 net = train( net , datapca , out );
150 % net = adapt( net , datapca , out );
151
152
153 % Test
154
155 vino = matEntradasTestLvq( indices , : ); % Extraemos solamente las variables NO enmascaradas
156 [data , minp , maxp ] = premnmx( vino );
157 %datapca=matEntradasTestReducidoLvq;
158 datapca=data;
159 Y = sim( net , datapca );
160 numpatclases=sum(matTargetTestLvq);
161 % funcion que pinta graficos de barras para cada unidad con el conjunto de respuestas
162 base = 'Bat1 / Bat2 / Bat3 / Expr / Micr / Sand / Venl / MicrOnYSandOn / SandOnYBat3On / VenlOnYBat3On / VenlOnYMicrOnYSandOn';
163 xticks = [ 1 ];
164 for n = 1:size(matTargetTestLvq,1)
165 xticks = [ xticks ; sum( numpatclases( 1:n ) ) ]; % Puntos de eje X de las graficas
166 end
167 H = barcompout( Y , 'U' , base , xticks );
168
169 % Dibujamos los datos en el subespacio proyectado
170 % if (odim >= 3)
171 % H = drawkernel( ind , datapca , out , net );
172 % else if (odim == 2)
173 % H = drawkernel( [ 1 2 ] , datapca , out , net );
174 % end
175 % end
176 %title('VALORES FINALES DE LOS CENTROIDES DE LA RED LVQ');
177 [ conf_mat , Kappa ] = confusion_matrix( vec2ind(matTargetTestLvq) , vec2ind(Y) );
178 plotconfusion(matTargetTestLvq,Y)
179
180

```

ANEXO V

SCRIPT DETECCIÓN DE EVENTOS

```

1
2   clc;
3   clear all;
4   %close all;
5
6   % for i=1:TRIALS
7   %   figure;
8   %   plot(FacPotBat{1,i}(1:l:end),'DisplayName','cargaBat3{1,i}(1:l:15360)','YDataSource','cargaBat3{1,i}(1:l:15360)');figure(gcf)
9   %
10  % end
11
12
13  %% CONSTANTES
14  Kappatemp=[];
15  subsampleVsKappa=[];
16  %for subsamples=4:4
17  subsamples=4;
18  %   for veces=1:l
19  TRIALS=10;
20  CLASES=11;
21  names = {'RMS','CCDA','CCDB','FFT1','FFT2','FFT3','FP','PICO','CUARTO'};
22  VENTANA_EST=10;%50 ciclos de tamaño de muestra
23  COMP_CONTINUA=600;
24  % FS=2542; %Frecuencia de muestreo original
25  SUBSAMPLE=subsamples; %se guarda una de cada SUBSAMPLE muestras
26  FS=round(2542/SUBSAMPLE); %Frecuencia de muestreo
27  MUESTRAS_CICLO=round(FS*0.02); %número de muestras en cada ciclo por
28
29  AMP_POR_UNIDAD=0; %0.15amperios por unidad de matlab
30  %50 muestras por periodo
31
32  INC_VENT=VENTANA_EST*MUESTRAS_CICLO;
33  %
34  % %FFT
35  % T=1/FS; %periodo
36  % NFFT = 2^nextpow2(INC_VENT); % Next power of 2 from length of y
37  % FRC_BUSQ_FFT=[40 60 120 180 200 300]; %rango frecuencias para buscar las componentes FFT
38  % VECTOR_FRECUENCIA = FS/2*linspace(0,1,NFFT/2+1);
39  %
40  %
41  %filtro
42  N=100;
43  FC1=40;
44  FC2=60;
45  INICIO_FILTRO=1;%50
46  DESF_FILTRO=50; %muestras de desfase entre señal original y filtrada.
47  %
48  % DESFASE_TRAFO_TENSION=0;%desfase que introduce el trafo de medida de tension
49  % SEP_PASOS_0=round(MUESTRAS_CICLO/3.33);%15;%46
50  % MAY_MEN_0=0;
51
52  WAKE_UP=FS*1; %muestras (tiempo) entre despertar y despertar (1 segundo)
53  VENTANA_EVENTO=10*MUESTRAS_CICLO;%ancho ventana de evento a on
54  THRESHOLD=270;% umbral para considerar un evento a ON
55  GRADIENTE=70;% diferencia < entre ventanas para considerar fin transitorio
56  %MAX_TRANS=4;%

```

ANEXO V

```

57
58 % %CUARTO_SEMIPERODO= round (MUESTRAS_CICLO/8);
59 % CUARTO_SEMIPERODO= round (MUESTRAS_CICLO/14); %donde más se nota el 3º armonico, con 5º y 7º 10% del 3º
60 % VALOR_CUARTO_SEMIPERODO_NORMALIZADO=0.4226;%Tanto por uno del valor de pico
61 % %VALOR_CUARTO_SEMIPERODO_NORMALIZADO=-0.648228395307788;%Tanto por uno del valor de pico
62 % %que se obtendría en un seno puro en el cuarto del segundo semiperiodo
63 % PORC_ENTRENAMIENTO=80/100;%porcentaje del data set destinado al entrenamiento
64
65
66 %% CARGA FICHEROS Y ACONDICIONAMIENTO
67
68
69 %Carga ficheros
70 for i=1:TRIALS
71     cargaBat1{i}=load(strcat('PICUS_BAT1_TRIAL',num2str(i),'.txt'));
72     cargaBat2{i}=load(strcat('PICUS_BAT2_TRIAL',num2str(i),'.txt'));
73     cargaBat3{i}=load(strcat('PICUS_BAT3_TRIAL',num2str(i),'.txt'));
74     cargaExpr{i}=load(strcat('PICUS_EXPR_TRIAL',num2str(i),'.txt'));
75     cargaMicr{i}=load(strcat('PICUS_MICR_TRIAL',num2str(i),'.txt'));
76     cargaSand{i}=load(strcat('PICUS_SAND_TRIAL',num2str(i),'.txt'));
77     cargaVen1{i}=load(strcat('PICUS_VEN1_TRIAL',num2str(i),'.txt'));
78     % cargaVen2{i}=load(strcat('PICUS_VEN2_TRIAL',num2str(i),'.txt'));
79     cargaMicrOnYSandOn{i}=load(strcat('PICUS_MICR_SAND_SAND_MICRO_TRIAL',num2str(i),'.txt'));
80     cargaSandOnYBat3On{i}=load(strcat('PICUS_SAND_BAT3_BAT3_SAND_TRIAL',num2str(i),'.txt'));
81     cargaVen1OnYBat3On{i}=load(strcat('PICUS_VEN1_BAT3_BAT3_VEN1_TRIAL',num2str(i),'.txt'));
82     cargaVen1OnYMicrOnYSandOn{i}=load(strcat('PICUS_VEN1_MICR_SAND_SAND_MICR_VEN1_TRIAL',num2str(i),'.txt'));
83 end
84
85
86
87
88
89 %Subsampleo
90 %recorremos el vector de uno en uno y si encontramos un cero se guarda
91 %como el cero no es parte de la onda, incremento el indice de subsampleo a
92 %la siguiente muestra. Si coincide muestra leida con el indice subsampleo
93 %guardo esa muestra y e incremento el indiceSub en SUBSAMPLE
94
95
96
97 for i=1:TRIALS
98     cargaBat1Temp{i}=[];
99     cargaBat2Temp{i}=[];
100     cargaBat3Temp{i}=[];
101     cargaExprTemp{i}=[];
102     cargaMicrTemp{i}=[];
103     cargaSandTemp{i}=[];
104     cargaVen1Temp{i}=[];
105     % cargaVen2Temp{i}=[];
106     cargaMicrOnYSandOnTemp{i}=[];
107     cargaSandOnYBat3OnTemp{i}=[];
108     cargaVen1OnYBat3OnTemp{i}=[];
109     cargaVen1OnYMicrOnYSandOnTemp{i}=[];
110
111
112     indiceSub=1;
113     j=1;
114     while (j<size(cargaBat1{1,i},2))
115         if(cargaBat1{1,i}(j)==0)
116             cargaBat1Temp{1,i}(end+1)=0;
117             indiceSub=indiceSub+1;
118         end
119         if (j==indiceSub)
120             cargaBat1Temp{1,i}(end+1)=cargaBat1{1,i}(j);
121             indiceSub=indiceSub+SUBSAMPLE;

```

```

122     end
123     j=j+1;
124 end
125
126 indiceSub=l;
127 j=l;
128 while (j<size(cargaBat2{1,i},2))
129     if(cargaBat2{1,i}(j)==0)
130         cargaBat2Temp{1,i}(end+1)=0;
131         indiceSub=indiceSub+1;
132     end
133     if (j==indiceSub)
134         cargaBat2Temp{1,i}(end+1)=cargaBat2{1,i}(j);
135         indiceSub=indiceSub+SUBSAMPLE;
136     end
137     j=j+1;
138 end
139
140 indiceSub=l;
141 j=l;
142 while (j<size(cargaBat3{1,i},2))
143     if(cargaBat3{1,i}(j)==0)
144         cargaBat3Temp{1,i}(end+1)=0;
145         indiceSub=indiceSub+1;
146     end
147     if (j==indiceSub)
148         cargaBat3Temp{1,i}(end+1)=cargaBat3{1,i}(j);
149         indiceSub=indiceSub+SUBSAMPLE;
150     end
151     j=j+1;
152 end
153
154 indiceSub=l;
155 j=l;
156 while (j<size(cargaExpr{1,i},2))
157     if(cargaExpr{1,i}(j)==0)
158         cargaExprTemp{1,i}(end+1)=0;
159         indiceSub=indiceSub+1;
160     end
161     if (j==indiceSub)
162         cargaExprTemp{1,i}(end+1)=cargaExpr{1,i}(j);
163         indiceSub=indiceSub+SUBSAMPLE;
164     end
165     j=j+1;
166 end
167
168 indiceSub=l;
169 j=l;
170 while (j<size(cargaMitr{1,i},2))
171     if(cargaMitr{1,i}(j)==0)
172         cargaMitrTemp{1,i}(end+1)=0;
173         indiceSub=indiceSub+1;
174     end
175     if (j==indiceSub)
176         cargaMitrTemp{1,i}(end+1)=cargaMitr{1,i}(j);
177         indiceSub=indiceSub+SUBSAMPLE;
178     end
179     j=j+1;
180 end
181
182 indiceSub=l;
183 j=l;
184 while (j<size(cargaSand{1,i},2))
185     if(cargaSand{1,i}(j)==0)
186         cargaSandTemp{1,i}(end+1)=0;

```



```

187         indiceSub=indiceSub+l;
188     end
189     if (j==indiceSub)
190         cargaSandTemp{l,i}(end+l)=cargaSand{l,i}(j);
191         indiceSub=indiceSub+SUBSAMPLE;
192     end
193     j=j+l;
194 end
195
196 indiceSub=l;
197 j=l;
198 while (j<size(cargaVenl{l,i},2))
199     if(cargaVenl{l,i}(j)==0)
200         cargaVenlTemp{l,i}(end+l)=0;
201         indiceSub=indiceSub+l;
202     end
203     if (j==indiceSub)
204         cargaVenlTemp{l,i}(end+l)=cargaVenl{l,i}(j);
205         indiceSub=indiceSub+SUBSAMPLE;
206     end
207     j=j+l;
208 end
209
210 indiceSub=l;
211 j=l;
212 while (j<size(cargaMicrOnYSandOn{l,i},2))
213     if(cargaMicrOnYSandOn{l,i}(j)==0)
214         cargaMicrOnYSandOnTemp{l,i}(end+l)=0;
215         indiceSub=indiceSub+l;
216     end
217     if (j==indiceSub)
218         cargaMicrOnYSandOnTemp{l,i}(end+l)=cargaMicrOnYSandOn{l,i}(j);
219         indiceSub=indiceSub+SUBSAMPLE;
220     end
221     j=j+l;
222 end
223
224 indiceSub=l;
225 j=l;
226 while (j<size(cargaSandOnYBat3On{l,i},2))
227     if(cargaSandOnYBat3On{l,i}(j)==0)
228         cargaSandOnYBat3OnTemp{l,i}(end+l)=0;
229         indiceSub=indiceSub+l;
230     end
231     if (j==indiceSub)
232         cargaSandOnYBat3OnTemp{l,i}(end+l)=cargaSandOnYBat3On{l,i}(j);
233         indiceSub=indiceSub+SUBSAMPLE;
234     end
235     j=j+l;
236 end
237
238 indiceSub=l;
239 j=l;
240 while (j<size(cargaVenlOnYBat3On{l,i},2))
241     if(cargaVenlOnYBat3On{l,i}(j)==0)
242         cargaVenlOnYBat3OnTemp{l,i}(end+l)=0;
243         indiceSub=indiceSub+l;
244     end
245     if (j==indiceSub)
246         cargaVenlOnYBat3OnTemp{l,i}(end+l)=cargaVenlOnYBat3On{l,i}(j);
247         indiceSub=indiceSub+SUBSAMPLE;
248     end
249     j=j+l;
250 end
251

```

ANEXO V

```

252     indiceSub=l;
253     j=l;
254     while (j<size(cargaVenlOnYMicrOnYSandOn{l,i},2))
255         if(cargaVenlOnYMicrOnYSandOn{l,i}(j)==0)
256             cargaVenlOnYMicrOnYSandOnTemp{l,i}(end+1)=0;
257             indiceSub=indiceSub+1;
258         end
259         if (j==indiceSub)
260             cargaVenlOnYMicrOnYSandOnTemp{l,i}(end+1)=cargaVenlOnYMicrOnYSandOn{l,i}(j);
261             indiceSub=indiceSub+SUBSAMPLE;
262         end
263         j=j+1;
264     end
265
266     cargaBat1{l,i}=cargaBat1Temp{l,i};
267     cargaBat2{l,i}=cargaBat2Temp{l,i};
268     cargaBat3{l,i}=cargaBat3Temp{l,i};
269     cargaExpr{l,i}=cargaExprTemp{l,i};
270     cargaMicr{l,i}=cargaMicrTemp{l,i};
271     cargaSand{l,i}=cargaSandTemp{l,i};
272     cargaVenl{l,i}=cargaVenlTemp{l,i};
273     % cargaVen2{l,i}=cargaVenlTemp{l,i};
274     cargaMicrOnYSandOn{l,i}=cargaMicrOnYSandOnTemp{l,i};
275     cargaSandOnYBat3On{l,i}=cargaSandOnYBat3OnTemp{l,i};
276     cargaVenlOnYBat3On{l,i}=cargaVenlOnYBat3OnTemp{l,i};
277     cargaVenlOnYMicrOnYSandOn{l,i}=cargaVenlOnYMicrOnYSandOnTemp{l,i};
278
279 end
280
281     clear cargaBat1Temp{l,i};
282     clear cargaBat2Temp{l,i};
283     clear cargaBat3Temp{l,i};
284     clear cargaExprTemp{l,i};
285     clear cargaMicrTemp{l,i};
286     clear cargaSandTemp{l,i};
287     clear cargaVenlTemp{l,i};
288     % clear cargaVen2Temp{l,i};
289     clear cargaMicrOnYSandOnTemp{l,i};
290     clear cargaSandOnYBat3OnTemp{l,i};
291     clear cargaVenlOnYBat3OnTemp{l,i};
292     clear cargaVenlOnYMicrOnYSandOnTemp{l,i};
293     clear indiceSub;
294
295
296     %filtrado de señal
297     % f=fdesign.lowpass('N,Fc',l0,70,FS);
298     % filtroLP = design(f,'butter');
299
300     f2=fdesign.bandpass('n,fc1,fc2',N,FC1,FC2,FS);
301     filtroPB=design(f2);
302
303     for i=1:TRIALS
304
305         cargaBat1{l,i}=nonzeros(cargaBat1{l,i});
306         cargaBat1Filtr{l,i}=filter(filtroPB,cargaBat1{l,i});
307         cargaBat1Filtr{l,i}=cargaBat1Filtr{l,i}(INICIO_FILTR:end); %quitamos las INICIO_FILTR muestras
308
309         cargaBat2{l,i}=nonzeros(cargaBat2{l,i});
310         cargaBat2Filtr{l,i}=filter(filtroPB,cargaBat2{l,i});
311         cargaBat2Filtr{l,i}=cargaBat2Filtr{l,i}(INICIO_FILTR:end); %quitamos las INICIO_FILTR muestras
312
313         cargaBat3{l,i}=nonzeros(cargaBat3{l,i});
314         cargaBat3Filtr{l,i}=filter(filtroPB,cargaBat3{l,i});
315         cargaBat3Filtr{l,i}=cargaBat3Filtr{l,i}(INICIO_FILTR:end); %quitamos las INICIO_FILTR muestras
316

```

ANEXO V

```

317     cargaExpr{1,i}=nonzeros(cargaExpr{1,i});
318     cargaExprFiltr{1,i}=filter(filtroPB,cargaExpr{1,i});
319     cargaExprFiltr{1,i}=cargaExprFiltr{1,i}(INICIO_FILTR:end); %quitamos las INICIO_FILTR muestras
320
321     cargaMicr{1,i}=nonzeros(cargaMicr{1,i});
322     cargaMicrFiltr{1,i}=filter(filtroPB,cargaMicr{1,i});
323     cargaMicrFiltr{1,i}=cargaMicrFiltr{1,i}(INICIO_FILTR:end); %quitamos las INICIO_FILTR muestras
324
325     cargaSand{1,i}=nonzeros(cargaSand{1,i});
326     cargaSandFiltr{1,i}=filter(filtroPB,cargaSand{1,i});
327     cargaSandFiltr{1,i}=cargaSandFiltr{1,i}(INICIO_FILTR:end); %quitamos las INICIO_FILTR muestras
328
329     cargaVenl{1,i}=nonzeros(cargaVenl{1,i});
330     cargaVenlFiltr{1,i}=filter(filtroPB,cargaVenl{1,i});
331     cargaVenlFiltr{1,i}=cargaVenlFiltr{1,i}(INICIO_FILTR:end); %quitamos las INICIO_FILTR muestras
332
333     cargaMicrOnYSandOn{1,i}=nonzeros(cargaMicrOnYSandOn{1,i});
334     cargaMicrOnYSandOnFiltr{1,i}=filter(filtroPB,cargaMicrOnYSandOn{1,i});
335     cargaMicrOnYSandOnFiltr{1,i}=cargaMicrOnYSandOnFiltr{1,i}(INICIO_FILTR:end); %quitamos las INICIO_FILTR muestras
336
337     cargaSandOnYBat3On{1,i}=nonzeros(cargaSandOnYBat3On{1,i});
338     cargaSandOnYBat3OnFiltr{1,i}=filter(filtroPB,cargaSandOnYBat3On{1,i});
339     cargaSandOnYBat3OnFiltr{1,i}=cargaSandOnYBat3OnFiltr{1,i}(INICIO_FILTR:end); %quitamos las INICIO_FILTR muestras
340
341     cargaVenlOnYBat3On{1,i}=nonzeros(cargaVenlOnYBat3On{1,i});
342     cargaVenlOnYBat3OnFiltr{1,i}=filter(filtroPB,cargaVenlOnYBat3On{1,i});
343     cargaVenlOnYBat3OnFiltr{1,i}=cargaVenlOnYBat3OnFiltr{1,i}(INICIO_FILTR:end); %quitamos las INICIO_FILTR muestras
344
345     cargaVenlOnYMicrOnYSandOn{1,i}=nonzeros(cargaVenlOnYMicrOnYSandOn{1,i});
346     cargaVenlOnYMicrOnYSandOnFiltr{1,i}=filter(filtroPB,cargaVenlOnYMicrOnYSandOn{1,i});
347     cargaVenlOnYMicrOnYSandOnFiltr{1,i}=cargaVenlOnYMicrOnYSandOnFiltr{1,i}(INICIO_FILTR:end); %quitamos las INICIO_FILTR muestras
348 end
349
350
351 %% EVENTO ON
352 %deteccion evento a on
353 %elegimos una ventana de un ciclo, le restamos la mediana de esa ventana(DC OFF)
354 %sumamos los valores absolutos y si son mayores que un threshold,
355 % => Evento ON
356 % en ventanaEvento se guarda el valor de la ventana corriespondiente al
357 % wakeup,si hay evento, tras el gradiente(ventana roja o verde)
358
359
360
361
362
363 onBat1=zeros(TRIALS,1);
364 onBat1=zeros(TRIALS,1);
365 vBat1={};
366 onBat2=zeros(TRIALS,1);
367 offBat2=zeros(TRIALS,1);
368 vBat2={};
369 onBat3=zeros(TRIALS,1);
370 offBat3=zeros(TRIALS,1);
371 vBat3={};
372 onExpr=zeros(TRIALS,1);
373 offExpr=zeros(TRIALS,1);
374 vExpr={};
375 onMicr=zeros(TRIALS,1);
376 offMicr=zeros(TRIALS,1);
377 vMicr={};
378 onSand=zeros(TRIALS,1);
379 offSand=zeros(TRIALS,1);
380 vSand={};
381 onVenl=zeros(TRIALS,1);

```

ANEXO V

```

382     offVenl=zeros(TRIALS,1);
383     vVenl={};
384     onMicrOnYSandOn=zeros(TRIALS,1);
385     offMicrOnYSandOn=zeros(TRIALS,1);
386     vMicrOnYSandOn={};
387     onSandOnYBat3On=zeros(TRIALS,1);
388     offSandOnYBat3On=zeros(TRIALS,1);
389     vSandOnYBat3On={};
390     onVenlOnYBat3On=zeros(TRIALS,1);
391     offVenlOnYBat3On=zeros(TRIALS,1);
392     vVenlOnYBat3On={};
393     onVenlOnYMicrOnYSandOn=zeros(TRIALS,1);
394     offVenlOnYMicrOnYSandOn=zeros(TRIALS,1);
395     vVenlOnYMicrOnYSandOn={};
396
397     for i=1:TRIALS
398
399         cargaBat{1,i}=nonzeros(cargaBat{1,i})';
400         cargaBat{1,i}=(cargaBat{1,i})-median(cargaBat{1,i});
401         j=l;
402         k=l;
403         m=l;
404         vTemp=[];
405         for indice=1:WAKE_UP:size(cargaBat{1,i},2)-VENTANA_EVENTO;
406             ventanaEvenBat(i,j)=sum(abs(cargaBat{1,i}(indice:indice+VENTANA_EVENTO-1)-median(cargaBat{1,i}(indice:indice+VENTANA_EVENTO-1))));
407             vTemp=[vTemp indice];
408             if j>l
409                 if ventanaEvenBat(i,j)>ventanaEvenBat(i,j-1)+THRESHOLD %hay evento
410                     ventanaTempAnt=ventanaEvenBat(i,j);
411                     for n=1:round(WAKE_UP/VENTANA_EVENTO) %miramos las siguientes ventanas hasta una diferencia menor que GRADIENTE
412                         if indice+(n-1)*VENTANA_EVENTO>size(cargaBat{1,i},2)-l
413                             onBat(i,k)=indice+(n-1)*VENTANA_EVENTO;
414                             ventanaEvenBat(i,j)=ventanaTempAnt;
415                             break;
416                         end
417                         if n==round(WAKE_UP/VENTANA_EVENTO)
418                             onBat(i,k)=indice+(n-1)*VENTANA_EVENTO;
419                             ventanaEvenBat(i,j)=ventanaTempAnt;
420                             break;
421                         end
422                         ventanaTempAct=sum(abs(cargaBat{1,i}(indice+n*VENTANA_EVENTO:indice+(n+1)*VENTANA_EVENTO-1)-
423 median(cargaBat{1,i}(indice+n*VENTANA_EVENTO:indice+(n+1)*VENTANA_EVENTO-1))));
424                         if abs(ventanaTempAnt-ventanaTempAct)<=GRADIENTE
425                             onBat(i,k)=indice+(n-1)*VENTANA_EVENTO;
426                             ventanaEvenBat(i,j)=ventanaTempAct;
427                             break;
428                         else
429                             ventanaTempAnt=ventanaTempAct;
430                         end
431                     end
432                     k=k+l;
433                 end
434                 if ventanaEvenBat(i,j)<ventanaEvenBat(i,j-1)-THRESHOLD
435                     ventanaTempAnt=ventanaEvenBat(i,j);
436                     for n=1:round(WAKE_UP/VENTANA_EVENTO) %miramos las siguientes ventanas hasta una diferencia menor que GRADIENTE
437                         if indice+(n-1)*VENTANA_EVENTO>size(cargaBat{1,i},2)-l
438                             offBat(i,m)=indice+(n-1)*VENTANA_EVENTO;
439                             ventanaEvenBat(i,j)=ventanaTempAnt;
440                             break;
441                         end
442                         if n==round(WAKE_UP/VENTANA_EVENTO)
443                             offBat(i,k)=indice+(n-1)*VENTANA_EVENTO;
444                             ventanaEvenBat(i,j)=ventanaTempAnt;
445                             break;
446                         end

```

ANEXO V

```

447         ventanaTempAct=sum(abs(cargaBat{1,i}(indice+n*VENTANA_EVENTO:indice+(n+1)*VENTANA_EVENTO-1)-
448 median(cargaBat{1,i}(indice+n*VENTANA_EVENTO:indice+(n+1)*VENTANA_EVENTO-1))));
449         if abs(ventanaTempAnt-ventanaTempAct)<=GRADIENTE
450             offBat(i,m)=indice+(n-1)*VENTANA_EVENTO;
451             ventanaEvenBat(i,j)=ventanaTempAct;
452             break;
453         else
454             ventanaTempAnt=ventanaTempAct;
455         end
456     end
457     m=m+1;
458 end
459 end
460 j=j+1;
461 end;
462 vBat{i}=vTemp;
463
464 cargaBat2{1,i}=nonzeros(cargaBat2{1,i});
465 cargaBat2{1,i}=(cargaBat2{1,i})-median(cargaBat2{1,i});
466 j=1;
467 k=1;
468 m=1;
469 vTemp=[];
470 for indice=1:WAKE_UP:size(cargaBat2{1,i},2)-VENTANA_EVENTO;
471     ventanaEvenBat2(i,j)=sum(abs(cargaBat2{1,i}(indice:indice+VENTANA_EVENTO-1)-median(cargaBat2{1,i}(indice:indice+VENTANA_EVENTO-1))));
472     vTemp=[vTemp indice];
473     if j>1
474         if ventanaEvenBat2(i,j)>ventanaEvenBat2(i,j-1)+THRESHOLD %hay evento
475             ventanaTempAnt=ventanaEvenBat2(i,j);
476             for n=1:round(WAKE_UP/VENTANA_EVENTO) %miramos las siguientes ventanas hasta una diferencia menor que GRADIENTE
477                 if indice+(n+1)*VENTANA_EVENTO>size(cargaBat2{1,i},2)-1
478                     onBat2(i,k)=indice+(n-1)*VENTANA_EVENTO;
479                     ventanaEvenBat2(i,j)=ventanaTempAnt;
480                     break;
481                 end
482                 if n==round(WAKE_UP/VENTANA_EVENTO)
483                     onBat2(i,k)=indice+(n-1)*VENTANA_EVENTO;
484                     ventanaEvenBat2(i,j)=ventanaTempAnt;
485                     break;
486                 end
487                 ventanaTempAct=sum(abs(cargaBat2{1,i}(indice+n*VENTANA_EVENTO:indice+(n+1)*VENTANA_EVENTO-1)-
488 median(cargaBat2{1,i}(indice+n*VENTANA_EVENTO:indice+(n+1)*VENTANA_EVENTO-1))));
489                 if abs(ventanaTempAnt-ventanaTempAct)<=GRADIENTE
490                     onBat2(i,k)=indice+(n-1)*VENTANA_EVENTO;
491                     ventanaEvenBat2(i,j)=ventanaTempAct;
492                     break;
493                 else
494                     ventanaTempAnt=ventanaTempAct;
495                 end
496             end
497             k=k+1;
498         end
499         if ventanaEvenBat2(i,j)<ventanaEvenBat2(i,j-1)-THRESHOLD
500             ventanaTempAnt=ventanaEvenBat2(i,j);
501             for n=1:round(WAKE_UP/VENTANA_EVENTO) %miramos las siguientes ventanas hasta una diferencia menor que GRADIENTE
502                 if indice+(n+1)*VENTANA_EVENTO>size(cargaBat2{1,i},2)-1
503                     offBat2(i,m)=indice+(n-1)*VENTANA_EVENTO;
504                     ventanaEvenBat2(i,j)=ventanaTempAct;
505                     break;
506                 end
507                 if n==round(WAKE_UP/VENTANA_EVENTO)
508                     offBat2(i,k)=indice+(n-1)*VENTANA_EVENTO;
509                     ventanaEvenBat2(i,j)=ventanaTempAct;
510                     break;
511                 end

```

ANEXO V

```

512         ventanaTempAct=sum(abs(cargaBat2{1,i}(indice+n*VENTANA_EVENTO:indice+(n+1)*VENTANA_EVENTO-1)-
513 median(cargaBat2{1,i}(indice+n*VENTANA_EVENTO:indice+(n+1)*VENTANA_EVENTO-1))));
514         if abs(ventanaTempAnt-ventanaTempAct)<=GRADIENTE
515             offBat2(i,m)=indice+(n-1)*VENTANA_EVENTO;
516             ventanaEvenBat2(i,j)=ventanaTempAct;
517             break;
518         else
519             ventanaTempAnt=ventanaTempAct;
520         end
521     end
522     m=m+1;
523 end
524 end
525 j=j+1;
526 end;
527 vBat2{i}=vTemp;
528
529 cargaBat3{1,i}=nonzeros(cargaBat3{1,i})';
530 cargaBat3{1,i}=(cargaBat3{1,i})-median(cargaBat3{1,i});
531 j=1;
532 k=1;
533 m=1;
534 vTemp=[];
535 for indice=1:WAKE_UP:size(cargaBat3{1,i},2)-VENTANA_EVENTO;
536     ventanaEvenBat3(i,j)=sum(abs(cargaBat3{1,i}(indice:indice+VENTANA_EVENTO-1)-median(cargaBat3{1,i}(indice:indice+VENTANA_EVENTO-1))));
537     vTemp=[vTemp indice];
538     if j>1
539         if ventanaEvenBat3(i,j)>ventanaEvenBat3(i,j-1)+THRESHOLD %hay evento
540             ventanaTempAnt=ventanaEvenBat3(i,j);
541             for n=1:round(WAKE_UP/VENTANA_EVENTO) %miramos las siguientes ventanas hasta una diferencia menor que GRADIENTE
542                 if indice+(n+1)*VENTANA_EVENTO>size(cargaBat3{1,i},2)-1
543                     onBat3(i,k)=indice+(n-1)*VENTANA_EVENTO;
544                     ventanaEvenBat3(i,j)=ventanaTempAct;
545                     break;
546                 end
547                 if n==round(WAKE_UP/VENTANA_EVENTO)
548                     onBat3(i,k)=indice+(n-1)*VENTANA_EVENTO;
549                     ventanaEvenBat3(i,j)=ventanaTempAct;
550                     break;
551                 end
552                 ventanaTempAct=sum(abs(cargaBat3{1,i}(indice+n*VENTANA_EVENTO:indice+(n+1)*VENTANA_EVENTO-1)-
553 median(cargaBat3{1,i}(indice+n*VENTANA_EVENTO:indice+(n+1)*VENTANA_EVENTO-1))));
554                 if abs(ventanaTempAnt-ventanaTempAct)<=GRADIENTE
555                     onBat3(i,k)=indice+(n-1)*VENTANA_EVENTO;
556                     ventanaEvenBat3(i,j)=ventanaTempAct;
557                     break;
558                 else
559                     ventanaTempAnt=ventanaTempAct;
560                 end
561             end
562             k=k+1;
563         end
564         if ventanaEvenBat3(i,j)<ventanaEvenBat3(i,j-1)-THRESHOLD
565             ventanaTempAnt=ventanaEvenBat3(i,j);
566             for n=1:round(WAKE_UP/VENTANA_EVENTO) %miramos las siguientes ventanas hasta una diferencia menor que GRADIENTE
567                 if indice+(n+1)*VENTANA_EVENTO>size(cargaBat3{1,i},2)-1
568                     offBat3(i,m)=indice+(n-1)*VENTANA_EVENTO;
569                     ventanaEvenBat3(i,j)=ventanaTempAct;
570                     break;
571                 end
572                 if n==round(WAKE_UP/VENTANA_EVENTO)
573                     offBat3(i,k)=indice+(n-1)*VENTANA_EVENTO;
574                     ventanaEvenBat3(i,j)=ventanaTempAct;
575                     break;
576                 end

```

ANEXO V

```

577         ventanaTempAct=sum(abs(cargaBat3{1,i}(indice+n*VENTANA_EVENTO:indice+(n+1)*VENTANA_EVENTO-1)-
578 median(cargaBat3{1,i}(indice+n*VENTANA_EVENTO:indice+(n+1)*VENTANA_EVENTO-1))));
579         if abs(ventanaTempAnt-ventanaTempAct)<=GRADIENTE
580             offBat3(i,m)=indice+(n-1)*VENTANA_EVENTO;
581             ventanaEvenBat3(i,j)=ventanaTempAct;
582             break;
583         else
584             ventanaTempAnt=ventanaTempAct;
585         end
586     end
587     m=m+1;
588 end
589 end
590 j=j+1;
591 end;
592 vBat3{i}=vTemp;
593
594 cargaExpr{1,i}=nonzeros(cargaExpr{1,i})';
595 cargaExpr{1,i}=(cargaExpr{1,i})-median(cargaExpr{1,i});
596 j=1;
597 k=1;
598 m=1;
599 vTemp=[];
600 for indice=1:WAKE_UP:size(cargaExpr{1,i},2)-VENTANA_EVENTO;
601     ventanaEvenExpr(i,j)=sum(abs(cargaExpr{1,i}(indice:indice+VENTANA_EVENTO-1)-median(cargaExpr{1,i}(indice:indice+VENTANA_EVENTO-1))));
602     vTemp=[vTemp indice];
603     if j>1
604         if ventanaEvenExpr(i,j)>ventanaEvenExpr(i,j-1)+THRESHOLD %hay evento
605             ventanaTempAnt=ventanaEvenExpr(i,j);
606             for n=1:round(WAKE_UP/VENTANA_EVENTO) %miramos las siguientes ventanas hasta una diferencia menor que GRADIENTE
607                 if indice+(n+1)*VENTANA_EVENTO>size(cargaExpr{1,i},2)-1
608                     onExpr(i,k)=indice+(n-1)*VENTANA_EVENTO;
609                     ventanaEvenExpr(i,j)=ventanaTempAct;
610                     break;
611                 end
612                 if n==round(WAKE_UP/VENTANA_EVENTO)
613                     onExpr(i,k)=indice+(n-1)*VENTANA_EVENTO;
614                     ventanaEvenExpr(i,j)=ventanaTempAct;
615                     break;
616                 end
617                 ventanaTempAct=sum(abs(cargaExpr{1,i}(indice+n*VENTANA_EVENTO:indice+(n+1)*VENTANA_EVENTO-1)-
618 median(cargaExpr{1,i}(indice+n*VENTANA_EVENTO:indice+(n+1)*VENTANA_EVENTO-1))));
619                 if abs(ventanaTempAnt-ventanaTempAct)<=GRADIENTE
620                     onExpr(i,k)=indice+(n-1)*VENTANA_EVENTO;
621                     ventanaEvenExpr(i,j)=ventanaTempAct;
622                     break;
623                 else
624                     ventanaTempAnt=ventanaTempAct;
625                 end
626             end
627             k=k+1;
628         end
629         if ventanaEvenExpr(i,j)<ventanaEvenExpr(i,j-1)-THRESHOLD
630             ventanaTempAnt=ventanaEvenExpr(i,j);
631             for n=1:round(WAKE_UP/VENTANA_EVENTO) %miramos las siguientes ventanas hasta una diferencia menor que GRADIENTE
632                 if indice+(n+1)*VENTANA_EVENTO>size(cargaExpr{1,i},2)-1
633                     offExpr(i,m)=indice+(n-1)*VENTANA_EVENTO;
634                     ventanaEvenExpr(i,j)=ventanaTempAct;
635                     break;
636                 end
637                 if n==round(WAKE_UP/VENTANA_EVENTO)
638                     offExpr(i,k)=indice+(n-1)*VENTANA_EVENTO;
639                     ventanaEvenExpr(i,j)=ventanaTempAct;
640                     break;
641                 end

```

ANEXO V

```

642         ventanaTempAct=sum(abs(cargaExpr{l,i}(indice+n*VENTANA_EVENTO:indice+(n+1)*VENTANA_EVENTO-1)-
643 median(cargaExpr{l,i}(indice+n*VENTANA_EVENTO:indice+(n+1)*VENTANA_EVENTO-1))));
644         if abs(ventanaTempAnt-ventanaTempAct)<=GRADIENTE
645             offExpr(i,m)=indice+(n-1)*VENTANA_EVENTO;
646             ventanaEvenExpr(i,j)=ventanaTempAct;
647             break;
648         else
649             ventanaTempAnt=ventanaTempAct;
650         end
651     end
652     m=m+1;
653 end
654 end
655 j=j+1;
656 end;
657 vExpr{i}=vTemp;
658
659 cargaMicr{l,i}=nonzeros(cargaMicr{l,i})';
660 cargaMicr{l,i}=(cargaMicr{l,i})-median(cargaMicr{l,i});
661 j=l;
662 k=l;
663 m=l;
664 vTemp=[];
665 for indice=l:WAKE_UP:size(cargaMicr{l,i},2)-VENTANA_EVENTO;
666     ventanaEvenMicr(i,j)=sum(abs(cargaMicr{l,i}(indice:indice+VENTANA_EVENTO-1)-median(cargaMicr{l,i}(indice:indice+VENTANA_EVENTO-1))));
667     vTemp=[vTemp indice];
668     if j>l
669         if ventanaEvenMicr(i,j)>ventanaEvenMicr(i,j-1)+THRESHOLD %hay evento
670             ventanaTempAnt=ventanaEvenMicr(i,j);
671             for n=l:round(WAKE_UP/VENTANA_EVENTO) %miramos las siguientes ventanas hasta una diferencia menor que GRADIENTE
672                 if indice+(n+1)*VENTANA_EVENTO>size(cargaMicr{l,i},2)-1
673                     onMicr(i,k)=indice+(n-1)*VENTANA_EVENTO;
674                     ventanaEvenMicr(i,j)=ventanaTempAnt;
675                     break;
676                 end
677                 if n==round(WAKE_UP/VENTANA_EVENTO)
678                     onMicr(i,k)=indice+(n-1)*VENTANA_EVENTO;
679                     ventanaEvenMicr(i,j)=ventanaTempAnt;
680                     break;
681                 end
682                 ventanaTempAct=sum(abs(cargaMicr{l,i}(indice+n*VENTANA_EVENTO:indice+(n+1)*VENTANA_EVENTO-1)-
683 median(cargaMicr{l,i}(indice+n*VENTANA_EVENTO:indice+(n+1)*VENTANA_EVENTO-1))));
684                 if abs(ventanaTempAnt-ventanaTempAct)<=GRADIENTE
685                     onMicr(i,k)=indice+(n-1)*VENTANA_EVENTO;
686                     ventanaEvenMicr(i,j)=ventanaTempAct;
687                     break;
688                 else
689                     ventanaTempAnt=ventanaTempAct;
690                 end
691             end
692             k=k+1;
693         end
694         if ventanaEvenMicr(i,j)<ventanaEvenMicr(i,j-1)-THRESHOLD
695             ventanaTempAnt=ventanaEvenMicr(i,j);
696             for n=l:round(WAKE_UP/VENTANA_EVENTO) %miramos las siguientes ventanas hasta una diferencia menor que GRADIENTE
697                 if indice+(n+1)*VENTANA_EVENTO>size(cargaMicr{l,i},2)-1
698                     offMicr(i,m)=indice+(n-1)*VENTANA_EVENTO;
699                     ventanaEvenMicr(i,j)=ventanaTempAct;
700                     break;
701                 end
702                 if n==round(WAKE_UP/VENTANA_EVENTO)
703                     offMicr(i,k)=indice+(n-1)*VENTANA_EVENTO;
704                     ventanaEvenMicr(i,j)=ventanaTempAct;
705                     break;
706                 end

```


ANEXO V

```

707         ventanaTempAct=sum(abs(cargaMicr{l,i}(indice+n*VENTANA_EVENTO:indice+(n+1)*VENTANA_EVENTO-l)-
708 median(cargaMicr{l,i}(indice+n*VENTANA_EVENTO:indice+(n+1)*VENTANA_EVENTO-l))));
709         if abs(ventanaTempAnt-ventanaTempAct)<=GRADIENTE
710             offMicr(i,m)=indice+(n-l)*VENTANA_EVENTO;
711             ventanaE venMicr(i,j)=ventanaTempAct;
712             break;
713         else
714             ventanaTempAnt=ventanaTempAct;
715         end
716     end
717     m=m+l;
718 end
719 end
720 j=j+l;
721 end;
722 vMicr{i}=vTemp;
723
724 cargaSand{l,i}=nonzeros(cargaSand{l,i})';
725 cargaSand{l,i}=(cargaSand{l,i})-median(cargaSand{l,i});
726 j=l;
727 k=l;
728 m=l;
729 vTemp=[];
730 for indice=l:WAKE_UP:size(cargaSand{l,i},2)-VENTANA_EVENTO;
731     ventanaE venSand(i,j)=sum(abs(cargaSand{l,i}(indice:indice+VENTANA_EVENTO-l)-median(cargaSand{l,i}(indice:indice+VENTANA_EVENTO-l))));
732     vTemp=[vTemp indice];
733     if j>l
734         if ventanaE venSand(i,j)>ventanaE venSand(i,j-l)+THRESHOLD %hay evento
735             ventanaTempAnt=ventanaE venSand(i,j);
736             for n=l:round(WAKE_UP/VENTANA_EVENTO) %miramos las siguientes ventanas hasta una diferencia menor que GRADIENTE
737                 if indice+(n+1)*VENTANA_EVENTO>size(cargaSand{l,i},2)-l
738                     onSand(i,k)=indice+(n-l)*VENTANA_EVENTO;
739                     ventanaE venSand(i,j)=ventanaTempAct;
740                     break;
741                 end
742                 if n==round(WAKE_UP/VENTANA_EVENTO)
743                     onSand(i,k)=indice+(n-l)*VENTANA_EVENTO;
744                     ventanaE venSand(i,j)=ventanaTempAct;
745                     break;
746                 end
747                 ventanaTempAct=sum(abs(cargaSand{l,i}(indice+n*VENTANA_EVENTO:indice+(n+1)*VENTANA_EVENTO-l)-
748 median(cargaSand{l,i}(indice+n*VENTANA_EVENTO:indice+(n+1)*VENTANA_EVENTO-l))));
749                 if abs(ventanaTempAnt-ventanaTempAct)<=GRADIENTE
750                     onSand(i,k)=indice+(n-l)*VENTANA_EVENTO;
751                     ventanaE venSand(i,j)=ventanaTempAct;
752                     break;
753                 else
754                     ventanaTempAnt=ventanaTempAct;
755                 end
756             end
757             k=k+l;
758         end
759         if ventanaE venSand(i,j)<ventanaE venSand(i,j-l)-THRESHOLD
760             ventanaTempAnt=ventanaE venSand(i,j);
761             for n=l:round(WAKE_UP/VENTANA_EVENTO) %miramos las siguientes ventanas hasta una diferencia menor que GRADIENTE
762                 if indice+(n+1)*VENTANA_EVENTO>size(cargaSand{l,i},2)-l
763                     offSand(i,m)=indice+(n-l)*VENTANA_EVENTO;
764                     ventanaE venSand(i,j)=ventanaTempAct;
765                     break;
766                 end
767                 if n==round(WAKE_UP/VENTANA_EVENTO)
768                     offSand(i,k)=indice+(n-l)*VENTANA_EVENTO;
769                     ventanaE venSand(i,j)=ventanaTempAct;
770                     break;
771                 end

```

ANEXO V

```

772         ventanaTempAct=sum(abs(cargaSand{1,i}(indice+n*VENTANA_EVENTO:indice+(n+1)*VENTANA_EVENTO-1)-
773 median(cargaSand{1,i}(indice+n*VENTANA_EVENTO:indice+(n+1)*VENTANA_EVENTO-1))));
774         if abs(ventanaTempAnt-ventanaTempAct)<=GRADIENTE
775             offSand(i,m)=indice+(n-1)*VENTANA_EVENTO;
776             ventanaEvenSand(i,j)=ventanaTempAct;
777             break;
778         else
779             ventanaTempAnt=ventanaTempAct;
780         end
781     end
782     m=m+1;
783 end
784 end
785 j=j+1;
786 end;
787 vSand{i}=vTemp;
788
789 cargaVenl{1,i}=nonzeros(cargaVenl{1,i})';
790 cargaVenl{1,i}=(cargaVenl{1,i})-median(cargaVenl{1,i});
791 j=1;
792 k=1;
793 m=1;
794 vTemp=[];
795 for indice=1:WAKE_UP:size(cargaVenl{1,i},2)-VENTANA_EVENTO;
796     ventanaEvenVenl(i,j)=sum(abs(cargaVenl{1,i}(indice:indice+VENTANA_EVENTO-1)-median(cargaVenl{1,i}(indice:indice+VENTANA_EVENTO-1))));
797     vTemp=[vTemp indice];
798     if j>1
799         if ventanaEvenVenl(i,j)>ventanaEvenVenl(i,j-1)+THRESHOLD %hay evento
800             ventanaTempAnt=ventanaEvenVenl(i,j);
801             for n=1:round(WAKE_UP/VENTANA_EVENTO) %miramos las siguientes ventanas hasta una diferencia menor que GRADIENTE
802                 if indice+(n+1)*VENTANA_EVENTO>size(cargaVenl{1,i},2)-1
803                     onVenl(i,k)=indice+(n-1)*VENTANA_EVENTO;
804                     ventanaEvenVenl(i,j)=ventanaTempAnt;
805                     break;
806                 end
807                 if n==round(WAKE_UP/VENTANA_EVENTO)
808                     onVenl(i,k)=indice+(n-1)*VENTANA_EVENTO;
809                     ventanaEvenVenl(i,j)=ventanaTempAnt;
810                     break;
811                 end
812                 ventanaTempAct=sum(abs(cargaVenl{1,i}(indice+n*VENTANA_EVENTO:indice+(n+1)*VENTANA_EVENTO-1)-
813 median(cargaVenl{1,i}(indice+n*VENTANA_EVENTO:indice+(n+1)*VENTANA_EVENTO-1))));
814                 if abs(ventanaTempAnt-ventanaTempAct)<=GRADIENTE
815                     onVenl(i,k)=indice+(n-1)*VENTANA_EVENTO;
816                     ventanaEvenVenl(i,j)=ventanaTempAct;
817                     break;
818                 else
819                     ventanaTempAnt=ventanaTempAct;
820                 end
821             end
822             k=k+1;
823         end
824         if ventanaEvenVenl(i,j)<ventanaEvenVenl(i,j-1)-THRESHOLD
825             ventanaTempAnt=ventanaEvenVenl(i,j);
826             for n=1:round(WAKE_UP/VENTANA_EVENTO) %miramos las siguientes ventanas hasta una diferencia menor que GRADIENTE
827                 if indice+(n+1)*VENTANA_EVENTO>size(cargaVenl{1,i},2)-1
828                     offVenl(i,m)=indice+(n-1)*VENTANA_EVENTO;
829                     ventanaEvenVenl(i,j)=ventanaTempAct;
830                     break;
831                 end
832                 if n==round(WAKE_UP/VENTANA_EVENTO)
833                     offVenl(i,k)=indice+(n-1)*VENTANA_EVENTO;
834                     ventanaEvenVenl(i,j)=ventanaTempAct;
835                     break;
836                 end

```

ANEXO V

```

837         ventanaTempAct=sum(abs(cargaVenl{1,i}(indice+n*VENTANA_EVENTO:indice+(n+1)*VENTANA_EVENTO-1)-
838 median(cargaVenl{1,i}(indice+n*VENTANA_EVENTO:indice+(n+1)*VENTANA_EVENTO-1))));
839         if abs(ventanaTempAnt-ventanaTempAct)<=GRADIENTE
840             offVenl(i,m)=indice+(n-1)*VENTANA_EVENTO;
841             ventanaEvenVenl(i,j)=ventanaTempAct;
842             break;
843         else
844             ventanaTempAnt=ventanaTempAct;
845         end
846     end
847     m=m+1;
848 end
849 end
850 j=j+1;
851 end;
852 vVenl{i}=vTemp;
853
854 cargaMicrOnYSandOn{1,i}=nonzeros(cargaMicrOnYSandOn{1,i})';
855 cargaMicrOnYSandOn{1,i}=(cargaMicrOnYSandOn{1,i})-median(cargaMicrOnYSandOn{1,i});
856 j=1;
857 k=1;
858 m=1;
859 vTemp=[];
860 for indice=1:WAKE_UP:size(cargaMicrOnYSandOn{1,i},2)-VENTANA_EVENTO;
861     ventanaEvenMicrOnYSandOn(i,j)=sum(abs(cargaMicrOnYSandOn{1,i}(indice:indice+VENTANA_EVENTO-1)-
862 median(cargaMicrOnYSandOn{1,i}(indice:indice+VENTANA_EVENTO-1))));
863     vTemp=[vTemp indice];
864     if j>1
865         if ventanaEvenMicrOnYSandOn(i,j)>ventanaEvenMicrOnYSandOn(i,j-1)+THRESHOLD %hay evento
866             ventanaTempAnt=ventanaEvenMicrOnYSandOn(i,j);
867             for n=1:round(WAKE_UP/VENTANA_EVENTO) %miramos las siguientes ventanas hasta una diferencia menor que GRADIENTE
868                 if indice+(n+1)*VENTANA_EVENTO>size(cargaMicrOnYSandOn{1,i},2)-1
869                     onMicrOnYSandOn(i,k)=indice+(n-1)*VENTANA_EVENTO;
870                     ventanaEvenMicrOnYSandOn(i,j)=ventanaTempAct;
871                     break;
872                 end
873                 if n==round(WAKE_UP/VENTANA_EVENTO)
874                     onMicrOnYSandOn(i,k)=indice+(n-1)*VENTANA_EVENTO;
875                     ventanaEvenMicrOnYSandOn(i,j)=ventanaTempAct;
876                     break;
877                 end
878                 ventanaTempAct=sum(abs(cargaMicrOnYSandOn{1,i}(indice+n*VENTANA_EVENTO:indice+(n+1)*VENTANA_EVENTO-1)-
879 median(cargaMicrOnYSandOn{1,i}(indice+n*VENTANA_EVENTO:indice+(n+1)*VENTANA_EVENTO-1))));
880                 if abs(ventanaTempAnt-ventanaTempAct)<=GRADIENTE
881                     onMicrOnYSandOn(i,k)=indice+(n-1)*VENTANA_EVENTO;
882                     ventanaEvenMicrOnYSandOn(i,j)=ventanaTempAct;
883                     break;
884                 else
885                     ventanaTempAnt=ventanaTempAct;
886                 end
887             end
888             k=k+1;
889         end
890         if ventanaEvenMicrOnYSandOn(i,j)<ventanaEvenMicrOnYSandOn(i,j-1)-THRESHOLD
891             ventanaTempAnt=ventanaEvenMicrOnYSandOn(i,j);
892             for n=1:round(WAKE_UP/VENTANA_EVENTO) %miramos las siguientes ventanas hasta una diferencia menor que GRADIENTE
893                 if indice+(n+1)*VENTANA_EVENTO>size(cargaMicrOnYSandOn{1,i},2)-1
894                     offMicrOnYSandOn(i,m)=indice+(n-1)*VENTANA_EVENTO;
895                     ventanaEvenMicrOnYSandOn(i,j)=ventanaTempAct;
896                     break;
897                 end
898                 if n==round(WAKE_UP/VENTANA_EVENTO)
899                     offMicrOnYSandOn(i,k)=indice+(n-1)*VENTANA_EVENTO;
900                     ventanaEvenMicrOnYSandOn(i,j)=ventanaTempAct;
901                     break;

```

ANEXO V

```

902         end
903         ventanaTempAct=sum(abs(cargaMicrOnYSandOn{1,i}(indice+n*VENTANA_EVENTO:indice+(n+1)*VENTANA_EVENTO-1)-
904 median(cargaMicrOnYSandOn{1,i}(indice+n*VENTANA_EVENTO:indice+(n+1)*VENTANA_EVENTO-1))));
905         if abs(ventanaTempAnt-ventanaTempAct)<=GRADIENTE
906             offMicrOnYSandOn(i,m)=indice+(n-1)*VENTANA_EVENTO;
907             ventanaEvenMicrOnYSandOn(i,j)=ventanaTempAct;
908             break;
909         else
910             ventanaTempAnt=ventanaTempAct;
911         end
912     end
913     m=m+1;
914 end
915 end
916 j=j+1;
917 end;
918 vMicrOnYSandOn{i}=vTemp;
919
920 cargaSandOnYBat3On{1,i}=nonzeros(cargaSandOnYBat3On{1,i})';
921 cargaSandOnYBat3On{1,i}=(cargaSandOnYBat3On{1,i})-median(cargaSandOnYBat3On{1,i});
922 j=1;
923 k=1;
924 m=1;
925 vTemp=[];
926 for indice=1:WAKE_UP:size(cargaSandOnYBat3On{1,i},2)-VENTANA_EVENTO;
927     ventanaEvenSandOnYBat3On(i,j)=sum(abs(cargaSandOnYBat3On{1,i}(indice:indice+VENTANA_EVENTO-1)-
928 median(cargaSandOnYBat3On{1,i}(indice:indice+VENTANA_EVENTO-1))));
929     vTemp=[vTemp indice];
930     if j>1
931         if ventanaEvenSandOnYBat3On(i,j)>ventanaEvenSandOnYBat3On(i,j-1)+THRESHOLD %hay evento
932             ventanaTempAnt=ventanaEvenSandOnYBat3On(i,j);
933             for n=1:round(WAKE_UP/VENTANA_EVENTO) %miramos las siguientes ventanas hasta una diferencia menor que GRADIENTE
934                 if indice+(n+1)*VENTANA_EVENTO>size(cargaSandOnYBat3On{1,i},2)-1
935                     onSandOnYBat3On(i,k)=indice+(n-1)*VENTANA_EVENTO;
936                     ventanaEvenSandOnYBat3On(i,j)=ventanaTempAct;
937                     break;
938                 end
939                 if n==round(WAKE_UP/VENTANA_EVENTO)
940                     onSandOnYBat3On(i,k)=indice+(n-1)*VENTANA_EVENTO;
941                     ventanaEvenSandOnYBat3On(i,j)=ventanaTempAct;
942                     break;
943                 end
944                 ventanaTempAct=sum(abs(cargaSandOnYBat3On{1,i}(indice+n*VENTANA_EVENTO:indice+(n+1)*VENTANA_EVENTO-1)-
945 median(cargaSandOnYBat3On{1,i}(indice+n*VENTANA_EVENTO:indice+(n+1)*VENTANA_EVENTO-1))));
946                 if abs(ventanaTempAnt-ventanaTempAct)<=GRADIENTE
947                     onSandOnYBat3On(i,k)=indice+(n-1)*VENTANA_EVENTO;
948                     ventanaEvenSandOnYBat3On(i,j)=ventanaTempAct;
949                     break;
950                 else
951                     ventanaTempAnt=ventanaTempAct;
952                 end
953             end
954             k=k+1;
955         end
956         if ventanaEvenSandOnYBat3On(i,j)<ventanaEvenSandOnYBat3On(i,j-1)-THRESHOLD
957             ventanaTempAnt=ventanaEvenSandOnYBat3On(i,j);
958             for n=1:round(WAKE_UP/VENTANA_EVENTO) %miramos las siguientes ventanas hasta una diferencia menor que GRADIENTE
959                 if indice+(n+1)*VENTANA_EVENTO>size(cargaSandOnYBat3On{1,i},2)-1
960                     offSandOnYBat3On(i,m)=indice+(n-1)*VENTANA_EVENTO;
961                     ventanaEvenSandOnYBat3On(i,j)=ventanaTempAct;
962                     break;
963                 end
964                 if n==round(WAKE_UP/VENTANA_EVENTO)
965                     offSandOnYBat3On(i,k)=indice+(n-1)*VENTANA_EVENTO;
966                     ventanaEvenSandOnYBat3On(i,j)=ventanaTempAct;

```

ANEXO V

```

967         break;
968     end
969     ventanaTempAct=sum(abs(cargaSandOnYBat3On{1,i}(indice+n*VENTANA_EVENTO:indice+(n+1)*VENTANA_EVENTO-1)-
970 median(cargaSandOnYBat3On{1,i}(indice+n*VENTANA_EVENTO:indice+(n+1)*VENTANA_EVENTO-1))));
971     if abs(ventanaTempAnt-ventanaTempAct)<=GRADIENTE
972         offSandOnYBat3On(i,m)=indice+(n-1)*VENTANA_EVENTO;
973         ventanaEvenSandOnYBat3On(i,j)=ventanaTempAct;
974         break;
975     else
976         ventanaTempAnt=ventanaTempAct;
977     end
978 end
979 m=m+1;
980 end
981 end
982 j=j+1;
983 end;
984 vSandOnYBat3On{i}=vTemp;
985
986 cargaVenlOnYBat3On{1,i}=nonzeros(cargaVenlOnYBat3On{1,i})';
987 cargaVenlOnYBat3On{1,i}=(cargaVenlOnYBat3On{1,i})-median(cargaVenlOnYBat3On{1,i});
988 j=l;
989 k=l;
990 m=l;
991 vTemp=[];
992 for indice=l:WAKE_UP:size(cargaVenlOnYBat3On{1,i},2)-VENTANA_EVENTO;
993     ventanaEvenVenlOnYBat3On(i,j)=sum(abs(cargaVenlOnYBat3On{1,i}(indice:indice+VENTANA_EVENTO-1)-
994 median(cargaVenlOnYBat3On{1,i}(indice:indice+VENTANA_EVENTO-1))));
995     vTemp=[vTemp indice];
996     if j>l
997         if ventanaEvenVenlOnYBat3On(i,j)>ventanaEvenVenlOnYBat3On(i,j-1)+THRESHOLD %hay evento
998             ventanaTempAnt=ventanaEvenVenlOnYBat3On(i,j);
999             for n=l:round(WAKE_UP/VENTANA_EVENTO) %miramos las siguientes ventanas hasta una diferencia menor que GRADIENTE
1000                 if indice+(n+1)*VENTANA_EVENTO>size(cargaVenlOnYBat3On{1,i},2)-l
1001                     onVenlOnYBat3On(i,k)=indice+(n-1)*VENTANA_EVENTO;
1002                     ventanaEvenVenlOnYBat3On(i,j)=ventanaTempAct;
1003                     break;
1004                 end
1005                 if n==round(WAKE_UP/VENTANA_EVENTO)
1006                     onVenlOnYBat3On(i,k)=indice+(n-1)*VENTANA_EVENTO;
1007                     ventanaEvenVenlOnYBat3On(i,j)=ventanaTempAct;
1008                     break;
1009                 end
1010                 ventanaTempAct=sum(abs(cargaVenlOnYBat3On{1,i}(indice+n*VENTANA_EVENTO:indice+(n+1)*VENTANA_EVENTO-1)-
1011 median(cargaVenlOnYBat3On{1,i}(indice+n*VENTANA_EVENTO:indice+(n+1)*VENTANA_EVENTO-1))));
1012                 if abs(ventanaTempAnt-ventanaTempAct)<=GRADIENTE
1013                     onVenlOnYBat3On(i,k)=indice+(n-1)*VENTANA_EVENTO;
1014                     ventanaEvenVenlOnYBat3On(i,j)=ventanaTempAct;
1015                     break;
1016                 else
1017                     ventanaTempAnt=ventanaTempAct;
1018                 end
1019             end
1020             k=k+1;
1021         end
1022         if ventanaEvenVenlOnYBat3On(i,j)<ventanaEvenVenlOnYBat3On(i,j-1)-THRESHOLD
1023             ventanaTempAnt=ventanaEvenVenlOnYBat3On(i,j);
1024             for n=l:round(WAKE_UP/VENTANA_EVENTO) %miramos las siguientes ventanas hasta una diferencia menor que GRADIENTE
1025                 if indice+(n+1)*VENTANA_EVENTO>size(cargaVenlOnYBat3On{1,i},2)-l
1026                     offVenlOnYBat3On(i,m)=indice+(n-1)*VENTANA_EVENTO;
1027                     ventanaEvenVenlOnYBat3On(i,j)=ventanaTempAct;
1028                     break;
1029                 end
1030                 if n==round(WAKE_UP/VENTANA_EVENTO)
1031                     offVenlOnYBat3On(i,k)=indice+(n-1)*VENTANA_EVENTO;

```

ANEXO V

```

1032         ventanaEvenVenIDnYBat3Dn(i,j)=ventanaTempAct;
1033         break;
1034     end
1035     ventanaTempAct=sum(abs(cargaVenIDnYBat3Dn{1,i}(indice+n*VENTANA_EVENTO:indice+(n+1)*VENTANA_EVENTO-1)-
1036 median(cargaVenIDnYBat3Dn{1,i}(indice+n*VENTANA_EVENTO:indice+(n+1)*VENTANA_EVENTO-1))));
1037     if abs(ventanaTempAnt-ventanaTempAct)<=GRADIENTE
1038         offVenIDnYBat3Dn(i,m)=indice+(n-1)*VENTANA_EVENTO;
1039         ventanaEvenVenIDnYBat3Dn(i,j)=ventanaTempAct;
1040         break;
1041     else
1042         ventanaTempAnt=ventanaTempAct;
1043     end
1044 end
1045 m=m+1;
1046 end
1047 end
1048 j=j+1;
1049 end;
1050 vVenIDnYBat3Dn{i}=vTemp;
1051
1052 cargaVenIDnYMicrDnYSandDn{1,i}=nonzeros(cargaVenIDnYMicrDnYSandDn{1,i})';
1053 cargaVenIDnYMicrDnYSandDn{1,i}=(cargaVenIDnYMicrDnYSandDn{1,i})-median(cargaVenIDnYMicrDnYSandDn{1,i});
1054 j=1;
1055 k=1;
1056 m=1;
1057 vTemp=[];
1058 for indice=1:WAKE_UP:size(cargaVenIDnYMicrDnYSandDn{1,i},2)-VENTANA_EVENTO;
1059     ventanaEvenVenIDnYMicrDnYSandDn(i,j)=sum(abs(cargaVenIDnYMicrDnYSandDn{1,i}(indice:indice+VENTANA_EVENTO-1)-
1060 median(cargaVenIDnYMicrDnYSandDn{1,i}(indice:indice+VENTANA_EVENTO-1))));
1061     vTemp=[vTemp indice];
1062     if j>1
1063         if ventanaEvenVenIDnYMicrDnYSandDn(i,j)>ventanaEvenVenIDnYMicrDnYSandDn(i,j-1)+THRESHOLD %hay evento
1064             ventanaTempAnt=ventanaEvenVenIDnYMicrDnYSandDn(i,j);
1065             for n=1:round(WAKE_UP/VENTANA_EVENTO) %miramos las siguientes ventanas hasta una diferencia menor que GRADIENTE
1066                 if indice+(n-1)*VENTANA_EVENTO>size(cargaVenIDnYMicrDnYSandDn{1,i},2)-1
1067                     onVenIDnYMicrDnYSandDn(i,k)=indice+(n-1)*VENTANA_EVENTO;
1068                     ventanaEvenVenIDnYMicrDnYSandDn(i,j)=ventanaTempAct;
1069                     break;
1070                 end
1071                 if n==round(WAKE_UP/VENTANA_EVENTO)
1072                     onVenIDnYMicrDnYSandDn(i,k)=indice+(n-1)*VENTANA_EVENTO;
1073                     ventanaEvenVenIDnYMicrDnYSandDn(i,j)=ventanaTempAct;
1074                     break;
1075                 end
1076                 ventanaTempAct=sum(abs(cargaVenIDnYMicrDnYSandDn{1,i}(indice+n*VENTANA_EVENTO:indice+(n+1)*VENTANA_EVENTO-1)-
1077 median(cargaVenIDnYMicrDnYSandDn{1,i}(indice+n*VENTANA_EVENTO:indice+(n+1)*VENTANA_EVENTO-1))));
1078                 if abs(ventanaTempAnt-ventanaTempAct)<=GRADIENTE
1079                     onVenIDnYMicrDnYSandDn(i,k)=indice+(n-1)*VENTANA_EVENTO;
1080                     ventanaEvenVenIDnYMicrDnYSandDn(i,j)=ventanaTempAct;
1081                     break;
1082                 else
1083                     ventanaTempAnt=ventanaTempAct;
1084                 end
1085             end
1086             k=k+1;
1087         end
1088         if ventanaEvenVenIDnYMicrDnYSandDn(i,j)<ventanaEvenVenIDnYMicrDnYSandDn(i,j-1)-THRESHOLD
1089             ventanaTempAnt=ventanaEvenVenIDnYMicrDnYSandDn(i,j);
1090             for n=1:round(WAKE_UP/VENTANA_EVENTO) %miramos las siguientes ventanas hasta una diferencia menor que GRADIENTE
1091                 if indice+(n-1)*VENTANA_EVENTO>size(cargaVenIDnYMicrDnYSandDn{1,i},2)-1
1092                     offVenIDnYMicrDnYSandDn(i,m)=indice+(n-1)*VENTANA_EVENTO;
1093                     ventanaEvenVenIDnYMicrDnYSandDn(i,j)=ventanaTempAct;
1094                     break;
1095                 end
1096                 if n==round(WAKE_UP/VENTANA_EVENTO)

```

ANEXO V

```

1097         offVenlOnYMicrOnYSandOn(i,k)=indice+(n-l)*VENTANA_EVENTO;
1098         ventanaEvenVenlOnYMicrOnYSandOn(i,j)=ventanaTempAct;
1099         break;
1100     end
1101     ventanaTempAct=sum(abs(cargaVenlOnYMicrOnYSandOn{1,i}(indice+n*VENTANA_EVENTO:indice+(n+1)*VENTANA_EVENTO-l)-
1102 median(cargaVenlOnYMicrOnYSandOn{1,i}(indice+n*VENTANA_EVENTO:indice+(n+1)*VENTANA_EVENTO-l))));
1103     if abs(ventanaTempAnt-ventanaTempAct)<=GRADIENTE
1104         offVenlOnYMicrOnYSandOn(i,m)=indice+(n-l)*VENTANA_EVENTO;
1105         ventanaEvenVenlOnYMicrOnYSandOn(i,j)=ventanaTempAct;
1106         break;
1107     else
1108         ventanaTempAnt=ventanaTempAct;
1109     end
1110 end
1111 m=m+l;
1112 end
1113 end
1114 j=j+l;
1115 end;
1116 vVenlOnYMicrOnYSandOn{i}=vTemp;
1117
1118 end;
1119 clear ventana ventanaTempAnt ventanaTempAct j k m n ;
1120
1121
1122 %% VER EVENTOS
1123 for z=l:TRIALS
1124     figure;
1125     hold;
1126     %Marca Ventana
1127     X=ones(1,2)*max(cargaBat{1,z});
1128     Y=ones(1,2)*max(cargaBat{1,z});
1129     for x=l:size(vBat{z},2)
1130         h=area([vBat{z}(x) vBat{z}(x)+VENTANA_EVENTO],[max(cargaBat{1,z}) max(cargaBat{1,z})]...
1131         'FaceColor','y');
1132         set(h,'BaseValue',min(cargaBat{1,z}))
1133     end
1134     %Marca On
1135     for x=l:size(onBat,2)
1136         %h=area([onBat(z,x) onBat(z,x)+VENTANA_EVENTO],[max(cargaBat{1,z}) max(cargaBat{1,z})]...
1137         if onBat(z,x) %si es distinto de cero se pinta
1138             h=area([onBat(z,x) onBat(z,x)+VENTANA_EVENTO],X,...
1139             'FaceColor','g');
1140             set(h,'BaseValue',min(cargaBat{1,z}))
1141         end
1142     end
1143     %Marca Off
1144     for x=l:size(offBat,2)
1145         %h=area([offBat(z,x) offBat(z,x)+VENTANA_EVENTO],[max(cargaBat{1,z}) max(cargaBat{1,z})]...
1146         if offBat(z,x)
1147             h=area([offBat(z,x) offBat(z,x)+VENTANA_EVENTO],Y,...
1148             'FaceColor','r');
1149             set(h,'BaseValue',min(cargaBat{1,z}))
1150         end
1151     end
1152     plot(cargaBat{1,z},'k')
1153     title('cargaBat')
1154
1155 end
1156 pause;
1157 close all;
1158
1159 for z=l:TRIALS
1160     figure;
1161     hold;

```

ANEXO V

```

1162 %Marca Ventana
1163 X=ones(1,2)*max(cargaBat2{1,z});
1164 Y=ones(1,2)*max(cargaBat2{1,z});
1165 for x=1:size(vBat2{z},2)
1166     h=area([vBat2{z}(x) vBat2{z}(x)+VENTANA_EVENTO],[max(cargaBat2{1,z}) max(cargaBat2{1,z})],...
1167         'FaceColor','y');
1168     set(h,'BaseValue',min(cargaBat2{1,z}))
1169 end
1170 %Marca On
1171 for x=1:size(onBat2,2)
1172     %h=area([onBat2(z,x) onBat2(z,x)+VENTANA_EVENTO],[max(cargaBat2{1,z}) max(cargaBat2{1,z})],...
1173     if onBat2(z,x) %si es distinto de cero se pinta
1174         h=area([onBat2(z,x) onBat2(z,x)+VENTANA_EVENTO],X,...
1175             'FaceColor','g');
1176         set(h,'BaseValue',min(cargaBat2{1,z}))
1177     end
1178 end
1179 %Marca Off
1180 for x=1:size(offBat2,2)
1181     %h=area([offBat2(z,x) offBat2(z,x)+VENTANA_EVENTO],[max(cargaBat2{1,z}) max(cargaBat2{1,z})],...
1182     if offBat2(z,x)
1183         h=area([offBat2(z,x) offBat2(z,x)+VENTANA_EVENTO],Y,...
1184             'FaceColor','r');
1185         set(h,'BaseValue',min(cargaBat2{1,z}))
1186     end
1187 end
1188 plot(cargaBat2{1,z},'k')
1189 title('cargaBat2')
1190
1191 end
1192 pause;
1193 close all;
1194
1195 for z=1:TRIALS
1196     figure;
1197     hold;
1198     %Marca Ventana
1199     X=ones(1,2)*max(cargaBat3{1,z});
1200     Y=ones(1,2)*max(cargaBat3{1,z});
1201     for x=1:size(vBat3{z},2)
1202         h=area([vBat3{z}(x) vBat3{z}(x)+VENTANA_EVENTO],[max(cargaBat3{1,z}) max(cargaBat3{1,z})],...
1203             'FaceColor','y');
1204         set(h,'BaseValue',min(cargaBat3{1,z}))
1205     end
1206     %Marca On
1207     for x=1:size(onBat3,2)
1208         %h=area([onBat3(z,x) onBat3(z,x)+VENTANA_EVENTO],[max(cargaBat3{1,z}) max(cargaBat3{1,z})],...
1209         if onBat3(z,x) %si es distinto de cero se pinta
1210             h=area([onBat3(z,x) onBat3(z,x)+VENTANA_EVENTO],X,...
1211                 'FaceColor','g');
1212             set(h,'BaseValue',min(cargaBat3{1,z}))
1213         end
1214     end
1215     %Marca Off
1216     for x=1:size(offBat3,2)
1217         %h=area([offBat3(z,x) offBat3(z,x)+VENTANA_EVENTO],[max(cargaBat3{1,z}) max(cargaBat3{1,z})],...
1218         if offBat3(z,x)
1219             h=area([offBat3(z,x) offBat3(z,x)+VENTANA_EVENTO],Y,...
1220                 'FaceColor','r');
1221             set(h,'BaseValue',min(cargaBat3{1,z}))
1222         end
1223     end
1224     plot(cargaBat3{1,z},'k')
1225     title('cargaBat3')
1226

```


ANEXO V

```

1227     end
1228     pause;
1229     close all;
1230
1231     for z=1:TRIALS
1232         figure;
1233         hold;
1234         %Marca Ventana
1235         X=ones(1,2)*max(cargaExpr{1,z});
1236         Y=ones(1,2)*max(cargaExpr{1,z});
1237         for x=1:size(vExpr{z},2)
1238             h=area([vExpr{z}(x) vExpr{z}(x)+VENTANA_EVENTO],[max(cargaExpr{1,z}) max(cargaExpr{1,z})],...
1239                 'FaceColor','y');
1240             set(h,'BaseValue',min(cargaExpr{1,z}))
1241         end
1242         %Marca On
1243         for x=1:size(onExpr,2)
1244             %h=area([onExpr(z,x) onExpr(z,x)+VENTANA_EVENTO],[max(cargaExpr{1,z}) max(cargaExpr{1,z})],...
1245                 if onExpr(z,x) %si es distinto de cero se pinta
1246                     h=area([onExpr(z,x) onExpr(z,x)+VENTANA_EVENTO],X,...
1247                         'FaceColor','g');
1248                     set(h,'BaseValue',min(cargaExpr{1,z}))
1249                 end
1250             end
1251         %Marca Off
1252         for x=1:size(offExpr,2)
1253             %h=area([offExpr(z,x) offExpr(z,x)+VENTANA_EVENTO],[max(cargaExpr{1,z}) max(cargaExpr{1,z})],...
1254                 if offExpr(z,x)
1255                     h=area([offExpr(z,x) offExpr(z,x)+VENTANA_EVENTO],Y,...
1256                         'FaceColor','r');
1257                     set(h,'BaseValue',min(cargaExpr{1,z}))
1258                 end
1259             end
1260         plot(cargaExpr{1,z},'k')
1261         title('cargaExpr')
1262     end
1263     pause;
1264     close all;
1265
1266     for z=1:TRIALS
1267         figure;
1268         hold;
1269         %Marca Ventana
1270         X=ones(1,2)*max(cargaMicr{1,z});
1271         Y=ones(1,2)*max(cargaMicr{1,z});
1272         for x=1:size(vMicr{z},2)
1273             h=area([vMicr{z}(x) vMicr{z}(x)+VENTANA_EVENTO],[max(cargaMicr{1,z}) max(cargaMicr{1,z})],...
1274                 'FaceColor','y');
1275             set(h,'BaseValue',min(cargaMicr{1,z}))
1276         end
1277         %Marca On
1278         for x=1:size(onMicr,2)
1279             %h=area([onMicr(z,x) onMicr(z,x)+VENTANA_EVENTO],[max(cargaMicr{1,z}) max(cargaMicr{1,z})],...
1280                 if onMicr(z,x) %si es distinto de cero se pinta
1281                     h=area([onMicr(z,x) onMicr(z,x)+VENTANA_EVENTO],X,...
1282                         'FaceColor','g');
1283                     set(h,'BaseValue',min(cargaMicr{1,z}))
1284                 end
1285             end
1286         %Marca Off
1287         for x=1:size(offMicr,2)
1288             %h=area([offMicr(z,x) offMicr(z,x)+VENTANA_EVENTO],[max(cargaMicr{1,z}) max(cargaMicr{1,z})],...
1289                 if offMicr(z,x)
1290                     h=area([offMicr(z,x) offMicr(z,x)+VENTANA_EVENTO],Y,...

```

ANEXO V

```

1292         'FaceColor','r');
1293         set(h,'BaseValue',min(cargaMicr{l,z}))
1294     end
1295 end
1296 plot(cargaMicr{l,z},'k')
1297 title('cargaMicr')
1298
1299 end
1300 pause;
1301 close all;
1302
1303 for z=1:TRIALS
1304     figure;
1305     hold;
1306     %Marca Ventana
1307     X=ones(1,2)*max(cargaSand{l,z});
1308     Y=ones(1,2)*max(cargaSand{l,z});
1309     for x=1:size(vSand{z},2)
1310         h=area([vSand{z}(x) vSand{z}(x)+VENTANA_EVENTO],[max(cargaSand{l,z}) max(cargaSand{l,z})],...
1311             'FaceColor','y');
1312         set(h,'BaseValue',min(cargaSand{l,z}))
1313     end
1314     %Marca On
1315     for x=1:size(onSand,2)
1316         %h=area([onSand(z,x) onSand(z,x)+VENTANA_EVENTO],[max(cargaSand{l,z}) max(cargaSand{l,z})],...
1317         if onSand(z,x) %si es distinto de cero se pinta
1318             h=area([onSand(z,x) onSand(z,x)+VENTANA_EVENTO],X,...
1319                 'FaceColor','g');
1320             set(h,'BaseValue',min(cargaSand{l,z}))
1321         end
1322     end
1323     %Marca Off
1324     for x=1:size(offSand,2)
1325         %h=area([offSand(z,x) offSand(z,x)+VENTANA_EVENTO],[max(cargaSand{l,z}) max(cargaSand{l,z})],...
1326         if offSand(z,x)
1327             h=area([offSand(z,x) offSand(z,x)+VENTANA_EVENTO],Y,...
1328                 'FaceColor','r');
1329             set(h,'BaseValue',min(cargaSand{l,z}))
1330         end
1331     end
1332     plot(cargaSand{l,z},'k')
1333     title('cargaSand')
1334
1335 end
1336 pause;
1337 close all;
1338
1339 for z=1:TRIALS
1340     figure;
1341     hold;
1342     %Marca Ventana
1343     X=ones(1,2)*max(cargaVenl{l,z});
1344     Y=ones(1,2)*max(cargaVenl{l,z});
1345     for x=1:size(vVenl{z},2)
1346         h=area([vVenl{z}(x) vVenl{z}(x)+VENTANA_EVENTO],[max(cargaVenl{l,z}) max(cargaVenl{l,z})],...
1347             'FaceColor','y');
1348         set(h,'BaseValue',min(cargaVenl{l,z}))
1349     end
1350     %Marca On
1351     for x=1:size(onVenl,2)
1352         %h=area([onVenl(z,x) onVenl(z,x)+VENTANA_EVENTO],[max(cargaVenl{l,z}) max(cargaVenl{l,z})],...
1353         if onVenl(z,x) %si es distinto de cero se pinta
1354             h=area([onVenl(z,x) onVenl(z,x)+VENTANA_EVENTO],X,...
1355                 'FaceColor','g');
1356             set(h,'BaseValue',min(cargaVenl{l,z}))

```

ANEXO V

```

1357     end
1358 end
1359 %Marca Off
1360 for x=1:size(offVenl,2)
1361     %h=area([offVenl(z,x) offVenl(z,x)+VENTANA_EVENTO],[max(cargaVenl{1,z}) max(cargaVenl{1,z})],...
1362     if offVenl(z,x)
1363         h=area([offVenl(z,x) offVenl(z,x)+VENTANA_EVENTO],Y,...
1364         'FaceColor','r');
1365         set(h,'BaseValue',min(cargaVenl{1,z}))
1366     end
1367 end
1368 plot(cargaVenl{1,z},'k')
1369 title('cargaVenl')
1370
1371 end
1372 pause;
1373 close all;
1374
1375 for z=1:TRIALS
1376     figure;
1377     hold;
1378     %Marca Ventana
1379     X=ones(1,2)*max(cargaMicrOnYSandOn{1,z});
1380     Y=ones(1,2)*max(cargaMicrOnYSandOn{1,z});
1381     for x=1:size(vMicrOnYSandOn{z},2)
1382         h=area([vMicrOnYSandOn{z}(x) vMicrOnYSandOn{z}(x)+VENTANA_EVENTO],[max(cargaMicrOnYSandOn{1,z}) max(cargaMicrOnYSandOn{1,z})],...
1383         'FaceColor','y');
1384         set(h,'BaseValue',min(cargaMicrOnYSandOn{1,z}))
1385     end
1386     %Marca On
1387     for x=1:size(onMicrOnYSandOn,2)
1388         %h=area([onMicrOnYSandOn(z,x) onMicrOnYSandOn(z,x)+VENTANA_EVENTO],[max(cargaMicrOnYSandOn{1,z}) max(cargaMicrOnYSandOn{1,z})],...
1389         if onMicrOnYSandOn(z,x) %si es distinto de cero se pinta
1390             h=area([onMicrOnYSandOn(z,x) onMicrOnYSandOn(z,x)+VENTANA_EVENTO],X,...
1391             'FaceColor','g');
1392             set(h,'BaseValue',min(cargaMicrOnYSandOn{1,z}))
1393         end
1394     end
1395     %Marca Off
1396     for x=1:size(offMicrOnYSandOn,2)
1397         %h=area([offMicrOnYSandOn(z,x) offMicrOnYSandOn(z,x)+VENTANA_EVENTO],[max(cargaMicrOnYSandOn{1,z}) max(cargaMicrOnYSandOn{1,z})],...
1398         if offMicrOnYSandOn(z,x)
1399             h=area([offMicrOnYSandOn(z,x) offMicrOnYSandOn(z,x)+VENTANA_EVENTO],Y,...
1400             'FaceColor','r');
1401             set(h,'BaseValue',min(cargaMicrOnYSandOn{1,z}))
1402         end
1403     end
1404     plot(cargaMicrOnYSandOn{1,z},'k')
1405     title('cargaMicrOnYSandOn')
1406
1407 end
1408 pause;
1409 close all;
1410
1411 for z=1:TRIALS
1412     figure;
1413     hold;
1414     %Marca Ventana
1415     X=ones(1,2)*max(cargaSandOnYBat3On{1,z});
1416     Y=ones(1,2)*max(cargaSandOnYBat3On{1,z});
1417     for x=1:size(vSandOnYBat3On{z},2)
1418         h=area([vSandOnYBat3On{z}(x) vSandOnYBat3On{z}(x)+VENTANA_EVENTO],[max(cargaSandOnYBat3On{1,z}) max(cargaSandOnYBat3On{1,z})],...
1419         'FaceColor','y');
1420         set(h,'BaseValue',min(cargaSandOnYBat3On{1,z}))
1421     end

```

ANEXO V

```

1422 %Marca On
1423 for x=1:size(onSandOnYBat3Dn,2)
1424 %h=area([onSandOnYBat3Dn(z,x) onSandOnYBat3Dn(z,x)+VENTANA_EVENTO],[max(cargaSandOnYBat3Dn{1,z}) max(cargaSandOnYBat3Dn{1,z})]...
1425 if onSandOnYBat3Dn(z,x) %si es distinto de cero se pinta
1426 h=area([onSandOnYBat3Dn(z,x) onSandOnYBat3Dn(z,x)+VENTANA_EVENTO],X,...
1427 'FaceColor','g');
1428 set(h,'BaseValue',min(cargaSandOnYBat3Dn{1,z}))
1429 end
1430 end
1431 %Marca Off
1432 for x=1:size(offSandOnYBat3Dn,2)
1433 %h=area([offSandOnYBat3Dn(z,x) offSandOnYBat3Dn(z,x)+VENTANA_EVENTO],[max(cargaSandOnYBat3Dn{1,z}) max(cargaSandOnYBat3Dn{1,z})]...
1434 if offSandOnYBat3Dn(z,x)
1435 h=area([offSandOnYBat3Dn(z,x) offSandOnYBat3Dn(z,x)+VENTANA_EVENTO],Y,...
1436 'FaceColor','r');
1437 set(h,'BaseValue',min(cargaSandOnYBat3Dn{1,z}))
1438 end
1439 end
1440 plot(cargaSandOnYBat3Dn{1,z},'k')
1441 title('cargaSandOnYBat3Dn')
1442
1443 end
1444 pause;
1445 close all;
1446
1447 for z=1:TRIALS
1448 figure;
1449 hold;
1450 %Marca Ventana
1451 X=ones(1,2)*max(cargaVenlOnYBat3Dn{1,z});
1452 Y=ones(1,2)*max(cargaVenlOnYBat3Dn{1,z});
1453 for x=1:size(vVenlOnYBat3Dn{z},2)
1454 h=area([vVenlOnYBat3Dn{z}(x) vVenlOnYBat3Dn{z}(x)+VENTANA_EVENTO],[max(cargaVenlOnYBat3Dn{1,z}) max(cargaVenlOnYBat3Dn{1,z})]...
1455 'FaceColor','y');
1456 set(h,'BaseValue',min(cargaVenlOnYBat3Dn{1,z}))
1457 end
1458 %Marca On
1459 for x=1:size(onVenlOnYBat3Dn,2)
1460 %h=area([onVenlOnYBat3Dn(z,x) onVenlOnYBat3Dn(z,x)+VENTANA_EVENTO],[max(cargaVenlOnYBat3Dn{1,z}) max(cargaVenlOnYBat3Dn{1,z})]...
1461 if onVenlOnYBat3Dn(z,x) %si es distinto de cero se pinta
1462 h=area([onVenlOnYBat3Dn(z,x) onVenlOnYBat3Dn(z,x)+VENTANA_EVENTO],X,...
1463 'FaceColor','g');
1464 set(h,'BaseValue',min(cargaVenlOnYBat3Dn{1,z}))
1465 end
1466 end
1467 %Marca Off
1468 for x=1:size(offVenlOnYBat3Dn,2)
1469 %h=area([offVenlOnYBat3Dn(z,x) offVenlOnYBat3Dn(z,x)+VENTANA_EVENTO],[max(cargaVenlOnYBat3Dn{1,z}) max(cargaVenlOnYBat3Dn{1,z})]...
1470 if offVenlOnYBat3Dn(z,x)
1471 h=area([offVenlOnYBat3Dn(z,x) offVenlOnYBat3Dn(z,x)+VENTANA_EVENTO],Y,...
1472 'FaceColor','r');
1473 set(h,'BaseValue',min(cargaVenlOnYBat3Dn{1,z}))
1474 end
1475 end
1476 plot(cargaVenlOnYBat3Dn{1,z},'k')
1477 title('cargaVenlOnYBat3Dn')
1478
1479 end
1480 pause;
1481 close all;
1482
1483 for z=1:TRIALS
1484 figure;
1485 hold;
1486 %Marca Ventana

```

ANEXO V

```

1487     X=ones(1,2)*max(cargaVenIDnYMicrDnYSandDn{1,z});
1488     Y=ones(1,2)*max(cargaVenIDnYMicrDnYSandDn{1,z});
1489     for x=1:size(vVenIDnYMicrDnYSandDn{z},2)
1490         h=area([vVenIDnYMicrDnYSandDn{z}(x)          vVenIDnYMicrDnYSandDn{z}(x)+VENTANA_EVENTO],[max(cargaVenIDnYMicrDnYSandDn{1,z})
1491 max(cargaVenIDnYMicrDnYSandDn{1,z})]...
1492         'FaceColor','y');
1493         set(h,'BaseValue',min(cargaVenIDnYMicrDnYSandDn{1,z}))
1494     end
1495     %Marca On
1496     for x=1:size(onVenIDnYMicrDnYSandDn,2)
1497         %h=area([onVenIDnYMicrDnYSandDn(z,x)          onVenIDnYMicrDnYSandDn(z,x)+VENTANA_EVENTO],[max(cargaVenIDnYMicrDnYSandDn{1,z})
1498 max(cargaVenIDnYMicrDnYSandDn{1,z})]...
1499         if onVenIDnYMicrDnYSandDn(z,x) %si es distinto de cero se pinta
1500             h=area([onVenIDnYMicrDnYSandDn(z,x) onVenIDnYMicrDnYSandDn(z,x)+VENTANA_EVENTO],X...
1501                 'FaceColor','g');
1502             set(h,'BaseValue',min(cargaVenIDnYMicrDnYSandDn{1,z}))
1503         end
1504     end
1505     %Marca Off
1506     for x=1:size(offVenIDnYMicrDnYSandDn,2)
1507         %h=area([offVenIDnYMicrDnYSandDn(z,x)          offVenIDnYMicrDnYSandDn(z,x)+VENTANA_EVENTO],[max(cargaVenIDnYMicrDnYSandDn{1,z})
1508 max(cargaVenIDnYMicrDnYSandDn{1,z})]...
1509         if offVenIDnYMicrDnYSandDn(z,x)
1510             h=area([offVenIDnYMicrDnYSandDn(z,x) offVenIDnYMicrDnYSandDn(z,x)+VENTANA_EVENTO],Y...
1511                 'FaceColor','r');
1512             set(h,'BaseValue',min(cargaVenIDnYMicrDnYSandDn{1,z}))
1513         end
1514     end
1515     plot(cargaVenIDnYMicrDnYSandDn{1,z},'k')
1516     title('cargaVenIDnYMicrDnYSandDn')
1517
1518 end
1519
1520 close all;
1521
1522
1523
1524
1525

```

ANEXO VI

SCRIPT PARA GRAFICADO

```

1  %% CARGAS
2
3  for z=1:TRIALS
4      figure
5      hold;
6      plot(cargaBat{1,z},'b')
7      title('cargaBat1')
8      plot(cargaBatFiltr{1,z},'r')
9
10     end
11     pause;
12     close all;
13
14     for z=1:TRIALS
15         figure
16         hold;
17         plot(cargaBat2{1,z})
18         title('cargaBat2')
19
20         % figure
21         plot(cargaBat2Filtr{1,z},'r')
22         title('cargaBat2Filtrada')
23
24     end
25     pause;
26     close all;
27
28     for z=1:TRIALS
29         figure
30         plot(cargaBat3{1,z})
31         title('cargaBat3')
32     end
33     pause;
34     close all;
35
36     for z=1:TRIALS
37         figure
38         plot(cargaExpr{1,z})
39         title('cargaExpr')
40     end
41     pause;
42     close all;
43
44     for z=1:TRIALS
45         figure
46         hold;
47         plot(cargaMicr{1,z})
48         title('cargaMicr')
49         plot(cargaMicrFiltr{1,z},'r')
50     end
51     pause;
52     close all;
53
54     for z=1:TRIALS
55         figure
56         hold;

```

```

57     plot(cargaSand{1,z})
58     title('cargaSand')
59     plot(cargaSandFiltr{1,z}, 'r')
60     %title('cargaBat2 Filtrada')
61
62
63     end
64     pause;
65     close all;
66
67     for z=1:TRIALS
68         figure
69         plot(cargaVenl{1,z})
70         title('cargaVenl')
71     end
72     pause;
73     close all;
74
75     for z=1:TRIALS
76         figure
77         plot(cargaMicrOnYSandOn{1,z})
78         title('cargaMicrOnYSandOn')
79     end
80     pause;
81     close all;
82
83     for z=1:TRIALS
84         figure
85         plot(cargaSandOnYBat3On{1,z})
86         title('cargaSandOnYBat3On')
87     end
88     pause;
89     close all;
90
91     for z=1:TRIALS
92         figure
93         plot(cargaVenlOnYBat3On{1,z})
94         title('cargaVenlOnYBat3On')
95     end
96     pause;
97     close all;
98
99     for z=1:TRIALS
100         figure
101         plot(cargaVenlOnMicrOnYSandOn{1,z})
102         title('cargaVenlOnMicrOnYSandOn')
103     end
104     pause;
105     close all;
106
107     clear z;
108
109
110
111
112     %% RMS
113
114
115     figure
116     plot(rmsBat1)
117     title('rmsBat1')
118     pause;
119     close all;
120
121

```

```

122 figure
123 plot(rmsBat2)
124 title('rmsBat2')
125 pause;
126 close all;
127
128 figure
129 plot(rmsBat3)
130 title('rmsBat3')
131 pause;
132 close all;
133
134 figure
135 plot(rmsExpr)
136 title('rmsExpr')
137 pause;
138 close all;
139
140 figure
141 plot(rmsMicr)
142 title('rmsMicr')
143 pause;
144 close all;
145
146 figure
147 plot(rmsSand)
148 title('rmsSand')
149 pause;
150 close all;
151
152 figure
153 plot(rmsVentl)
154 title('rmsVentl')
155 pause;
156 close all;
157
158 figure
159 plot(rmsMicrOnYSandOn)
160 title('rmsMicrOnYSandOn')
161 pause;
162 close all;
163
164 figure
165 plot(rmsSandOnYBat3On)
166 title('rmsSandOnYBat3On')
167 pause;
168 close all;
169
170 figure
171 plot(rmsVentlOnYBat3On)
172 title('rmsVentlOnYBat3On')
173 pause;
174 close all;
175
176 figure
177 plot(rmsVentlOnYMicrOnYSandOn)
178 title('rmsVentlOnYMicrOnYSandOn')
179 pause;
180 close all;
181
182 TODOS=[rmsBatl rmsBat2 rmsBat3 rmsExpr rmsMicr ...
183         rmsSand rmsVentl rmsMicrOnYSandOn rmsSandOnYBat3On ...
184         rmsVentlOnYBat3On rmsVentlOnYMicrOnYSandOn];
185 GROUP=[ones(1,length(rmsBatl)), 2*ones(1,length(rmsBat2)), 3*ones(1,length(rmsBat3))...
186        , 4*ones(1,length(rmsExpr)), 5*ones(1,length(rmsMicr)),6*ones(1,length(rmsSand))...

```


ANEXO VI

```

187 , 7*ones(1,length(rmsVenl)), 8*ones(1,length(rmsMicrOnYSandOn)),9*ones(1,length(rmsSandOnYBat3On))...
188 , 10*ones(1,length(rmsVenlOnYBat3On)), 11*ones(1,length(rmsVenlOnYMicrOnYSandOn));
189 nombresfigura={'BAT1' 'BAT2' 'BAT3' 'EXPR' 'MICR' 'SAND' 'VENT' 'M_S' 'S_B3' 'V_B3' 'V_M_S'}
190 figure;
191 boxplot(TODOS',GROUP','labels',nombresfigura,'labelorientation','inline');
192
193
194
195
196
197 %% CONCORDIA
198
199 figure
200 plot(CalfBat1,CbetBat1,'+')
201 title('CCDBat1')
202 pause
203
204 figure
205 plot(CalfBat2,CbetBat2,'+')
206 title('CCDBat2')
207 pause
208
209 figure
210 plot(CalfBat3,CbetBat3,'+')
211 title('CCDBat3')
212 pause
213
214 figure
215 plot(CalfExpr,CbetExpr,'+')
216 title('CCDExpr')
217 pause
218
219 figure
220 plot(CalfMicr,CbetMicr,'+')
221 title('CCDMicr')
222 pause
223
224 figure
225 plot(CalfSand,CbetSand,'+')
226 title('CCDSand')
227 pause
228
229 figure
230 plot(CalfVenl,CbetVenl,'+')
231 title('CCDVenl')
232 pause
233
234 figure
235 plot(CalfMicrOnYSandOn,CbetMicrOnYSandOn,'+')
236 title('CCDMicrOnYSandOn')
237 pause
238
239 figure
240 plot(CalfSandOnYBat3On,CbetSandOnYBat3On,'+')
241 title('CCDSandOnYBat3On')
242 pause
243
244 figure
245 plot(CalfVenlOnYBat3On,CbetVenlOnYBat3On,'+')
246 title('CCDVenlOnYBat3On')
247 pause
248
249 figure
250 plot(CalfVenlOnYMicrOnYSandOn,CbetVenlOnYMicrOnYSandOn,'+')
251 title('CCDVenlOnYMicrOnYSandOn')

```

ANEXO VI

```

252     pause
253
254     close all
255
256     %% FFT
257
258     figure
259     hold;
260     plot(ffdBat1,'color','r')
261     plot(ff2Bat1,'color','g')
262     plot(ff3Bat1,'color','b')
263     title('FFTBat1 r=1, g=2, b=3')
264     pause;
265     close all;
266
267     figure
268     hold;
269     plot(ffdBat2,'color','r')
270     plot(ff2Bat2,'color','g')
271     plot(ff3Bat2,'color','b')
272     title('FFTBat2 r=1, g=2, b=3')
273     pause;
274     close all;
275
276     figure
277     hold;
278     plot(ffdBat3,'color','r')
279     plot(ff2Bat3,'color','g')
280     plot(ff3Bat3,'color','b')
281     title('FFTBat3 r=1, g=2, b=3')
282     pause;
283     close all;
284
285     figure
286     hold;
287     plot(ffdExpr,'color','r')
288     plot(ff2Expr,'color','g')
289     plot(ff3Expr,'color','b')
290     title('FFTExpr r=1, g=2, b=3')
291     pause;
292     close all;
293
294     figure
295     hold;
296     plot(ffdMicr,'color','r')
297     plot(ff2Micr,'color','g')
298     plot(ff3Micr,'color','b')
299     title('FFTMicr r=1, g=2, b=3')
300     pause;
301     close all;
302
303     figure
304     hold;
305     plot(ffdSand,'color','r')
306     plot(ff2Sand,'color','g')
307     plot(ff3Sand,'color','b')
308     title('FFTSand r=1, g=2, b=3')
309     pause;
310     close all;
311
312     figure
313     hold;
314     plot(ffdVenl,'color','r')
315     plot(ff2Venl,'color','g')
316     plot(ff3Venl,'color','b')

```

ANEXO VI

```

317 title('FFTVenl r=l, g=2, b=3')
318 pause;
319 close all;
320
321 figure
322 hold;
323 plot(ff1McrOnYSandOn,'color','r')
324 plot(ff2McrOnYSandOn,'color','g')
325 plot(ff3McrOnYSandOn,'color','b')
326 title('FFTMcrOnYSandOn r=l, g=2, b=3')
327 pause;
328 close all;
329
330 figure
331 hold;
332 plot(ff1SandOnYBat3On,'color','r')
333 plot(ff2SandOnYBat3On,'color','g')
334 plot(ff3SandOnYBat3On,'color','b')
335 title('FFTSandOnYBat3On r=l, g=2, b=3')
336 pause;
337 close all;
338
339 figure
340 hold;
341 plot(ff1VenlOnYBat3On,'color','r')
342 plot(ff2VenlOnYBat3On,'color','g')
343 plot(ff3VenlOnYBat3On,'color','b')
344 title('FFTVenlOnYBat3On r=l, g=2, b=3')
345 pause;
346 close all;
347
348 figure
349 hold;
350 plot(ff1VenlOnYMcrOnYSandOn,'color','r')
351 plot(ff2VenlOnYMcrOnYSandOn,'color','g')
352 plot(ff3VenlOnYMcrOnYSandOn,'color','b')
353 title('FFTVenlOnYMcrOnYSandOn r=l, g=2, b=3')
354 pause;
355 close all;
356
357 TODOS=[ff1Bat1 ff1Bat2 ff1Bat3 ff1Expr ff1Mcr ...
358         ff1Sand ff1Venl ff1McrOnYSandOn ff1SandOnYBat3On ...
359         ff1VenlOnYBat3On ff1VenlOnYMcrOnYSandOn];
360 GROUP=[ones(1,length(ff1Bat1)), 2*ones(1,length(ff1Bat2)), 3*ones(1,length(ff1Bat3))...
361        , 4*ones(1,length(ff1Expr)), 5*ones(1,length(ff1Mcr)),6*ones(1,length(ff1Sand))...
362        , 7*ones(1,length(ff1Venl)), 8*ones(1,length(ff1McrOnYSandOn)),9*ones(1,length(ff1SandOnYBat3On))...
363        , 10*ones(1,length(ff1VenlOnYBat3On)), 11*ones(1,length(ff1VenlOnYMcrOnYSandOn))];
364 nombresfigura={'BAT1' 'BAT2' 'BAT3' 'EXPR' 'MICR' 'SAND' 'VENT' 'M_S' 'S_B3' 'V_B3' 'V_M_S'}
365 figure;
366 boxplot(TODOS',GROUP','labels',nombresfigura,'labelorientation','inline');
367
368
369 TODOS=[ff2Bat1 ff2Bat2 ff2Bat3 ff2Expr ff2Mcr ...
370         ff2Sand ff2Venl ff2McrOnYSandOn ff2SandOnYBat3On ...
371         ff2VenlOnYBat3On ff2VenlOnYMcrOnYSandOn];
372 GROUP=[ones(1,length(ff2Bat1)), 2*ones(1,length(ff2Bat2)), 3*ones(1,length(ff2Bat3))...
373        , 4*ones(1,length(ff2Expr)), 5*ones(1,length(ff2Mcr)),6*ones(1,length(ff2Sand))...
374        , 7*ones(1,length(ff2Venl)), 8*ones(1,length(ff2McrOnYSandOn)),9*ones(1,length(ff2SandOnYBat3On))...
375        , 10*ones(1,length(ff2VenlOnYBat3On)), 11*ones(1,length(ff2VenlOnYMcrOnYSandOn))];
376 nombresfigura={'BAT1' 'BAT2' 'BAT3' 'EXPR' 'MICR' 'SAND' 'VENT' 'M_S' 'S_B3' 'V_B3' 'V_M_S'}
377 figure;
378 boxplot(TODOS',GROUP','labels',nombresfigura,'labelorientation','inline');
379
380
381 TODOS=[ff3Bat1 ff3Bat2 ff3Bat3 ff3Expr ff3Mcr ...

```

ANEXO VI

```

382     fft3Sand fft3Vent fft3MicrOnYSandOn fft3SandOnYBat3On ...
383     fft3VentOnYBat3On fft3VentOnYMicrOnYSandOn];
384     GROUP=[ones(1,length(fft3Bat1)), 2*ones(1,length(fft3Bat2)), 3*ones(1,length(fft3Bat3))...
385     , 4*ones(1,length(fft3Expr)), 5*ones(1,length(fft3Micr)),6*ones(1,length(fft3Sand))...
386     , 7*ones(1,length(fft3Vent)), 8*ones(1,length(fft3MicrOnYSandOn)),9*ones(1,length(fft3SandOnYBat3On))...
387     , 10*ones(1,length(fft3VentOnYBat3On)), 11*ones(1,length(fft3VentOnYMicrOnYSandOn))];
388     nombresfigura={'BAT1' 'BAT2' 'BAT3' 'EXPR' 'MICR' 'SAND' 'VENT' 'M_S' 'S_B3' 'V_B3' 'V_M_S'}
389     figure;
390     boxplot(TODOS',GROUP','labels',nombresfigura,'labelorientation','inline');
391
392
393     %% FACTOR POTENCIA
394
395     figure
396     plot(medFacPotBat1)
397     title('medFacPotBat1')
398     pause;
399     close all;
400
401
402     figure
403     plot(medFacPotBat2)
404     title('medFacPotBat2')
405     pause;
406     close all;
407
408     figure
409     plot(medFacPotBat3)
410     title('medFacPotBat3')
411     pause;
412     close all;
413
414     figure
415     plot(medFacPotExpr)
416     title('medFacPotExpr')
417     pause;
418     close all;
419
420     figure
421     plot(medFacPotMicr)
422     title('medFacPotMicr')
423     pause;
424     close all;
425
426     figure
427     plot(medFacPotSand)
428     title('medFacPotSand')
429     pause;
430     close all;
431
432     figure
433     plot(medFacPotVent)
434     title('medFacPotVent')
435     pause;
436     close all;
437
438     figure
439     plot(medFacPotMicrOnYSandOn)
440     title('medFacPotMicrOnYSandOn')
441     pause;
442     close all;
443
444     figure
445     plot(medFacPotSandOnYBat3On)
446     title('medFacPotSandOnYBat3On')

```

ANEXO VI

```

447 pause;
448 close all;
449
450 figure
451 plot(medFacPotVenlOnYBat3On)
452 title('medFacPotVenlOnYBat3On')
453 pause;
454 close all;
455
456 figure
457 plot(medFacPotVenlOnYMicrOnYSandOn)
458 title('medFacPotVenlOnYMicrOnYSandOn')
459 pause;
460 close all;
461
462 TODOS=[medFacPotBat1 medFacPotBat2 medFacPotBat3 medFacPotExpr medFacPotMicr ...
463         medFacPotSand medFacPotVenl medFacPotMicrOnYSandOn medFacPotSandOnYBat3On ...
464         medFacPotVenlOnYBat3On medFacPotVenlOnYMicrOnYSandOn];
465 GROUP=[ones(1,length(medFacPotBat1)), 2*ones(1,length(medFacPotBat2)), 3*ones(1,length(medFacPotBat3))...
466        , 4*ones(1,length(medFacPotExpr)), 5*ones(1,length(medFacPotMicr)),6*ones(1,length(medFacPotSand))...
467        , 7*ones(1,length(medFacPotVenl)), 8*ones(1,length(medFacPotMicrOnYSandOn)),9*ones(1,length(medFacPotSandOnYBat3On))...
468        , 10*ones(1,length(medFacPotVenlOnYBat3On)), 11*ones(1,length(medFacPotVenlOnYMicrOnYSandOn))];
469 nombresfigura={'BAT1' 'BAT2' 'BAT3' 'EXPR' 'MICR' 'SAND' 'VENT' 'M_S' 'S_B3' 'V_B3' 'V_M_S'}
470 figure;
471 boxplot(TODOS',GROUP','labels',nombresfigura,'labelorientation','inline');
472
473
474
475 %% PICO
476
477 figure
478 plot(medPicoBat1)
479 title('medPicoBat1')
480 pause;
481 close all;
482
483
484 figure
485 plot(medPicoBat2)
486 title('medPicoBat2')
487 pause;
488 close all;
489
490 figure
491 plot(medPicoBat3)
492 title('medPicoBat3')
493 pause;
494 close all;
495
496 figure
497 plot(medPicoExpr)
498 title('medPicoExpr')
499 pause;
500 close all;
501
502 figure
503 plot(medPicoMicr)
504 title('medPicoMicr')
505 pause;
506 close all;
507
508 figure
509 plot(medPicoSand)
510 title('medPicoSand')
511 pause;

```

ANEXO VI

```

512     close all;
513
514     figure
515     plot(medPicoVenl)
516     title('medPicoVenl')
517     pause;
518     close all;
519
520     figure
521     plot(medPicoMicrOnYSandOn)
522     title('medPicoMicrOnYSandOn')
523     pause;
524     close all;
525
526     figure
527     plot(medPicoSandOnYBat3On)
528     title('medPicoSandOnYBat3On')
529     pause;
530     close all;
531
532     figure
533     plot(medPicoVenlOnYBat3On)
534     title('medPicoVenlOnYBat3On')
535     pause;
536     close all;
537
538     figure
539     plot(medPicoVenlOnYMicrOnYSandOn)
540     title('medPicoVenlOnYMicrOnYSandOn')
541     pause;
542     close all;
543
544     %BOXPLOTS
545
546     TODOS=[medPicoBat1 medPicoBat2 medPicoBat3 medPicoExpr medPicoMicr ...
547            medPicoSand medPicoVenl medPicoMicrOnYSandOn medPicoSandOnYBat3On ...
548            medPicoVenlOnYBat3On medPicoVenlOnYMicrOnYSandOn];
549     GROUP=[ones(1,length(medPicoBat1)), 2*ones(1,length(medPicoBat2)), 3*ones(1,length(medPicoBat3))...
550            , 4*ones(1,length(medPicoExpr)), 5*ones(1,length(medPicoMicr)),6*ones(1,length(medPicoSand))...
551            , 7*ones(1,length(medPicoVenl)), 8*ones(1,length(medPicoMicrOnYSandOn)),9*ones(1,length(medPicoSandOnYBat3On))...
552            , 10*ones(1,length(medPicoVenlOnYBat3On)), 11*ones(1,length(medPicoVenlOnYMicrOnYSandOn))];
553     nombresfigura={'BAT1' 'BAT2' 'BAT3' 'EXPR' 'MICR' 'SAND' 'VENT' 'M_S' 'S_B3' 'V_B3' 'V_M_S'}
554     figure;
555     boxplot(TODOS',GROUP','labels',nombresfigura,'labelorientation','inline');
556
557     %% CUARTO SEMIPERODO
558
559     figure
560     plot(medCuartoBat1)
561     title('medCuartoBat1')
562     pause;
563     close all;
564
565
566     figure
567     plot(medCuartoBat2)
568     title('medCuartoBat2')
569     pause;
570     close all;
571
572
573     figure
574     plot(medCuartoBat3)
575     title('medCuartoBat3')
576     pause;

```

ANEXO VI

```

577     close all;
578
579
580     figure
581     plot(medCuartoExpr)
582     title('medCuartoExpr')
583     pause;
584     close all;
585
586
587     figure
588     plot(medCuartoMicr)
589     title('medCuartoMicr')
590     pause;
591     close all;
592
593
594     figure
595     plot(medCuartoSand)
596     title('medCuartoSand')
597     pause;
598     close all;
599
600
601     figure
602     plot(medCuartoVenl)
603     title('medCuartoVenl')
604     pause;
605     close all;
606
607     %
608     % figure
609     % plot(medCuartoVen2)
610     % title('medCuartoVen2')
611     % pause;
612     % close all;
613
614
615     figure
616     plot(medCuartoMicrOnYSandOn)
617     title('medCuartoMicrOnYSandOn')
618     pause;
619     close all;
620
621
622     figure
623     plot(medCuartoSandOnYBat3On)
624     title('medCuartoSandOnYBat3On')
625     pause;
626     close all;
627
628
629     figure
630     plot(medCuartoVenlOnYBat3On)
631     title('medCuartoVenlOnYBat3On')
632     pause;
633     close all;
634
635
636     figure
637     plot(medCuartoVenlOnYMicrOnYSandOn)
638     title('medCuartoVenlOnYMicrOnYSandOn')
639     pause;
640     close all;
641

```

ANEXO VI

```

642 TODOS=[medCuartoBat1 medCuartoBat2 medCuartoBat3 medCuartoExpr medCuartoMicr ...
643         medCuartoSand medCuartoVenl medCuartoMicrOnYSandOn medCuartoSandOnYBat3On ...
644         medCuartoVenlOnYBat3On medCuartoVenlOnYMicrOnYSandOn];
645 GROUP=[ones(1,length(medCuartoBat1)), 2*ones(1,length(medCuartoBat2)), 3*ones(1,length(medCuartoBat3))...
646         , 4*ones(1,length(medCuartoExpr)), 5*ones(1,length(medCuartoMicr)),6*ones(1,length(medCuartoSand))...
647         , 7*ones(1,length(medCuartoVenl)), 8*ones(1,length(medCuartoMicrOnYSandOn)),9*ones(1,length(medCuartoSandOnYBat3On))...
648         , 10*ones(1,length(medCuartoVenlOnYBat3On)), 11*ones(1,length(medCuartoVenlOnYMicrOnYSandOn))];
649 nombresfigura={'BAT1' 'BAT2' 'BAT3' 'EXPR' 'MICR' 'SAND' 'VENT' 'M_S' 'S_B3' 'V_B3' 'V_M_S'}
650 figure;
651 boxplot(TODOS',GROUP','labels',nombresfigura,'labelorientation','inline');
652
653
654 %% NUMERO MUESTRAS
655
656 % disp(['', 'Bat1', 'Bat2', 'Bat3', 'Expr', 'Micr', 'Sand', 'Venl', 'MicrOnYSandOn', 'SandOnYBat3On', 'VenlOnYBat3On', 'VenlOnYMicrOnYSandOn'])
657 % disp(['Train' 'Test']);
658 disp('total Train Test')
659 disp([sum(matTarget);sum(matTargetEntrenaSom);sum(matTargetTestSom)'])
660 % disp(sum(matTargetEntrenaSom));
661 % disp(sum(matTargetTestSom));
662 % tabla2{1,1}=cab;
663 % tabla2{2,1}=sum(matTargetEntrenaSom);
664 % tabla2{3,1}=sum(matTargetTestSom);
665
666
667
668
669
670
671
672
673
674

```